

OBSERVATIONS MAGNÉTIQUES ***MAGNETIC RESULTS***

2006

Observatoires / *Observatories*

Addis Ababa, Antananarivo, Bangui, Borok, Chambon la Forêt,
Dumont d'Urville, Kourou, Lanzhou, Martin de Viviers, Mbour, Pamatai,
Phu Thuy, Port Alfred, Port-aux-Français, Qsaybeh, Tamanrasset

Bulletin n° 26

Publié par / *Published by*
Institut de Physique du Globe de Paris

avec le concours de / *with support from*
Institut National des Sciences de l'Univers

Éditeurs / *Editors*
Vincent COURTILLOT, Arnaud CHULLIAT

Réalisé par / *Realized by*
Danielle FOUASSIER, Gilbert JUSTE, Kader TELALI,
François TRUONG, Jean Jacques SCHOTT

Paris – Février 2009 / February 2009

BUREAU CENTRAL DE MAGNÉTISME TERRESTRE
IPGP, Case 89, 4 place Jussieu, 75252 PARIS Cedex 05, FRANCE
Fax : 33 (0)1 44 27 33 73 E-mail : bcmt@ipgp.jussieu.fr

ISSN 1968-6633

INSTITUTIONS

**INSTITUT DE PHYSIQUE DU GLOBE DE PARIS (IPGP)
Case 89, 4 place Jussieu, 75252 Paris Cedex 05 - FRANCE**

**ÉCOLE ET OBSERVATOIRE DES SCIENCES DE LA TERRE (EOST)
5 rue René Descartes, 67084 Strasbourg Cedex - FRANCE**

**INSTITUT DE RECHERCHE POUR LE DÉVELOPPEMENT (IRD)
32 avenue Henri Varagnat, 93143 Bondy Cedex - FRANCE**

**GEOPHYSICAL OBSERVATORY
ADDIS ABABA UNIVERSITY (GO AAU)
Faculty of Science, P.O. Box 1176, Addis Ababa - ETHIOPIA**

**BOROK GEOPHYSICAL OBSERVATORY (BGO)
INSTITUTE OF PHYSICS OF THE EARTH
OF THE RUSSIAN ACADEMY OF SCIENCES (IPE RAS)
Borok 152742, Yaroslav - RUSSIA**

**LANZHOU INSTITUTE OF SEISMOLOGY (LIS)
CHINA EARTHQUAKE ADMINISTRATION (CEA)
410 Donggangxilu, Lanzhou, Gansu 730000 - CHINA**

**INSTITUTE OF GEOPHYSICS
OF THE VIETNAMESE ACADEMY OF SCIENCE AND TECHNOLOGY (IG VAST)
18 Hoang Quoc Viet, Hanoi - VIETNAM**

**CENTRE NATIONAL DE RECHERCHES GEOPHYSIQUES DU LIBAN (NCGR)
P.O. Box 16-5432, Beyrouth - LIBAN**

**CENTRE DE RECHERCHE EN ASTRONOMIE ASTROPHYSIQUE
ET GEOPHYSIQUE (CRAAG)
BP 63 Bouzareah, Alger 16340 - ALGERIA**

**INSTITUT ET OBSERVATOIRE GÉOPHYSIQUE
UNIVERSITÉ D'ANTANANARIVO (IOGA)
Ambohidempona, P.O. Box 3843, Antananarivo (101) - MADAGASCAR**

TABLE DES MATIÈRES / TABLE OF CONTENTS

Bulletin n° 26

INSTITUTIONS.....	2
TABLE DES MATIÈRES / <i>TABLE OF CONTENTS</i>	3
INTRODUCTION.....	5
PREMIÈRE PARTIE / FIRST PART	7
OBSERVATOIRES, INSTRUMENTS, MÉTHODES <i>OBSERVATORIES, INSTRUMENTS, METHODS</i>	7
PRÉSENTATION GÉNÉRALE DES OBSERVATOIRES <i>GENERAL PRESENTATION OF THE OBSERVATORIES</i>	9
LOCALISATION DES OBSERVATOIRES <i>OBSERVATORY LOCATIONS</i>	11
OBSERVATOIRES SOUS LA RESPONSABILITÉ DE L'IPGP EN 2006 <i>OBSERVATORIES MAINTAINED BYIPGP IN 2006</i>	13
OBSERVATOIRES SOUS LA RESPONSABILITÉ DE L'IRD EN 2006 <i>OBSERVATORIES MAINTAINED BYIRD IN 2006</i>	15
OBSERVATOIRES SOUS LA RESPONSABILITÉ DE L'EOST EN 2006 <i>OBSERVATORIES MAINTAINED BYEOST IN 2006</i>	17
MÉTHODES DE CALCUL DES VALEURS MOYENNES <i>METHODS FOR CALCULATING MEAN VALUES</i>	19
DEUXIÈME PARTIE / SECOND PART	21
RÉSULTATS POUR L'ANNÉE 2006 <i>RESULTS FOR YEAR 2006</i>	21
ADDIS ABABA (AAE)	23
MARTIN DE VIVIÈS (AMS).....	37
BANGUI (BNG)	53
BOROK (BOX)	69
CHAMBON LA FORÊT (CLF).....	83
PORT ALFRED (CZT)	99
DUMONT D'URVILLE (DRV)	113
KOUROU (KOU).....	129
LANZHOU (LZH).....	143
MBOUR (MBO).....	157
PORT-AUX-FRANÇAIS (PAF)	171
PHU THUY (PHU).....	187
PAMATAI (PPT)	201
QSAYBEH (QSB).....	215
TAMANRASSET (TAM)	229
ANTANANARIVO (TAN)	243
TROISIÈME PARTIE / THIRD PART	259
RÉFÉRENCES BIBLIOGRAPHIQUES <i>BIBLIOGRAPHICAL REFERENCES</i>	261
DIFFUSION DES DONNÉES <i>DATA DISTRIBUTION</i>	263

INTRODUCTION

L'Institut de physique du globe de Paris (IPGP), l'École et Observatoire des Sciences de la Terre (EOST) et l'Institut de Recherche pour le Développement (IRD, ex-ORSTOM) assument la responsabilité des observatoires magnétiques sur le territoire français (métropole et outre-mer) et d'un certain nombre d'observatoires maintenus en coopération avec des institutions étrangères dans d'autres pays.

L'IPGP, l'EOST et l'IRD regroupent leurs efforts au sein du Bureau central de magnétisme terrestre (BCMT), fondé en 1921. Sept missions principales sont assignées au BCMT :

1. Il est l'interlocuteur français des organismes équivalents nationaux ou internationaux.
2. Il centralise les données de tous les observatoires français et harmonise leur présentation en fonction des recommandations de l'IAGA.
3. Il mène une politique cohérente d'installation des observatoires magnétiques.
4. Il définit les protocoles de mesure dans les observatoires et les stations des réseaux de répétition.
5. Il coordonne le développement des instruments au sein des organismes concernés.
6. Il assure la formation des opérateurs.
7. Il publie annuellement l'ensemble des données des observatoires dans le bulletin "Observations magnétiques".

Les observations magnétiques rapportées dans le présent bulletin constituent la contribution française au programme international INTERMAGNET pour l'année 2006.

The Institut de Physique du Globe de Paris (IPGP), the Ecole et Observatoire des Sciences de la Terre (EOST) and the Institut de Recherche pour le Développement (IRD, ex ORSTOM) are in charge of the magnetic observatories on the French territory (in Metropolitan France and overseas) and of a number of observatories in cooperation with foreign institutions in other countries.

IPGP, EOST and IRD put together their efforts in the Bureau Central de Magnétisme Terrestre (BCMT), founded in 1921. Seven goals are assigned to BCMT :

- 1. It is the French correspondent of national and international organizations (IAGA).*
- 2. It centralizes the data from all observatories and harmonizes their presentation in accordance with IAGA recommendations.*
- 3. It develops a coherent strategy for the installation of magnetic observatories.*
- 4. It defines measurement protocols in observatories and repeat stations.*
- 5. It coordinates the development of instruments in member institutions.*
- 6. It organizes training sessions for observers.*
- 7. It publishes all data from the observatories in the "Magnetic Results" yearbook on an annual basis.*

The magnetic results reported in the present bulletin are the French contribution to the INTERMAGNET international program for the year 2006.

PREMIÈRE PARTIE / *FIRST PART*

OBSERVATOIRES, INSTRUMENTS, MÉTHODES

OBSERVATORIES, INSTRUMENTS, METHODS

PRÉSENTATION GÉNÉRALE DES OBSERVATOIRES

GENERAL PRESENTATION OF THE OBSERVATORIES

L'Institut de Physique du Globe de Paris (IPGP), l'Ecole et Observatoire des Sciences de la Terre (EOST) et l'Institut de Recherche pour le Développement (IRD), réunis au sein du BCMT, ont assumé en 2006 la responsabilité de 16 observatoires magnétiques, dont 9 en coopération avec des institutions étrangères.

In 2006, the Institut de Physique du Globe de Paris (IPGP), the Ecole et Observatoire des Sciences de la Terre (EOST) and the Institut de Recherche pour le Développement (IRD), united within BCMT, were in charge of 16 magnetic observatories, including 9 observatories in cooperation with foreign institutions.

IAGA Code	Observatory	Institutions	Country
AAE	Addis Ababa	GO AAU / IPGP	Ethiopia
AMS	Martin de Viviers	EOST	France
BNG	Bangui	IRD	Central African Republic
BOX	Borok	BGO IPE RAS / IPGP	Russia
CLF	Chambon la Forêt	IPGP	France
CZT	Port Alfred	EOST	France
DRV	Dumont d'Urville	EOST	France
KOU	Kourou	IPGP	France
LZH	Lanzhou	LIS CEA / IPGP	China
MBO	Mbour	IRD	Senegal
PAF	Port-aux-Français	EOST	France
PHU	Phu Thuy	IG VAST / IPGP	Vietnam
PPT	Pamatai	IPGP	France
QSB	Qsaybeh	NCGR / IPGP	Lebanon
TAM	Tamanrasset	CRAAG / IPGP	Algeria
TAN	Antananarivo	IOGA / EOST	Madagascar

BGO IPE RAS: Borok Geophysical Observatory, Institute of Physics of the Earth of the Russian Academy of Sciences

CRAAG: Centre de Recherche en Astronomie, Astrophysique et Géophysique

EOST: École et Observatoire des Sciences de la Terre

GO AAU: Geophysical Observatory of Addis Ababa University

IG VAST: Institute of Geophysics of the Vietnamese Academy of Science and Technology

IOGA: Institut et Observatoire Géophysique d'Antananarivo

IPGP: Institut de Physique du Globe de Paris

IRD: Institut de Recherche pour le Développement

LIS CEA: Lanzhou Institute of Seismology, China Earthquake Administration

NCGR: National Center for Geophysical Research

D'autres institutions contribuent au fonctionnement des observatoires dans les régions d'Outre-mer françaises :

- L'observatoire de Kourou en Guyane Française est financé en partie par le Centre National d'Etudes Spatiales (CNES).
- L'observatoire de Pamatai à Tahiti (Polynésie Française) est maintenu par l'IPGP en coopération avec le Commissariat à l'Energie Atomique (CEA).
- Les observatoires dans les Terres Australes et Antarctiques Françaises (TAAF) sont maintenus par l'EOST avec la collaboration de l'Institut Polaire Français Paul-Emile Victor (IPEV) qui assure le financement et le soutien logistique.

Les résultats obtenus dans les observatoires à l'étranger sont publiés dans les bulletins du BCMT, en accord avec les institutions coopérantes.

Tous les observatoires mentionnés ci-dessus sont aux normes d'INTERMAGNET (<http://www.intermagnet.org>).

Les données sont transmises en temps quasi-réel par satellite ou par internet au centre de données INTERMAGNET de Paris.

Other institutions help to maintain observatories in French overseas regions:

- *The Kourou observatory in French Guiana is partly funded by the Centre National d'Etudes Spatiales (CNES).*
- *The Pamatai observatory in Tahiti (French Polynesia) is maintained by IPGP in cooperation with the Commissariat à l'Energie Atomique (CEA).*
- *The observatories in Terres Australes et Antarctiques Françaises (TAAF) are maintained by EOST, in collaboration with the French Polar Institute (IPEV) which provides funding and logistics.*

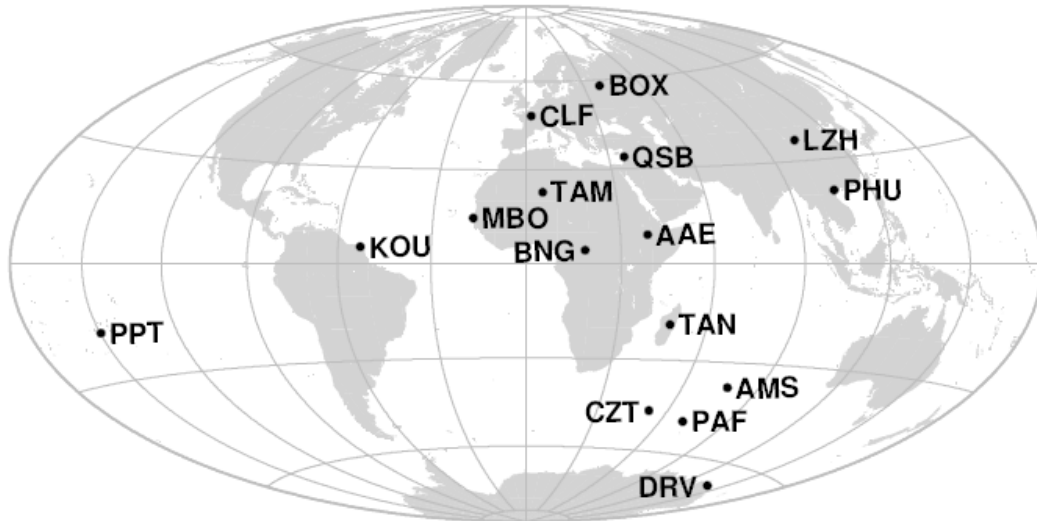
The results obtained in the observatories located abroad are published in BCMT bulletins in agreement with the partner institutions.

All observatories listed above meet the INTERMAGNET requirements (<http://www.intermagnet.org>).

Data are transmitted in quasi-real time via satellite or the internet to the INTERMAGNET Geomagnetic Information Node in Paris.

LOCALISATION DES OBSERVATOIRES

OBSERVATORY LOCATIONS



IAGA Code	Observatory name	Geographical coordinates (°)		Geomagnetic coordinates (°)		Elevation (m)
AAE	Addis Ababa	9.035 N	38.766	5.31 N	111.76	2441
AMS	Martin de Viviès	37.796 S	77.574	46.40 S	144.27	50
BNG	Bangui	4.333 N	18.567	4.20 N	91.12	395
BOX	Borok	58.07 N	38.23	53.41 N	123.52	115
CLF	Chambon la Forêt	48.025 N	2.260	49.84 N	85.69	145
CZT	Port Alfred	46.431 S	51.860	51.35 S	113.27	160
DRV	Dumont d'Urville	66.665 S	140.007	74.47 S	231.20	30
KOU	Kourou	5.210 N	307.269	14.89 N	19.66	10
LZH	Lanzhou	36.087 N	103.845	25.87 N	176.07	1560
MBO	Mbour	14.392 N	343.042	20.11 N	57.48	7
PAF	Port-aux-Français	49.353 S	70.262	56.93 S	132.75	35
PHU	Phu Thuy	21.029 N	105.958	10.78 N	177.85	5
PPT	Pamatai	17.567 S	210.426	15.14 S	285.14	357
QSB	Qsaybeh	33.871 N	35.644	30.27 N	113.46	525
TAM	Tamanrasset	22.793 N	5.532	24.66 N	81.76	1373
TAN	Antananarivo	18.917 S	47.552	23.68 S	115.78	1375

Les coordonnées géomagnétiques, calculées à partir du modèle IGRF 10^{ème} génération, sont celles qui figurent dans le catalogue N°27 (2005) publié par le World Data Center for Geomagnetism, Kyoto.

The geomagnetic coordinates, calculated using the IGRF 10th model, are taken from data catalogue N°27 (2005), published by the World Data Center for Geomagnetism, Kyoto.

OBSERVATOIRES SOUS LA RESPONSABILITÉ DE L'IPGP EN 2006

OBSERVATORIES MAINTAINED BY IPGP IN 2006

L'Institut de Physique du Globe de Paris (IPGP) a assumé la responsabilité de 9 observatoires magnétiques en 2006, dont 6 en coopération avec des institutions étrangères.

Parmi ces observatoires se trouve l'Observatoire Magnétique National français, situé à Chambon la Forêt (Loiret), où est basée l'équipe technique du service des observatoires magnétiques de l'IPGP.

MESURES ABSOLUES ET ROUTINES D'OBSERVATOIRE

Les mesures absolues, les routines d'observatoire ainsi que la maintenance des infrastructures sont réalisées par l'équipe locale de chaque observatoire.

INSTRUMENTATION

L'IPGP fabrique son propre magnétomètre triaxial à vanne de flux, le VM391, et son propre système d'acquisition, l'ENO2. Ces deux équipements sont installés dans tous les observatoires de l'IPGP. Ils sont modernisés régulièrement afin de suivre l'évolution des standards internationaux.

La liste des instruments utilisés en 2006 dans les observatoires de l'IPGP est donnée ci-dessous.

In 2006, the Institut de Physique du Globe de Paris (IPGP), was in charge of 9 magnetic observatories, including 6 observatories run in cooperation with foreign institutions.

One of these observatories is the French National Magnetic Observatory, located in Chambon la Forêt (Loiret). This is where the technical staff of IPGP's service of magnetic observatories is based.

ABSOLUTE MEASUREMENTS AND OBSERVATORY ROUTINES

Absolute measurements and daily routines are performed by the local staff at each observatory, as well as maintenance of the buildings.

INSTRUMENTATION

IPGP builds its own triaxial fluxgate magnetometer, named VM391, and its own acquisition system, named ENO2. These two equipments are installed in all IPGP observatories. They are regularly modernized in order to follow the evolution of international standards.

The list of instruments used in 2006 in IPGP observatories is given below.

Mesures absolues / Absolute measurements	
Théodolites fluxgate / <i>Fluxgate theodolites</i>	<ul style="list-style-type: none">▪ Zeiss 010 + EOST DI-mag88▪ Zeiss 010 + EOST DI-mag93▪ Zeiss 010 + Bartington 01H▪ Zeiss 010 + Lemi 2000▪ Zeiss 020 + DMI DI model G▪ MG2KP + EOST DI-mag93▪ MG2KP + Lemi 203
Magnétomètres scalaires (mesure des différences pilier) / <i>Scalar magnetometers (measurement of pillar differences)</i>	<ul style="list-style-type: none">▪ GEM GSM10▪ Geometrics G856ax▪ Geomag SM90R▪ PPM EDA 105▪ Scintrex ENVI

Enregistrement continu / Continuous recording

Magnétomètres vectoriels triaxiaux / <i>Triaxial vector magnetometers</i>	<ul style="list-style-type: none">▪ Geomag M390▪ IPGP VM391▪ Thomson TSA-Magnolia▪ Thomson VFO31
Magnétomètres scalaires / <i>Scalar magnetometers</i>	<ul style="list-style-type: none">▪ Geomag SM90R▪ Ixsea SM100-Maestro
Système d'acquisition / <i>Data acquisition system</i>	<ul style="list-style-type: none">▪ IPGP ENO2

TRAITEMENT DES DONNÉES

Les données préliminaires sont transmises par email ou par satellite (METEOSAT) au centre de données INTERMAGNET de Paris. Elles sont traitées par l'équipe de l'IPGP à Chambon la Forêt, qui produit les données définitives.

DATA PROCESSING

Preliminary data are sent by email or satellite (METEOSAT) to the INTERMAGNET data center in Paris. They are processed by the IPGP staff in Chambon la Forêt, who produces the definitive data.

PERSONNEL

STAFF

Arnaud CHULLIAT	Directeur (à partir de septembre 2006) <i>Director (from September 2006)</i>
Stuart GILDER	Directeur (jusqu'à août 2006) / <i>Director (until August 2006)</i>
Jean-Louis LE MOUËL	Physicien / <i>Physicist</i>
Xavier LALANNE	Responsable technique / <i>Chief engineer</i>
Danielle FOUASSIER	Chef de station à Chambon la Forêt ; traitement des données / <i>Head of Chambon la Forêt station ; data processing</i>
François TRUONG	Traitement des données / <i>Data processing</i>
Jean SAVARY	Instrumentation / <i>Instrumentation</i>
Kader TELALI	Instrumentation et traitement des données / <i>Instrumentation and data processing</i>
Hélène ROBIC	Secrétariat / <i>Secretariat</i>
Eric PARMENTIER	Maintenance des infrastructures / <i>Maintenance of infrastructures</i>
Régine LAMARGOT	Entretien / <i>Housekeeping</i>

INSTITUT DE PHYSIQUE DU GLOBE DE PARIS (IPGP)
Service des Observatoires Magnétiques
B89 - 4, place Jussieu, 75252 PARIS cedex 05 - FRANCE
Téléphone : 33 (0)2 38 33 95 01 Télécopie 33 (0)2 38 33 95 04
E-mail : bcmt@ipgp.jussieu.fr

OBSERVATOIRES SOUS LA RESPONSABILITÉ DE L'IRD EN 2006

OBSERVATORIES MAINTAINED BY IRD IN 2006

Les observatoires de Mbour (Sénégal) et de Bangui (République Centrafricaine) ont fonctionné de manière continue en 2006.

INSTRUMENTATION

Les mesures absolues de la déclinaison et de l'inclinaison sont réalisées à l'aide d'un appareillage DI-flux construit par l'École et Observatoire des Sciences de la Terre de Strasbourg (Bitterly et al., 1996). Les mesures de champ total sont effectuées avec un magnétomètre Overhauser GEM GSM19.

Les variations du champ magnétique sont enregistrées à l'aide d'un variomètre vectoriel à vanne de flux :

- Thomson-CSF VFO31, à Mbour
- Geomag M390 à Bangui

A chaque magnétomètre vectoriel est associé un magnétomètre scalaire de type Overhauser Geomag SM90R.

Une plateforme de transmission de données par satellite METEOSAT ELTA BM19 complète cet équipement.

TRAITEMENT DES DONNÉES

Les données des deux observatoires magnétiques de l'IRD sont collectées au Laboratoire de géophysique de Bondy (France) pour être contrôlées, corrigées, et archivées.

Les données préliminaires enregistrées et données définitives sont transmises au centre de données INTERMAGNET de Paris.

PERSONNEL

Gilbert JUSTE
Rémy LOUAT

The observatories of Mbour (Senegal) and Bangui (Central African Republic) have been continuously running in 2006.

INSTRUMENTATION

Absolute measurements of declination and inclination are made using a DI-flux equipments built by École et Observatoire des Sciences de la Terre de Strasbourg (Bitterly et al., 1996). The total field measurements are made with an Overhauser type scalar magnetometer GEM GSM19.

Magnetic variations are recorded with a fluxgate vector magnetometer:

- Thomson-CSF VFO31, in Mbour
- Geomag M390, in Bangui

An Overhauser type scalar magnetometer Geomag SM90R is associated to each vector magnetometer.

A data transmission platform ELTA BM19 via METEOSAT satellite is added to these equipments.

DATA PROCESSING

The data from the 2 IRD magnetic observatories are sent to the Geophysical Laboratory in Bondy (France), where they are controled, processed and archived.

The preliminary and definitive data are sent to the INTERMAGNET data center in Paris.

STAFF

Directeur / Director of US127 Observatoires géophysiques
Géophysicien / Geophysicist

INSTITUT DE RECHERCHE POUR LE DEVELOPPEMENT (IRD)
US 127 - OGSE

Observatoires de Géophysique et de Surveillance de l'Environnement

32, avenue Henri Varagnat, 93143 - BONDY cedex - FRANCE

Téléphone : 33 (0)1 48 02 55 59 Télécopie 33 (0)1 48 47 30 88

E-mail : Gilbert.Juste@bondy.ird.fr

OBSERVATOIRES SOUS LA RESPONSABILITÉ DE L'EOST EN 2006

OBSERVATORIES MAINTAINED BY EOST IN 2006

Les observatoires de Martin de Viviers (Île Amsterdam), de Port Alfred (Crozet), de Dumont d'Urville (Terre Adélie) et de Port-aux-Français (Kerguelen), sont implantés dans le Territoire des Terres australes et antarctiques françaises (TAAF).

L'exécution des programmes d'observation résulte d'une collaboration entre l'IPEV qui fournit les moyens en personnels (volontaires civils à l'aide technique VCAT) et en matériels, et l'EOST. Les programmes d'observation sont effectués par les VCAT qui s'engagent dans une coopération scientifique comprenant 9 semaines de formation, 12 mois en observatoire et 6 semaines de stage de traitement des données.

L'observatoire d'Antananarivo à Madagascar est maintenu par l'Institut et observatoire de géophysique d'Antananarivo (IOGA) en coopération avec l'EOST qui assure la formation des personnels en charge des mesures, fournit l'équipement, ainsi que les pièces de rechange. L'EOST assure également le traitement annuel des données

MESURES ABSOLUES ET ROUTINES D'OBSERVATOIRE

Les mesures absolues (D,I) ou (X,Y) sont effectuées tous les trois jours en moyenne, L'intensité du champ est enregistrée en permanence aussi bien au voisinage du variomètre triaxial que sur le pilier des mesures absolues. Ces opérations, ainsi que le prétraitement des données et la maintenance des équipements, sont effectués par les hivernants ou le personnel d'observatoire à Antananarivo.

INSTRUMENTATION

Les mesures absolues de la déclinaison (D) et de l'inclinaison (I) sont réalisées avec un théodolite Zeiss 010B équipé d'une sonde à vanne de flux et de son électronique construit par l'EOST (générations DI MAG88 ou DI MAG93).

The observatories located in Amsterdam Island, Crozet island, Dumont d'Urville (Terre Adélie – Antarctica) and Kerguelen Island are operated by the magnetic observatory department of EOST, with the logistic support of IPEV, which provides also most of the fundings required by the maintenance of these observatories.

These observatories are operated by civil volunteers (VCAT.), recruited by IPEV, for one overwintering year. They are educated during 9 weeks at EOST and do some additional processing for 6 weeks after the end of their overwintering year.

The observatory of Antananarivo is operated by IOGA, in close cooperation with EOST which trains the persons in charge of measurements, provides the equipment, including spare pieces and performs the annual processing of the data.

ABSOLUTE MEASUREMENTS AND OBSERVATORY ROUTINE

The absolute measurements (D,I) or (X,Y) are carried out every three days on average. The total field is recorded continuously in the variometer hut as well as on the absolute pillar. The measurements, as well as data preprocessing and maintenance of the equipment are performed by the overwintering observers or the observatory staff (in Antananarivo).

INSTRUMENTATION

The absolute measurements of declination and inclination are performed with a theodolite Zeiss 010B equipped with a fluxgate sensor and its electronics constructed by EOST (Two versions: DIMAG 88 and DIMAG 93).

L'intensité du champ total F est mesurée avec un magnétomètre à protons SM90R (GEM System).

Les variations du champ magnétique sont enregistrées à l'aide d'un variomètre vectoriel à vanne de flux (modèle VFO 31, Thomson-CSF).

Le dispositif d'acquisition a été réalisé par l'EOST. L'ensemble des équipements constituant la chaîne de mesure (capteurs et dispositif d'enregistrement) et les performances obtenues sont décrits en détail dans Cantin et al., 1991; Cantin, 1993.

TRAITEMENT DES DONNEES

Les données sont transmises au GIN INTERMAGNET de Paris heure par heure par satellite (Meteosat), et chaque semaine par courrier électronique. Les données définitives sont produites à l'EOST.

PERSONNEL

Jean-Jacques SCHOTT

Aude CHAMBODUT

Armelle BERNARD

Marcellin FOTZE

Jacques DURAND

The scalar magnetometer is an Overhauser SM90R manufactured by GEM System.

The continuous field record is performed with a triaxial fluxgate magnetometer constructed by Thomson CSF (type VFO 31).

The acquisition system was build up by EOST. The overall equipment as well as its detailed performances are described in Cantin et al., 1991, Cantin, 1993.

DATA PROCESSING

Preliminary data are sent hourly and weekly by satellite (Meteosat) or email to the Intermagnet GIN of Paris. Definitive data are processed by the staff at EOST.

STAFF

Responsable du service des observatoires magnétiques
Head of the magnetic observatory department

Géophysicienne – Traitement des données et formation des hivernants

Geophysicist – Data processing and observer training

Ingénieur – Conception et réalisation des logiciels et scripts, maintenance informatique et formation des hivernants.

Engineer – Development of scripts and softwares, informatic maintenance and observer training.

Ingénieur – Conception et réalisation des systèmes d'acquisition

Engineer – Development of acquisition systems

Ingénieur – Instrumentation, maintenance, formation des hivernants

Engineer – Instrumentation, maintenance, observer training.

ÉCOLE ET OBSERVATOIRE DES SCIENCES DE LA TERRE (EOST)

Service des Observatoires Magnétiques

5, rue René Descartes - 67084 STRASBOURG CEDEX

Téléphone: 33 (0)3 90 24 00 60 - Télécopie: 33 (0)3 90 24 01 25

E-mail : JeanJacques.Schott@eost.u-strasbg.fr

MÉTHODES DE CALCUL DES VALEURS MOYENNES

METHODS FOR CALCULATING MEAN VALUES

MOYENNES HORAIRES

Les moyennes horaires sont calculées à partir des valeurs minutes et sont centrées sur les demi-heures. La moyenne horaire n'est pas calculée s'il manque plus de 30 valeurs minutes dans l'heure. Cette règle s'applique à toutes les composantes, y compris les composantes calculées à partir des autres composantes.

MOYENNES JOURNALIÈRES

Les moyennes journalières sont calculées à partir des valeurs horaires et sont centrées sur les demi-journées. Une valeur horaire manquante est remplacée par la moyenne mensuelle des valeurs horaires à l'heure correspondante. La moyenne journalière n'est pas calculée quand il manque plus de 12 valeurs horaires dans la journée. Cette règle s'applique à toutes les composantes, y compris les composantes calculées à partir des autres composantes.

MOYENNES MENSUELLES

Les moyennes mensuelles des composantes mesurées (sauf F) sont calculées à partir des moyennes mensuelles aux 24 heures de la journée. Les valeurs mensuelles des composantes non enregistrées sont calculées à partir des moyennes mensuelles des composantes enregistrées. Les moyennes mensuelles du champ total F sont calculées à partir des composantes vectorielles enregistrées.

MOYENNES ANNUELLES

Les moyennes annuelles des composantes mesurées (sauf F) sont calculées à partir des moyennes journalières. Les valeurs annuelles des composantes non enregistrées sont calculées à partir des moyennes annuelles des composantes enregistrées. Les moyennes annuelles du champ total F sont calculées à partir des composantes vectorielles enregistrées.

HOURLY MEANS

Hourly mean values are computed from 1-minute values and are centered on mid-hour. No hourly value is computed if less than 30 1-minute values are available within the hour. This rule applies to all components, including components calculated from other components.

DAILY MEANS

Daily means are computed from hourly mean values and are centered on mid-day. A missing hourly mean value is replaced by the monthly mean value of the hourly mean values at the corresponding hour. No daily value is computed if less than 12 hourly values are available within the day. This rule applies to all components, including components calculated from other components.

MONTHLY MEANS

Monthly means of recorded components (except F) are computed from the monthly means of hourly mean values at the 24 hours of the day. Monthly means of non-recorded components are calculated from monthly means of recorded components. The monthly means of the total field F are computed from the recorded vector components.

ANNUAL MEANS

Annual means of recorded components (except F) are computed from daily means. Annual means of non-recorded components are calculated from annual means of recorded components. Annual means of the total field F are computed from the recorded vector components.

DEUXIÈME PARTIE / SECOND PART

RÉSULTATS POUR L'ANNÉE 2006

RESULTS FOR YEAR 2006

Les observatoires sont classés en respectant l'ordre de leur code AIGA.

The observatories are sorted according to their IAGA code.

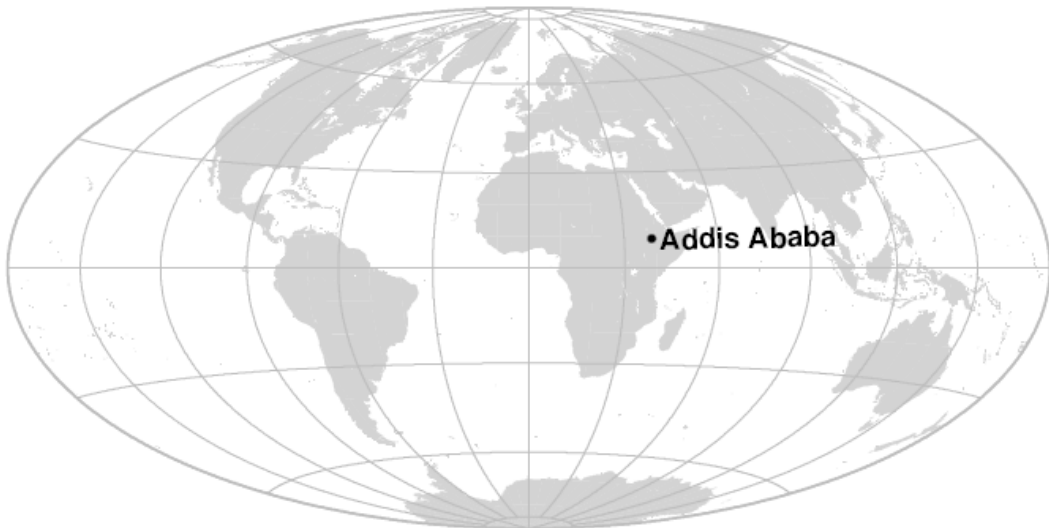
Dans les figures qui suivent, les valeurs sont rapportées aux repères d'observatoires de 2006.

In the following figures, plotted values are referred to the 2006 observatory reference frames.

OBSERVATOIRE D'ADDIS ABABA (AAE)

ADDIS ABABA OBSERVATORY (AAE)

ETHIOPIE / ETHIOPIA



PRÉSENTATION

L'observatoire d'Addis Ababa fonctionne depuis janvier 1958. Il est situé en ville, sur le campus de l'Université d'Addis Ababa. Dans une prairie jouxtant l'Observatoire de Géophysique, deux pavillons en bois de 40 m² recouverts de toits en aluminium servent de pavillon des magnétomètres et de pavillon des mesures absolues. Il est à noter que le sous-sol est basaltique.

En août 1997, un accord de coopération entre l'Institut de Physique du Globe de Paris (IPGP) et l'Observatoire de Géophysique de l'Université d'Addis Ababa (GOAAU) a permis d'installer de nouveaux équipements aux normes du réseau INTERMAGNET.

En juillet 1999, le magnétomètre vectoriel et le système d'acquisition sont tombés en panne. Les mesures magnétiques ne redémarrèrent pas avant février 2001.

En août 2004, un nouveau magnétomètre IPGP VM391 fut installé.

Événements en 2006 :

Du 18 mars au 14 avril 2006, le magnétomètre vectoriel IPGP VM391 n'a pas fonctionné correctement, et ceci jusqu'au remplacement d'une carte électronique.

OBSERVATEURS

Laike ASFAW (Directeur de l'Observatoire de Géophysique)
Abebe ALBIE TORO
Manahloh BELACHEW
Asnakech ESTIFANOS

INSTRUMENTATION

Les mesures absolues ont été réalisées deux fois par semaine à l'aide d'un DI-flux constitué d'un théodolite Zeiss 010 et d'un magnétomètre à vanne de flux Bartington 01H. Chaque fois, les différences pilier ont été mesurées à l'aide d'un magnétomètre à proton Geometrics G856ax.

Les variations magnétiques ont été enregistrées en continu par les instruments suivants :

- 1 magnétomètre homocentrique triaxial à vanne de flux IPGP VM391, orienté en

PRESENTATION

The operation of the Addis Ababa magnetic observatory started in January 1958. The observatory is located in downtown Addis Ababa, on the campus of Addis Ababa University. On the grassland next to the building of the Geophysical Observatory, two pavilions made of wood and covered by aluminium roofs are used as absolute measurements pavilion and magnetometer pavilion. It is to be noted that the underground is basaltic.

In August 1997, a cooperation agreement between the Institut de Physique du Globe de Paris (IPGP) and the Geophysical Observatory of the Addis Ababa University (GOAAU) made it possible to install new magnetic equipments matching INTERMAGNET standards.

In July 1999, the vector magnetometer and data acquisition system went out of order. Magnetic measurements restarted in February 2001.

In August 2004, a new magnetometer IPGP VM391 was installed.

Events in 2006:

From 18th March to 14th April 2006, the vector magnetometer IPGP VM391 was not working properly due to an electronic board failure.

OBSERVERS

Laike ASFAW (Director of the Geophysical Observatory)
Abebe ALBIE TORO
Manahloh BELACHEW
Asnakech ESTIFANOS

INSTRUMENTATION

Absolute measurements were made twice a week with a DI-flux constituted of a theodolite Zeiss 010 and a fluxgate magnetometer Bartington 01H. Each time pillar differences were measured with a proton magnetometer Geometrics G856ax.

Magnetic variations were continuously recorded by the following instruments:

- 1 triaxial homocentric fluxgate magnetometer IPGP VM391, in HDZ orientation
- 1 Overhauser type scalar magnetometer

HDZ

- 1 magnétomètre scalaire de type Overhauser Geomag SM90R

Les magnétomètres étaient installés dans un pavillon thermiquement isolé.

Les données ont été enregistrées par une acquisition IPGP ENO2 de type PC, et transmises au centre d'information géomagnétique d'INTERMAGNET à Paris par email.

L'énergie était fournie par le réseau électrique local et par des panneaux solaires et des batteries.

TRAITEMENT DES DONNÉES

Toutes les observations ont été ramenées au pilier absolu de référence installé à environ 15 m des capteurs.

Les lignes de bases adoptées ont été obtenues en modélisant par une spline les écarts entre enregistrements continus et mesures absolues. Les valeurs de ligne de base pour la composante F proviennent des mesures de différences entre le pilier des mesures absolues et le magnétomètre scalaire.

Geomag SM90R

The magnetometers were installed in a thermally insulated pavilion.

Data were acquired by a data logger IPGP ENO2, which is based on a PC system, and transmitted to the INTERMAGNET Geomagnetic Information Node in Paris via email.

The power was supplied by the local electric network and solar panels and batteries.

DATA PROCESSING

All the observations were reduced to the absolute pillar, at a distance of about 15 m from the sensors.

The adopted baseline values were obtained by spline modelling of the differences between continuous recordings and absolute measurements. Baseline values for the F component come from differences between the absolute pillar and the scalar magnetometer.

Valeurs moyennes horaires disponibles / *Hourly mean values available* [2006] : 95.3%

Nombre de mesures absolues utilisées / *Number of used absolute measurements* [2006] : 106

Amplitudes pic-à-pic des lignes de base / *peak-to-peak baseline amplitudes* [2006] :

$$|D_{o, \min} - D_{o, \max}| = 67''$$

$$|Z_{o, \min} - Z_{o, \max}| = 9.5\text{nT}$$

$$|H_{o, \min} - H_{o, \max}| = 7.3\text{nT}$$

$$|F_{o, \min} - F_{o, \max}| = 6.3\text{nT}$$

Différences RMS entre valeurs de lignes de base mesurées et adoptées

Root mean square differences between measured and adopted baseline values [2006] :

$$(\Delta D_o)_{\text{rms}} = 8''$$

$$(\Delta Z_o)_{\text{rms}} = 1.0\text{nT}$$

$$(\Delta H_o)_{\text{rms}} = 0.4\text{nT}$$

$$(\Delta F_o)_{\text{rms}} = 0.3\text{nT}$$

Valeur RMS du résidu scalaire Fv-Fs / *RMS value of scalar residual Fv-Fs* [2006] :

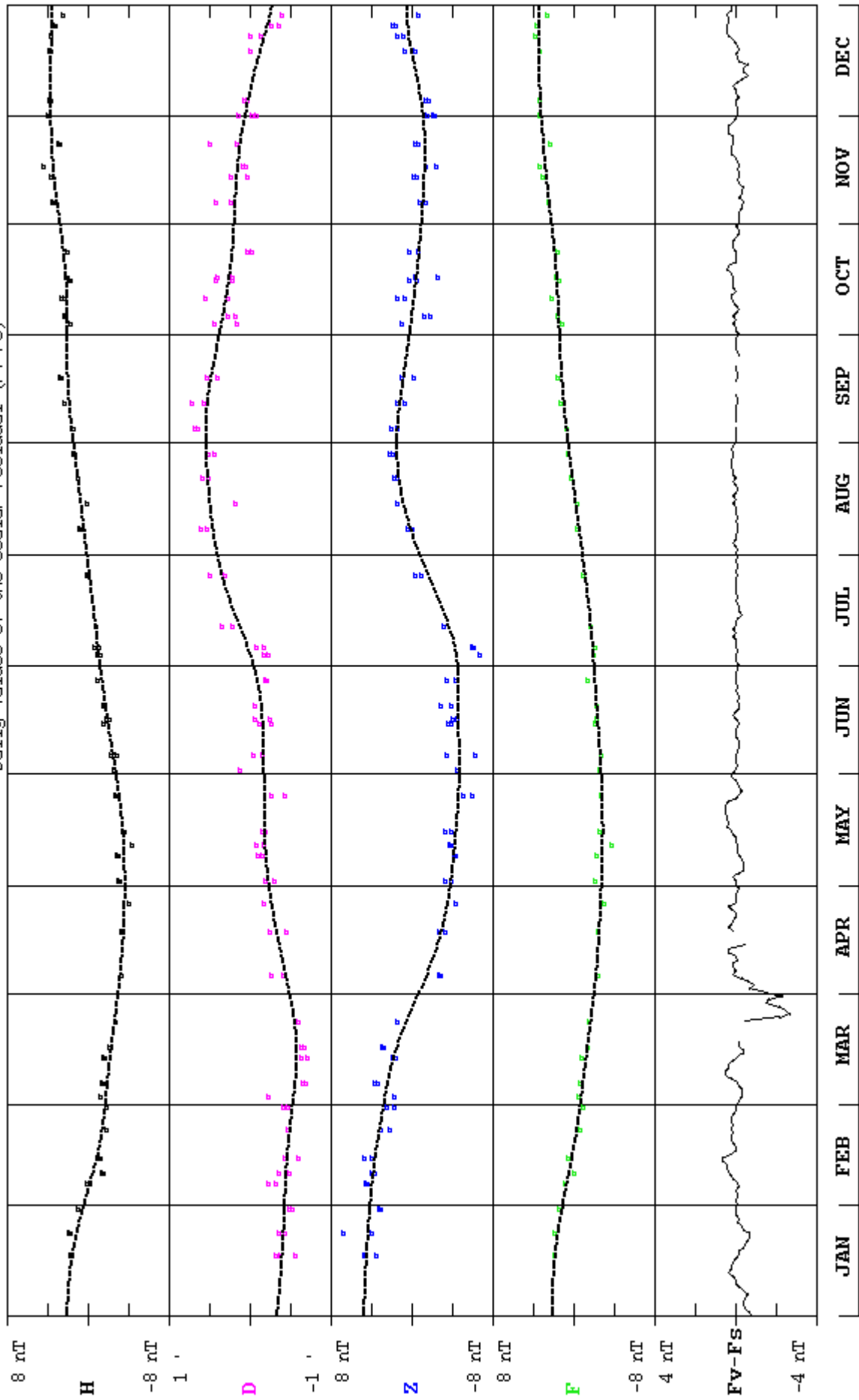
$$[\Delta(F_s - F_v)]_{\text{rms}} = 0.5\text{nT}$$

**GEOPHYSICAL OBSERVATORY
ADDIS ABABA UNIVERSITY
Faculty of Science, P.O. Box 1176, Addis Ababa - ETHIOPIA**

TEL.:+251 1 11 22 39 34

ADDIS ABABA(AAE) 2006

Observed and adopted baseline values (H,D,Z,F)
Daily values of the scalar residual (Fv-Fs)



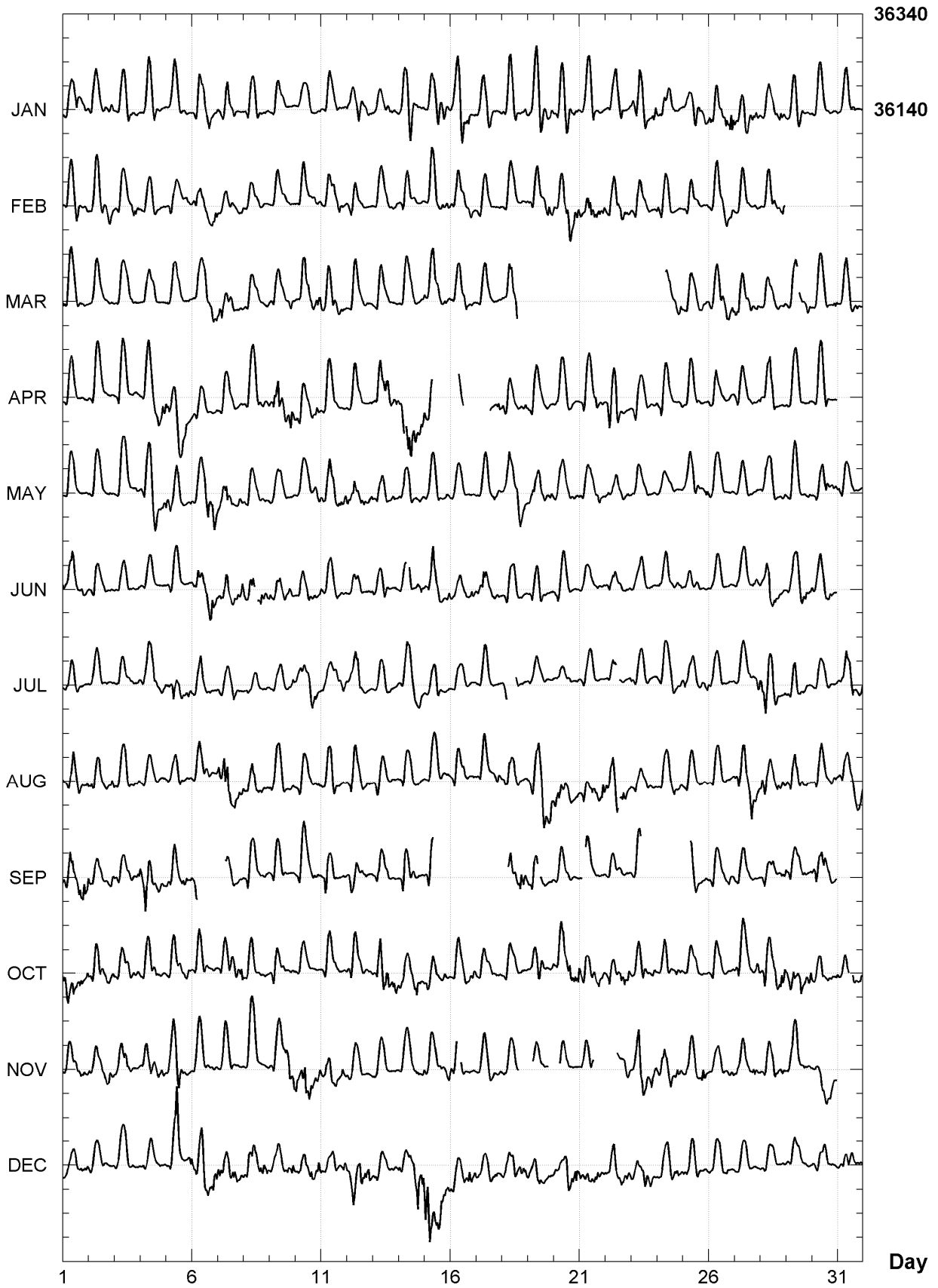
ADDIS ABABA (AAE)

K indices, 2006 (K=9 for 240 nT)

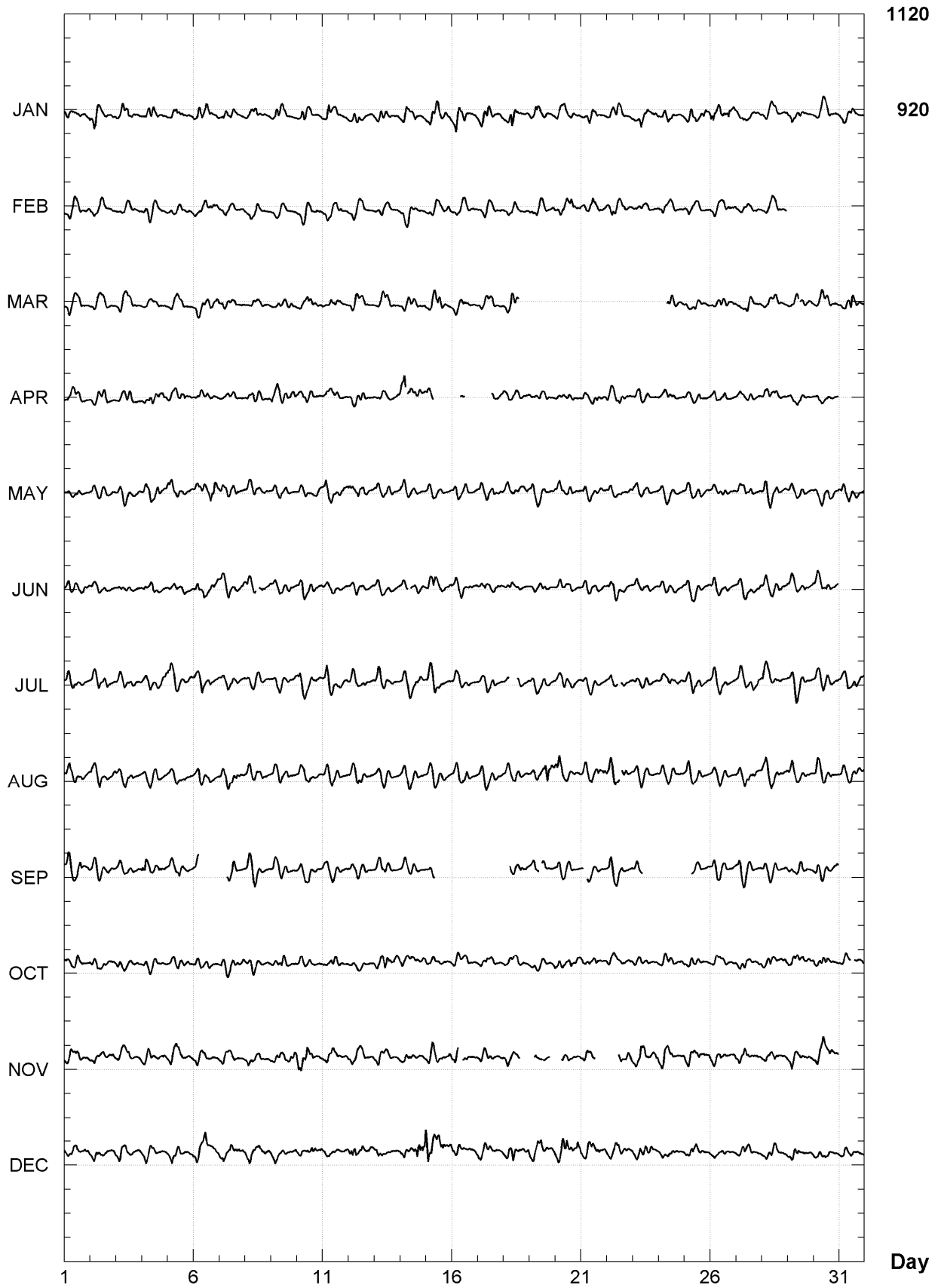
DATE	JANUARY	FEBRUARY	MARCH	APRIL	MAY	JUNE
01	3333 4322	3556 5323	4566 4311	1466 2210	1354 2112	4346 3233
02	4654 3324	3566 3233	1355 2122	1466 3212	2354 2112	2454 2322
03	2366 4322	2354 2343	2344 3221	355- 2222	3465 2222	2343 2211
04	1366 5220	3333 3111	2334 3212	4666 3445	4667 5543	2233 2111
05	2366 2221	2433 2232	3333 2102	4456 4443	4454 3212	2453 1111
06	2454 3423	3443 3234	2333 4454	2443 2212	3454 6665	3566 4564
07	2455 3321	2322 2122	4443 3233	1444 2112	3565 4233	3566 3344
08	2455 3322	2233 2111	2333 2222	3566 4333	2444 2221	545- -443
09	2343 2110	1344 3232	1333 2242	4565 5455	2233 2212	3354 2232
10	1332 2111	1355 3233	2466 4334	3565 2343	2322 2133	2443 3332
11	2454 3221	3343 3422	4455 4332	4555 3212	4565 4334	3244 2223
12	3434 4221	2444 2211	3565 2121	2444 3222	3463 3332	1243 2212
13	1333 2222	2323 2312	1455 2111	3554 5544	2343 3232	3323 3112
14	3546 6433	2455 3222	3554 2113	47-6 6654	3444 3222	22-- 3334
15	3335 6443	34-5 3244	4555 3232	54-- ----	3345 3222	3576 4334
16	3667 6434	3455 3332	2455 3322	---5 ----	2321 1111	2343 2243
17	4445 4322	2345 2112	1355 2122	---- -224	2365 3322	3353 3231
18	3577 4323	2354 3121	2466 6---	3432 2123	3554 4652	2454 3212
19	3578 6434	3466 3343	---- ----	1455 2201	2453 3233	2455 4221
20	3567 5332	3456 5554	---- ----	1466 3210	3433 2222	2455 2211
21	3367 5211	3345 4444	---- ----	2465 4533	3333 2332	1232 2212
22	1345 4412	3445 4432	---- ----	4578 5322	2343 3223	2443 2222
23	3577 5335	1344 2212	---- ----	2464 2322	3342 2211	1222 2111
24	3444 4212	3455 2111	---3 2234	3565 2213	1333 2111	1345 3222
25	3335 5443	2345 3112	3442 2232	2455 3211	1334 4333	2323 2101
26	4455 3645	3466 3324	3456 4433	3443 2210	3323 2211	2344 2210
27	3335 5433	2355 3122	3533 3324	4423 2222	2332 2211	2233 2233
28	3333 3243	1355 4234	2433 2222	3566 4222	4545 3223	3565 4233
29	2356 5312		342- -233	2466 4202	2466 2113	3454 5543
30	4434 3221		33-4 2233	3577 4210	2335 5433	4445 4321
31	1355 3320		244- -231		3343 2112	

DATE	JULY	AUGUST	SEPTEMBER	OCTOBER	NOVEMBER	DECEMBER
01	2354 2111	3455 3322	4454 3453	4665 3423	3333 3333	1223 3223
02	2345 3211	2455 2214	4333 2234	3555 3222	3223 3344	3331 2212
03	2423 2222	2355 2223	2333 3223	2433 2323	2444 3132	3433 2112
04	3354 5333	1232 2111	5666 3443	3434 3321	3553 2333	1322 2121
05	3564 3333	2333 3221	3455 3341	3533 3223	4446 6213	2369 5323
06	3566 2222	3444 3212	25-- ----	3444 4222	4434 3333	4467 5454
07	2343 3321	4677 4533	---3 3321	3434 5555	2355 3221	4555 4433
08	1232 2112	3454 3332	2554 2222	3544 2221	4666 3111	3665 4444
09	1222 1124	3345 3323	2455 3211	3543 3222	1454 3455	3332 1334
10	3344 4432	2443 2223	3566 3232	2322 1111	5556 4444	2444 4444
11	2434 3344	2456 5321	3665 3212	2455 3211	3455 3343	3433 3235
12	2366 5221	3565 2221	3555 3222	3555 3212	2332 2111	3565 5453
13	2343 2212	2444 1222	2565 3210	3565 5554	2332 2101	3443 2123
14	2354 3332	1433 2211	2555 4211	4454 3444	3332 2223	3334 6677
15	2455 4212	1343 2322	256- ----	2455 2241	4543 3313	7875 5554
16	1221 1121	3554 3222	---- ----	2444 3334	34-- 2112	3433 3454
17	2355 3221	2566 3234	---- ----	2322 1211	2454 2222	3322 3231
18	24-- -221	3564 3433	---4 4454	1332 2122	2233 5---	2334 3444
19	2222 2112	3564 7646	256- 3222	2335 4111	--53 21--	3344 3222
20	1222 2212	4543 3222	3322 2110	4555 4544	--2 2110	4344 6555
21	1332 2010	2543 3435	1--2 1112	5544 4443	2323 ----	3344 4432
22	134- -113	4666 -442	2323 1122	3544 3444	---- 3344	3455 3343
23	2332 2212	2443 2212	265- ----	2334 4223	3565 4344	2244 4443
24	2454 3323	2333 2323	---- ----	2455 3233	4454 4243	2333 4432
25	4343 2223	2344 2211	---4 4213	2343 2221	3465 3453	3365 3322
26	4344 3212	1333 2122	2444 2233	3553 2111	2333 3233	2232 2221
27	2332 3335	3466 4643	2433 2111	2566 3234	2345 3242	1232 2211
28	6676 5422	4543 2343	1423 3124	3565 4355	1333 4333	1222 2222
29	2355 3222	3454 3321	3333 3331	4453 5445	3466 2222	2332 2122
30	2332 2213	2455 2233	3656 4333	4444 2222	2445 4432	2334 3321
31	2455 5334	3465 3334		222- -223		1333 2112

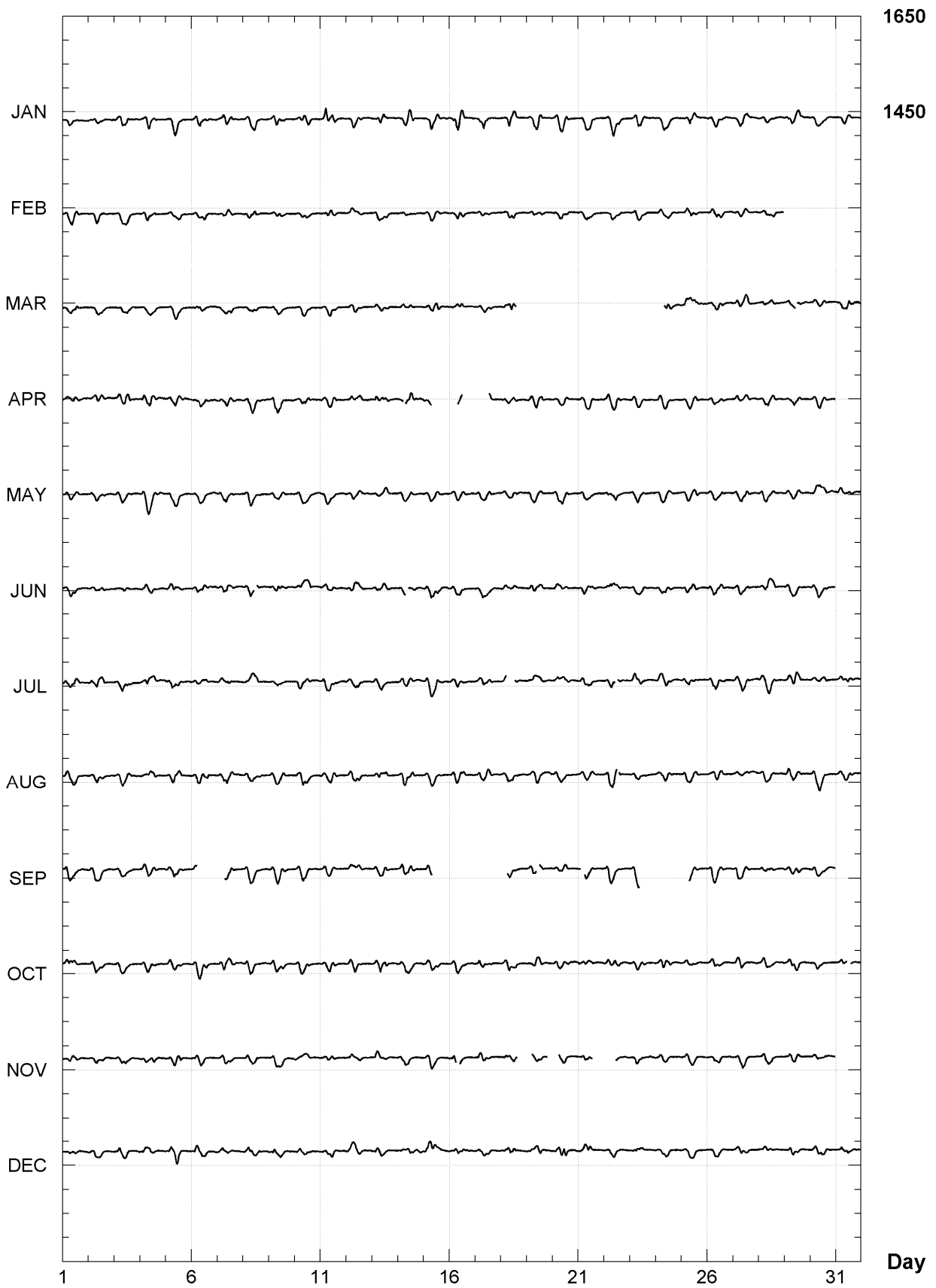
ADDIS ABABA (AAE)
Hourly mean values: X component (nT), 2006



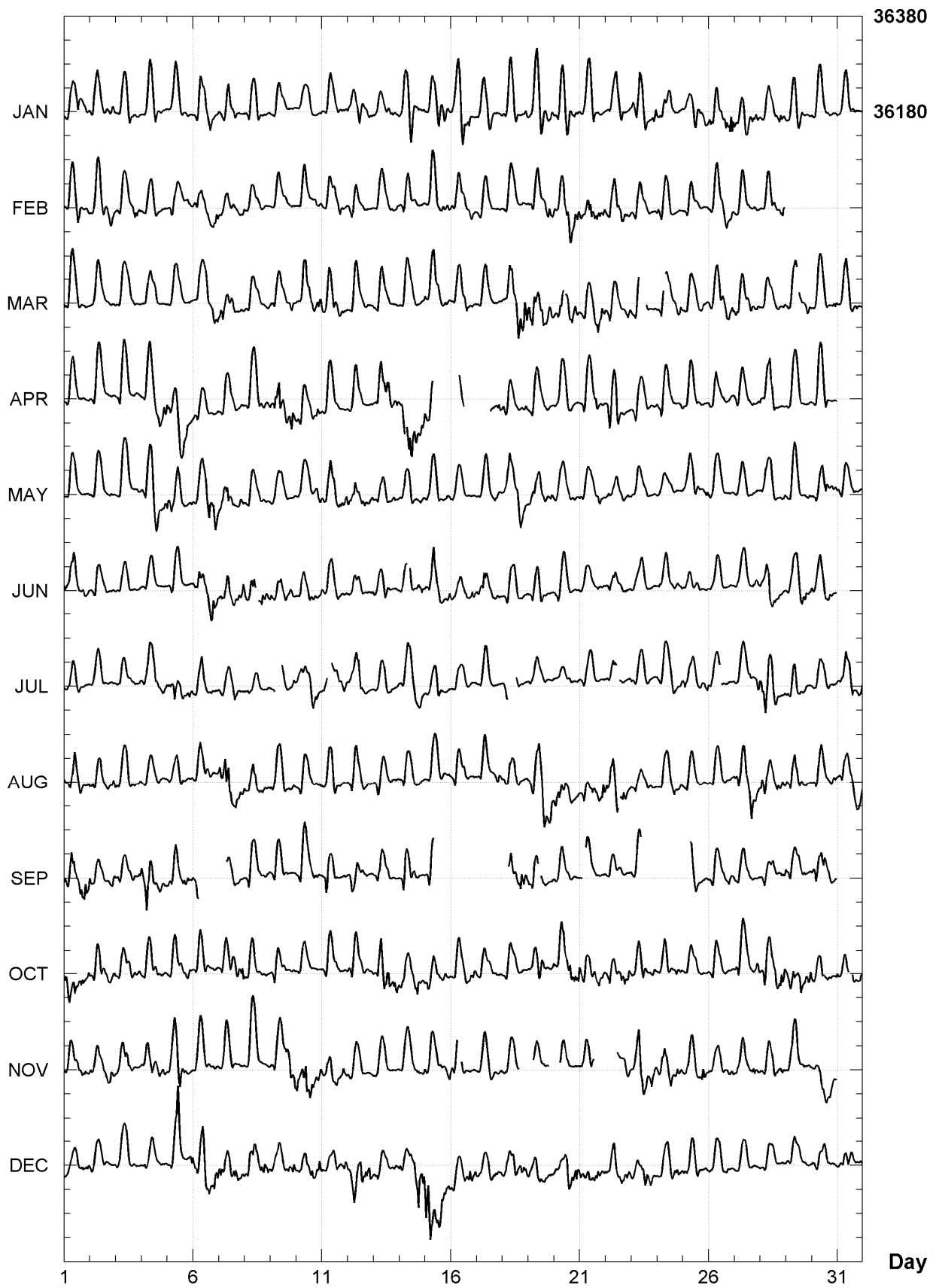
ADDIS ABABA (AAE)
Hourly mean values: Y component (nT), 2006



ADDIS ABABA (AAE)
Hourly mean values: Z component (nT), 2006



ADDIS ABABA (AAE)
Hourly mean values: total field F (nT), 2006



ADDIS ABABA (AAE)
Monthly and annual mean values, 2006

Date	D o ' °	I o ' °	H nT	X nT	Y nT	Z nT	F nT	J	ELE
JAN	1 26.4	2 16.2	36160	36149	909	1433	36189	A	HDZF
FEB	1 26.8	2 16.5	36162	36150	913	1437	36190	A	HDZF
MAR	1 27.0	2 17.1	36165	36153	915	1443	36193	A	HDZF
APR	1 27.7	2 17.6	36150	36139	922	1448	36179	A	HDZF
MAY	1 27.8	2 17.7	36161	36149	923	1449	36190	A	HDZF
JUN	1 27.9	2 18.3	36160	36149	924	1455	36190	A	HDZF
JUL	1 28.2	2 18.7	36163	36151	928	1460	36192	A	HDZF
AUG	1 28.8	2 19.1	36156	36144	934	1464	36186	A	HDZF
SEP	1 29.1	2 19.3	36161	36149	937	1466	36191	A	HDZF
OCT	1 29.6	2 19.6	36161	36148	942	1470	36190	A	HDZF
NOV	1 30.0	2 20.1	36161	36149	946	1474	36191	A	HDZF
DEC	1 30.2	2 20.7	36146	36134	948	1480	36177	A	HDZF
2006	1 28.3	2 18.4	36159	36147	929	1457	36188	A	HDZF
JAN	1 26.6	2 16.2	36168	36156	911	1434	36196	Q	HDZF
FEB	1 26.6	2 16.6	36170	36158	911	1438	36198	Q	HDZF
MAR	1 27.1	2 16.6	36170	36159	917	1438	36199	Q	HDZF
APR	1 27.3	2 17.8	36170	36158	919	1450	36199	Q	HDZF
MAY	1 27.8	2 17.8	36165	36153	923	1450	36194	Q	HDZF
JUN	1 27.8	2 18.2	36169	36157	924	1454	36198	Q	HDZF
JUL	1 28.0	2 18.9	36167	36155	926	1462	36196	Q	HDZF
AUG	1 28.6	2 19.2	36164	36152	932	1465	36194	Q	HDZF
SEP	1 28.8	2 19.1	36171	36158	934	1465	36200	Q	HDZF
OCT	1 29.4	2 19.5	36171	36158	940	1469	36200	Q	HDZF
NOV	1 29.7	2 20.0	36175	36163	944	1474	36205	Q	HDZF
DEC	1 29.9	2 20.6	36162	36150	945	1480	36193	Q	HDZF
2006	1 28.1	2 18.3	36168	36156	927	1456	36197	Q	HDZF
JAN	1 26.3	2 16.4	36150	36139	908	1435	36179	D	HDZF
FEB	1 27.1	2 16.5	36152	36140	916	1436	36181	D	HDZF
MAR	1 27.0	2 16.8	36168	36156	915	1440	36196	D	HDZF
APR	1 28.2	2 17.7	36114	36102	927	1447	36143	D	HDZF
MAY	1 28.1	2 17.7	36147	36135	926	1449	36176	D	HDZF
JUN	1 28.1	2 18.4	36148	36136	926	1456	36178	D	HDZF
JUL	1 28.5	2 18.7	36154	36142	931	1460	36184	D	HDZF
AUG	1 29.0	2 19.3	36136	36124	936	1465	36166	D	HDZF
SEP	1 29.4	2 19.3	36146	36133	940	1466	36175	D	HDZF
OCT	1 30.0	2 19.8	36141	36129	946	1470	36171	D	HDZF
NOV	1 30.3	2 20.3	36140	36127	949	1476	36170	D	HDZF
DEC	1 30.7	2 20.9	36121	36109	953	1481	36152	D	HDZF
2006	1 28.6	2 18.6	36142	36130	932	1458	36172	D	HDZF

A: Tous les jours/ All days

Q: Jours calmes/ Quiet days

D: Jours perturbés/ Disturbed days

ELE: Elements enregistrés/ Recorded elements

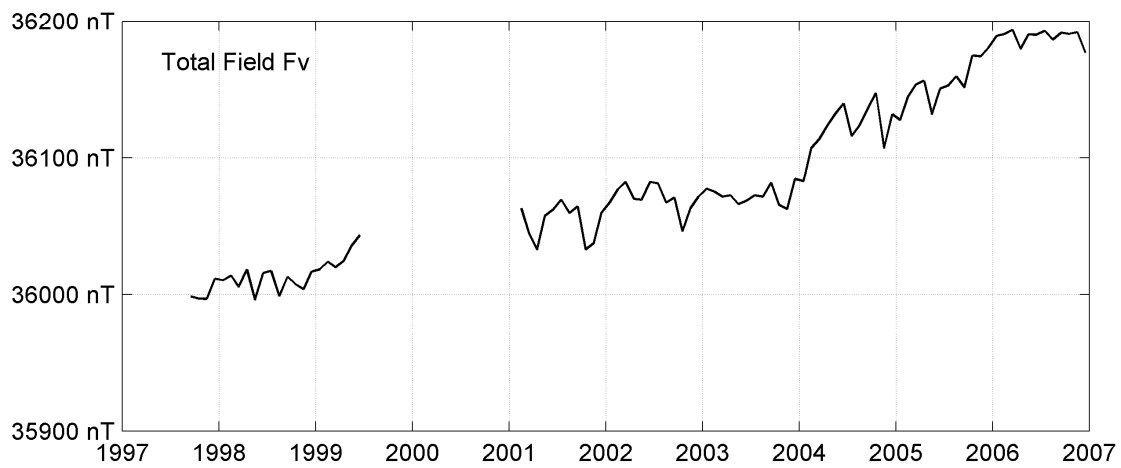
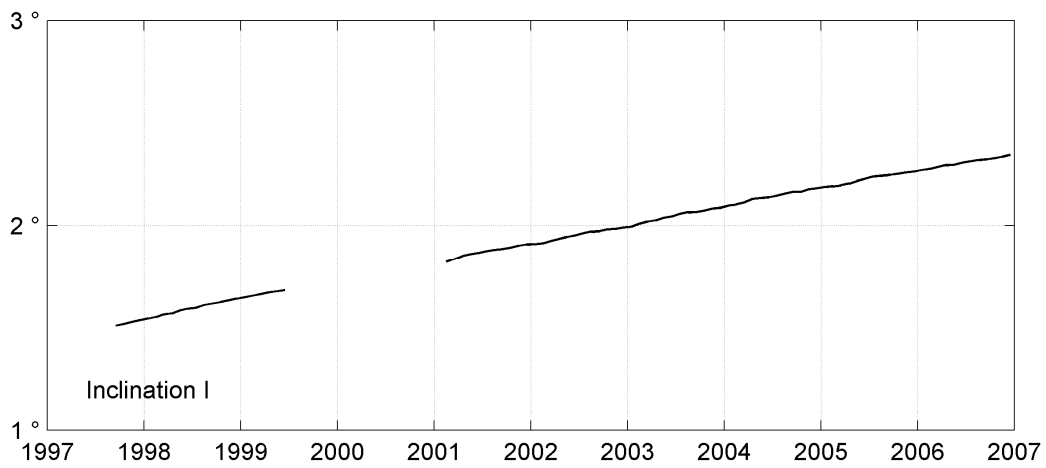
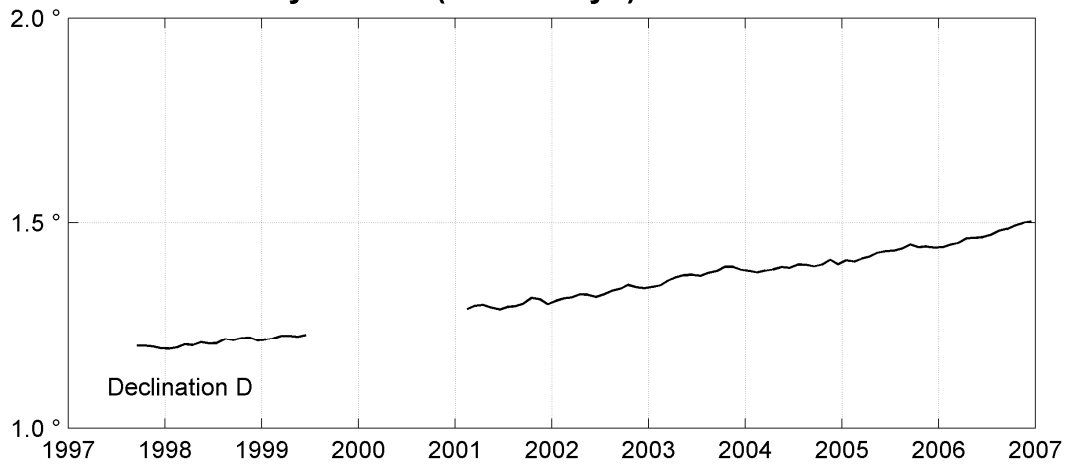
ADDIS ABABA (AAE)
Annual mean values, 1997 - 2006

Date	D ° ' "	I ° ' "	H nT	X nT	Y nT	Z nT	F nT	ELE	Note
1997.8	1 11.9	1 31.4	35988	35980	753	957	36001	HDZF	1
1998.5	1 12.5	1 35.7	35995	35987	759	1002	36009	HDZF	
1999.2	1 13.3	1 40.0	36012	36004	768	1048	36027	HDZF	2
2000.5	- -	- -	-	-	-	-	-		
2001.6	1 18.1	1 52.5	36033	36024	818	1179	36052	HDZF	3
2002.5	1 19.8	1 57.2	36049	36039	836	1230	36070	HDZF	
2003.5	1 22.4	2 02.8	36049	36039	864	1289	36072	HDZF	
2004.5	1 23.6	2 08.5	36096	36085	877	1349	36121	HDZF	
2005.5	1 25.7	2 13.6	36127	36116	900	1405	36154	HDZF	
2006.5	1 28.3	2 18.4	36159	36147	929	1457	36188	HDZF	

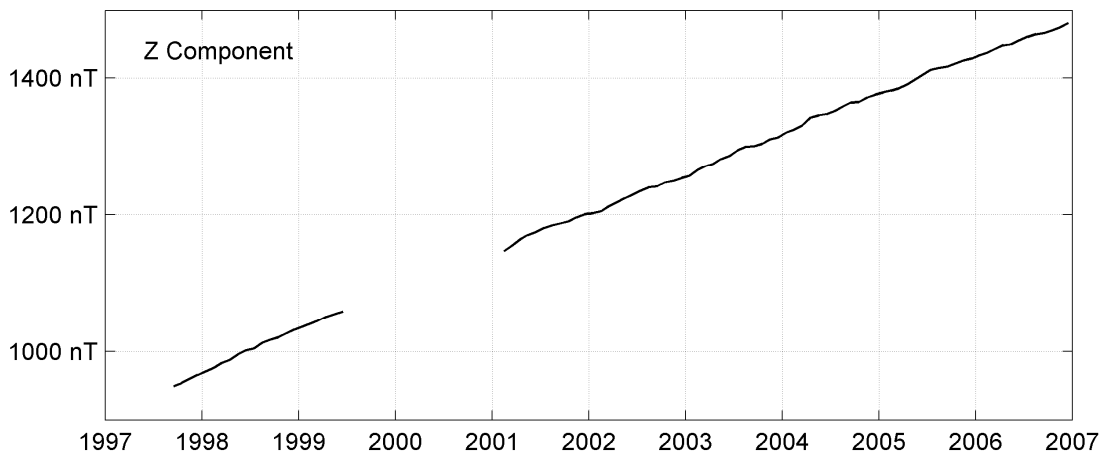
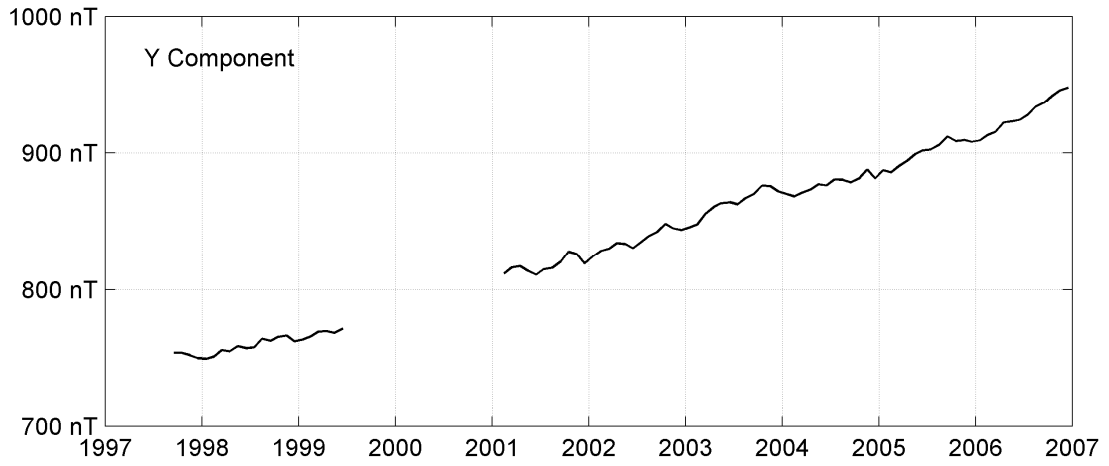
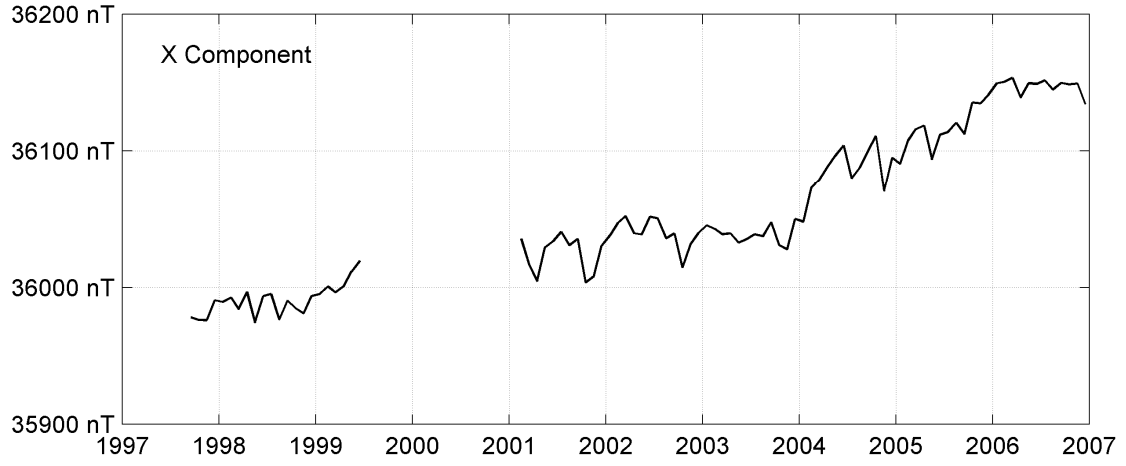
Notes :

- 1 Sep-Dec 1997. Jump values from 1995 not known but are present
- 2 Jan-Jun 1999
- 3 Feb-Dec 2001

ADDIS ABABA (AAE)
Monthly means (for all days) from 1997 to 2006



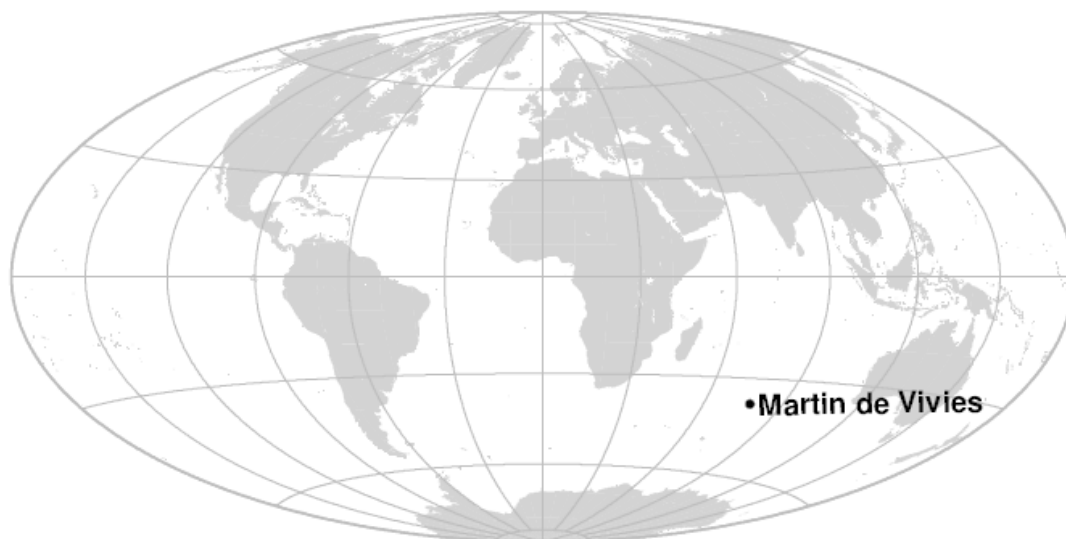
ADDIS ABABA (AAE)
Monthly means (for all days) from 1997 to 2006



OBSERVATOIRE DE MARTIN DE VIVIÈS (AMS)

MARTIN DE VIVIÈS OBSERVATORY (AMS)

ÎLE AMSTERDAM / AMSTERDAM ISLAND



PRÉSENTATION

L'observatoire magnétique de Martin de Viviès est situé sur l'île d'Amsterdam, île volcanique dont le volcanisme est lié à une faille transformante proche de la dorsale est-indienne. Les laves sont de composition tholéitique dont la source est probablement située à faible profondeur dans le manteau. La base permanente Martin de Viviès a été installée en 1950 dans la partie nord de l'île. A l'origine, son activité scientifique était consacrée à la météorologie. L'observatoire magnétique permanent a été ouvert officiellement en avril 1981 (Bitterly et al, 1983).

Le site retenu pour l'implantation de l'observatoire est situé à 50 mètres d'altitude, sur un plateau légèrement incliné, composé de coulées de lave contenant de nombreuses cavités.

L'observatoire se compose de deux abris, l'un pour les mesures absolues, l'autre pour les variomètres. Les abris sont constitués de matériau amagnétique, (résine et fibre de verre). Les abris ont été installés entre décembre 1980 et avril 1981 à une centaine de mètres des bâtiments principaux de la base. L'abri des variomètres est à 15 mètres au NW de l'abri des mesures absolues qui est lui-même à 120 mètres au SE du laboratoire. Les infrastructures sont inchangées depuis leur première installation. Les abris, du variomètre et des mesures absolues, sont chauffés à une température constante de 25 degrés Celsius.

La carte magnétique des environs immédiats des abris fait apparaître des anomalies de grande amplitude, dues à la forte aimantation des basaltes. Par exemple la différence d'intensité du champ entre le pilier des mesures absolues et celui du variomètre triaxial, distants de moins de 20 mètres, est de 400 nT.

Le champ est enregistré en continu depuis 1981. Une balise assurant une transmission par satellite a été installée en décembre 1992, de manière à satisfaire aux normes Intermagnet. Le satellite METEOSAT transmet les données brutes une fois par heure vers le GIN de Paris.

La position du pilier de référence de l'observatoire (pilier des mesures absolues,

PRESENTATION

The Amsterdam island (60km²) is a volcano related to an active transform fault. Lavas are tholeiitic in composition and are likely to originate in a shallow mantellic source.

The Martin de Viviès permanent base was set up in 1950 in the northern part of the island. In the beginning, it was dedicated to meteorological observations. The permanent magnetic observatory was established in 1981 by the formerly Ecole et Observatoire de Physique du Globe de Strasbourg (now Ecole et Observatoire des Sciences de la Terre).

The site selected to build the observatory (altitude 50 meters) is located 50 meters above the sea level, on a slightly dipping plateau composed of solidified lava containing a lot of cavities.

The observatory comprises two huts: an absolute hut and a variometer hut, made in resine and fiber glass material. It was installed between December 1980 and April 1981, about hundred meters away from the main buildings of the base. The variometer hut is located 15 meters NW off the absolute hut. The recording laboratory is 120 meters NW away from the absolute hut. Since the opening of the observatory in April 1981, the infrastructures have remained unchanged. The absolute and the variometer houses are heated at a constant temperature of 25 degrees Celsius.

The magnetic chart of the hut surroundings displays large local magnetic anomalies originating in the strongly magnetized basalt basement outcropping all over the island. For instance, the variation of the total field intensity between the absolute pier and the variometer pier (not even 20 meters away) reaches 400 nT.

Digital data have been recorded continuously since 1981. An equipment for the INTERMAGNET program was added in December 1992. It consists in a data collection platform (DCP) for transmission via METEOSAT satellite to Gin's of Paris.

The absolute pier (37.796 S, 77.574 E) has been remaining the same since 1981.

37.796 S, 77.574 E) est inchangée depuis 1981.

OBSERVATEUR

Nicolas GLORIEUX

INSTRUMENTATION

MESURES ABSOLUES

Les mesures absolues de déclinaison et inclinaison sont effectuées à l'aide du magnétomètre EOST DI-mag88 dont la sonde à un noyau est montée sur un théodolite amagnétique Zeiss 010B. Les mesures d'intensité du champ sont effectuées automatiquement sur le pilier des mesures absolues avec un magnétomètre à protons à effet Overhauser GEM GSM90.

La précision estimée pour les composantes absolues est de 1 nT sur H et Z, l'équivalent de 1nT sur D et 0.2nT sur F.

VARIOMETRES

L'enregistrement des variations du champ magnétique est effectué à l'aide d'un variomètre triaxial Thomson VFO31 et d'un magnétomètre à protons à effet Overhauser Geomag SM90R associés à un dispositif d'acquisition numérique sur PC. Des contrôles périodiques du nivellement de la platine support du capteur triaxial ont montré que le pilier du variomètre est resté parfaitement stable (la résolution des mesures de niveau est de l'ordre de 5 secondes d'arc).

Les caractéristiques principales du variomètre VFO31, du magnétomètre à protons et des dispositifs d'enregistrement associés, sont données ci-dessous :

Variomètre tri-directionnel VFO31

orientation : HDZ

sensibilité : 5 mV/nT

bruit : 0,1 nT crête à crête, dans la bande 0 à 0,5 Hz

stabilité thermique du capteur : meilleure que 0,1 nT/°C

stabilité thermique de l'électronique associée : meilleure que 0,15 nT/°C

coefficient de température de la référence tension : 4 ppm/°C

stabilité thermique du convertisseur A/D : meilleure que 0,2 nT/°C

température de fonctionnement du capteur et de l'électronique associée : contrôlée à +/- 2°C

OBSERVER

Nicolas GLORIEUX

INSTRUMENTATION

ABSOLUTE MEASUREMENTS

Declination and inclination are measured with the Declination-Inclination magnetometer EOST DI-mag88. This DI-flux is based on a Zeiss 010B non-magnetic theodolite fitted with a single axis sensor mounted on the telescope. The total field is recorded on the same pillar with an Overhauser proton magnetometer GEM GSM90.

The estimated accuracy is 1nT for H and Z, the equivalent of 1nT for D and 0.2nT for F.

VARIOMETERS

The field variations are recorded with a fluxgate variometer Thomson VFO31 and a Overhauser type proton magnetometer Geomag SM90R recording total intensity F. They are associated to a data logger based upon a PC architecture. Steady control of the levelling of the slab supporting the triaxial sensors shows that the pillar has remained stable within the resolution of the levels (5 second of arc).

The main features of the variometer VFO31, of the proton magnetometer and the data logger are as follows:

Triaxial variometer VFO31

orientation: HDZ

sensitivity: 5mV/nT

noise: 0.1nT peak to peak in the 0-0.5 Hz frequency range.

thermal stability: better than 0.1nT/°C

thermal stability of the electronics: better than 0.15nT/°C

thermal coefficient of the reference voltage: 4ppm/°C.

thermal stability of the A/D converter: better than 0.2nT/°C

temperature control of the sensors and electronics within +/- 2°C

long term stability: better than 1nT/month

These figures are valid for a compensation field of 5000nT.

Overhauser type Proton magnetometer Geomag SM90R

accuracy: 1nT

stabilité à long terme : meilleure que 1nT/mois

Les caractéristiques indiquées sont valables pour un champ compensé de 50.000 nT.

*Magnétomètre à protons à effet Overhauser
Geomag SM90R*

précision : 1 nT

résolution : 0.01 nT

stabilité à long terme : 0.1 nT/an

Dispositif d'acquisition numérique :

convertisseur intégrateur double rampe 16 bits + signe (un convertisseur par voie)

résolution : 0.1 nT

dynamique : +/- 2000 nT

horloge temps réel

cadence d'échantillonnage : au pas de 2 secondes, puis décimé avec un filtre gaussien pour le calcul d'une valeur par minute

resolution: 0.01nT

long-term stability: 0.1nT/year

Data logger

double ramp 16 bits A/D converter (one per channel).

resolution: 0.1nT

dynamic range: +/- 2000nT

real-time clock

sampling rate: 2s. Gaussian filtering and decimation to 1 minute sampling rate.

PROTOCOLE DES MESURES, TRAITEMENT DES DONNÉES ET PRECISION

En 2006, des mesures absolues ont été effectuées tous les trois jours en moyenne.

Les valeurs de base adoptées pour H0, D0, Z0, F0 ont été calculées, pour chaque jour de l'année, en utilisant une fonction d'ajustement par splines cubiques. L'incertitude sur les valeurs finales est estimée à ± 2 nT pour tous les éléments. Les variations annuelles des lignes de base sont attribuées aux variations du champ crustal entre le pilier de mesures absolues et les variomètres dues aux variations d'aimantation des basaltes sous l'effet de la température.

INCIDENTS

Un certain nombre de courtes coupures dans les séries se répartissent au cours de l'année, dues principalement à des défaillances temporaires de l'acquisition.

MEASUREMENT PROTOCOL, DATA PROCESSING AND ACCURACY

In 2006, absolute measurements were performed on average every 3 days.

The adopted baseline values are calculated by cubic spline smoothing. The uncertainty in the adopted baseline values as well in the final 1-minute values, is estimated to be less than ± 2 nT for all elements. The values of the field component refer to the pillar of absolute measurements. Most of the baseline variations reflect the time varying local gradient between the absolute shelter and variometers, due to the temperature dependent magnetic properties of the basaltic rocks.

FAILURES

A small number of short-term gaps due to acquisition failures are spread out throughout the year.

Valeurs moyennes horaires disponibles / *Hourly mean values available* [2006] : 99.8%

Nombre de mesures absolues utilisées / *Number of used absolute measurements* [2006] : 204

Amplitudes pic-à-pic des lignes de base / *peak-to-peak baseline amplitudes* [2006] :

$$|D_{o, \min} - D_{o, \max}| = 72''$$

$$|Z_{o, \min} - Z_{o, \max}| = 2.4 \text{ nT}$$

$$|H_{o, \min} - H_{o, \max}| = 3.8 \text{ nT}$$

Différences RMS entre valeurs de lignes de base mesurées et adoptées

Root mean square differences between measured and adopted baseline values [2006] :

$$(\Delta D_o)_{\text{rms}} = 11''$$

$$(\Delta Z_o)_{\text{rms}} = 0.6 \text{ nT}$$

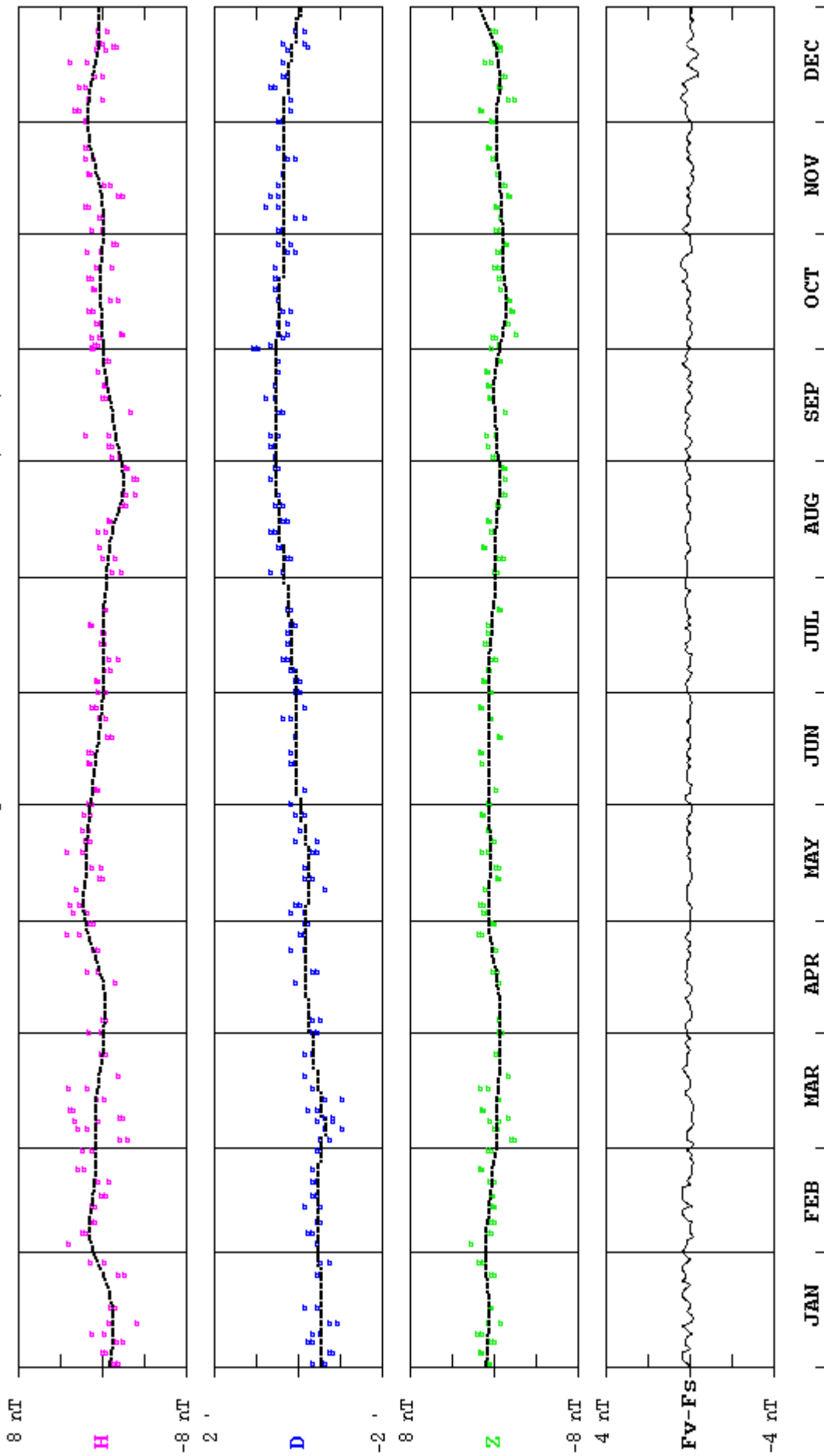
$$(\Delta H_o)_{\text{rms}} = 1.1 \text{ nT}$$

Valeur RMS du résidu scalaire Fv-Fs / *RMS value of scalar residual Fv-Fs* [2006] :

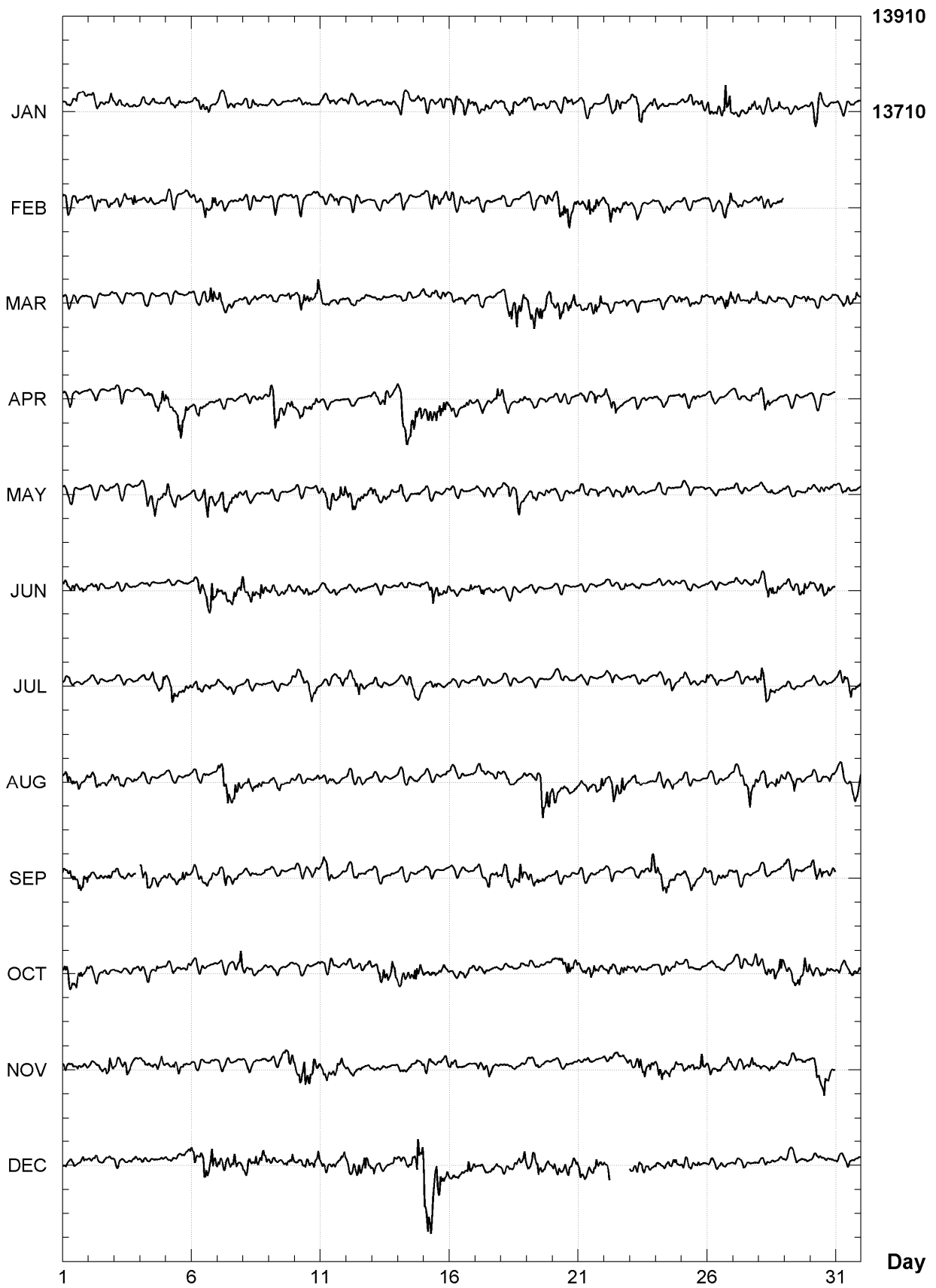
$$[(\Delta(F_s - F_v))]_{\text{rms}} = 0.4 \text{ nT}$$

MARTIN DE VIVIES (AMS) 2006

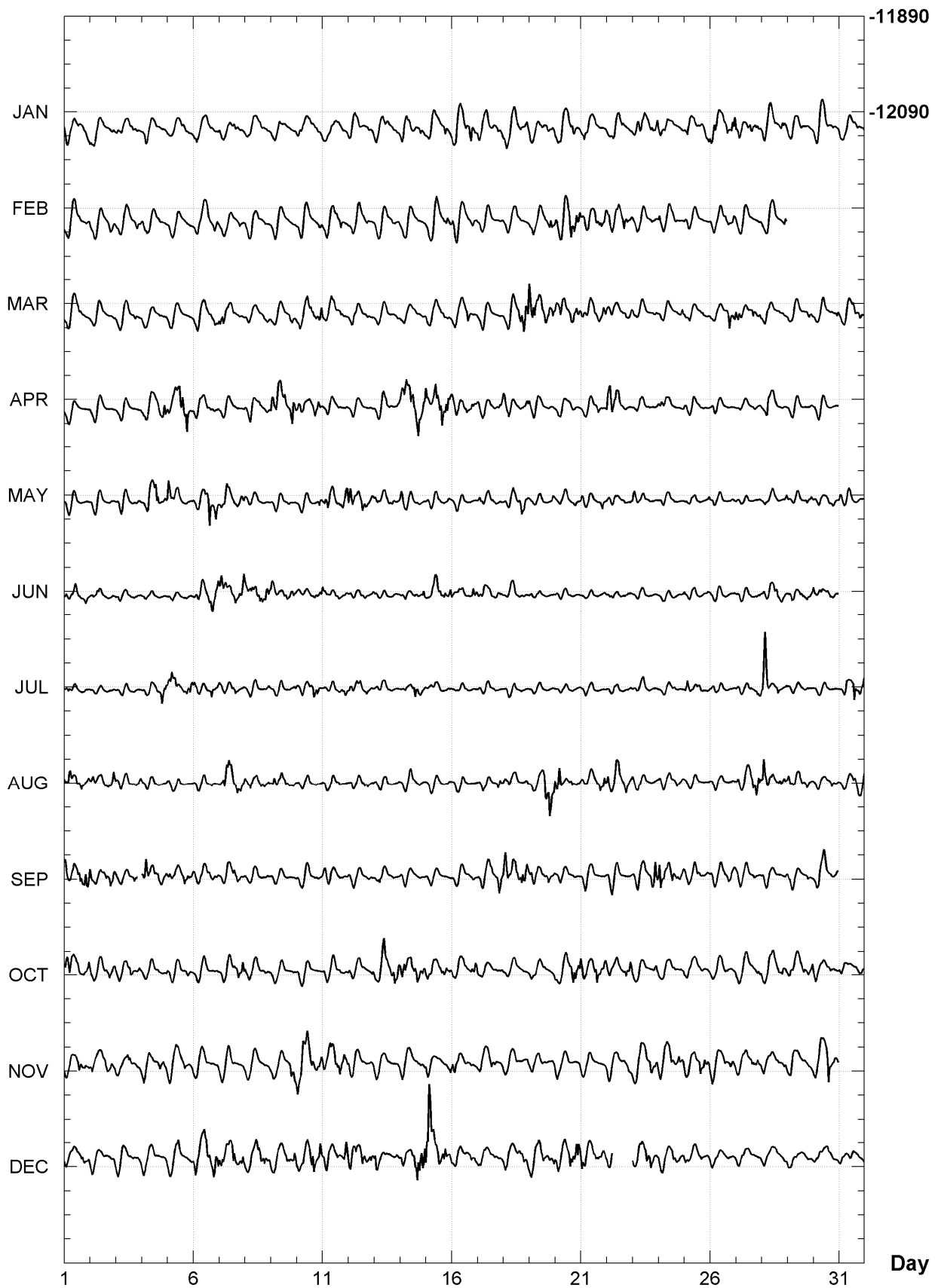
Observed and adopted baseline values (H,D,Z)
Daily values of the scalar residual (Fv-Fs)



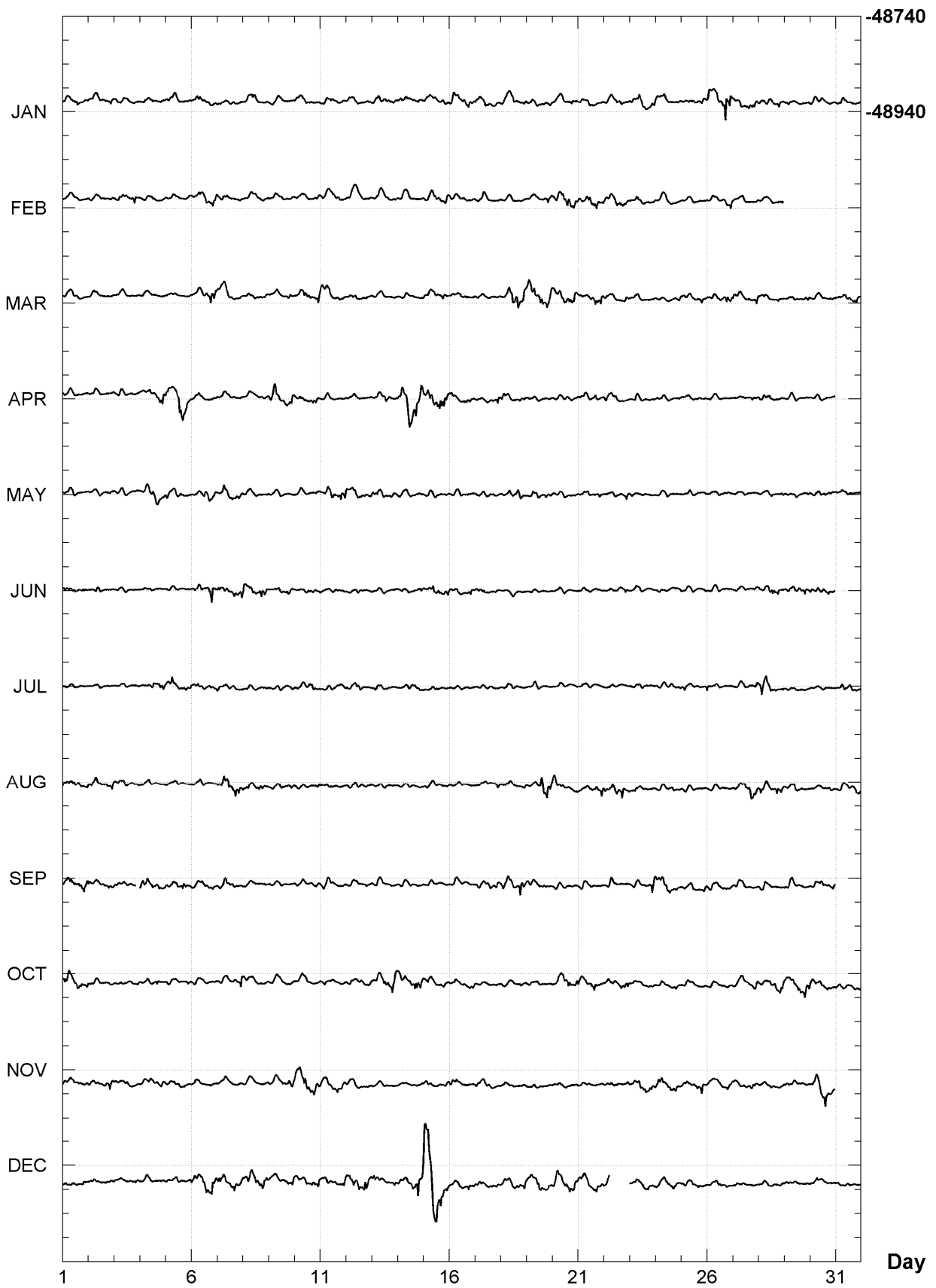
MARTIN DE VIVIES (AMS)
Hourly mean values: X component (nT), 2006



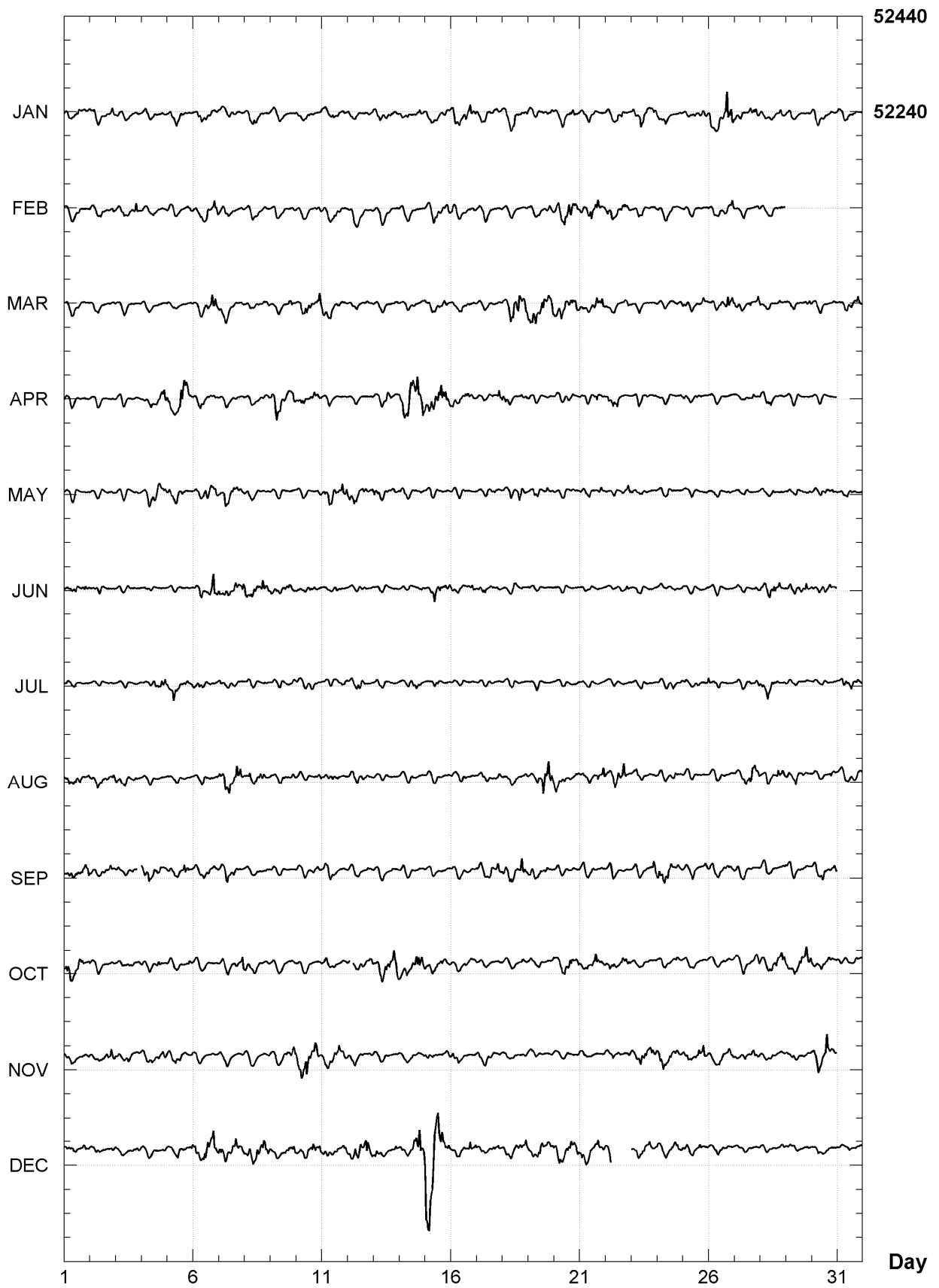
MARTIN DE VIVIES (AMS)
Hourly mean values: Y component (nT), 2006



MARTIN DE VIVIES (AMS)
Hourly mean values: Z component (nT), 2006



MARTIN DE VIVIES (AMS)
Hourly mean values: total field F (nT), 2006



MARTIN DE VIVIES (AMS)

Monthly and annual mean values, 2006

Date	D		I		H	X	Y	Z	F	J	ELE
	o	'	o	'	nT	nT	nT	nT	nT		
JAN	318	32.9	-69	28.5	18313	13726	-12123	-48918	52234	A	HDZF
FEB	318	33.5	-69	29.0	18307	13723	-12117	-48921	52234	A	HDZF
MAR	318	33.6	-69	29.6	18298	13717	-12111	-48926	52235	A	HDZF
APR	318	33.2	-69	30.7	18286	13706	-12104	-48937	52242	A	HDZF
MAY	318	34.6	-69	30.5	18290	13714	-12101	-48939	52245	A	HDZF
JUN	318	35.7	-69	30.6	18288	13717	-12096	-48939	52244	A	HDZF
JUL	318	36.3	-69	30.6	18288	13719	-12093	-48941	52246	A	HDZF
AUG	318	36.4	-69	31.2	18282	13715	-12088	-48949	52252	A	HDZF
SEP	318	37.7	-69	31.4	18281	13718	-12082	-48954	52256	A	HDZF
OCT	318	38.4	-69	31.6	18280	13720	-12079	-48959	52261	A	HDZF
NOV	318	39.2	-69	32.1	18276	13720	-12073	-48970	52269	A	HDZF
DEC	318	38.9	-69	32.7	18267	13713	-12069	-48976	52272	A	HDZF
2006	318	35.9	-69	30.7	18288	13717	-12095	-48944	52249	A	HDZF
JAN	318	33.1	-69	28.5	18314	13727	-12123	-48918	52234	Q	HDZF
FEB	318	33.9	-69	28.8	18309	13727	-12117	-48920	52234	Q	HDZF
MAR	318	33.8	-69	29.1	18307	13724	-12115	-48923	52236	Q	HDZF
APR	318	34.0	-69	29.8	18299	13719	-12109	-48931	52241	Q	HDZF
MAY	318	34.7	-69	30.2	18293	13717	-12103	-48938	52245	Q	HDZF
JUN	318	36.0	-69	30.3	18293	13722	-12097	-48938	52245	Q	HDZF
JUL	318	36.4	-69	30.4	18292	13722	-12095	-48941	52247	Q	HDZF
AUG	318	37.1	-69	30.8	18288	13722	-12089	-48948	52252	Q	HDZF
SEP	318	38.1	-69	31.0	18286	13724	-12084	-48952	52256	Q	HDZF
OCT	318	39.0	-69	31.1	18286	13727	-12081	-48959	52262	Q	HDZF
NOV	318	39.7	-69	31.8	18280	13725	-12074	-48969	52270	Q	HDZF
DEC	318	39.8	-69	32.2	18276	13722	-12071	-48976	52275	Q	HDZF
2006	318	36.3	-69	30.3	18293	13723	-12096	-48943	52250	Q	HDZF
JAN	318	32.4	-69	28.9	18308	13720	-12121	-48918	52232	D	HDZF
FEB	318	33.0	-69	29.4	18302	13718	-12115	-48923	52234	D	HDZF
MAR	318	32.8	-69	30.3	18288	13707	-12107	-48926	52232	D	HDZF
APR	318	31.8	-69	32.0	18266	13687	-12096	-48941	52239	D	HDZF
MAY	318	33.2	-69	30.9	18283	13704	-12102	-48939	52243	D	HDZF
JUN	318	35.3	-69	31.1	18281	13710	-12092	-48939	52242	D	HDZF
JUL	318	35.9	-69	31.2	18280	13711	-12089	-48942	52244	D	HDZF
AUG	318	34.8	-69	31.9	18272	13702	-12088	-48951	52250	D	HDZF
SEP	318	37.2	-69	31.8	18274	13712	-12080	-48954	52253	D	HDZF
OCT	318	37.6	-69	32.1	18270	13710	-12076	-48958	52256	D	HDZF
NOV	318	38.5	-69	32.8	18264	13709	-12069	-48972	52267	D	HDZF
DEC	318	38.3	-69	33.3	18258	13703	-12065	-48975	52268	D	HDZF
2006	318	35.1	-69	31.3	18279	13708	-12092	-48945	52247	D	HDZF

A: Tous les jours/ All days

Q: Jours calmes/ Quiet days

D: Jours perturbés/ Disturbed days

ELE: Elements enregistrés/ Recorded elements

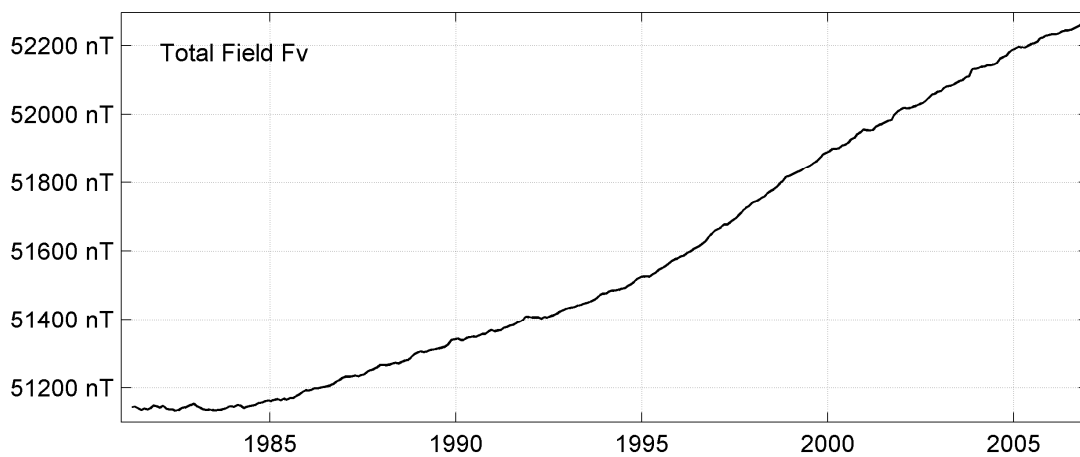
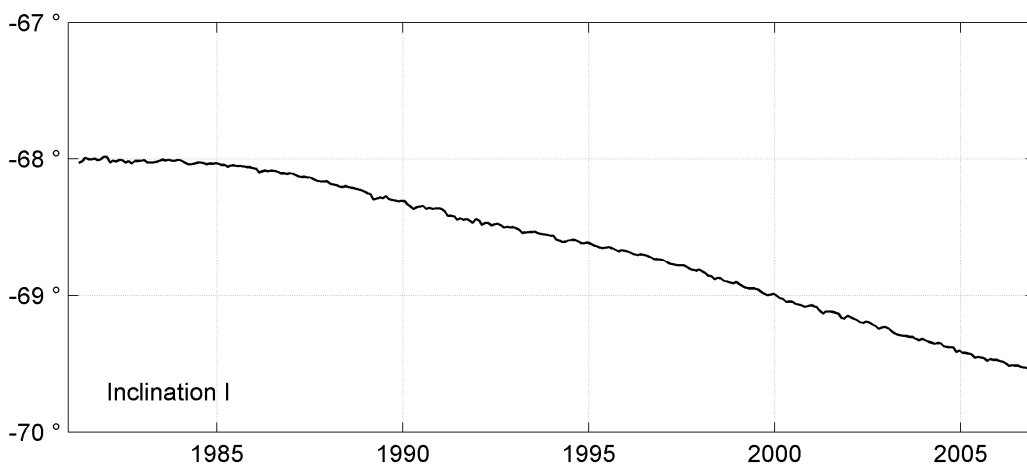
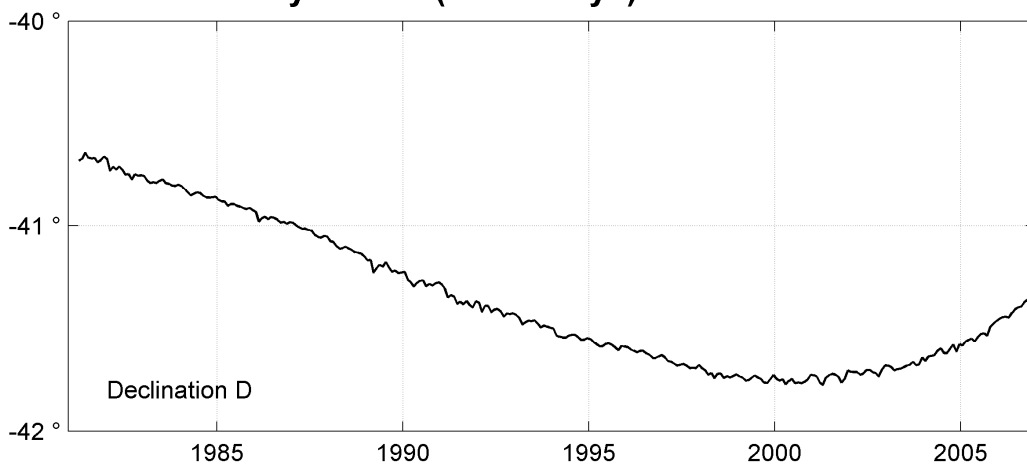
MARTIN DE VIVIES (AMS)
Annual mean values, 1981 - 2006

Date	D		I		H	X	Y	Z	F	ELE	Note
	°	'	°	'	nT	nT	nT	nT	nT		
1981.7	319	19.9	-68	00.1	19156	14530	-12484	-47418	51141	HDZF	1
1982.5	319	16.0	-68	00.9	19146	14508	-12493	-47422	51141	HDZF	
1983.5	319	12.8	-68	00.9	19145	14495	-12506	-47419	51138	HDZF	
1984.5	319	09.2	-68	01.8	19136	14476	-12515	-47437	51151	HDZF	
1985.5	319	05.9	-68	03.1	19126	14456	-12523	-47463	51172	HDZF	
1986.5	319	01.8	-68	05.6	19104	14425	-12526	-47509	51206	HDZF	
1987.5	318	58.3	-68	08.4	19079	14393	-12524	-47559	51243	HDZF	
1988.5	318	53.2	-68	12.4	19037	14343	-12518	-47613	51277	HDZF	
1989.5	318	47.8	-68	17.2	18985	14284	-12506	-47675	51317	HDZF	
1990.5	318	43.6	-68	21.0	18945	14239	-12498	-47728	51350	HDZF	
1991.5	318	38.7	-68	25.5	18895	14183	-12484	-47784	51384	HDZF	
1992.5	318	35.3	-68	28.8	18860	14145	-12475	-47829	51413	HDZF	
1993.5	318	31.7	-68	32.1	18827	14107	-12468	-47882	51451	HDZF	
1994.5	318	27.8	-68	35.8	18793	14067	-12462	-47944	51496	HDZF	
1995.5	318	25.1	-68	38.9	18769	14039	-12457	-48011	51549	HDZF	
1996.5	318	22.7	-68	42.4	18744	14012	-12450	-48092	51616	HDZF	
1997.5	318	19.4	-68	47.2	18707	13972	-12439	-48195	51698	HDZF	
1998.5	318	16.4	-68	52.6	18660	13927	-12420	-48300	51779	HDZF	
1999.5	318	15.2	-68	57.7	18615	13888	-12394	-48396	51853	HDZF	
2000.5	318	14.7	-69	03.1	18563	13848	-12362	-48488	51920	HDZF	
2001.5	318	15.6	-69	07.5	18522	13820	-12331	-48566	51978	HDZF	
2002.5	318	17.2	-69	12.2	18476	13792	-12294	-48646	52037	HDZF	
2003.5	318	19.0	-69	17.5	18423	13759	-12251	-48731	52097	HDZF	
2004.5	318	23.1	-69	21.9	18381	13742	-12207	-48809	52155	HDZF	
2005.5	318	28.2	-69	26.8	18329	13721	-12152	-48886	52209	HDZF	
2006.5	318	35.9	-69	30.7	18288	13717	-12095	-48944	52249	HDZF	

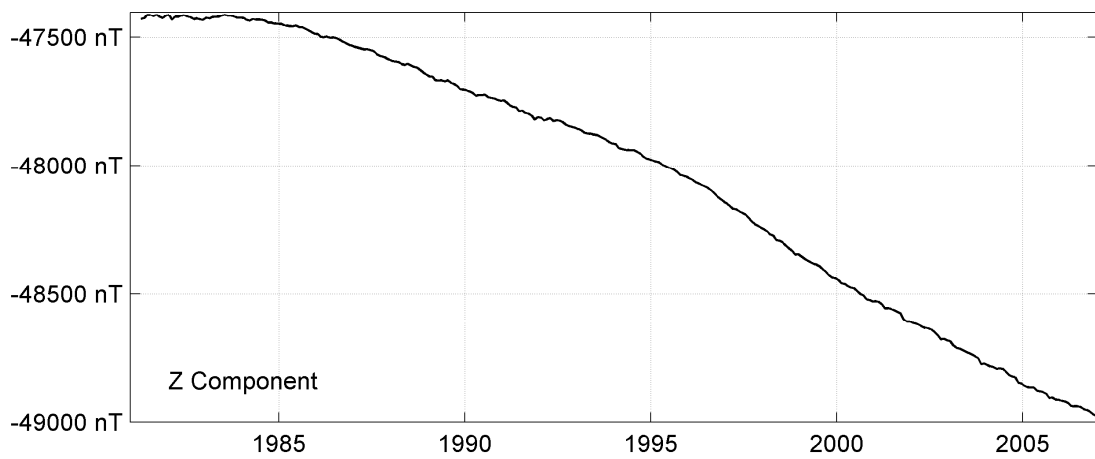
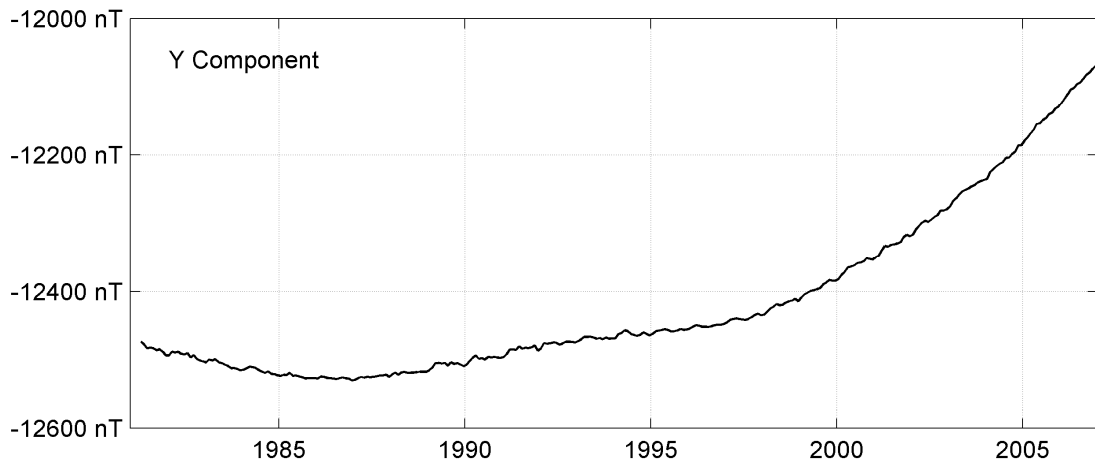
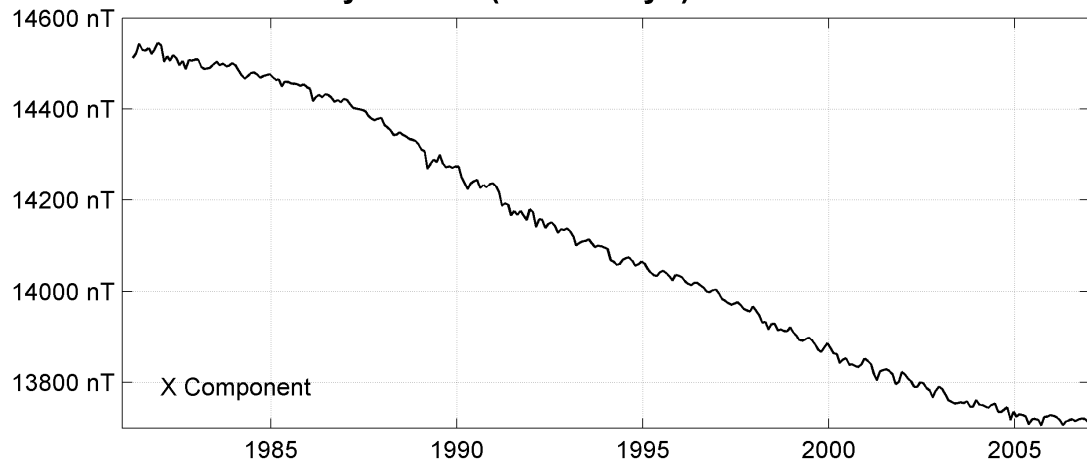
Notes :

1 Apr-Dec 1981

MARTIN DE VIVIES (AMS)
Monthly means (for all days) from 1981 to 2006



MARTIN DE VIVIES (AMS)
Monthly means (for all days) from 1981 to 2006



OBSERVATOIRE DE BANGUI (BNG)

BANGUI OBSERVATORY (BNG)

RÉPUBLIQUE CENTRAFRICAINE
CENTRAL AFRICAN REPUBLIC



PRÉSENTATION

C'est en 1949 que l'ORSTOM (aujourd'hui IRD) décide d'implanter un observatoire magnétique sur le site actuel de Bangui en République Centrafricaine. Les observations du champ magnétique terrestre ont commencé en janvier 1952 à l'occasion de l'éclipse totale du soleil (février) et se sont poursuivies jusqu'en juillet 1955. Depuis août 1955, date des installations définitives, l'observatoire assure l'enregistrement permanent des phénomènes magnétiques. Les piliers de mesures et la cave magnétique n'ont subi aucune transformation depuis cette date.

Les résultats de la première année de fonctionnement continu ont été publiés dans le tome 29 des « Annales de l'Institut de physique du globe de Paris » (1958). Les observations magnétiques ont continué à être publiées, de 1955 à 1964, dans les « Annales de l'Institut de Physique du Globe de Paris et du Bureau central de magnétisme terrestre ». Les années 1965 à 1981 ont été publiées dans la série des fascicules « Observations magnétiques » de l'ORSTOM, et les années 1982 à 1991 dans les « Cahiers internes » de l'ORSTOM. Depuis 1987 le BCMT assure la publication des données de l'observatoire de Bangui dans la série des bulletins « Observations magnétiques ».

Les enregistrements fournis par deux variographes Lacour ont été numérisés jusqu'en 1996. Depuis cette date les données minutes sont fournies par un variomètre à vanne de flux.

Depuis l'origine de l'observatoire, deux sauts ont été répertoriés dans les données (en 1957 et 1967). Leur réévaluations a permis de reconstituer une série magnétique homogène depuis 1952 (Bitterly et al., 2005, 2008).

Vers le 18 mai 2005, un probable changement de l'environnement magnétique proche du pilier des mesures absolues a entraîné un saut de près de 3 minutes d'arc sur la composante D.

En 2006, l'enregistrement des variations magnétiques a fonctionné correctement.

PRESENTATION

In 1949, ORSTOM (now IRD) decided to install a magnetic observatory on the present site of Bangui in Central African Republic. Observations of the Earth's magnetic field started in January 1952, just before the total solar eclipse which occurred in February of the same year, and continued until July 1955. Since August 1955, date of the definitive installations, the observatory has been continuously recording the magnetic phenomena. The measurement pillars and the magnetic vault have not been changed since that date.

Results from the first year of continuous working were published in tome 29 of "Annales de l'Institut de physique du globe de Paris" (1958). From 1955 to 1964, magnetic observations kept being published in "Annales de l'Institut de Physique du Globe de Paris et du Bureau central de magnétisme terrestre". Data from the years 1965 to 1981 were published by ORSTOM in the series of booklets "Observations magnétiques", and data from the years 1982 to 1991 were published in ORSTOM "Cahiers internes". Since 1987, the BCMT has been publishing the data from the Bangui observatory in its "Observations magnétiques" bulletins.

The recordings provided by two La Cour variographs were digitized until 1996. Since that date, one minute data have been produced by a fluxgate variometer.

Since the origin of the observatory, two data jumps have been noticed (in 1957 and 1967). Their reevaluation made it possible to reconstruct a homogeneous magnetic series since 1952 (Bitterly et al., 2005, 2008).

Around the 18th May 2005, a probable change of magnetic environment near the absolute pillar lead to a jump about 3 arcmin on the D component.

In 2006, the recording of magnetic variations worked properly.

OBSERVATEURS

Michel NAMBOBONA (Chef de station)
Médard Aristide GOUDOUZOU

INSTRUMENTATION

L'instrument dédié aux mesures absolues était un DI-flux constitué d'un théodolite Zeiss O10B et magnétomètre à vanne de flux EOST DImag88.

Les variations magnétiques ont été enregistrées en continu par les instruments suivants :

- 1 magnétomètre homocentrique triaxial à vanne de flux Geomag M390
- 1 magnétomètre scalaire de type Overhauser GEM GSM19

Les données ont été enregistrées par une acquisition IPGP ENO de type PC et transmises au centre d'information géomagnétique d'INTERMAGNET à Paris par satellite METEOSAT.

L'énergie était fournie par des panneaux solaires et des batteries.

TRAITEMENT DES DONNÉES

Toutes les observations ont été ramenées au pilier absolu de référence installé à environ 120m des capteurs.

Les lignes de base adoptées ont été obtenues en modélisant par une spline les écarts entre enregistrements continus et mesures absolues.

Pour la composante H, une ligne de base continue a été calculée après avoir raccordé les 14 discontinuités observées sur cette composante en 2006. La ligne de base adoptée tient compte de ces discontinuités.

OBSERVERS

Michel NAMBOBONA (Head of station)
Médard Aristide GOUDOUZOU

INSTRUMENTATION

The instrument dedicated to absolute measurements was a DI-flux constituted of a theodolite Zeiss O10B and fluxgate magnetometer EOST DImag88.

Magnetic variations were continuously recorded by the following instruments:

- *1 triaxial homocentric fluxgate magnetometer Geomag M390*
- *1 Overhauser type scalar magnetometer GEM GSM19*

Data were acquired by a data logger IPGP ENO2, which is based on a PC system, and transmitted to the INTERMAGNET Geomagnetic Information Node in Paris via METEOSAT satellite.

The power was supplied by solar panels and batteries.

DATA PROCESSING

All the observations were reduced to the absolute pillar, at a distance of about 120m from the sensors

The adopted baseline values were obtained by spline modelling of the differences between continuous recordings and absolute measurements.

For H component, a continuous baseline was calculated after shifting the 14 discontinuities observed on that component in 2006. The adopted baseline takes these discontinuities into account.

Valeurs moyennes horaires disponibles / *Hourly mean values available* [2006] : 98.5%

Nombre de mesures absolues utilisées / *Number of used absolute measurements* [2006] : 82

Amplitudes pic-à-pic des lignes de base / *peak-to-peak baseline amplitudes* [2006] :

$$|D_{o, \min} - D_{o, \max}| = 20''$$

$$|Z_{o, \min} - Z_{o, \max}| = 7.7\text{nT}$$

$$|H_{o, \min} - H_{o, \max}| = 9.8\text{nT}$$

$$|F_{o, \min} - F_{o, \max}| = 0.2\text{nT}$$

Différences RMS entre valeurs de lignes de base mesurées et adoptées

Root mean square differences between measured and adopted baseline values [2006] :

$$(\Delta D_o)_{\text{rms}} = 8''$$

$$(\Delta Z_o)_{\text{rms}} = 1.9\text{nT}$$

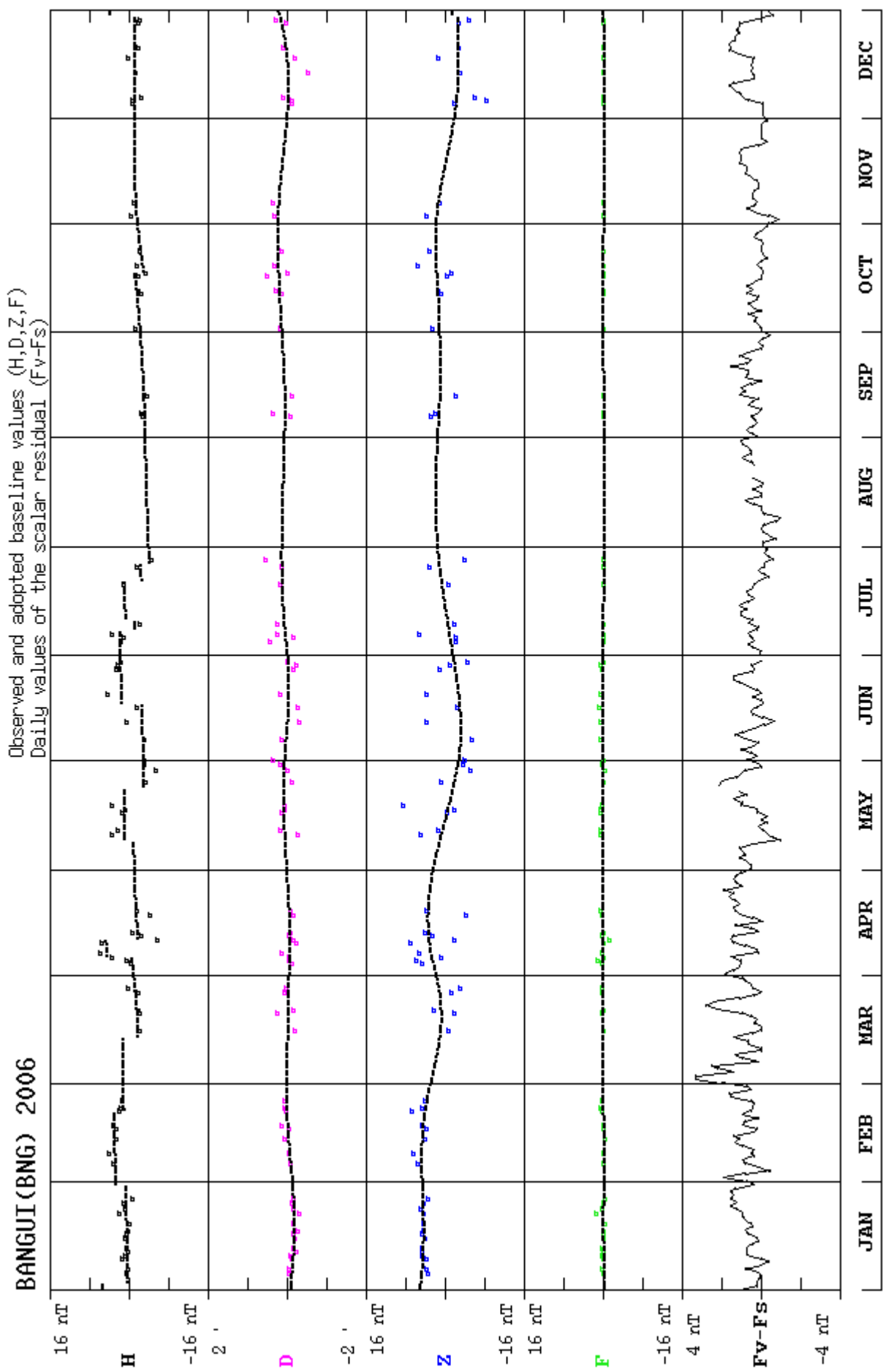
$$(\Delta H_o)_{\text{rms}} = 0.7\text{nT}$$

$$(\Delta F_o)_{\text{rms}} = 0.2\text{nT}$$

Valeur RMS du résidu scalaire $F_v - F_s$ / *RMS value of scalar residual $F_v - F_s$* [2006] :

$$[\Delta(F_s - F_v)]_{\text{rms}} = 2.2\text{nT}$$

**Observatoire géophysique IRD
Bangui - R.C.A.**

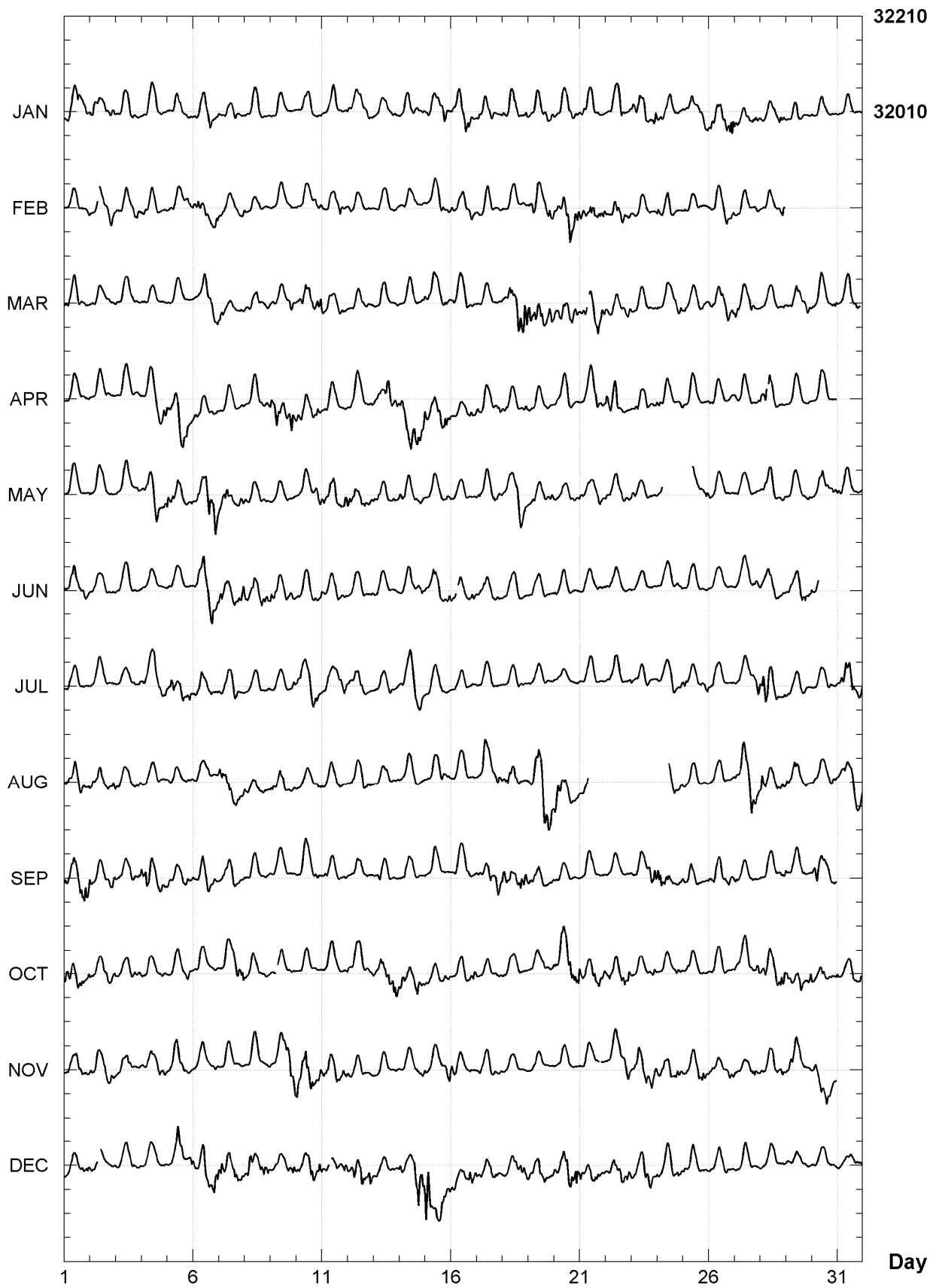


BANGUI (BNG)

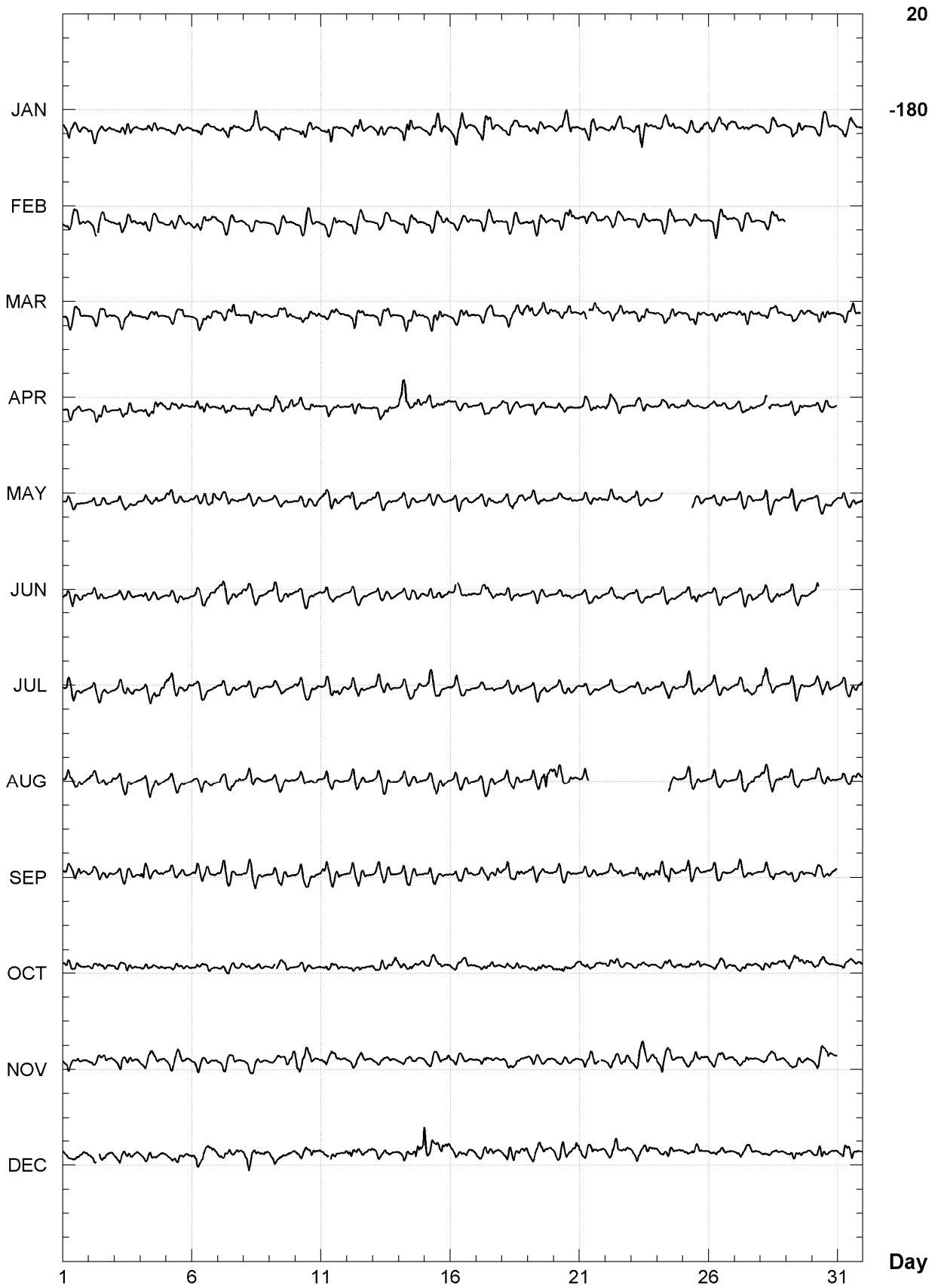
K indices, 2006 (K=9 for 240 nT)

DATE	JANUARY	FEBRUARY	MARCH	APRIL	MAY	JUNE
01	3233 4322	0122 3213	3233 3311	1222 1201	0221 1101	3334 2233
02	34-3 2323	22-- 1234	1212 1222	1222 2211	2222 1122	1232 1221
03	2123 2321	1332 1233	2121 2221	1212 2212	1221 1122	2222 2111
04	1222 2221	3322 2111	2122 2212	2233 3334	2232 5433	1221 2101
05	1233 2111	1212 1132	2112 1201	3345 3442	4323 3212	2212 2111
06	2333 3322	3432 3234	1223 4344	2333 2222	2234 5665	2235 4554
07	2223 3321	2211 2123	3322 3322	2212 2102	3353 3234	4333 3345
08	1233 3111	2222 1111	2122 3112	1222 2223	3222 2221	4343 3444
09	1233 2201	0121 2121	2211 1242	5553 4455	1122 1212	4333 2232
10	1232 2211	1233 2233	2334 4345	3333 2233	1222 1133	2222 3232
11	1234 3221	3132 3422	4232 2232	2222 2102	3333 3234	3222 2222
12	3323 3121	2232 2211	1222 2221	1233 2212	4342 3332	1222 2212
13	2223 3221	1132 2212	1222 2111	2324 5644	3222 2133	2221 2112
14	1344 3222	1222 2211	1222 2212	4664 5654	3322 1222	2223 2223
15	1223 2343	1233 3343	3343 3332	5334 4554	1221 1113	3343 4334
16	1344 4444	3232 3232	1222 2322	3222 2231	1221 1111	23-3 1233
17	3343 3322	2222 3212	1121 1212	3222 2223	2222 2222	2233 2221
18	2244 2323	1222 2122	2344 5656	3322 --23	2333 4652	1232 2211
19	2243 2224	3433 2343	6444 4454	2222 2211	2332 2223	2212 1110
20	1233 3332	3334 4554	4333 3454	1213 4210	1222 1222	3122 2211
21	3344 4211	3334 4334	23-- 3434	2323 3422	3222 2232	0111 1212
22	1223 5412	3244 2333	3222 1234	4466 3211	3222 2235	2222 1211
23	3444 4335	1122 2112	2212 2212	2332 1212	3222 1111	1221 1111
24	3222 2212	3223 3210	2112 2334	3223 1123	13-- ----	1222 2222
25	3222 2343	2222 2111	2232 3221	2232 2211	---- 2123	2222 2211
26	3433 3545	2233 3324	2213 3343	2121 1111	2221 1211	1211 1110
27	3222 2333	2222 2122	4322 3423	2232 1212	2221 1112	1212 2233
28	2223 2243	1123 2234	1211 2212	34-4 2121	2443 1123	3343 3233
29	2233 2112		2223 2233	1222 2202	1332 1112	3333 3433
30	21-2 1111		2122 2233	1222 1101	1224 4332	33-- ----
31	1111 2211		1222 332-		3222 1122	
DATE	JUILLET	AOUT	SEPTEMBRE	OCTOBRE	NOVEMBRE	DECEMBRE
01	2322 2111	3333 3322	4232 2455	4453 3323	1223 4332	2122 2223
02	0222 2101	2233 2224	4222 1334	2222 2323	3112 3343	22-- 2211
03	0222 2112	3222 2213	2222 2223	1222 2233	1233 3222	2212 2211
04	2223 5333	1222 2211	4543 2343	1222 1221	2322 2333	0112 1211
05	4443 3324	2222 1121	2222 2332	1122 2122	1234 3312	1136 2223
06	2243 1222	2122 2112	3333 2232	0223 2112	1222 1123	4456 4354
07	2222 2321	4454 3433	2432 3221	1222 3544	1221 2111	5433 3433
08	1221 1112	3333 2231	1332 2112	2233 2222	1222 1111	3554 4444
09	1222 2124	3323 3113	2222 2111	23-2 2222	2111 3455	2222 2224
10	3323 3332	1222 1113	1333 2232	1121 1111	5335 5334	2322 4434
11	1322 3344	2333 2221	3432 2212	2222 1211	3343 4343	33-- 2235
12	2334 4221	2332 2221	2333 2121	3223 3212	3222 2110	3433 5454
13	2332 1212	1322 2112	2333 2200	2233 4454	1121 1101	3321 2122
14	2324 4332	1222 1211	1322 2111	4323 2444	1222 2223	3223 6667
15	1322 2111	1122 2322	1322 1210	2232 2242	3222 1213	7754 4543
16	0321 1111	1221 2212	1222 2221	1122 2234	4232 1221	3323 2354
17	1111 2221	1254 2233	2223 4254	1212 2212	2222 2222	3222 2231
18	1221 2221	3343 3323	4442 3455	1212 2221	1121 2110	1233 3444
19	1212 1212	3346 7655	3333 2222	1212 2111	1222 2112	33-4 3322
20	1221 2112	4543 3222	2321 1010	3343 4544	1122 2100	3334 5555
21	1222 1110	234- ----	1222 2112	5323 4343	2222 21-1	4233 3332
22	1333 2103	---- ----	1322 2121	3322 3444	1133 3344	3234 3343
23	2212 2212	---- ----	1332 2355	1112 1223	23-4 3344	2233 4443
24	2222 2313	---- 5323	5444 3223	1122 2232	34-3 3243	2222 3333
25	3432 2223	1332 2211	3443 2112	2222 1210	2222 3443	3223 2212
26	3322 1111	0321 1122	2332 1233	1222 2211	2222 2233	2122 2220
27	1212 3335	2354 4543	3331 1211	2212 2134	2123 2232	1221 1211
28	6664 3322	5432 2333	2332 2124	3333 3345	2222 3233	1112 1122
29	2222 1221	3333 2321	3221 2331	4333 4435	2423 2223	2212 2122
30	1212 2212	2222 2233	3554 3332	3233 2222	2334 4432	2233 2211
31	2444 4234	2342 2334		2121 2223		2332 2212

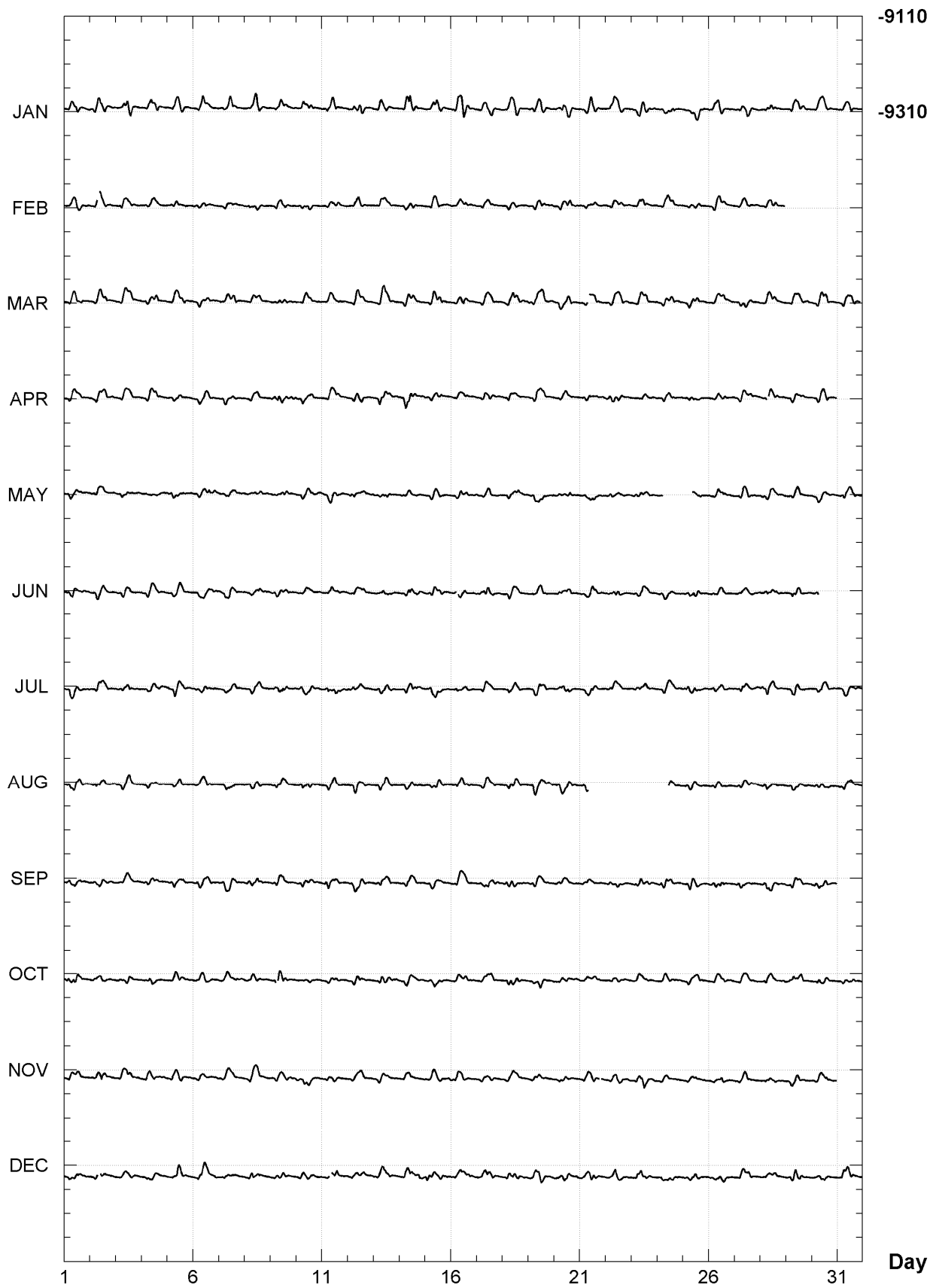
BANGUI (BNG)
Hourly mean values: X component (nT), 2006



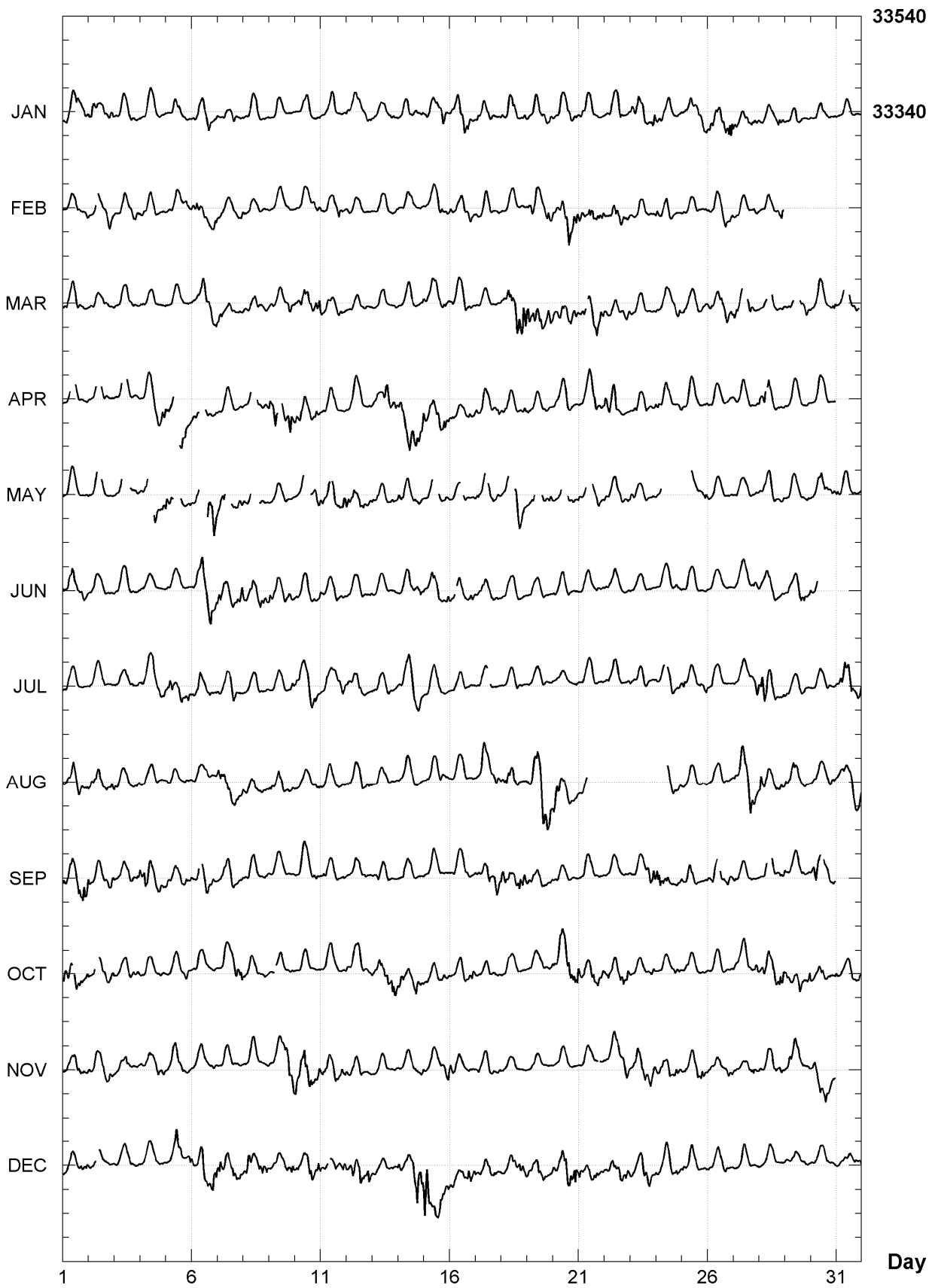
BANGUI (BNG)
Hourly mean values: Y component (nT), 2006



BANGUI (BNG)
Hourly mean values: Z component (nT), 2006



BANGUI (BNG)
Hourly mean values: total field F (nT), 2006



BANGUI (BNG)

Monthly and annual mean values, 2006

Date	D		I		H	X	Y	Z	F	J	ELE
	°	'	°	'	nT	nT	nT	nT	nT		
JAN	359	36.5	-16	12.1	32014	32013	-218	-9302	33338	A	HDZF
FEB	359	37.2	-16	12.3	32014	32014	-213	-9304	33339	A	HDZF
MAR	359	37.7	-16	12.3	32014	32013	-208	-9304	33339	A	HDZF
APR	359	38.6	-16	12.7	32006	32005	-199	-9306	33331	A	HDZF
MAY	359	39.0	-16	12.9	32016	32015	-195	-9310	33342	A	HDZF
JUN	359	39.4	-16	13.1	32019	32019	-191	-9314	33346	A	HDZF
JUL	359	40.0	-16	13.2	32020	32020	-186	-9315	33348	A	HDZF
AUG	359	40.9	-16	13.4	32016	32016	-178	-9316	33344	A	HDZF
SEP	359	41.5	-16	13.7	32020	32020	-172	-9320	33349	A	HDZF
OCT	359	42.3	-16	14.0	32019	32019	-165	-9323	33349	A	HDZF
NOV	359	42.8	-16	14.5	32019	32018	-160	-9327	33350	A	HDZF
DEC	359	43.4	-16	15.4	32005	32005	-154	-9332	33338	A	HDZF
2006	359	40.0	-16	13.3	32015	32015	-187	-9314	33343	A	HDZF
JAN	359	36.5	-16	11.8	32018	32017	-219	-9300	33341	Q	HDZF
FEB	359	37.0	-16	12.1	32023	32022	-214	-9305	33347	Q	HDZF
MAR	359	37.4	-16	11.7	32023	32023	-211	-9301	33347	Q	HDZF
APR	359	38.0	-16	12.0	32027	32026	-205	-9305	33351	Q	HDZF
MAY	359	38.9	-16	12.7	32020	32019	-197	-9310	33346	Q	HDZF
JUN	359	39.2	-16	12.9	32026	32025	-194	-9314	33353	Q	HDZF
JUL	359	39.7	-16	13.0	32026	32025	-189	-9315	33353	Q	HDZF
AUG	359	40.7	-16	13.2	32024	32024	-180	-9316	33352	Q	HDZF
SEP	359	41.4	-16	13.2	32032	32032	-173	-9319	33360	Q	HDZF
OCT	359	42.1	-16	13.8	32031	32030	-167	-9324	33360	Q	HDZF
NOV	359	42.4	-16	13.9	32030	32030	-164	-9325	33360	Q	HDZF
DEC	359	43.2	-16	14.9	32019	32019	-156	-9332	33351	Q	HDZF
2006	359	39.7	-16	12.9	32025	32024	-189	-9314	33352	Q	HDZF
JAN	359	36.7	-16	12.5	32005	32004	-217	-9304	33330	D	HDZF
FEB	359	37.5	-16	12.6	32004	32003	-209	-9304	33329	D	HDZF
MAR	359	38.1	-16	12.8	31998	31997	-204	-9304	33323	D	HDZF
APR	359	39.2	-16	13.7	31976	31975	-193	-9307	33303	D	HDZF
MAY	359	39.2	-16	13.1	32003	32002	-194	-9309	33329	D	HDZF
JUN	359	39.6	-16	13.3	32011	32010	-190	-9313	33338	D	HDZF
JUL	359	40.4	-16	13.4	32012	32011	-183	-9314	33339	D	HDZF
AUG	359	41.1	-16	14.0	31998	31998	-176	-9317	33327	D	HDZF
SEP	359	41.8	-16	14.0	32009	32008	-170	-9320	33338	D	HDZF
OCT	359	42.5	-16	14.5	32002	32002	-162	-9322	33332	D	HDZF
NOV	359	43.2	-16	15.2	32001	32001	-157	-9330	33333	D	HDZF
DEC	359	43.7	-16	15.8	31984	31984	-152	-9331	33317	D	HDZF
2006	359	40.2	-16	13.7	32000	32000	-184	-9314	33328	D	HDZF

A: Tous les jours/ All days
 Q: Jours calmes/ Quiet days
 D: Jours perturbés/ Disturbed days
 ELE: Elements enregistrés/ Recorded elements

BANGUI (BNG)

Annual mean values, 1955 - 2006

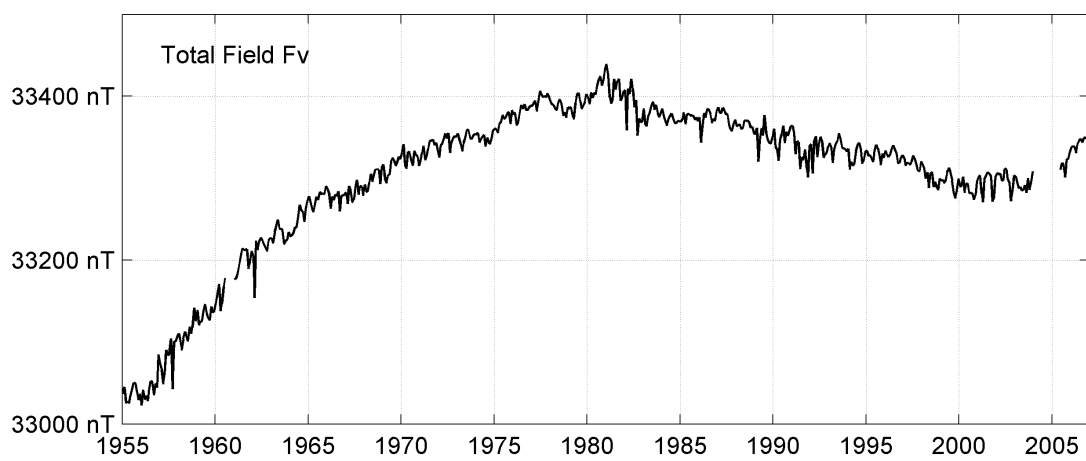
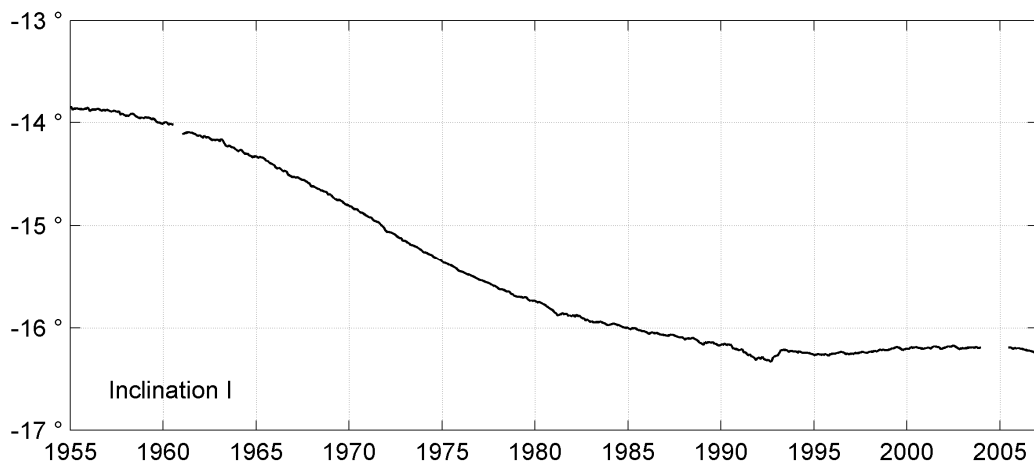
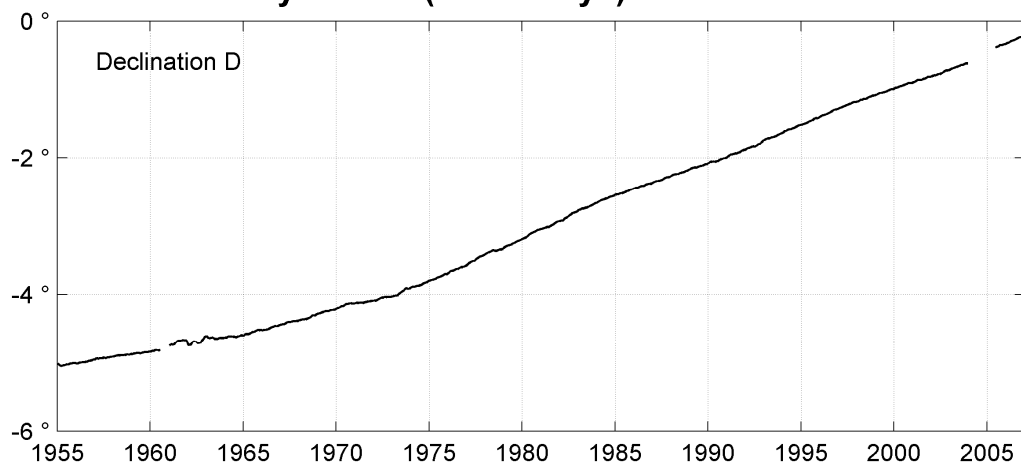
Date	D		I		H	X	Y	Z	F	ELE	Note
	°	'	°	'	nT	nT	nT	nT	nT		
1955.5	354	58.1	-13	50.9	32234	32110	-2827	-7947	33199	HDZ	
1956.5	355	00.4	-13	51.7	32238	32116	-2806	-7956	33205	HDZ	
1957.0	0	00.0	-0	00.1	120	120	-10	-31	124	HDZ	1
1957.5	355	03.8	-13	53.1	32151	32032	-2767	-7947	33119	HDZ	
1958.5	355	06.2	-13	55.3	32176	32059	-2747	-7975	33150	HDZ	
1959.5	355	08.3	-13	57.6	32193	32077	-2728	-8003	33172	HDZ	
1960.3	355	10.3	-13	59.6	32212	32098	-2712	-8027	33197	HDZ	2
1961.5	355	17.8	-14	05.5	32236	32127	-2643	-8092	33236	HDZ	
1962.5	355	18.1	-14	08.2	32246	32137	-2641	-8122	33253	HDZ	
1963.5	355	21.8	-14	12.1	32254	32148	-2608	-8163	33271	HDZ	
1964.5	355	23.1	-14	17.2	32258	32154	-2596	-8214	33288	HDZ	
1965.5	355	26.8	-14	21.0	32274	32172	-2562	-8256	33314	HDZ	
1966.5	355	30.7	-14	27.5	32259	32161	-2524	-8318	33315	HDZ	
1967.0	0	00.0	0	01.0	40	40	-3	0	39	HDZ	3
1967.5	355	35.6	-14	33.6	32213	32118	-2475	-8367	33282	HDZ	
1968.5	355	39.7	-14	39.4	32216	32123	-2437	-8426	33299	HDZ	
1969.5	355	45.3	-14	45.6	32215	32126	-2384	-8487	33314	HDZ	
1970.5	355	50.5	-14	51.4	32211	32126	-2336	-8545	33325	HDZ	
1971.5	355	53.2	-14	58.2	32205	32122	-2310	-8611	33336	HDZ	
1972.5	355	56.6	-15	05.8	32194	32113	-2277	-8685	33345	HDZ	
1973.5	356	01.8	-15	12.0	32183	32105	-2228	-8744	33349	HDZ	
1974.5	356	08.3	-15	18.0	32167	32094	-2166	-8800	33349	HDZ	
1975.5	356	14.8	-15	24.0	32172	32103	-2106	-8862	33370	HDZ	
1976.5	356	22.0	-15	29.4	32168	32104	-2038	-8915	33381	HDZ	
1977.5	356	30.4	-15	34.1	32171	32111	-1961	-8963	33396	HDZ	
1978.5	356	37.8	-15	39.0	32148	32093	-1889	-9007	33386	HDZ	
1979.5	356	44.4	-15	43.0	32141	32089	-1828	-9044	33390	HDZ	
1980.5	356	52.8	-15	46.9	32150	32103	-1750	-9087	33410	HDZ	
1981.5	356	59.9	-15	52.2	32136	32092	-1683	-9136	33409	HDZ	
1982.5	357	08.2	-15	54.2	32110	32070	-1604	-9149	33388	HDZ	
1983.5	357	16.3	-15	57.1	32094	32058	-1528	-9173	33380	HDZ	
1984.5	357	23.5	-15	58.8	32083	32049	-1460	-9187	33372	HDZ	
1985.5	357	29.4	-16	01.2	32078	32047	-1405	-9210	33374	HDZ	
1986.5	357	35.3	-16	03.4	32071	32042	-1350	-9231	33373	HDZ	
1987.5	357	40.8	-16	04.8	32068	32042	-1298	-9244	33374	HDZ	
1988.5	357	46.6	-16	07.0	32053	32029	-1243	-9262	33364	HDZ	
1989.5	357	52.3	-16	09.2	32034	32012	-1190	-9278	33351	HDZ	
1990.5	357	57.5	-16	10.8	32028	32008	-1141	-9293	33349	HDZ	
1991.5	358	03.8	-16	15.7	31999	31980	-1081	-9333	33332	HDZ	
1992.5	358	10.4	-16	18.0	31996	31980	-1020	-9356	33336	HDZ	
1993.5	358	18.2	-16	13.6	32011	31997	-948	-9316	33339	HDZ	
1994.5	358	25.4	-16	14.5	31997	31985	-881	-9321	33327	HDZ	
1995.5	358	31.9	-16	15.5	31996	31985	-820	-9331	33329	HDZ	
1996.5	358	39.2	-16	14.8	31998	31989	-752	-9324	33329	HDZ	F
1997.5	358	46.0	-16	14.5	31988	31981	-689	-9319	33318	HDZ	F
1998.5	358	51.8	-16	13.3	31973	31967	-634	-9302	33299	HDZ	F
1999.5	358	57.4	-16	12.1	31973	31968	-582	-9290	33295	HDZ	F
2000.5	359	03.1	-16	11.7	31965	31961	-529	-9284	33286	HDZ	F
2001.5	359	08.3	-16	11.5	31972	31968	-481	-9284	33293	HDZ	F
2002.5	359	13.5	-16	11.3	31978	31975	-432	-9283	33298	HDZ	F
2003.5	359	19.6	-16	11.6	31971	31968	-375	-9284	33291	HDZ	F
2004.5	-	-	-	-	-	-	-	-	-		4
2005.0	0	03.0	0	00.0	0	0	28	0	0	HDZ	5
2005.5	359	32.6	-16	11.3	31992	31991	-255	-9288	33313	HDZ	6

2006.5 359 40.0 -16 13.3 32015 32015 -187 -9314 33343 HDZF

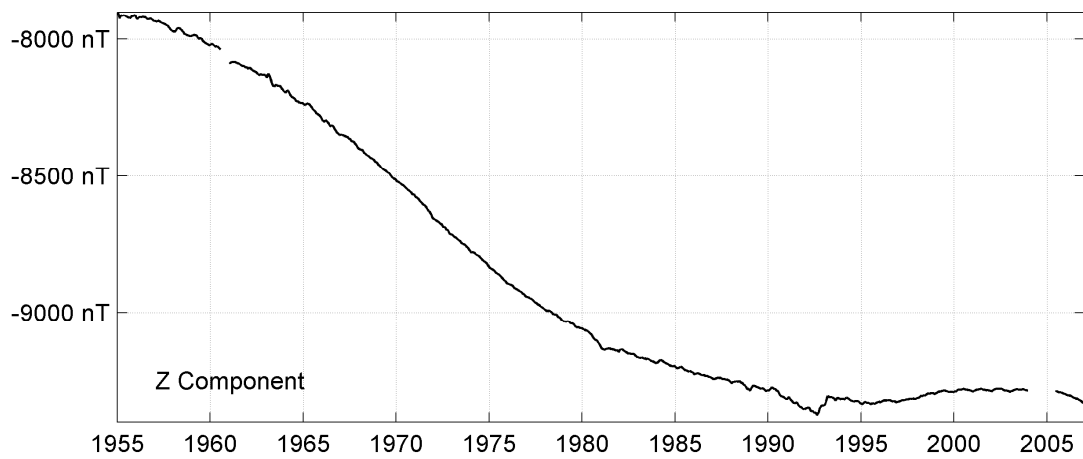
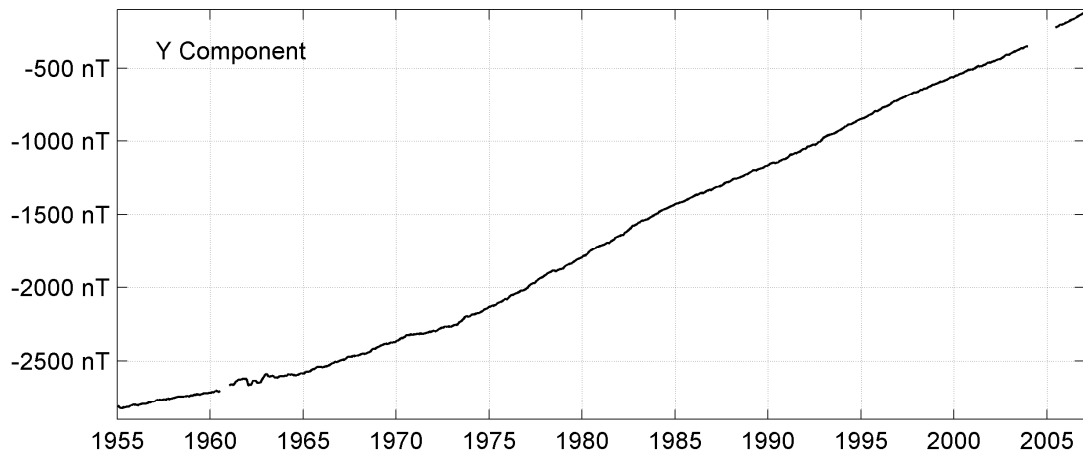
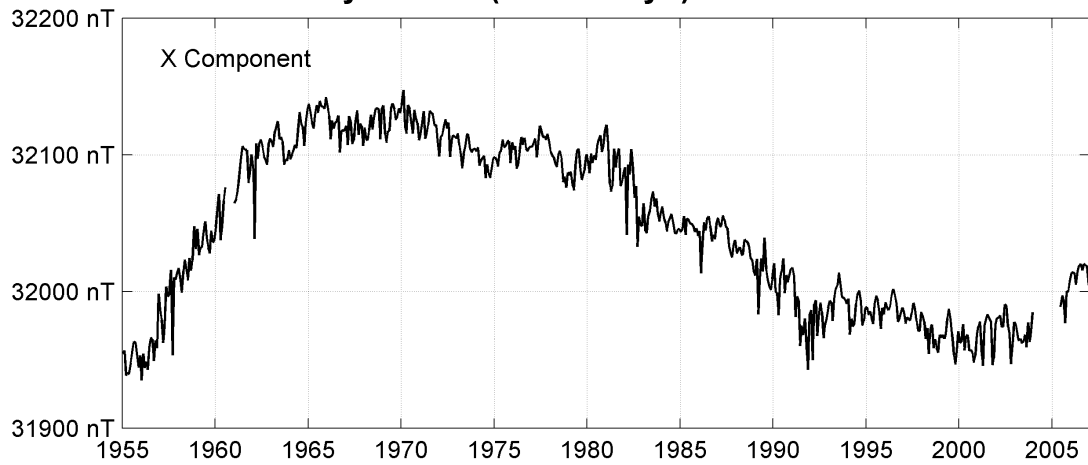
Notes :

- 1 1957.0 Change of variometers
- 2 Jan-Jul 1960
- 3 1967.0 Jump of unknown origin
- 4 No absolute data in 2004
- 5 2005.0 Jump due to a nearby magnetic object
- 6 No absolute data from January to end of May

BANGUI (BNG) Monthly means (for all days) from 1955 to 2006



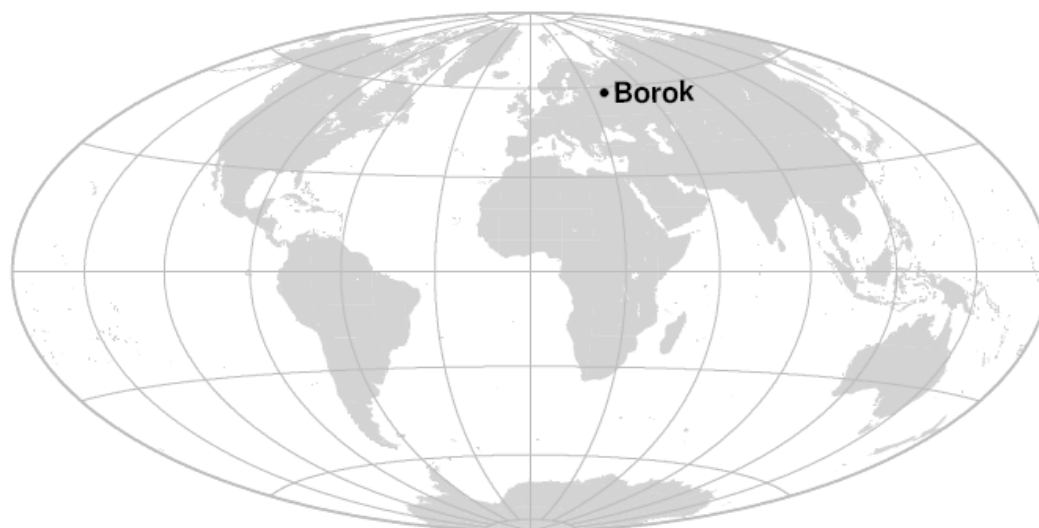
BANGUI (BNG)
Monthly means (for all days) from 1955 to 2006



OBSERVATOIRE DE BOROK (BOX)

BOROK OBSERVATORY (BOX)

RUSSIE / *RUSSIA*



PRÉSENTATION

L'Observatoire Géophysique de Borok (BGO) a été fondé en 1957 par l'Institut « Schmidt » de Physique du Globe de l'Académie des Sciences de Russie (IPERAS), dans le cadre de l'Année Géophysique Internationale. Depuis cette date il est une station de référence aux latitudes moyennes pour l'observation des pulsations géomagnétiques de fréquences ultra-basses (ULF). De 1976 à 2001, un observatoire magnétique a fonctionné sur le campus du BGO, sous la responsabilité de l'Institut du Magnétisme Terrestre, de l'Ionosphère et de la Propagation des Ondes Radio (IZMIRAN). Le champ géomagnétique était enregistré sur du papier photographique par un magnétomètre à trois composantes de type Bobrov. Depuis 1998, les variations géomagnétiques sont enregistrées par un magnétomètre triaxial à vanne de flux appartenant à SAMNET, le réseau de magnétomètres sub-auroraux britannique.

La coopération entre l'IPGP, l'IPERAS et le BGO a démarrée en 2002. En avril 2004, le BGO et l'IPGP ont installé de nouveaux magnétomètres à Borok, permettant à l'observatoire d'obtenir le statut officiel d'observatoire magnétique de type INTERMAGNET (IMO).

OBSERVATEURS

Sergey V. ANISIMOV (Directeur adjoint du BGO)
Eldar M. DMITRIEV
Sergey V. MURAVIEV

INSTRUMENTATION

Les mesures absolues ont été faites deux fois par semaine à l'aide d'un DI-flux constitué d'un théodolite MG2KP et d'un magnétomètre à vanne de flux Lemi 203.

Les variations magnétiques ont été enregistrées en continu par les instruments suivants :

- 1 magnétomètre homocentrique triaxial à vanne de flux IPGP VM391, orienté en HDZ
- 1 magnétomètre scalaire de type Overhauser Geomag SM90R

Les magnétomètres étaient installés dans un pavillon thermiquement isolé.

PRESENTATION

The Borok Geophysical Observatory (BGO), was established by the Schmidt Institute of Physics of the Earth of the Russian Academy of Sciences (IPERAS) in 1957, under the International Geophysical Year program. Since then it has been a mid-latitude reference station for the observation of ultra-low-frequency (ULF) geomagnetic pulsations. From 1976 to 2001, a magnetic observatory was in operation on BGO campus, under the responsibility of Institute of Terrestrial, Magnetism Ionosphere and Radio Wave Propagation (IZMIRAN). The geomagnetic field was recorded on photographic paper by a three-component Bobrov-type magnetometer. Since 1998, geomagnetic variations have been recorded by a triaxial fluxgate magnetometer belonging to SAMNET, the UK Sub-Auroral Magnetometer Network.

The cooperation between IPGP, IPERAS and BGO started in 2002. In April 2004, BGO and IPGP installed new magnetometers in Borok, after which the observatory gained official INTERMAGNET magnetic observatory (IMO) status.

OBSERVERS

Sergey V. ANISIMOV (Deputy director of BGO)
Eldar M. DMITRIEV
Sergey V. MURAVIEV

INSTRUMENTATION

Absolute measurements were made twice a week with a DI-flux constituted of a theodolite MG2KP and a fluxgate magnetometer Lemi 203.

Magnetic variations were continuously recorded by the following instruments:

- 1 triaxial homocentric fluxgate magnetometer IPGP VM391, in HDZ orientation
- 1 Overhauser type scalar magnetometer Geomag SM90R

The magnetometers were installed in a thermally insulated pavilion.

Data were acquired by a data logger IPGP

Les données ont été enregistrées par une acquisition IPGP ENO2 de type PC, et transmises au centre d'information géomagnétique d'INTERMAGNET à Paris par internet.

L'énergie était fournie par le réseau électrique local.

TRAITEMENT DES DONNÉES

Toutes les observations ont été ramenées au pilière absolu de référence installé à environ 100 m des capteurs.

Les lignes de bases adoptées ont été obtenues en modélisant par une spline les écarts entre enregistrements continus et mesures absolues.

Les variations annuelles des lignes de base sont corrélées avec la variation annuelle de température dans le pavillon des magnétomètres.

ENO2, which is based on a PC system, and transmitted to the INTERMAGNET Geomagnetic Information Node in Paris via the internet.

The power was supplied by the local electric network.

DATA PROCESSING

All the observations were reduced to the absolute pillar, at a distance of about 100 m from the sensors.

The adopted baseline values were obtained by spline modelling of the differences between continuous recordings and absolute measurements.

The annual baseline variations are correlated with the annual temperature variation in the magnetometer pavilion.

Valeurs moyennes horaires disponibles / *Hourly mean values available* [2006] : 99.8%

Nombre de mesures absolues utilisées / *Number of used absolute measurements* [2006] : 83

Amplitudes pic-à-pic des lignes de base / *peak-to-peak baseline amplitudes* [2006] :

$$|D_{o, \min} - D_{o, \max}| = 90''$$

$$|Z_{o, \min} - Z_{o, \max}| = 4.7 \text{ nT}$$

$$|H_{o, \min} - H_{o, \max}| = 7.4 \text{ nT}$$

Différences RMS entre valeurs de lignes de base mesurées et adoptées

Root mean square differences between measured and adopted baseline values [2006] :

$$(\Delta D_o)_{\text{rms}} = 12''$$

$$(\Delta Z_o)_{\text{rms}} = 0.4 \text{ nT}$$

$$(\Delta H_o)_{\text{rms}} = 0.4 \text{ nT}$$

Valeur RMS du résidu scalaire Fv-Fs / *RMS value of scalar residual Fv-Fs* [2006] :

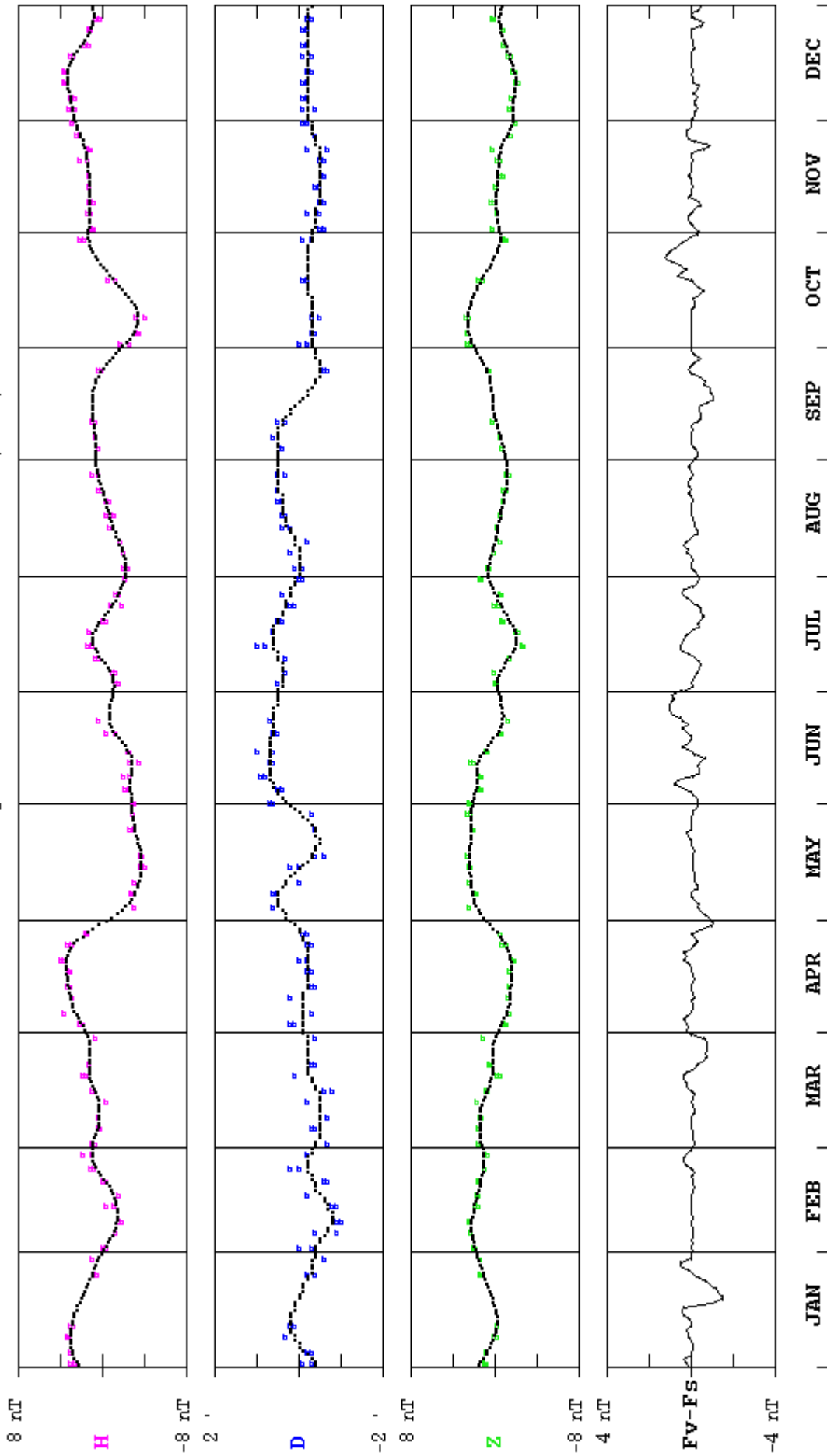
$$[\Delta(F_s - F_v)]_{\text{rms}} = 0.4 \text{ nT}$$

**BOROK GEOPHYSICAL OBSERVATORY
INSTITUTE OF PHYSICS OF THE EARTH
OF THE RUSSIAN ACADEMY OF SCIENCES
Borok 152742, Yaroslavl - RUSSIA**

TEL.:+7 8 48547 24 485

BOROK (BOX) 2006

Observed and adopted baseline values (H,D,Z)
Daily values of the scalar residual (Fv-Fs)

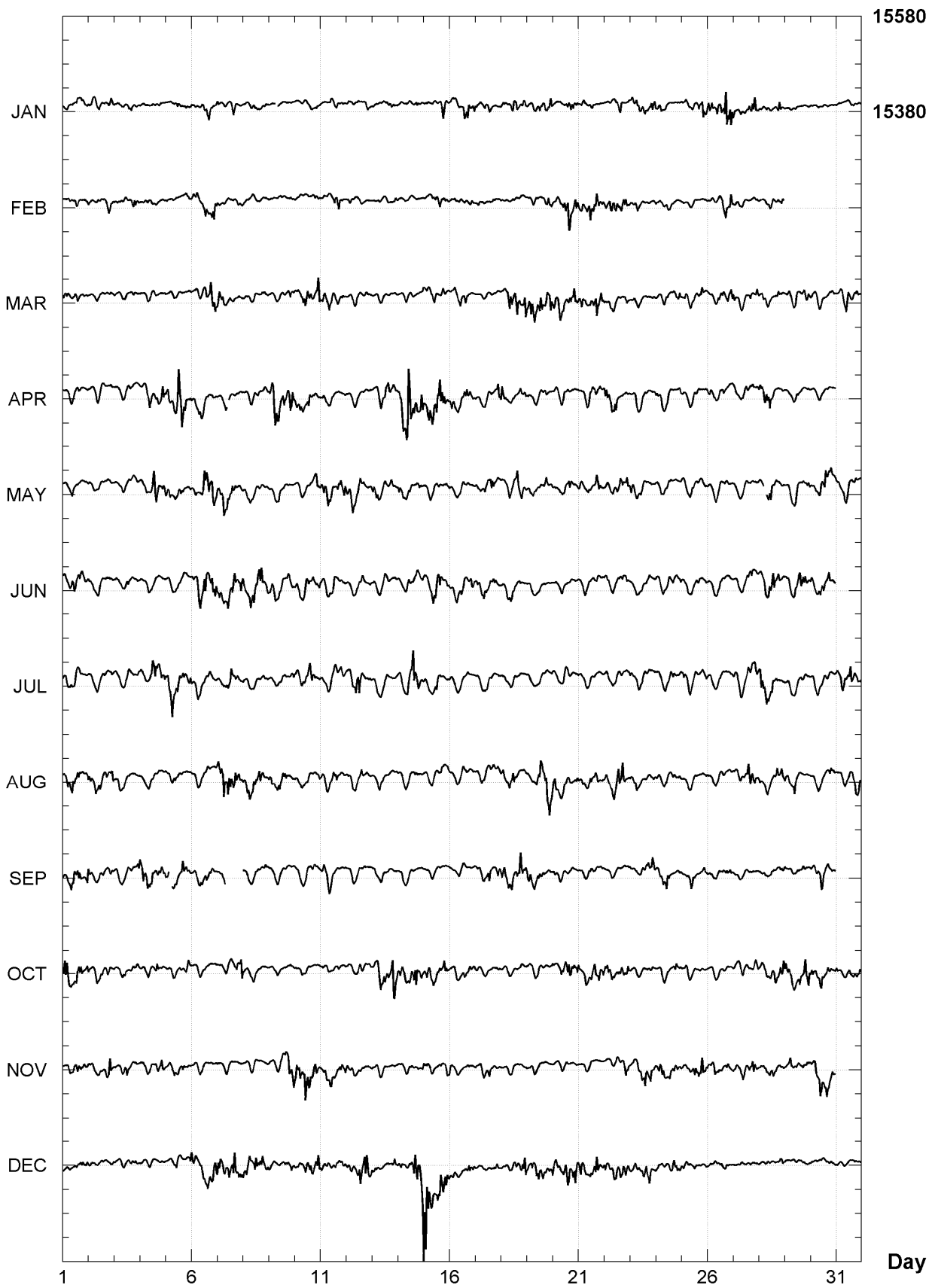


BOROK (BOX)

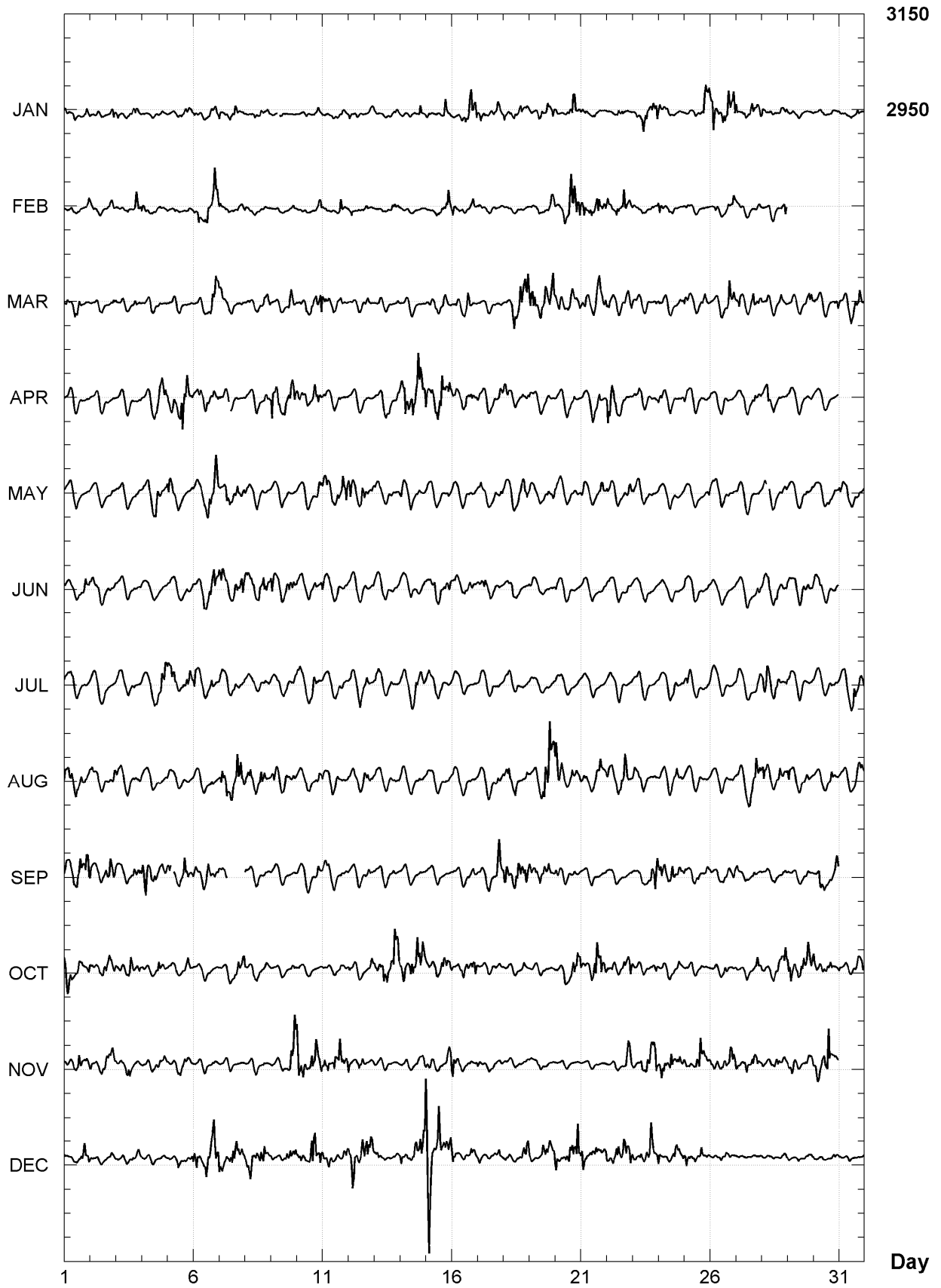
K indices, 2006 (K=9 for 600 nT)

DATE	JANVIER		FEVRIER		MARS		AVRIL		MAI		JUIN	
01	2111	3223	0011	2102	3122	3211	0010	1100	0112	0000	2124	3332
02	1122	1224	1112	1122	1111	1012	0010	2011	1021	1221	2223	2221
03	2001	1331	0011	0242	1111	1221	0001	1212	0010	1112	2121	4211
04	0010	1020	3211	1201	1122	1101	1033	2344	1123	5433	1111	2210
05	0001	2222	1011	1021	1001	0002	3324	6542	3322	2201	1101	2221
06	2111	2332	2311	4355	0112	3254	2232	3221	1222	4455	2245	5354
07	3111	2311	2111	1122	3311	2132	101-	2101	2344	4223	3334	4445
08	0012	1212	2111	0011	1111	2232	1003	1122	2222	1111	4244	4433
09	00-0	0000	0011	1132	0100	0241	5544	5356	1012	1111	3233	3332
10	0000	1120	1000	0033	2233	4335	3332	3432	0001	2123	2223	3332
11	0001	1120	2111	2321	3233	1222	2212	2102	3334	4344	3112	3212
12	2011	0021	2221	1200	0022	2231	1101	0110	4333	3323	1012	2311
13	1011	1221	0000	0222	0001	1011	1124	4433	3323	3222	1011	2111
14	0001	1131	1000	0001	0001	1011	3547	4544	3222	2221	1112	2233
15	2111	0232	1123	2244	2233	2441	4344	4653	1112	1112	2334	4433
16	1222	3554	3322	1121	1212	2412	3232	3332	1011	1111	2222	3332
17	3222	2231	1111	2112	0011	1021	2111	1224	1212	3312	2333	3320
18	2223	2323	0001	1111	0135	3545	4211	1222	2134	3542	0233	2211
19	1112	2323	2222	1232	6443	4344	2010	2111	2222	2232	2210	1000
20	2101	2442	2223	5544	3333	3453	0113	4220	2122	2221	2112	2211
21	2211	2100	3324	4443	2322	3543	0012	3422	2122	1331	0111	2111
22	0012	2311	4333	3532	2223	1233	4435	3221	2122	3323	1212	2221
23	2333	3344	2222	0022	2111	1112	1222	1211	3222	2111	0011	1110
24	3222	2101	3212	2100	1012	1223	3123	1113	1213	3201	0011	2221
25	2111	1244	1110	0000	2222	1231	3102	2210	1222	1122	2112	2211
26	4423	3755	1211	2324	1102	2343	2111	2210	2111	222-	1002	2110
27	3222	3333	2111	2012	3201	2314	1112	2221	1011	1101	1112	3322
28	3112	1132	1122	1123	2211	1222	3334	3112	2--3	3222	3233	5332
29	1111	0001			1112	1133	1112	1011	1011	1112	3233	3332
30	1000	0010			2101	1023	0001	1000	1123	5332	2223	3321
31	0000	1210			1013	2331			2222	3222		
DATE	JULY		AUGUST		SEPTEMBER		OCTOBER		NOVEMBER		DECEMBER	
01	2212	2110	3334	3412	3133	3345	5433	4422	1211	3322	1011	1232
02	0021	1111	2123	3213	4113	3343	2122	3233	2101	2343	1000	1022
03	1112	1111	2212	1112	2212	3223	2122	4312	2112	3221	1111	0122
04	1113	5334	1011	1111	4433	3333	1111	1320	2222	1233	0000	0011
05	3443	3333	2111	1110	2-23	2432	1011	1123	0122	1321	0003	1112
06	3233	2321	1012	2211	3122	3231	0012	1111	0011	0012	4334	4464
07	2123	3321	3345	5643	11--	----	0111	2434	0000	0000	4433	3534
08	1111	1011	3333	3421	1111	2212	2222	2222	0000	0010	3543	3453
09	1001	1113	2313	3212	1011	1010	0111	1022	1000	2335	2220	1334
10	2123	3332	1011	2113	1111	1231	1111	1111	5435	4253	2223	4534
11	1112	3333	2223	3211	2323	2111	1111	2211	3333	4533	3232	2134
12	2235	4222	1212	2321	1123	2222	1012	2213	3222	2111	3432	5454
13	2222	2111	1022	1111	1232	2120	1233	3365	1110	0000	2221	0123
14	2224	5533	2111	2111	1222	2111	4323	3545	0111	2223	3222	5666
15	1212	3211	1012	0212	0010	1010	2332	3343	3201	1223	8755	6554
16	1101	1111	2112	2111	0002	2221	2122	2233	4220	1110	3212	1243
17	1012	1121	0132	3223	2114	3254	1101	2211	2111	2211	2111	1241
18	1111	1211	2333	3433	4333	4444	1110	0031	0001	0111	1112	2334
19	1100	0111	2114	5566	3233	3331	0102	1100	2112	0111	3223	3332
20	1111	2111	5422	3332	2211	0020	2133	3433	0001	1000	4323	4455
21	1011	1110	2222	2334	0002	1111	3232	4543	1010	1000	4333	4432
22	1122	1102	3233	4542	0001	1121	2322	3343	0013	3244	3234	3444
23	2112	1212	3221	1111	1111	2235	2001	0112	1123	4444	2233	4442
24	1132	2312	2111	3322	4335	4233	1021	1132	3333	3332	3222	3342
25	2221	2222	1001	1011	2114	3213	1212	1110	3222	3553	3222	2321
26	2112	2201	1010	1122	1222	2223	0102	2100	2332	3243	1121	3210
27	2112	3333	2123	5443	2111	1210	1001	0133	2223	2331	0100	0111
28	5543	3311	3322	3433	1112	1012	2122	3344	1112	2323	0000	0132
29	2112	1121	3223	2321	3010	2220	3332	3444	2311	1122	1001	0111
30	1211	1202	1122	2332	1334	3323	3233	2322	3334	6422	1011	1121
31	2235	5333	1021	3333			2001	2223			1001	0111

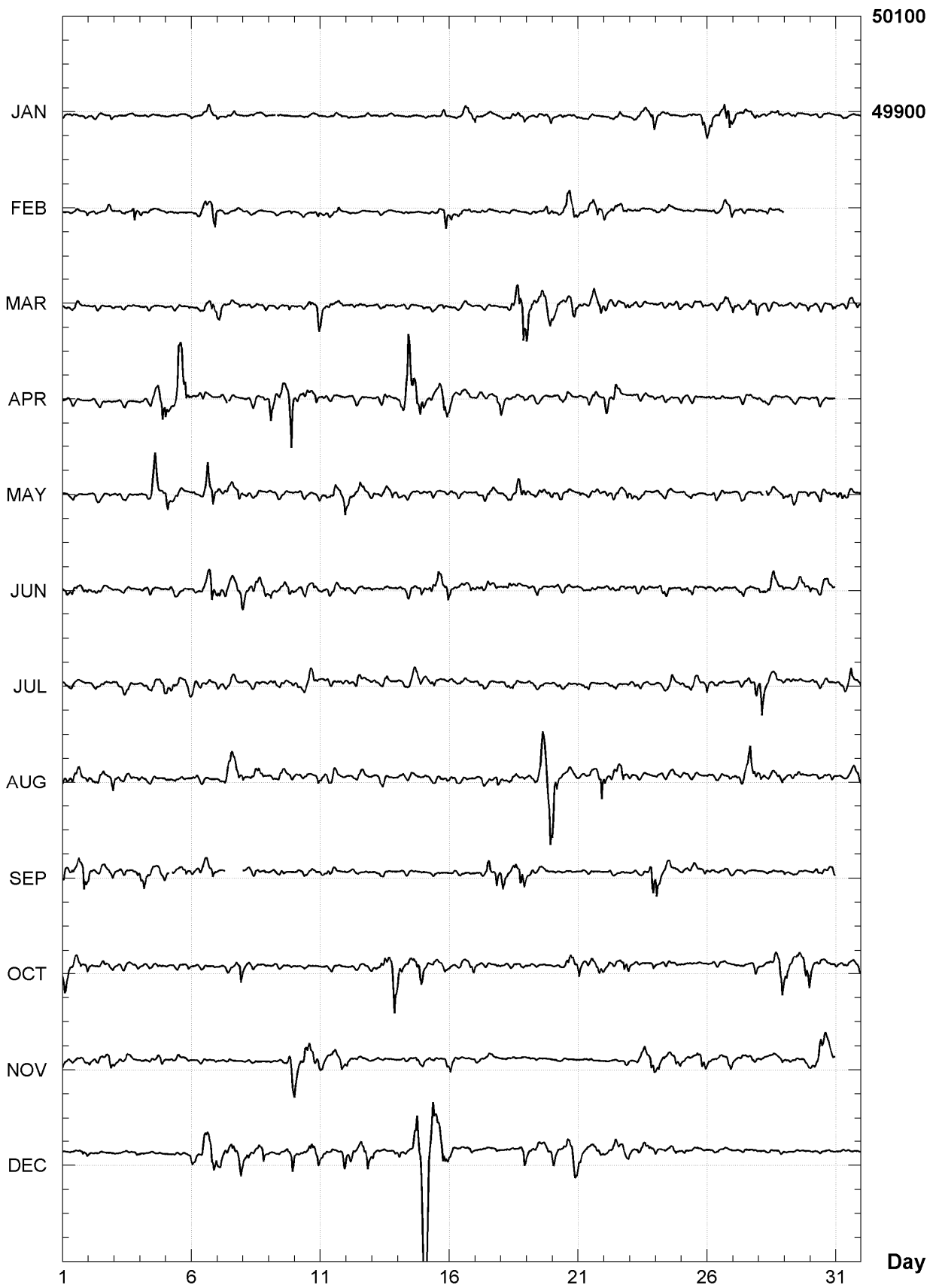
BOROK (BOX)
Hourly mean values: X component (nT), 2006



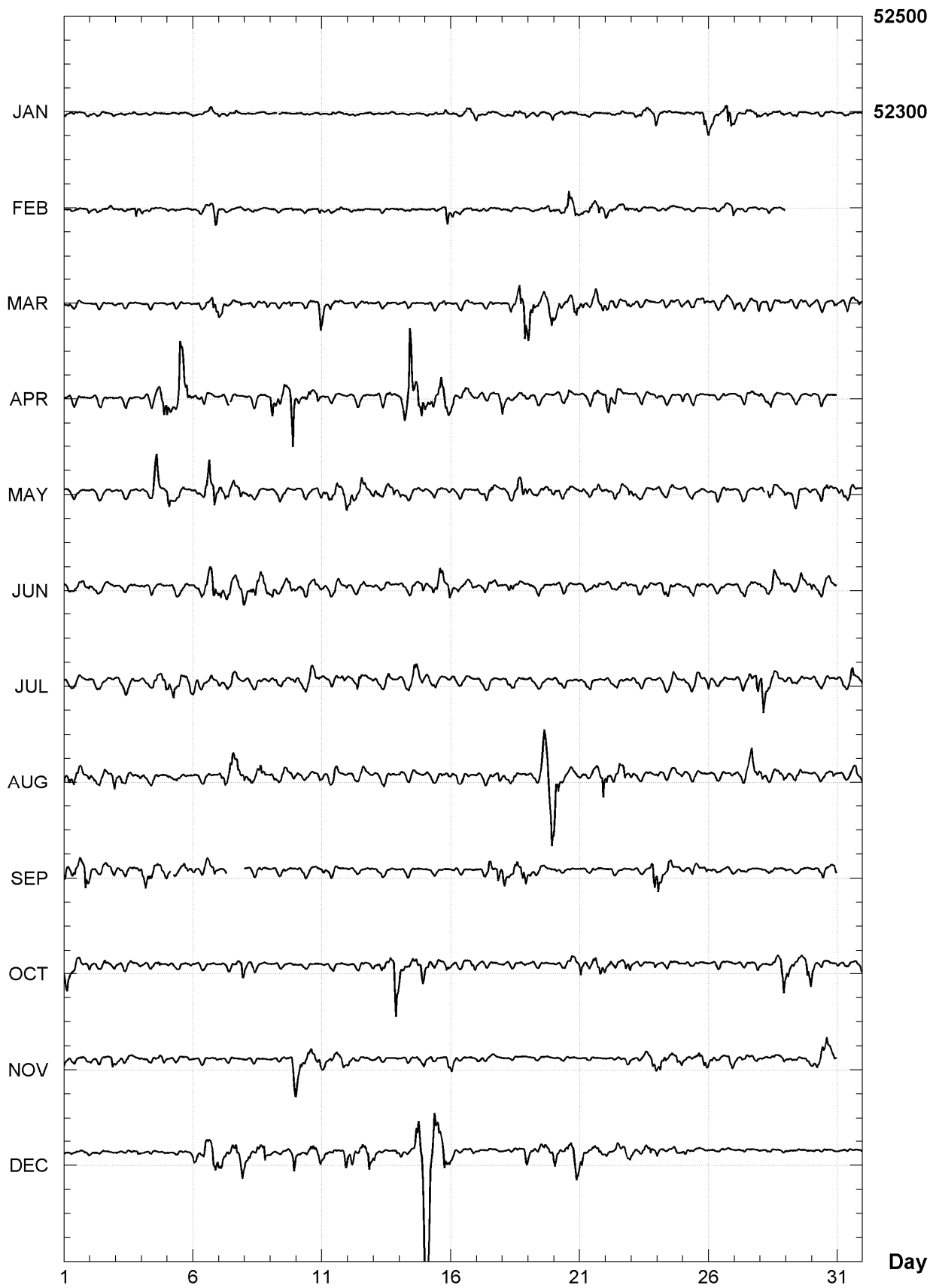
BOROK (BOX)
Hourly mean values: Y component (nT), 2006



BOROK (BOX)
Hourly mean values: Z component (nT), 2006



BOROK (BOX)
Hourly mean values: total field F (nT), 2006



BOROK (BOX)

Monthly and annual mean values, 2006

Date	D	I	H	X	Y	Z	F	J	ELE	
	o	'	nT	nT	nT	nT	nT	nT		
JAN	10	49.5	72 33.7	15672	15393	2943	49892	52295	A	HDZF
FEB	10	49.7	72 33.7	15673	15394	2944	49893	52297	A	HDZF
MAR	10	50.1	72 33.7	15673	15393	2946	49894	52298	A	HDZF
APR	10	50.6	72 34.3	15666	15387	2947	49903	52304	A	HDZF
MAY	10	50.8	72 33.7	15675	15395	2950	49902	52306	A	HDZF
JUN	10	51.7	72 33.8	15675	15394	2954	49905	52309	A	HDZF
JUL	10	51.6	72 33.7	15676	15395	2953	49906	52310	A	HDZF
AUG	10	52.4	72 34.2	15670	15389	2956	49912	52314	A	HDZF
SEP	10	52.5	72 34.1	15673	15391	2957	49913	52315	A	HDZF
OCT	10	53.5	72 34.4	15668	15386	2961	49916	52318	A	HDZF
NOV	10	54.2	72 34.6	15667	15384	2963	49921	52322	A	HDZF
DEC	10	55.7	72 35.1	15660	15376	2969	49928	52326	A	HDZF
2006	10	51.9	72 34.1	15671	15390	2954	49907	52310	A	HDZF
JAN	10	49.0	72 33.6	15674	15396	2941	49892	52296	Q	HDZF
FEB	10	49.3	72 33.4	15676	15397	2943	49892	52297	Q	HDZF
MAR	10	49.5	72 33.4	15677	15398	2944	49893	52298	Q	HDZF
APR	10	49.8	72 33.5	15676	15397	2945	49897	52302	Q	HDZF
MAY	10	50.7	72 33.7	15674	15394	2949	49900	52304	Q	HDZF
JUN	10	51.0	72 33.6	15677	15397	2951	49904	52309	Q	HDZF
JUL	10	51.3	72 33.6	15677	15396	2952	49904	52309	Q	HDZF
AUG	10	52.0	72 34.0	15673	15392	2955	49910	52313	Q	HDZF
SEP	10	52.0	72 33.7	15678	15397	2956	49911	52316	Q	HDZF
OCT	10	52.7	72 34.1	15673	15391	2958	49916	52319	Q	HDZF
NOV	10	53.6	72 34.2	15673	15391	2962	49921	52323	Q	HDZF
DEC	10	54.5	72 34.6	15669	15386	2965	49928	52329	Q	HDZF
2006	10	51.3	72 33.8	15675	15394	2952	49906	52309	Q	HDZF
JAN	10	50.0	72 33.9	15668	15389	2945	49891	52293	D	HDZF
FEB	10	50.5	72 34.1	15667	15387	2947	49895	52296	D	HDZF
MAR	10	51.3	72 34.2	15665	15384	2950	49894	52295	D	HDZF
APR	10	51.3	72 35.3	15652	15372	2948	49907	52304	D	HDZF
MAY	10	51.7	72 34.1	15670	15389	2953	49904	52306	D	HDZF
JUN	10	52.2	72 34.0	15671	15390	2955	49907	52309	D	HDZF
JUL	10	51.8	72 34.1	15671	15390	2954	49908	52311	D	HDZF
AUG	10	53.5	72 34.5	15666	15383	2960	49915	52316	D	HDZF
SEP	10	53.3	72 34.3	15669	15386	2960	49910	52312	D	HDZF
OCT	10	54.8	72 34.9	15660	15377	2965	49913	52312	D	HDZF
NOV	10	55.2	72 35.3	15656	15373	2966	49924	52321	D	HDZF
DEC	10	57.3	72 36.0	15645	15360	2973	49920	52314	D	HDZF
2006	10	52.7	72 34.5	15663	15382	2956	49907	52307	D	HDZF

A: Tous les jours/ All days

Q: Jours calmes/ Quiet days

D: Jours perturbés/ Disturbed days

ELE: Elements enregistrés/ Recorded elements

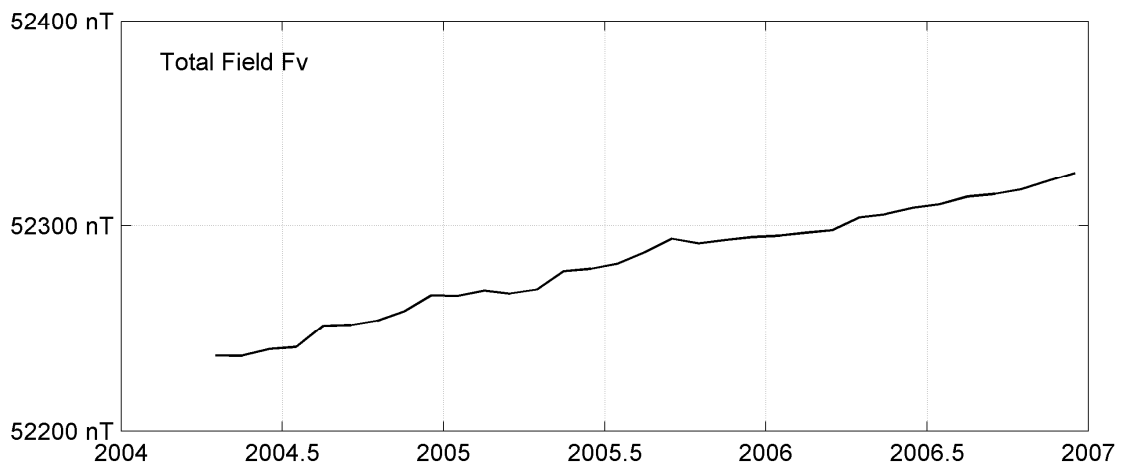
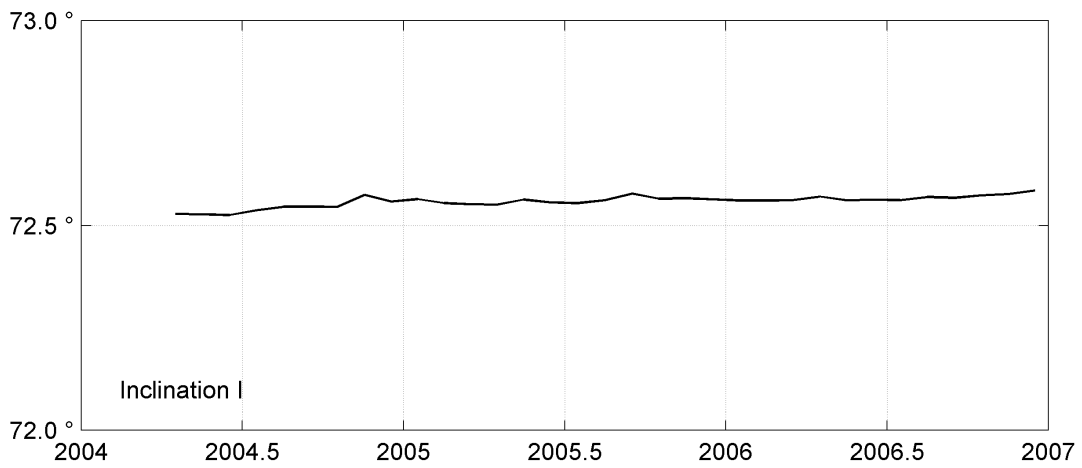
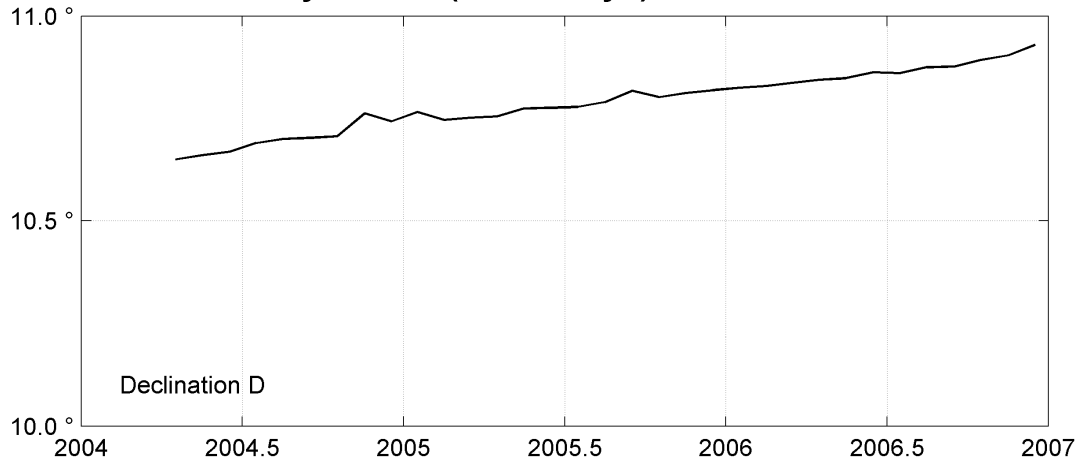
BOROK (BOX)
Annual mean values, 2004 - 2006

Date	D		I		H	X	Y	Z	F	ELE	Note
	o	'	o	'	nT	nT	nT	nT	nT		
2004.6	10	42.1	72	32.7	15673	15401	2910	49843	52249	HDZF	1
2005.5	10	46.9	72	33.7	15668	15391	2931	49878	52281	HDZF	
2006.5	10	51.9	72	34.1	15671	15390	2954	49907	52310	HDZF	

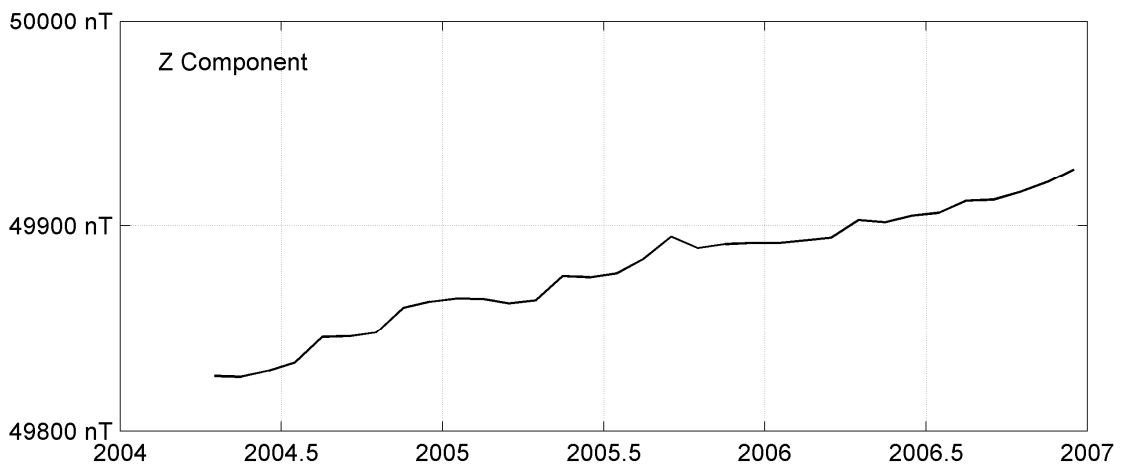
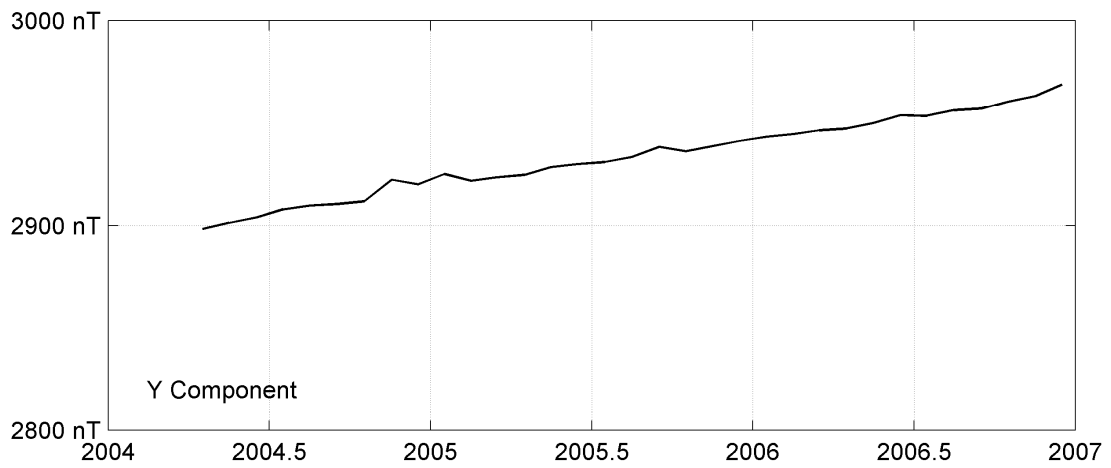
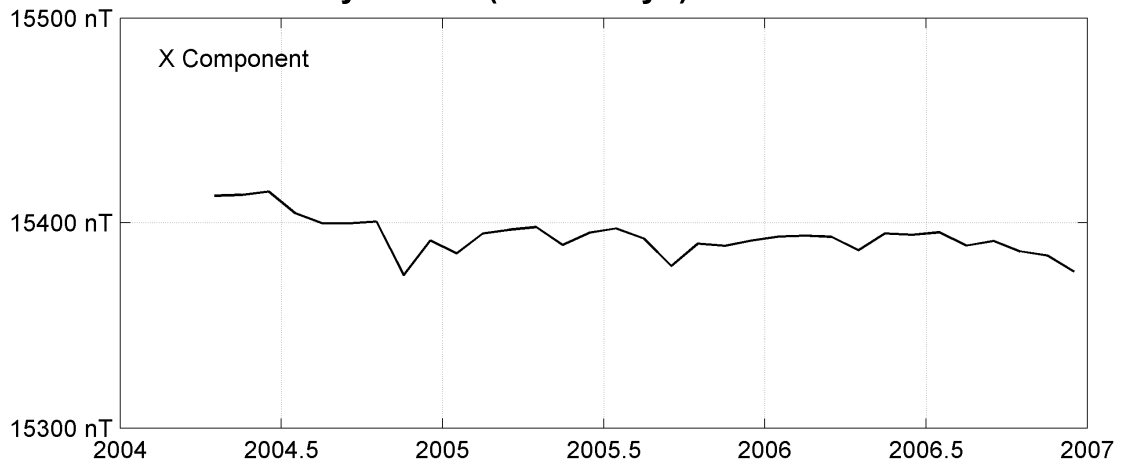
Notes :

1 Apr-Dec 2004

BOROK (BOX)
Monthly means (for all days) from 2004 to 2006



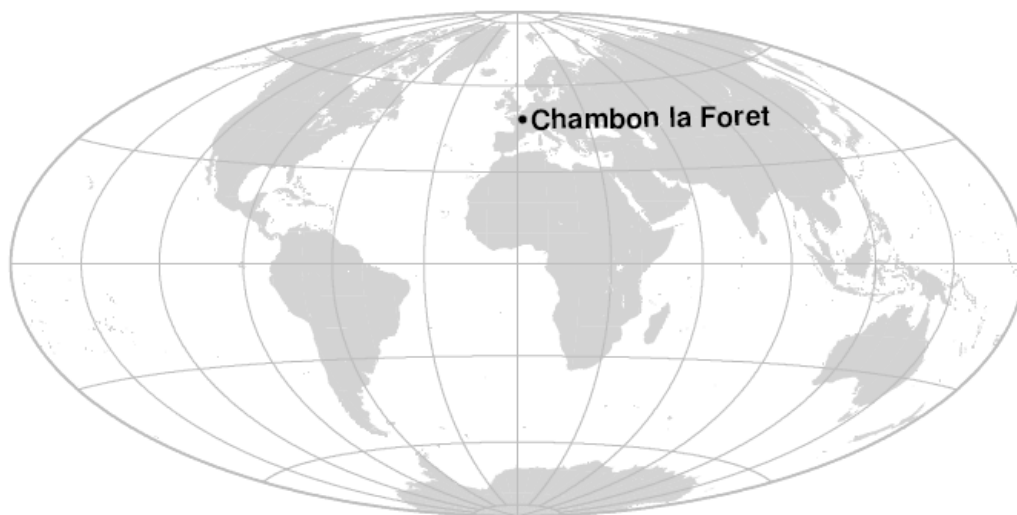
BOROK (BOX)
Monthly means (for all days) from 2004 to 2006



OBSERVATOIRE DE CHAMBON LA FORÊT (CLF)

CHAMBON LA FORÊT OBSERVATORY (CLF)

FRANCE / FRANCE



PRÉSENTATION

Les variations du champ magnétique terrestre sont enregistrées en continu au voisinage de Paris depuis 1883 : d'abord au Parc Saint Maur (1883-1900), puis à Val Joyeux (1901-1935) et enfin à Chambon la Forêt depuis 1936 (Eblé, 1938), où se trouve aujourd'hui l'observatoire magnétique national français. Des raccords entre les séries de ces trois observatoires ont permis de reconstituer une série magnétique homogène depuis 1883 (Bitterly et al., 2005 ; 2008).

L'observatoire de Chambon la Forêt se trouve à 100 km au sud de Paris, au cœur de la forêt d'Orléans, à l'écart des villes, des chemins de fer et des installations industrielles. Il est placé sous la responsabilité de l'Institut de Physique du Globe de Paris depuis sa création.

L'observatoire de Chambon la Forêt était équipé à l'origine de variographes Mascart et La Cour, qui enregistraient les variations magnétiques sur du papier photographique. En 1978, un magnétomètre triaxial à vanne de flux Thomson VFO31 associé à un dispositif d'enregistrement numérique a été installé (Le Mouël et al., 1980 ; Le Mouël et Leprêtre, 1982). Deux autres magnétomètres triaxiaux à vanne de flux sont venus compléter les équipements de l'observatoire à partir de 1992 : le Thomson TSA-Magnolia et le Geomag M390, remplacé par un magnétomètre IPGP VM391 en 2004. Ces deux derniers instruments ont la particularité d'être homocentriques.

OBSERVATEURS

Danielle FOUASSIER (Chef de station)
Jean SAVARY
Kader TELALI
François TRUONG

INSTRUMENTATION

Les mesures absolues ont été faites trois fois par semaine à l'aide d'un DI-flux constitué d'un théodolite Zeiss 010 et d'un magnétomètre à vanne de flux EOST DImag88. A chaque fois, les différences pilier ont été mesurées à l'aide d'un magnétomètre scalaire de type Overhauser Geomag SM90R.

PRESENTATION

The Earth's magnetic field variations have been continuously recorded in the vicinity of Paris since 1883: first in Parc Saint Maur (1883-1900), then in Val Joyeux (1901-1935) and eventually in Chambon la Forêt since 1936 (Eblé, 1938), where the French National Magnetic Observatory is now located. Estimations of the jumps between each observatory series have made it possible to reconstruct a homogeneous magnetic series since 1883 (Bitterly et al., 2005; 2008).

The Chambon la Forêt observatory is located 100 km of the south of Paris, in the heart of Orleans forest, as far as possible from towns, railways and industrial plants. It has been operating under the responsibility of the Institut de Physique du Globe de Paris since its creation.

From its origin, the Chambon la Forêt observatory was equipped with Mascart and La Cour variographs, which recorded magnetic variations on photographic paper. In 1978, a triaxial fluxgate magnetometer Thomson VFO31 with a digital recording system was installed (Le Mouël et al., 1980; Le Mouël and Leprêtre, 1982). Two other triaxial fluxgate magnetometers were added to the observatory equipment in 1992: the Thomson TSA-Magnolia and the Geomag M390, which was subsequently replaced by an IPGP VM391 magnetometer in 2004. The Geomag and IPGP instruments are homocentric.

OBSERVERS

Danielle FOUASSIER (Head of Chambon)
Jean SAVARY
Kader TELALI
François TRUONG

INSTRUMENTATION

Absolute measurements were made thrice a week with a DI-flux constituted of a theodolite Zeiss 010 and a fluxgate magnetometer EOST DImag88. Each time, pillar differences were measured with a Overhauser type scalar magnetometer Geomag SM90R.

Magnetic variations were continuously

Les variations magnétiques ont été enregistrées en continu par les instruments suivants :

- 1 magnétomètre triaxial à vanne de flux Thomson TSA-Magnolia
- 1 magnétomètre triaxial à vanne de flux Thomson VFO31
- 1 magnétomètre triaxial homocentrique à vanne de flux IPGP VM391
- 2 magnétomètres scalaires de type Overhauser Geomag SM90R
- 1 magnétomètre scalaire à résonance magnétique nucléaire Geomag SM100

Les magnétomètres étaient installés dans un pavillon thermiquement isolé.

Les données ont été enregistrées par trois acquisitions IPGP ENO2 de type PC et transmises au centre d'information géomagnétique d'INTERMAGNET à Paris par internet.

L'énergie était fournie par le réseau local d'électricité.

TRAITEMENT DES DONNÉES

En 2006, le magnétomètre Thomson TSA a été adopté comme magnétomètre de référence. Les données des deux autres magnétomètres vectoriels ont été utilisées lorsque le magnétomètre de référence était perturbé.

Toutes les observations ont été ramenées au pilier absolu de référence installé à environ 80 m des capteurs.

Les lignes de bases adoptées ont été obtenues en modélisant par une spline les écarts entre enregistrements continus et mesures absolues. Les valeurs de ligne de base pour la composante F proviennent des mesures de différences entre le pilier des mesures absolues et le magnétomètre scalaire.

recorded by the following instruments:

- 1 triaxial fluxgate magnetometer Thomson TSA-Magnolia
- 1 triaxial fluxgate magnetometer Thomson VFO31
- 1 triaxial homocentric fluxgate magnetometer IPGP VM391
- 2 Overhauser type scalar magnetometers Geomag SM90R
- 1 nuclear magnetic resonance scalar magnetometer Geomag SM100

The magnetometers were installed in a thermally insulated pavilion.

Data were acquired by three data loggers IPGP ENO2, based on a PC system, and transmitted to the INTERMAGNET Geomagnetic Information Node in Paris via internet.

The power was supplied by the local electricity network.

DATA PROCESSING

In 2006, the magnetometer Thomson TSA was chosen as reference magnetometer. Data from the other two vector magnetometers were used when the reference magnetometer was perturbed.

All the observations were reduced to the absolute pillar, at a distance of about 80 m from the sensors.

The adopted baseline values were obtained by spline modelling of the differences between continuous recordings and absolute measurements. Baseline values for the F component come from differences between the absolute pillar and the scalar magnetometer.

Valeurs moyennes horaires disponibles / *Hourly mean values available* [2006] : 99.8%

Nombre de mesures absolues utilisées / *Number of used absolute measurements* [2006] : 144

Amplitudes pic-à-pic des lignes de base / *peak-to-peak baseline amplitudes* [2006] :

$$|D_{o, \min} - D_{o, \max}| = 65''$$

$$|Z_{o, \min} - Z_{o, \max}| = 7.0\text{nT}$$

$$|H_{o, \min} - H_{o, \max}| = 5.0\text{nT}$$

$$|F_{o, \min} - F_{o, \max}| = 0.7\text{nT}$$

Différences RMS entre valeurs de lignes de base mesurées et adoptées

Root mean square differences between measured and adopted baseline values [2006] :

$$(\Delta D_o)_{\text{rms}} = 3''$$

$$(\Delta Z_o)_{\text{rms}} = 0.2\text{nT}$$

$$(\Delta H_o)_{\text{rms}} = 0.3\text{nT}$$

$$(\Delta F_o)_{\text{rms}} = 0.1\text{nT}$$

Valeur RMS du résidu scalaire $F_v - F_s$ / *RMS value of scalar residual $F_v - F_s$* [2006] :

$$[\Delta(F_s - F_v)]_{\text{rms}} = 0.2\text{nT}$$

OBSERVATOIRE MAGNÉTIQUE NATIONAL

Carrefour des 8 routes

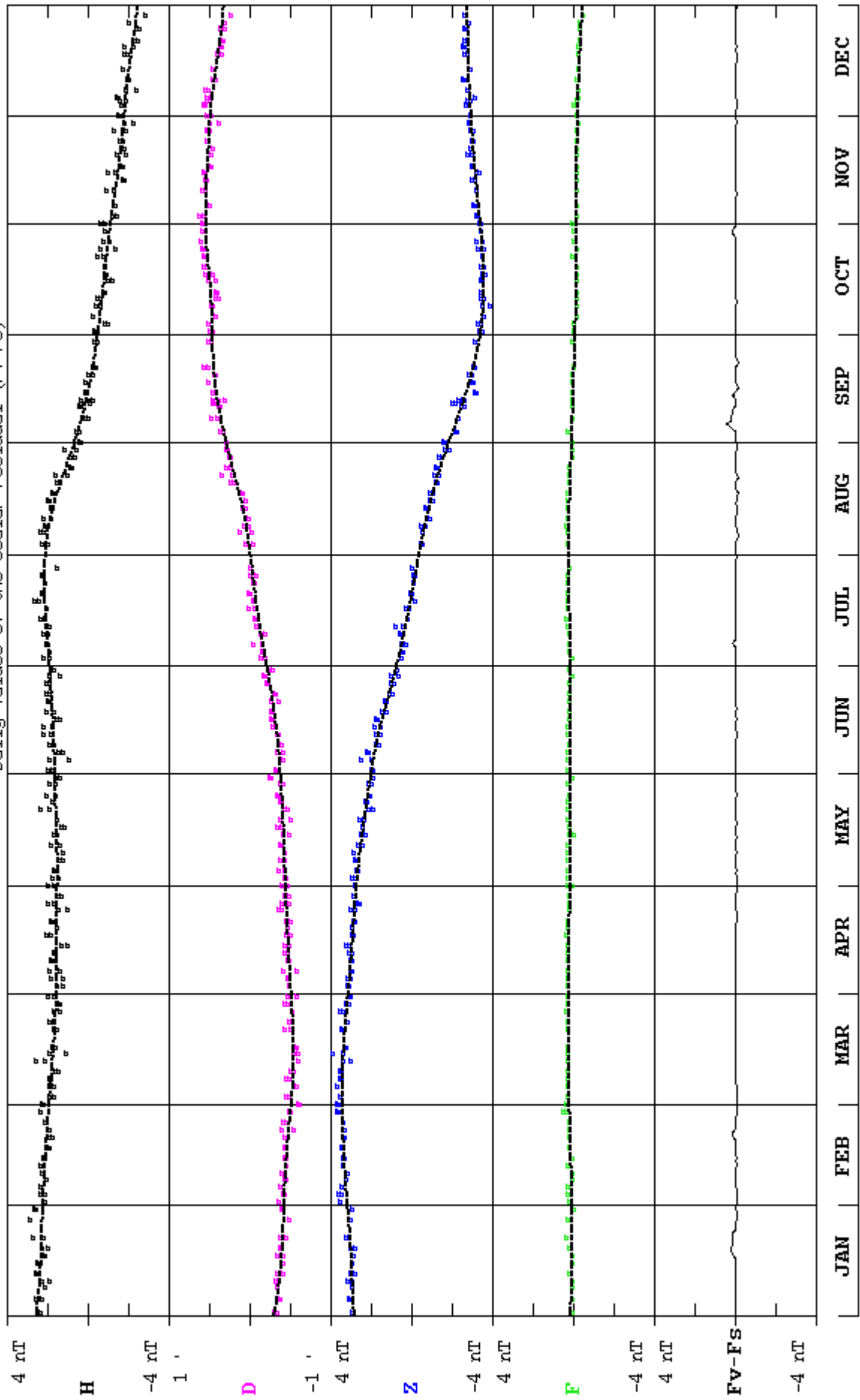
45340 CHAMBON LA FORÊT - FRANCE

TEL.: +33 2 38 33 95 00 - FAX.: +33 2 38 33 95 04

E-mail : bcmt@ipgp.iussieu.fr

CHAMBON LA FORET (CLF) 2006

Observed and adopted baseline values (H,D,Z,F)
Daily values of the scalar residual (Fv-Fs)

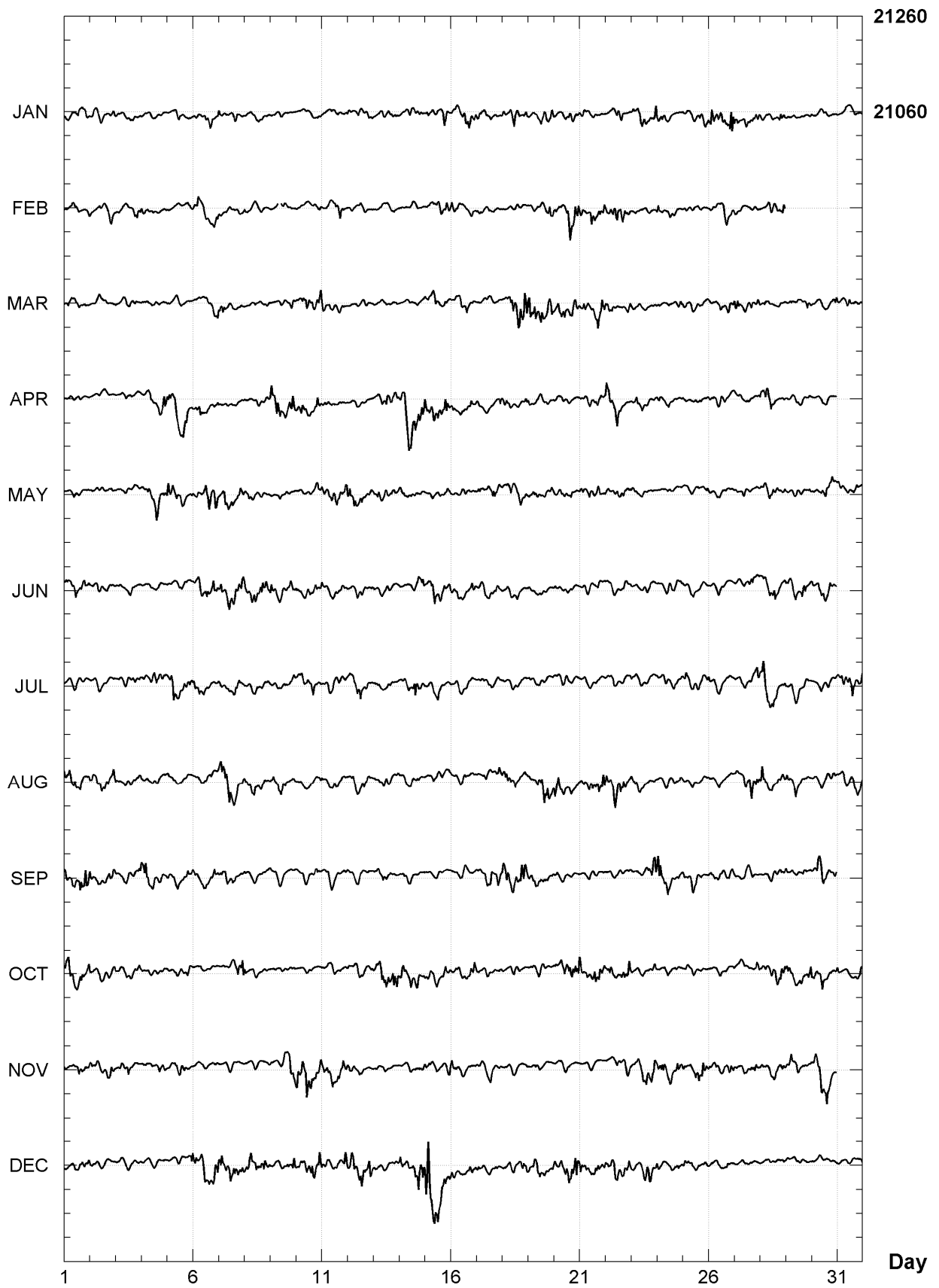


CHAMBON LA FORET (CLF)

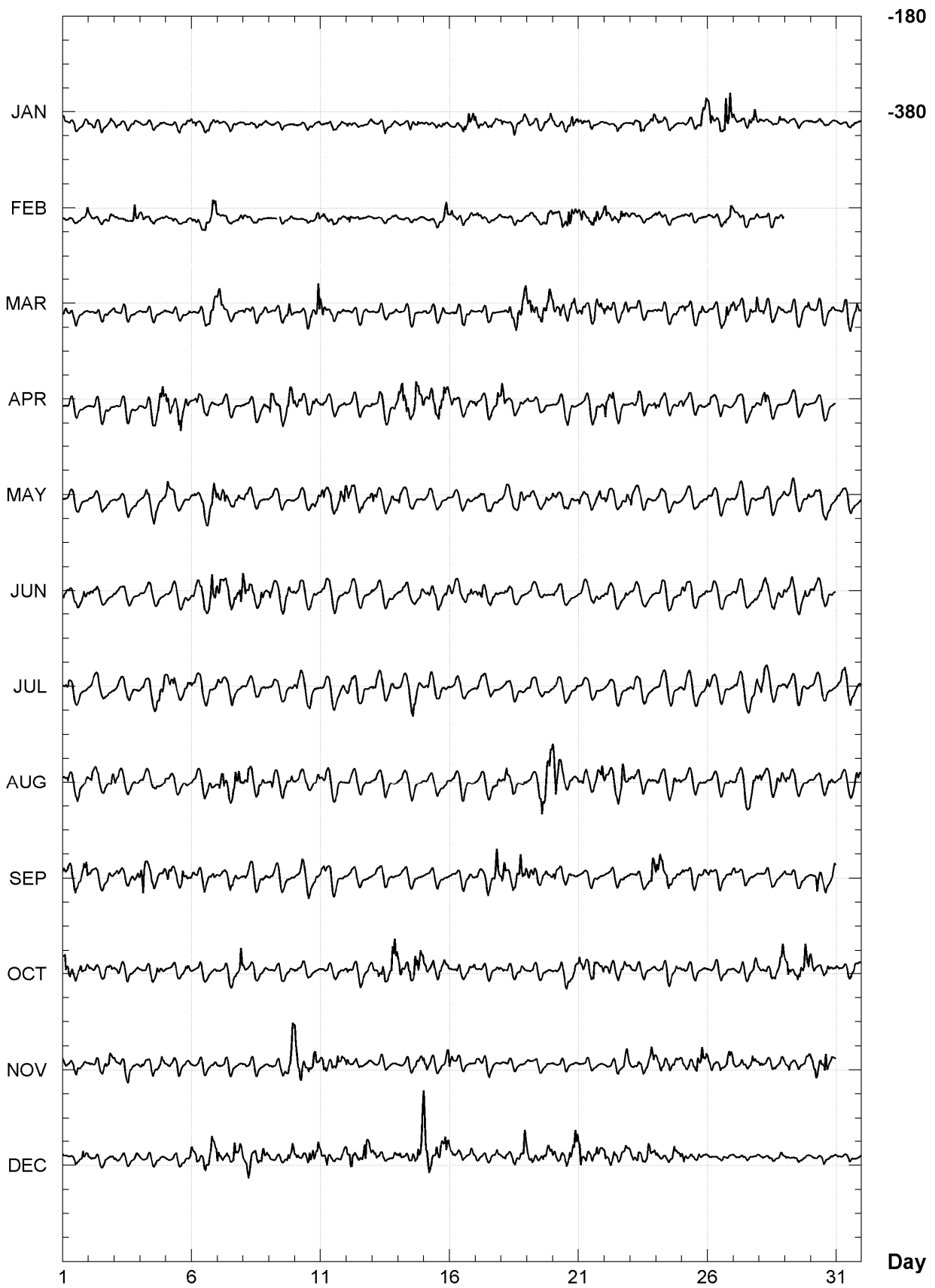
K indices, 2006 (K=9 for 500 nT)

DATE	JANUARY		FEBRUARY		MARCH		APRIL		MAY		JUNE	
01	2111	2112	0011	1003	3222	2110	0000	1100	0111	0000	2213	2332
02	1112	1113	2101	0122	1011	1001	0010	1001	1011	1111	2221	1211
03	2001	1220	0101	1142	2001	0110	0001	0001	1110	0112	1111	2211
04	0101	0020	2311	1101	1112	0001	0012	2244	1222	4322	0110	0110
05	0011	1111	1011	0021	1001	0001	4423	4332	3322	1101	1111	1211
06	2211	2221	3312	3234	1112	2243	1221	2122	1212	2444	2233	3354
07	2111	1210	2111	1012	4321	1022	1011	0001	3342	3232	4333	3334
08	0011	1101	2111	0011	2101	2132	2002	1112	2211	0111	4233	2433
09	0000	1000	00--	1022	0000	1132	5443	3245	1111	1101	3222	2232
10	0000	1000	1000	0023	1223	3235	3332	2332	0101	0123	2221	2232
11	0001	1110	1211	2321	4222	1121	2211	1112	3322	3234	2211	2122
12	2111	0011	2311	1100	0111	1120	0001	1010	4332	3223	1111	1212
13	1001	1111	0000	0111	0111	0011	1222	3323	3211	2122	1001	1101
14	1001	1121	0000	1001	0011	1002	3443	3543	3221	1111	1112	1233
15	2101	1132	0122	2244	2222	2230	3333	3443	1111	1112	2333	3333
16	1212	3333	3222	2122	1211	2211	3222	2222	0101	1101	3222	1232
17	3311	2111	1211	1101	0002	1111	2110	1113	2211	2211	2232	2221
18	2223	1222	0001	1010	0134	3445	4311	1022	1223	2432	1122	1111
19	1112	1223	2121	1132	5443	3343	2010	1111	1221	1122	2100	1000
20	2101	2331	2223	4434	3333	1343	0113	3210	2222	1221	2111	1110
21	2211	2000	3323	3333	2321	2333	1111	2311	3112	1231	0110	1111
22	0012	2211	4333	2322	3221	1133	4333	3211	3212	2224	1211	0221
23	1333	3224	2111	1001	1111	0001	1321	1102	3111	1110	0111	1111
24	3221	1001	3112	2100	1011	1123	3212	1112	1212	2100	0121	1111
25	2101	1234	2001	0000	1211	1130	3001	1110	1211	1022	2211	1111
26	3422	3545	1101	1223	1102	1242	2201	1110	1101	1110	0111	1000
27	3212	2233	2011	1002	3311	2214	1111	1221	1011	0001	1110	2222
28	2211	1132	0012	1113	1311	1121	3333	1111	1222	2112	3232	3223
29	1000	1001			1211	1023	1101	0001	1110	1102	3222	2333
30	1001	0000			1011	1023	0001	1000	1212	3231	2212	2221
31	0000	0100			0012	2031			2111	1121		
DATE	JULY		AUGUST		SEPTEMBER		OCTOBER		NOVEMBER		DECEMBER	
01	1211	1000	3333	2312	3222	2345	4432	2313	2111	2222	1001	1132
02	0110	0000	2322	2213	3102	1133	2111	2122	2111	1233	1100	0111
03	0101	1221	3111	1022	2212	1112	1211	3212	2112	3121	1100	0122
04	1212	3333	0101	1111	4532	2223	1111	1321	2212	2232	0000	0001
05	4342	2323	2110	0010	3212	1332	1011	1122	0111	1211	0003	0112
06	3222	1112	1110	1211	2111	2131	0011	0001	0011	1012	3334	3354
07	2111	2321	3344	3443	1222	2220	1011	1334	0000	0000	4333	3433
08	0011	1001	3332	2221	2111	1101	2102	1111	1101	0000	3433	2243
09	0110	1113	1312	2213	1100	0000	0111	1122	1011	1335	2110	0334
10	2222	2321	0100	1013	1111	1121	1011	1000	5334	3243	2322	3434
11	0112	2232	2211	2111	2222	1101	1011	1011	4323	2433	3332	1124
12	3223	4221	2211	2211	1112	1011	2011	1113	3112	2010	3422	4444
13	2221	1111	1112	1111	1222	1010	3233	3355	1110	0000	3311	0113
14	1112	3433	1111	1111	1210	1110	4323	2444	0101	1223	3222	4557
15	1212	2111	0111	1212	0010	1000	2222	1232	2201	1122	7644	5454
16	0111	1110	1001	1111	0001	1120	2112	2133	4211	0000	2211	1233
17	1111	1120	0021	1123	1113	3244	0001	1111	2111	2111	3111	0131
18	0111	1110	2422	2322	4322	2354	2110	0121	0000	0010	2212	1235
19	1211	0001	1113	5545	3232	2221	0101	1000	1112	0001	2222	3222
20	1211	1001	5522	2222	2211	0110	2122	3333	0000	1000	4222	3354
21	1110	1110	2322	2234	0001	1101	4322	3543	1000	1000	4332	3422
22	1211	0002	4243	3442	0011	1021	2322	2343	0012	2133	3233	2333
23	1211	0111	2221	1011	1001	1235	1012	0112	1222	2344	2332	3442
24	1121	1211	2110	1222	4433	3123	0112	1122	3332	2233	2111	2332
25	2211	1223	0001	0000	2123	2113	1111	0110	2222	2443	3222	1211
26	3211	1211	1001	0021	2212	2222	1112	1100	3322	2133	1111	2110
27	1111	2233	2212	3433	2101	1110	1001	0033	2122	1231	1111	1101
28	5433	2211	4322	2333	1011	1013	1122	2345	1101	2223	1000	0021
29	2111	0121	3222	1221	2000	1220	4322	3354	2322	1122	1101	1011
30	1211	1102	1112	1232	1343	2223	4223	2211	2333	5421	1001	1010
31	2323	3223	1121	1233			2001	1223			1001	0001

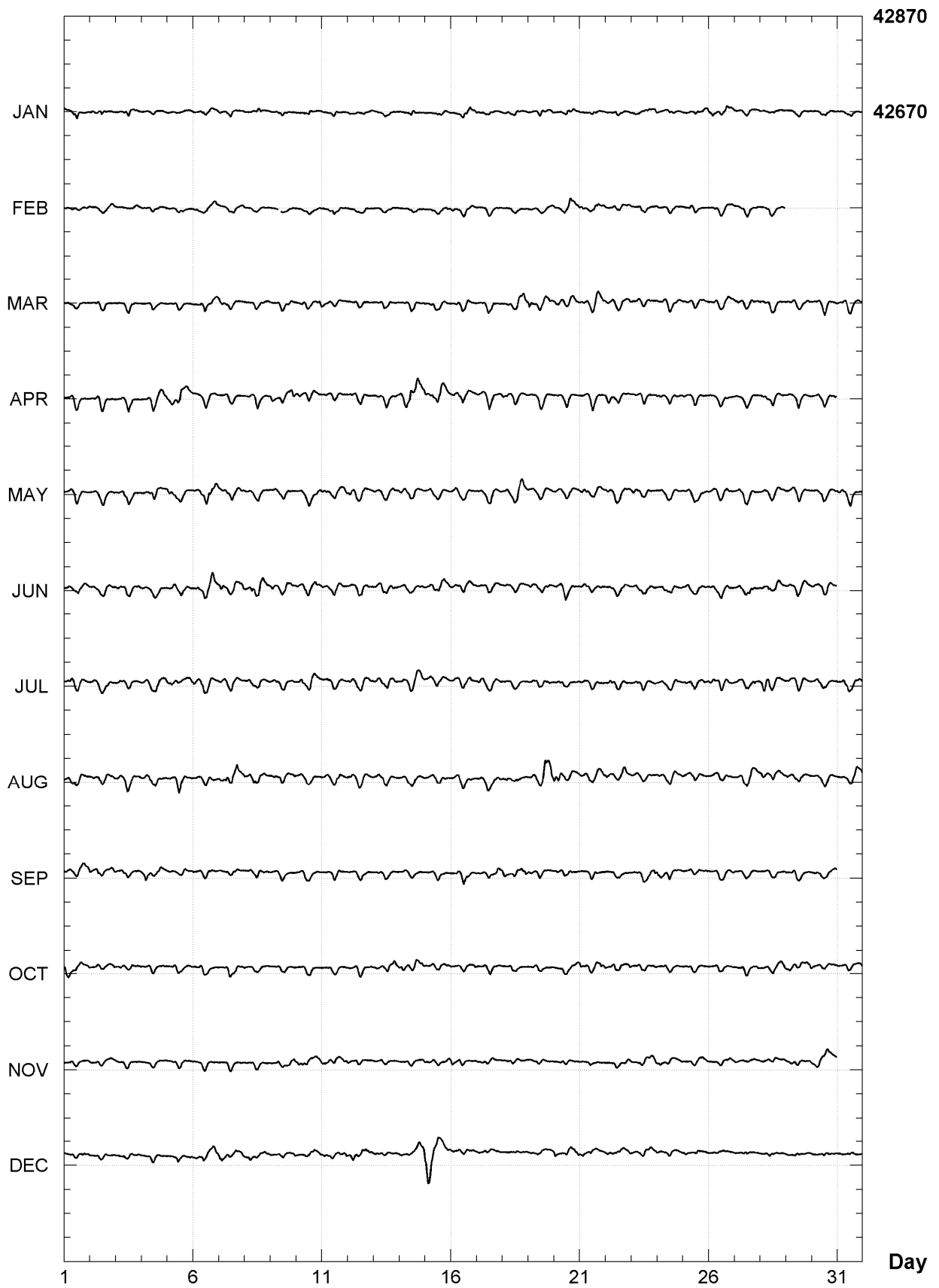
CHAMBON LA FORET (CLF)
Hourly mean values: X component (nT), 2006



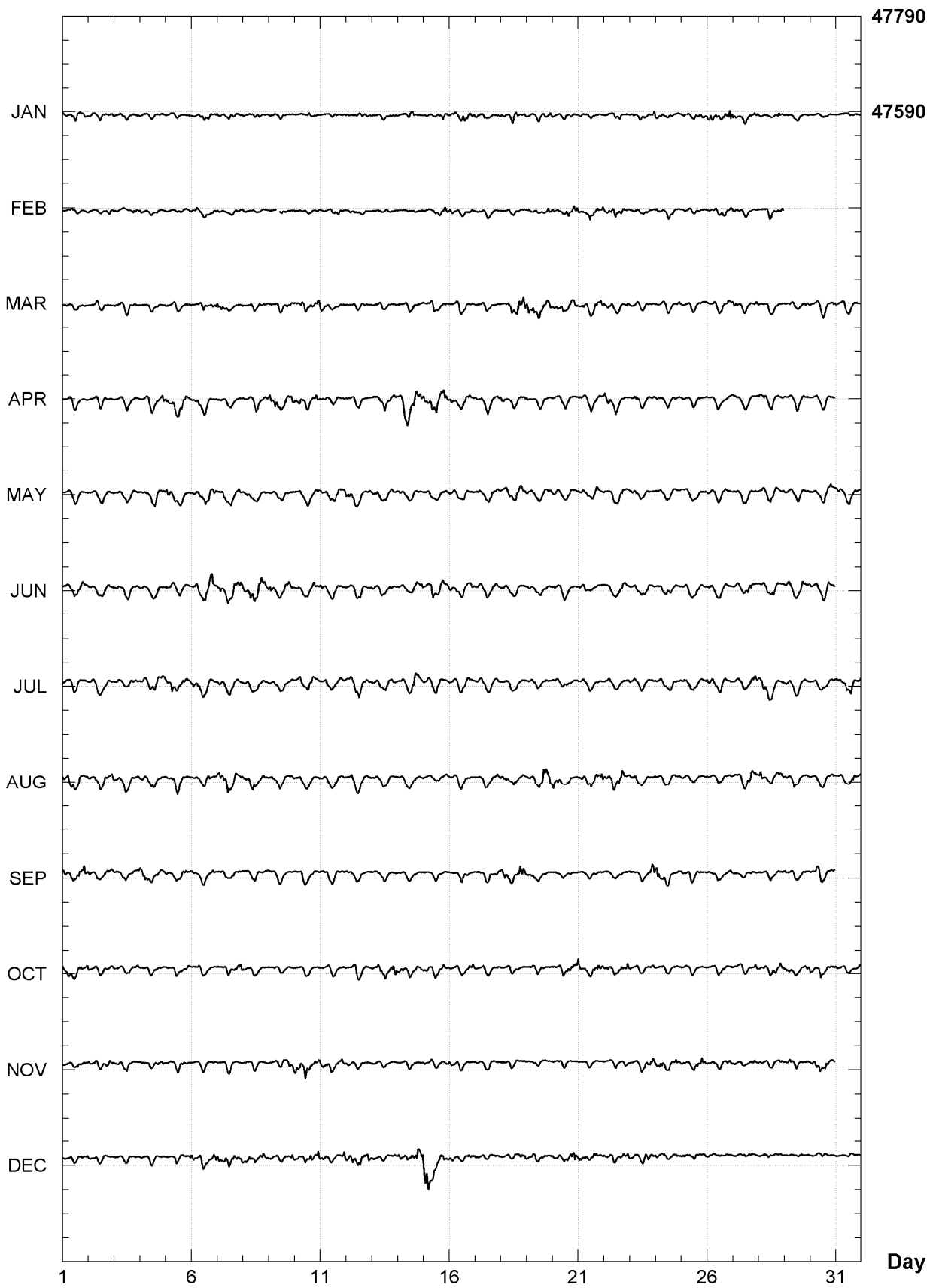
CHAMBON LA FORET (CLF)
Hourly mean values: Y component (nT), 2006



CHAMBON LA FORET (CLF)
Hourly mean values: Z component (nT), 2006



CHAMBON LA FORET (CLF)
Hourly mean values: total field F (nT), 2006



CHAMBON LA FORET (CLF)

Monthly and annual mean values, 2006

Date	D		I		H	X	Y	Z	F	J	ELE
	°	'	°	'	nT	nT	nT	nT	nT		
JAN	358	54.0	63	44.1	21057	21053	-405	42669	47582	A	HDZFF
FEB	358	54.5	63	43.8	21061	21057	-402	42668	47583	A	HDZFF
MAR	358	55.0	63	43.7	21062	21058	-398	42670	47584	A	HDZFF
APR	358	55.9	63	44.2	21057	21053	-393	42674	47586	A	HDZFF
MAY	358	56.2	63	43.5	21068	21064	-391	42673	47591	A	HDZFF
JUN	358	56.8	63	43.5	21069	21066	-388	42676	47594	A	HDZFF
JUL	358	57.3	63	43.4	21071	21067	-385	42678	47596	A	HDZFF
AUG	358	58.1	63	43.8	21066	21063	-379	42680	47596	A	HDZFF
SEP	358	58.5	63	43.6	21069	21066	-377	42681	47598	A	HDZFF
OCT	358	59.2	63	43.7	21068	21065	-372	42683	47599	A	HDZFF
NOV	358	60.0	63	43.9	21068	21065	-368	42687	47603	A	HDZFF
DEC	359	1.1	63	44.6	21061	21058	-361	42695	47606	A	HDZFF
2006	358	57.2	63	43.8	21065	21061	-385	42678	47593	A	HDZFF
JAN	358	53.8	63	43.8	21060	21056	-406	42669	47583	Q	HDZFF
FEB	358	54.3	63	43.5	21065	21061	-402	42667	47584	Q	HDZFF
MAR	358	54.6	63	43.4	21066	21062	-401	42667	47584	Q	HDZFF
APR	358	55.2	63	43.4	21067	21064	-397	42670	47587	Q	HDZFF
MAY	358	56.5	63	43.4	21068	21065	-389	42673	47591	Q	HDZFF
JUN	358	56.7	63	43.2	21073	21069	-388	42674	47594	Q	HDZFF
JUL	358	57.3	63	43.3	21072	21068	-384	42676	47595	Q	HDZFF
AUG	358	58.0	63	43.5	21070	21066	-380	42678	47596	Q	HDZFF
SEP	358	58.3	63	43.2	21074	21071	-378	42679	47598	Q	HDZFF
OCT	358	58.9	63	43.3	21074	21071	-375	42681	47600	Q	HDZFF
NOV	358	59.6	63	43.4	21075	21071	-370	42685	47604	Q	HDZFF
DEC	359	0.5	63	43.9	21071	21068	-365	42692	47609	Q	HDZFF
2006	358	57.0	63	43.4	21070	21066	-386	42676	47594	Q	HDZFF
JAN	358	54.5	63	44.4	21052	21048	-401	42670	47580	D	HDZFF
FEB	358	54.7	63	44.2	21055	21051	-400	42670	47582	D	HDZFF
MAR	358	55.6	63	44.3	21054	21050	-394	42671	47583	D	HDZFF
APR	358	56.3	63	45.4	21040	21037	-390	42678	47583	D	HDZFF
MAY	358	56.5	63	43.9	21062	21058	-389	42675	47590	D	HDZFF
JUN	358	56.9	63	43.7	21066	21062	-387	42678	47594	D	HDZFF
JUL	358	57.7	63	43.8	21066	21062	-382	42679	47595	D	HDZFF
AUG	358	58.3	63	44.5	21058	21054	-378	42685	47596	D	HDZFF
SEP	358	59.1	63	44.0	21064	21061	-373	42682	47596	D	HDZFF
OCT	358	60.0	63	44.3	21060	21057	-368	42684	47597	D	HDZFF
NOV	359	0.3	63	44.7	21056	21053	-366	42690	47600	D	HDZFF
DEC	359	2.0	63	45.6	21045	21042	-355	42695	47600	D	HDZFF
2006	358	57.6	63	44.4	21056	21053	-382	42680	47591	D	HDZFF

A: Tous les jours/ All days
Q: Jours calmes/ Quiet days
D: Jours perturbés/ Disturbed days
ELE: Elements enregistrés/ Recorded elements

CHAMBON LA FORET (CLF)
Annual mean values, 1883 - 2006

Date	D		I		H	X	Y	Z	F	ELE	Note
	°	'	°	'	nT	nT	nT	nT	nT		
1883.5	343	39.6	65	19.1	19419	18635	-5463	42256	46504	HDZ	
1884.5	343	46.8	65	18.4	19416	18644	-5423	42228	46478	HDZ	
1885.5	343	53.1	65	16.8	19427	18664	-5392	42198	46455	HDZ	
1886.5	343	59.1	65	15.8	19439	18685	-5363	42192	46454	HDZ	
1887.5	344	05.2	65	14.7	19470	18724	-5338	42224	46497	HDZ	
1888.5	344	10.3	65	14.5	19496	18757	-5318	42274	46553	HDZ	
1889.5	344	15.4	65	12.6	19522	18789	-5297	42269	46559	HDZ	
1890.5	344	21.3	65	10.9	19543	18819	-5270	42261	46561	HDZ	
1891.5	344	27.2	65	10.1	19559	18843	-5242	42266	46572	HDZ	
1892.5	344	33.1	65	09.2	19584	18877	-5217	42294	46608	HDZ	
1893.5	344	38.9	65	07.1	19621	18921	-5194	42304	46633	HDZ	
1894.5	344	44.8	65	05.2	19631	18939	-5165	42264	46600	HDZ	
1895.5	344	50.6	65	02.9	19664	18980	-5141	42263	46614	HDZ	
1896.5	344	56.1	65	01.6	19685	19008	-5116	42264	46623	HDZ	
1897.5	345	01.4	64	59.6	19717	19047	-5095	42270	46643	HDZ	
1898.0	0	00.0	0	00.0	67	65	-17	144	158	HDZ	1
1898.5	345	06.2	64	58.3	19676	19015	-5058	42140	46507	HDZ	
1899.5	345	10.5	64	55.7	19704	19048	-5042	42119	46501	HDZ	
1900.5	345	14.6	64	53.5	19738	19087	-5028	42120	46516	HDZ	
1901.0	0	30.3	-0	07.8	90	132	144	-58	-14	HDZ	2
1901.5	344	48.0	64	58.9	19680	18992	-5160	42167	46534	HDZ	
1902.5	344	51.4	64	56.6	19701	19016	-5146	42139	46517	HDZ	
1903.5	344	55.6	64	54.8	19711	19033	-5126	42102	46488	HDZ	
1904.5	345	00.0	64	52.4	19721	19049	-5104	42048	46442	HDZ	
1905.5	345	04.3	64	50.6	19728	19062	-5082	42008	46410	HDZ	
1906.5	345	08.7	64	47.9	19740	19080	-5061	41945	46357	HDZ	
1907.5	345	14.1	64	46.5	19740	19088	-5031	41900	46317	HDZ	
1908.5	345	20.4	64	44.6	19735	19092	-4995	41831	46252	HDZ	
1909.5	345	27.1	64	43.9	19727	19095	-4955	41792	46214	HDZ	
1910.5	345	34.3	64	43.0	19738	19116	-4918	41789	46216	HDZ	
1911.5	345	42.4	64	41.6	19744	19133	-4874	41758	46191	HDZ	
1912.5	345	51.1	64	40.1	19747	19148	-4827	41714	46152	HDZ	
1913.5	346	00.8	64	38.9	19744	19159	-4772	41673	46114	HDZ	
1914.5	346	10.2	64	38.3	19733	19161	-4717	41631	46071	HDZ	
1915.5	346	19.6	64	38.8	19715	19157	-4661	41607	46042	HDZ	
1916.5	346	29.3	64	40.3	19700	19155	-4603	41624	46050	HDZ	
1917.5	346	38.5	64	41.2	19689	19157	-4549	41629	46050	HDZ	
1918.5	346	47.7	64	43.2	19680	19159	-4496	41669	46083	HDZ	
1919.5	346	57.2	64	43.1	19668	19160	-4440	41643	46054	HDZ	
1920.5	347	07.0	64	41.6	19666	19171	-4385	41591	46007	HDZ	
1921.5	347	17.4	64	40.0	19669	19187	-4327	41548	45968	HDZ	
1922.5	347	28.6	64	39.6	19661	19193	-4263	41517	45937	HDZ	
1923.5	347	39.8	64	38.9	19664	19210	-4201	41504	45926	HDZ	
1924.5	347	52.1	64	38.9	19663	19224	-4132	41501	45923	HDZ	
1925.5	348	04.2	64	38.7	19659	19235	-4064	41485	45908	HDZ	
1926.5	348	16.2	64	39.2	19650	19239	-3995	41482	45901	HDZ	
1927.5	348	27.7	64	39.8	19656	19259	-3931	41514	45932	HDZ	
1928.5	348	39.6	64	39.9	19648	19265	-3864	41502	45918	HDZ	
1929.5	348	49.9	64	41.0	19641	19269	-3804	41519	45931	HDZ	
1930.5	349	00.7	64	42.0	19631	19271	-3742	41530	45936	HDZ	
1931.5	349	11.0	64	43.4	19636	19288	-3685	41584	45987	HDZ	
1932.5	349	22.0	64	43.7	19637	19299	-3623	41596	45998	HDZ	
1933.5	349	32.6	64	44.2	19639	19313	-3564	41615	46016	HDZ	
1934.5	349	42.5	64	44.3	19644	19328	-3509	41629	46031	HDZ	

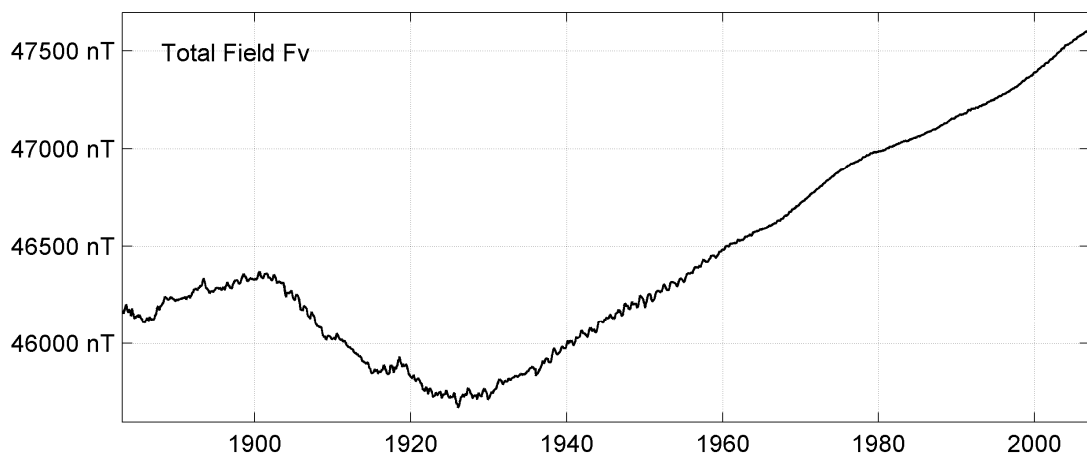
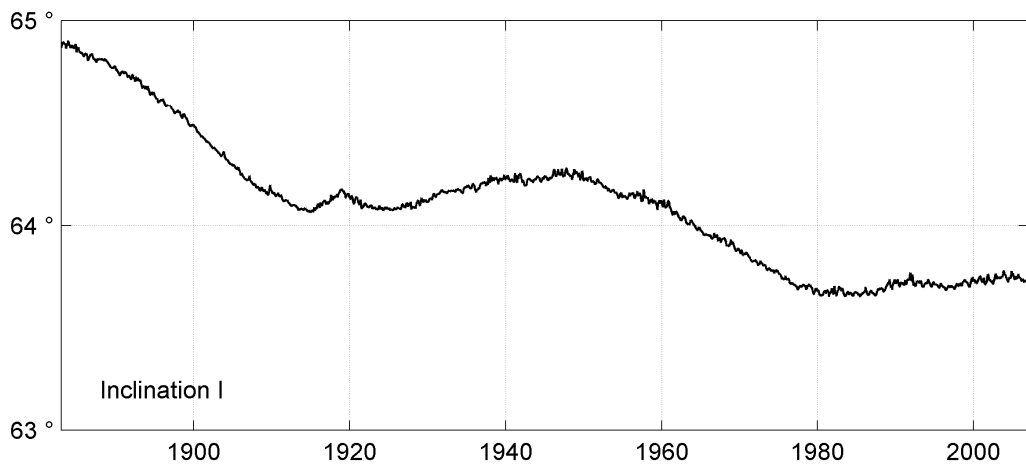
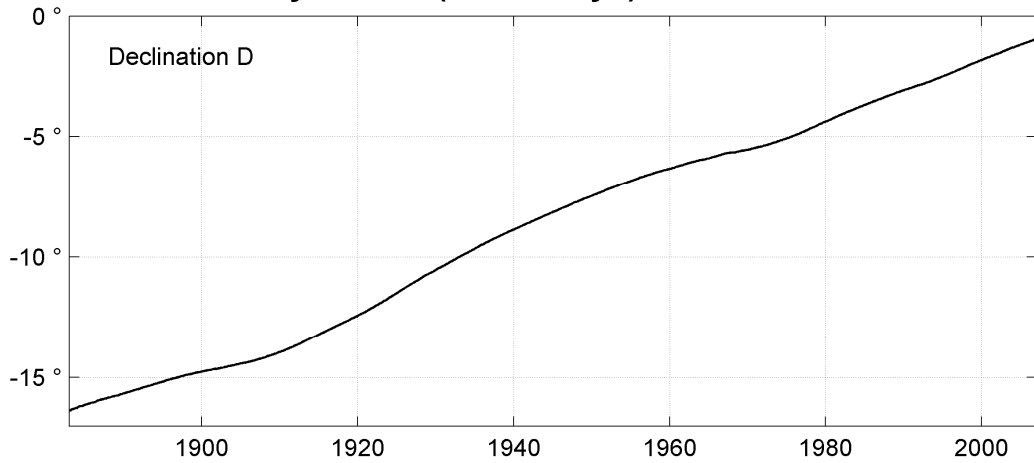
1935.5	349	53.4	64	45.4	19642	19337	-3448	41658	46057	HDZ	
1936.5	350	03.3	64	45.3	19647	19352	-3393	41668	46068	HDZ	
1936.0	-0	27.9	0	33.6	-365	-387	-96	278	94	HDZ	3
1936.5	350	31.1	64	11.4	20011	19737	-3296	41374	45959	HDZ	
1937.5	350	40.9	64	12.9	20011	19747	-3240	41422	46002	HDZ	
1938.5	350	50.1	64	14.0	20016	19760	-3188	41465	46044	HDZ	
1939.5	350	59.1	64	13.8	20027	19780	-3138	41484	46065	HDZ	
1940.5	351	07.7	64	13.9	20040	19800	-3090	41513	46097	HDZ	
1941.5	351	16.6	64	14.3	20048	19816	-3041	41543	46127	HDZ	
1942.5	351	25.1	64	13.0	20070	19845	-2995	41548	46142	HDZ	
1943.5	351	33.6	64	13.6	20070	19853	-2946	41568	46160	HDZ	
1944.5	351	42.0	64	14.0	20086	19875	-2900	41611	46205	HDZ	
1945.5	351	50.5	64	14.2	20093	19890	-2851	41633	46229	HDZ	
1946.5	351	59.0	64	15.6	20085	19889	-2801	41658	46247	HDZ	
1947.5	352	07.6	64	15.7	20095	19906	-2753	41682	46274	HDZ	
1948.5	352	15.4	64	15.1	20109	19926	-2710	41695	46291	HDZ	
1949.5	352	23.2	64	15.0	20121	19944	-2666	41715	46314	HDZ	
1950.5	352	30.9	64	13.9	20138	19966	-2623	41715	46322	HDZ	
1951.5	352	38.7	64	13.1	20158	19992	-2581	41732	46346	HDZ	
1952.5	352	46.7	64	12.0	20184	20024	-2538	41753	46376	HDZ	
1953.5	352	53.8	64	10.6	20211	20056	-2499	41765	46398	HDZ	
1954.5	353	01.0	64	09.2	20233	20083	-2460	41768	46411	HDZ	
1955.5	353	07.8	64	08.8	20251	20106	-2422	41794	46442	HDZ	
1956.5	353	14.9	64	09.3	20261	20120	-2382	41828	46476	HDZ	
1957.0	0	00.0	0	00.0	35	35	-4	72	80	HDZ	4
1957.5	353	21.2	64	08.7	20247	20111	-2343	41781	46428	HDZ	
1958.5	353	27.3	64	07.7	20270	20138	-2311	41796	46452	HDZ	
1959.5	353	32.7	64	06.9	20289	20160	-2281	41810	46473	HDZ	
1960.5	353	37.9	64	06.5	20308	20183	-2253	41839	46507	HDZ	
1961.5	353	43.8	64	04.3	20344	20222	-2222	41845	46528	HDZ	
1962.5	353	49.7	64	02.6	20373	20255	-2190	41851	46546	HDZ	
1963.5	353	54.8	64	01.2	20399	20284	-2163	41862	46568	HDZ	
1964.5	353	59.1	63	59.8	20426	20314	-2141	41873	46590	HDZ	
1965.5	354	03.9	63	58.0	20454	20345	-2115	41876	46604	HDZ	
1966.5	354	09.6	63	57.2	20473	20367	-2083	41888	46623	HDZ	
1967.5	354	14.5	63	56.5	20492	20389	-2056	41907	46649	HDZ	
1968.0	-0	03.0	0	00.4	0	-2	-18	11	10	HDZ	5
1968.5	354	20.0	63	54.9	20521	20421	-2026	41916	46670	HDZ	
1969.5	354	23.8	63	53.5	20553	20454	-2007	41938	46703	HDZ	
1970.5	354	28.0	63	52.0	20586	20490	-1985	41959	46737	HDZ	
1971.5	354	32.6	63	50.0	20625	20532	-1961	41978	46771	HDZ	
1972.5	354	37.8	63	48.8	20655	20564	-1933	42000	46804	HDZ	
1973.5	354	43.9	63	47.4	20686	20599	-1899	42022	46838	HDZ	
1974.5	354	50.4	63	46.4	20713	20629	-1863	42045	46870	HDZ	
1975.5	354	57.2	63	44.7	20746	20665	-1825	42059	46897	HDZ	
1976.5	355	04.8	63	43.3	20774	20698	-1782	42074	46923	HDZ	
1977.5	355	13.2	63	41.9	20800	20728	-1734	42083	46942	HDZ	
1978.5	355	22.0	63	42.1	20808	20740	-1681	42105	46966	HDZ	
1979.5	355	31.4	63	41.0	20829	20765	-1626	42114	46983	HDZ	
1980.5	355	39.4	63	40.0	20846	20786	-1579	42117	46993	HDZ	
1981.5	355	48.3	63	40.4	20849	20793	-1525	42135	47011	HDZ	
1982.5	355	56.8	63	40.8	20852	20799	-1474	42152	47027	HDZ	
1983.0	-0	01.5	0	00.0	1	0	-9	1	1	HDZ	6
1983.5	356	05.8	63	40.2	20864	20816	-1420	42160	47040	HDZ	
1984.5	356	13.9	63	39.9	20874	20829	-1372	42171	47054	HDZ	
1985.5	356	21.5	63	39.9	20882	20839	-1326	42184	47070	HDZ	
1986.5	356	29.1	63	40.4	20884	20845	-1280	42205	47089	HDZ	
1987.5	356	36.3	63	40.3	20892	20856	-1237	42220	47106	HDZ	
1988.5	356	43.7	63	41.5	20888	20854	-1192	42247	47129	HDZ	
1989.5	356	50.9	63	42.9	20882	20850	-1148	42277	47153	HDZ	
1990.5	356	57.2	63	43.0	20889	20860	-1110	42296	47173	HDZ	

1991.5	357	03.8	63	43.8	20888	20861	-1070	42318	47193	HDZF
1992.5	357	09.9	63	43.2	20902	20876	-1034	42330	47209	HDZF
1993.5	357	16.9	63	42.7	20915	20892	-992	42342	47226	HDZF
1994.5	357	24.5	63	42.9	20923	20902	-946	42361	47247	HDZF
1995.5	357	32.1	63	42.3	20939	20920	-901	42376	47267	HDZF
1996.5	357	40.1	63	41.7	20956	20939	-853	42391	47288	HDZF
1997.5	357	48.5	63	42.0	20963	20948	-802	42416	47313	HDZF
1998.5	357	57.1	63	43.0	20965	20951	-749	42449	47343	HDZF
1999.5	358	05.0	63	43.2	20975	20963	-702	42476	47372	HDZF
2000.5	358	12.8	63	43.9	20980	20970	-654	42509	47404	HDZF
2001.5	358	20.3	63	43.8	20995	20987	-609	42537	47436	HDZF
2002.5	358	27.9	63	43.9	21008	21001	-563	42568	47470	HDZF
2003.5	358	36.0	63	45.0	21012	21006	-513	42608	47507	HDZF
2004.5	358	43.2	63	44.6	21030	21025	-470	42633	47537	HDZF
2005.5	358	50.5	63	44.7	21042	21037	-426	42660	47567	HDZF
2006.5	358	57.2	63	43.8	21065	21061	-385	42678	47593	HDZF

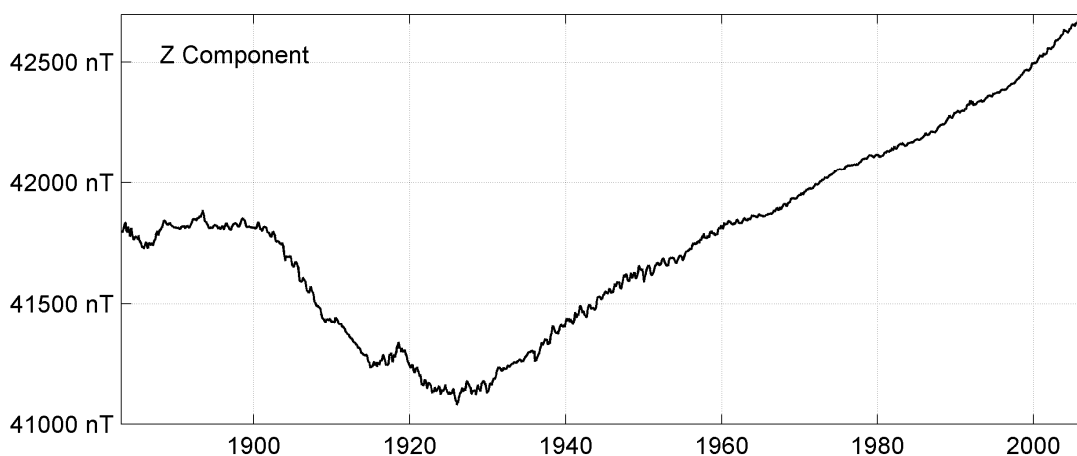
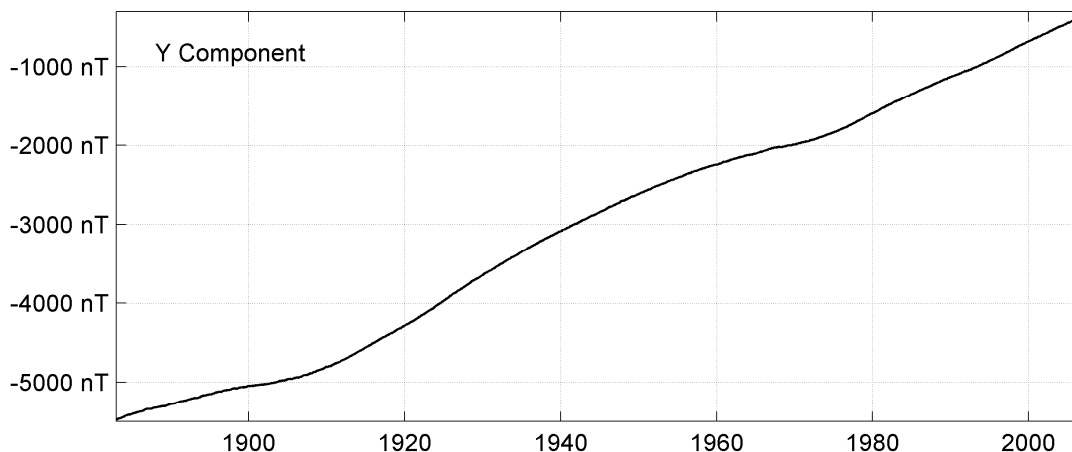
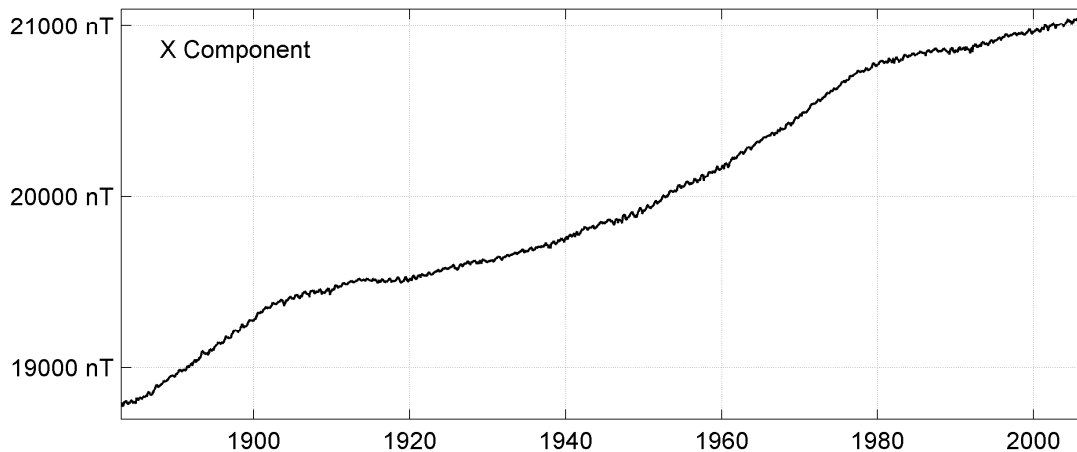
Notes :

- 1 1898.0 Instrument correction
- 2 1901.0 Site differences Parc Saint-Maur - Val Joyeux
- 3 1936.0 Site differences Val Joyeux - Chambon
- 4 1957.0 New proton magnetometer
- 5 1968.0 Theodolite and absolute pier change
- 6 1983.0 Absolute pier change

CHAMBON LA FORET (CLF)
Monthly means (for all days) from 1883 to 2006



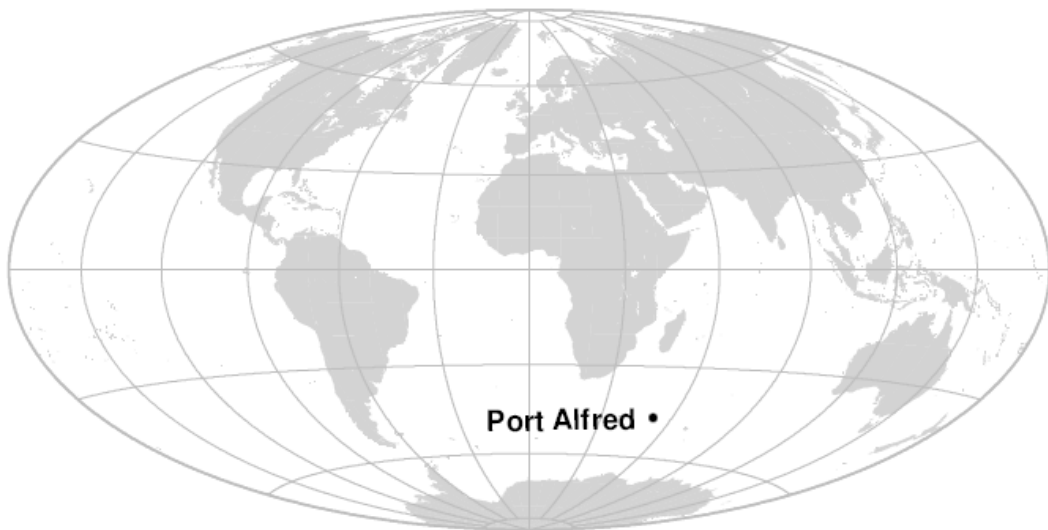
CHAMBON LA FORET (CLF) Monthly means (for all days) from 1883 to 2006



OBSERVATOIRE DE PORT ALFRED (CZT)

PORT ALFRED OBSERVATORY (CZT)

ARCHIPEL CROZET / CROZET ARCHIPELAGOS



PRÉSENTATION

La base Alfred Faure, à laquelle est rattaché l'observatoire magnétique de Crozet, est située à l'est de l'île de la Possession (150 km²) qui appartient à la partie orientale de l'archipel de Crozet. L'île de la Possession est un strato-volcan complexe. La base est installée sur un plateau incliné vers la mer, constitué de strates de débris volcaniques résultant de l'érosion des laves riches en olivine et pyroxène.

En 1964, ont commencé les premières observations magnétiques exclusivement consacrées à l'étude des pulsations magnétiques. A partir de 1972, l'équipement nécessaire au fonctionnement d'un observatoire permanent a été progressivement installé. L'observatoire de Port-Alfred (nom de code AIGA CZT) a été ouvert officiellement en janvier 1974 (Schlich et al., 1976).

L'observatoire comprend deux abris: un abri pour les mesures absolues, constitué d'un matériau amagnétique (résine et fibre de verre); l'abri des variomètres, par contre, est construit en ciment, qui offre une bonne stabilité en température mais qui contient malheureusement du sable magnétique provenant de l'île. L'abri des variomètres est à 40 mètres à l'est de l'abri des mesures absolues. Les abris, du variomètre et des mesures absolues, sont chauffés à une température constante de 16 degrés Celsius.

Le champ est enregistré en continu depuis 1974. Une balise assurant une transmission par satellite a été installée en février 1991, de manière à satisfaire aux normes INTERMAGNET. Le satellite METEOSAT transmet les données brutes une fois par heure vers le GIN européen de Paris.

La position du pilier de référence de l'observatoire (pilier des mesures absolues, 46.431 S, 51.860 E) est inchangée depuis 1974.

En 1981, le remplacement de l'instrument dédié aux mesures absolues a donné lieu à un saut dans la série de données magnétiques (Bitterly et al., 2005 ; 2008).

PRESENTATION

The Possession island (150 km²) that belongs to the oriental part of Crozet archipelagos, is a complex strato-volcano. The Alfred Faure base, eastward of the Possession Island, is situated on a plateau sloping towards the sea. This plateau is composed of a series of detrital volcanic units produced by the erosion of olivine and pyroxene bearing lava flows.

The magnetic station of Port Alfred, opened in 1964, was first exclusively aimed at the study of earth magnetic pulsations and micropulsations. From 1972 onwards, the necessary equipment for a permanent magnetic observatory was gradually put in. The Port Alfred magnetic observatory (IAGA code CZT), was officially opened in January 1974.

The observatory comprises two shelters: an absolute house, which is a light structure, made with resin material, and a variometer concrete house, with very stable temperature but unfortunately built with magnetic sand from the island. The variometer house is located 40 meters east to the absolute house. The absolute and the variometer houses are heated at a constant temperature of 16 degrees Celsius.

Digital one-minute-data have been continuously recorded since 1974. An equipment for the INTERMAGNET program was added in February 1991. It includes a data collection platform (DCP) for transmission via METEOSAT satellite to the GIN's of Paris.

The absolute pier (46.431 S, 51.860 E) has been remaining the same since 1974.

In 1981, the replacement of the instrument dedicated to absolute measurement led to a jump in the magnetic data series (Bitterly et al., 2005; 2008).

OBSERVATEUR

Gaëtan GESTALIN

INSTRUMENTATION

L'équipement est le même que celui qui a été précédemment décrit pour l'observatoire d'Amsterdam aussi bien pour les mesures absolues que pour l'enregistrement continu du champ.

La stabilité du pilier du variomètre triaxial est vérifiée périodiquement à l'aide de niveaux qui indiquent que le pilier est resté parfaitement stable.

PROTOCOLE DES MESURES, TRAITEMENT DES DONNÉES ET PRÉCISION

En 2006, les mesures absolues ont été effectuées tous les trois jours en moyenne.

La méthode de calcul des valeurs de base adoptées est la même que pour l'observatoire d'Amsterdam et les incertitudes estimées prennent les mêmes valeurs. L'explication proposée pour la variation des lignes de base est la même que pour l'observatoire d'Amsterdam. L'influence des roches volcaniques est ici renforcée par celle du sable magnétique entrant dans la composition du mortier utilisé pour la construction de l'abri des variomètres.

INCIDENTS

Un certain nombre de coupures dans les séries de mesures se répartissent au cours de l'année. Des perturbations les 30, 31 octobre et 1er novembre sont dues au système de régulation de la température de l'abri variomètre. La calibration du variomètre a été vérifiée le 16 novembre et le champ de compensation changé à cette occasion sur la composante Z. Ces opérations ont entraîné des sauts sur les lignes de base. Ces sauts ont été partiellement corrigés dans le fichier .blv des lignes de base pour des raisons de convenance graphique.

OBSERVER

Gaëtan GESTALIN

INSTRUMENTATION

Equipment and characteristics are the same as in Amsterdam observatory, for absolute measurements as well as for continuous record.

The stability of the pillar supporting the triaxial variometer is likewise controlled by steady level readings and shows the same constancy.

MEASUREMENT PROTOCOL, DATA PROCESSING AND ACCURACY

In 2006, absolute measurements were performed on average every 3 days.

The adopted base lines are computed in the same way as in the observatory of Amsterdam, with the same accuracy. Likewise, the cause of the annual variation of the base lines is the same, here enhanced by the magnetic material used in the construction of the variometer house.

FAILURES

A small number of short-term gaps due to acquisition failures are spread out throughout the year. Disturbances occurring 30, 31 October and 1 November are due to the heating device. The variometer calibration were checked November, 16 and the compensation field changed on the Z component. These operations resulted in jumps on the base lines, which are partially removed in the base line .blv file for drawing convenience.

Valeurs moyennes horaires disponibles / *Hourly mean values available* [2006] : 99.4%

Nombre de mesures absolues utilisées / *Number of used absolute measurements* [2006] : 228

Amplitudes pic-à-pic des lignes de base / *peak-to-peak baseline amplitudes* [2006] :

$$|D_{o, \min} - D_{o, \max}| = 132''$$

$$|Z_{o, \min} - Z_{o, \max}| = 10.0\text{nT}$$

$$|H_{o, \min} - H_{o, \max}| = 5.8\text{nT}$$

Différences RMS entre valeurs de lignes de base mesurées et adoptées

Root mean square differences between measured and adopted baseline values [2006] :

$$(\Delta D_o)_{\text{rms}} = 10''$$

$$(\Delta Z_o)_{\text{rms}} = 0.6\text{nT}$$

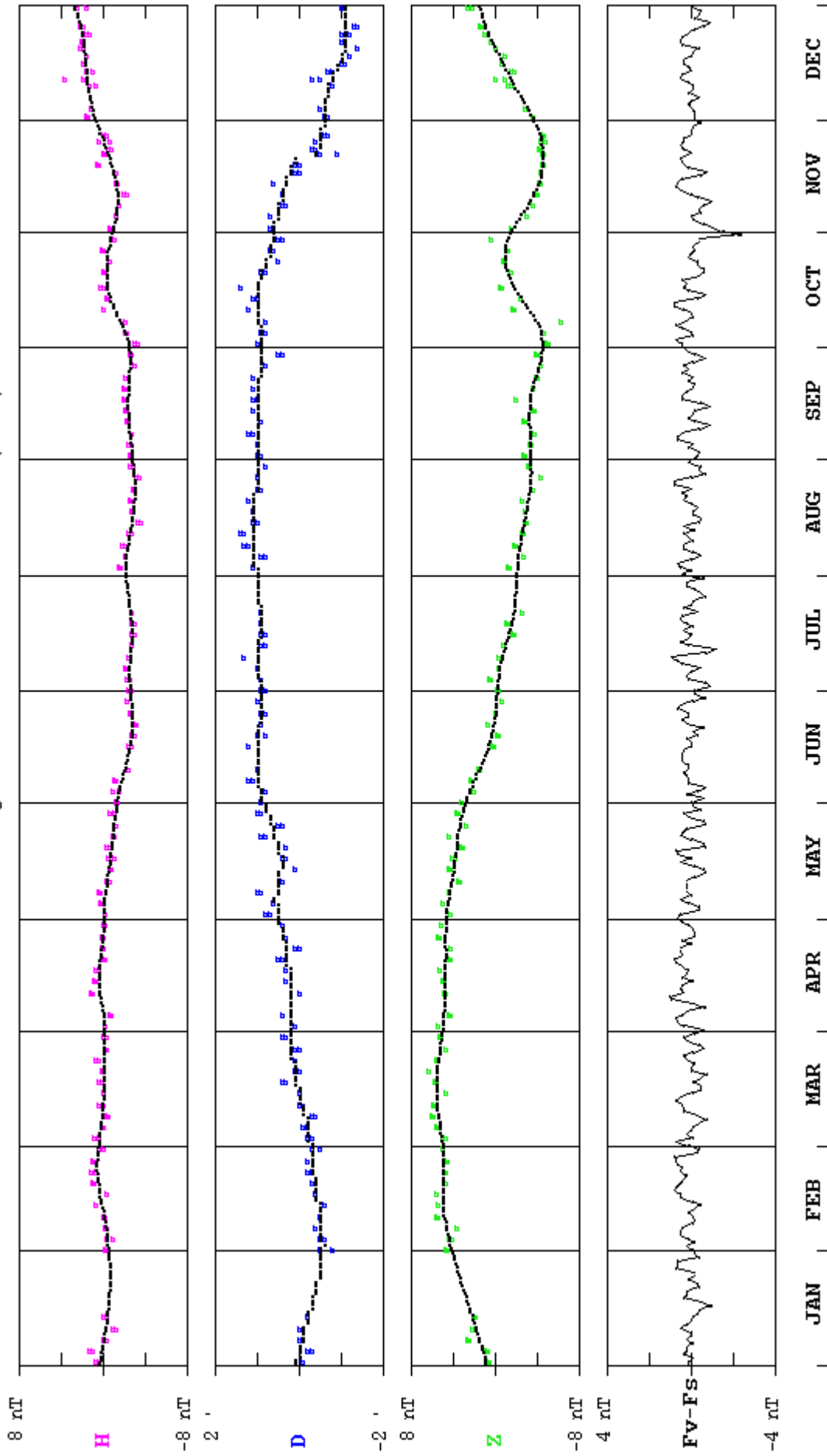
$$(\Delta H_o)_{\text{rms}} = 0.4\text{nT}$$

Valeur RMS du résidu scalaire Fv-Fs / *RMS value of scalar residual Fv-Fs* [2006] :

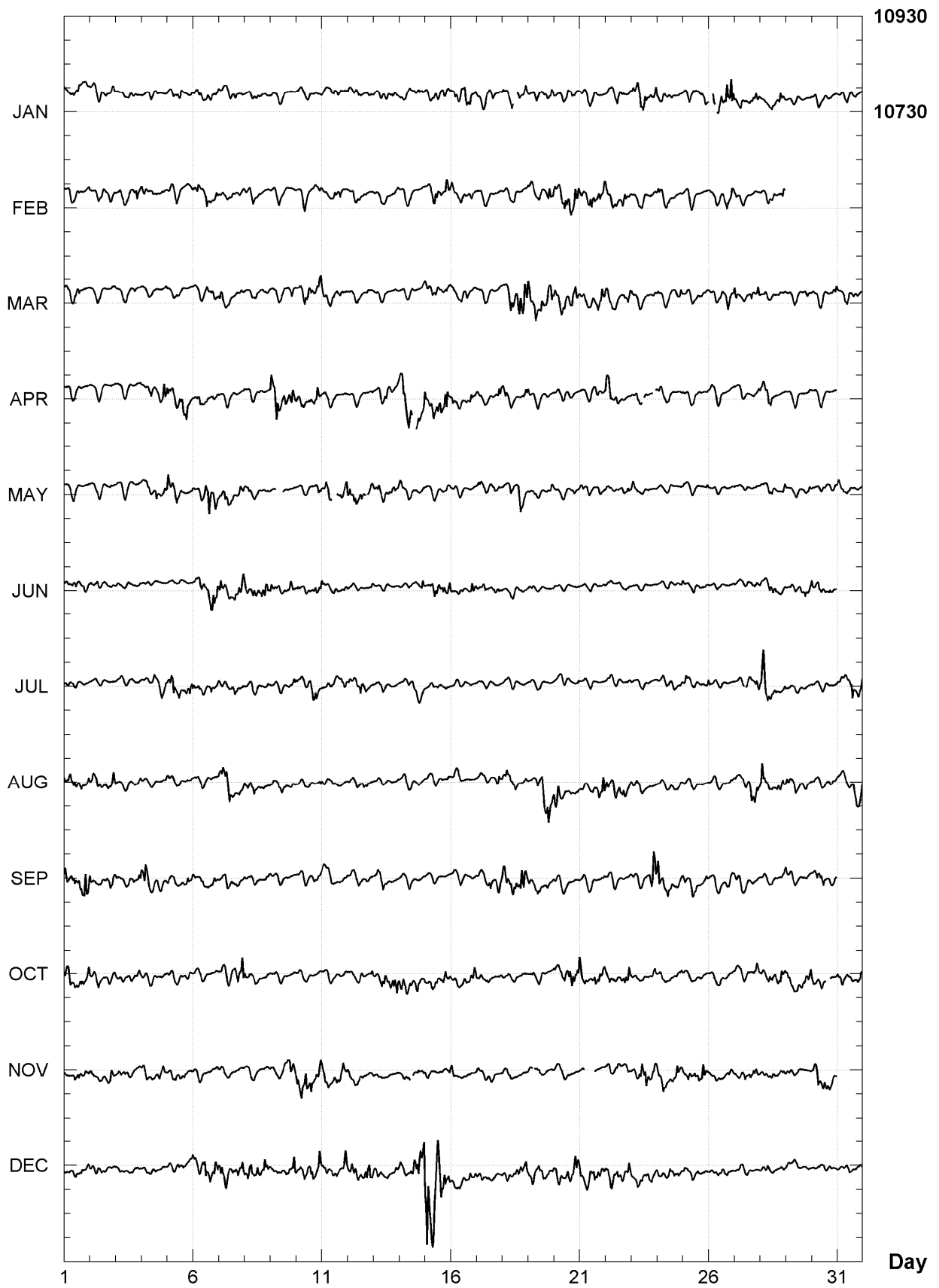
$$[\Delta(F_s - F_v)]_{\text{rms}} = 0.9\text{nT}$$

PORT ALFRED (CZT) 2006

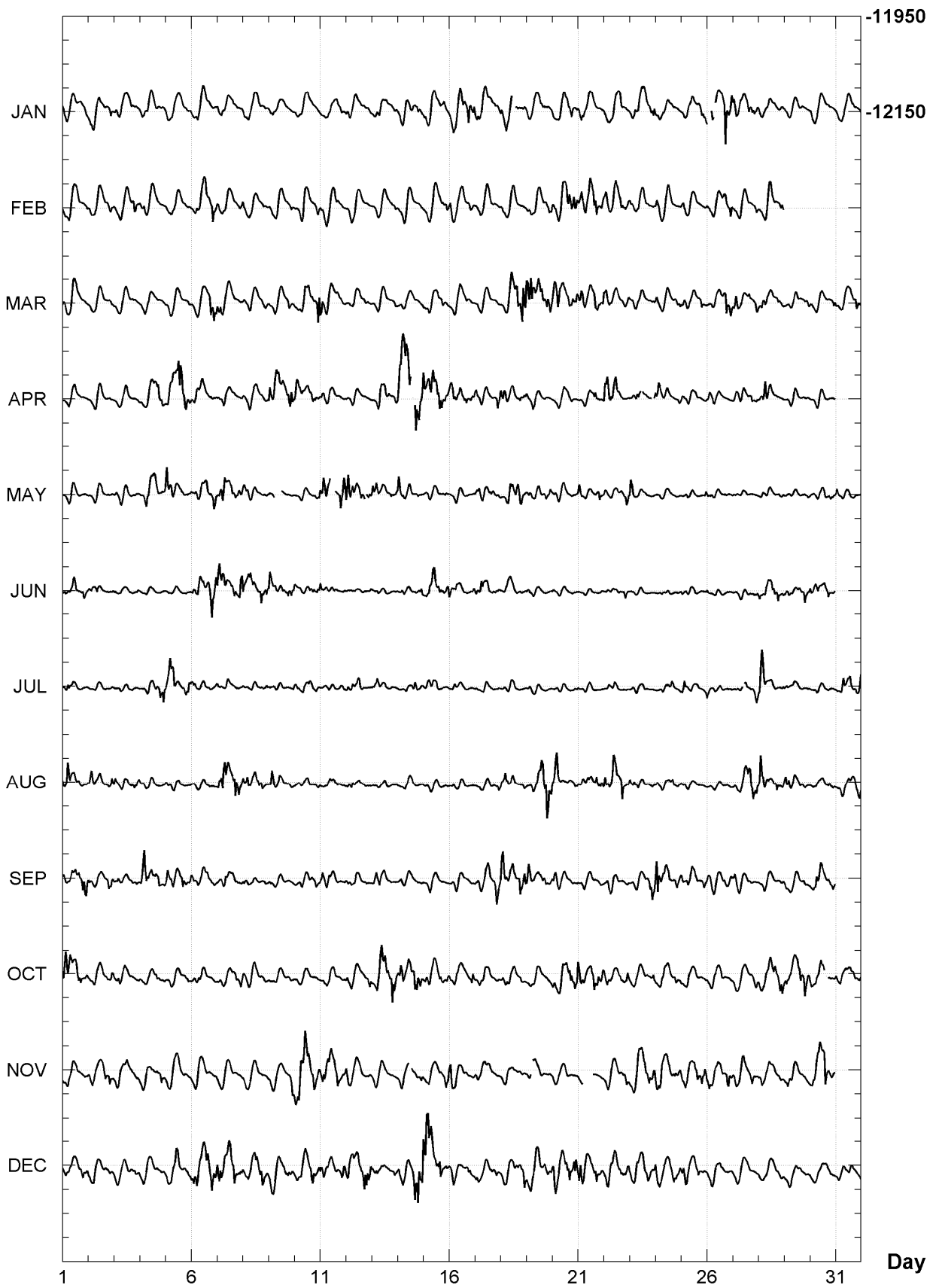
Observed and adopted baseline values (H,D,Z)
Daily values of the scalar residual (Fv-Fs)



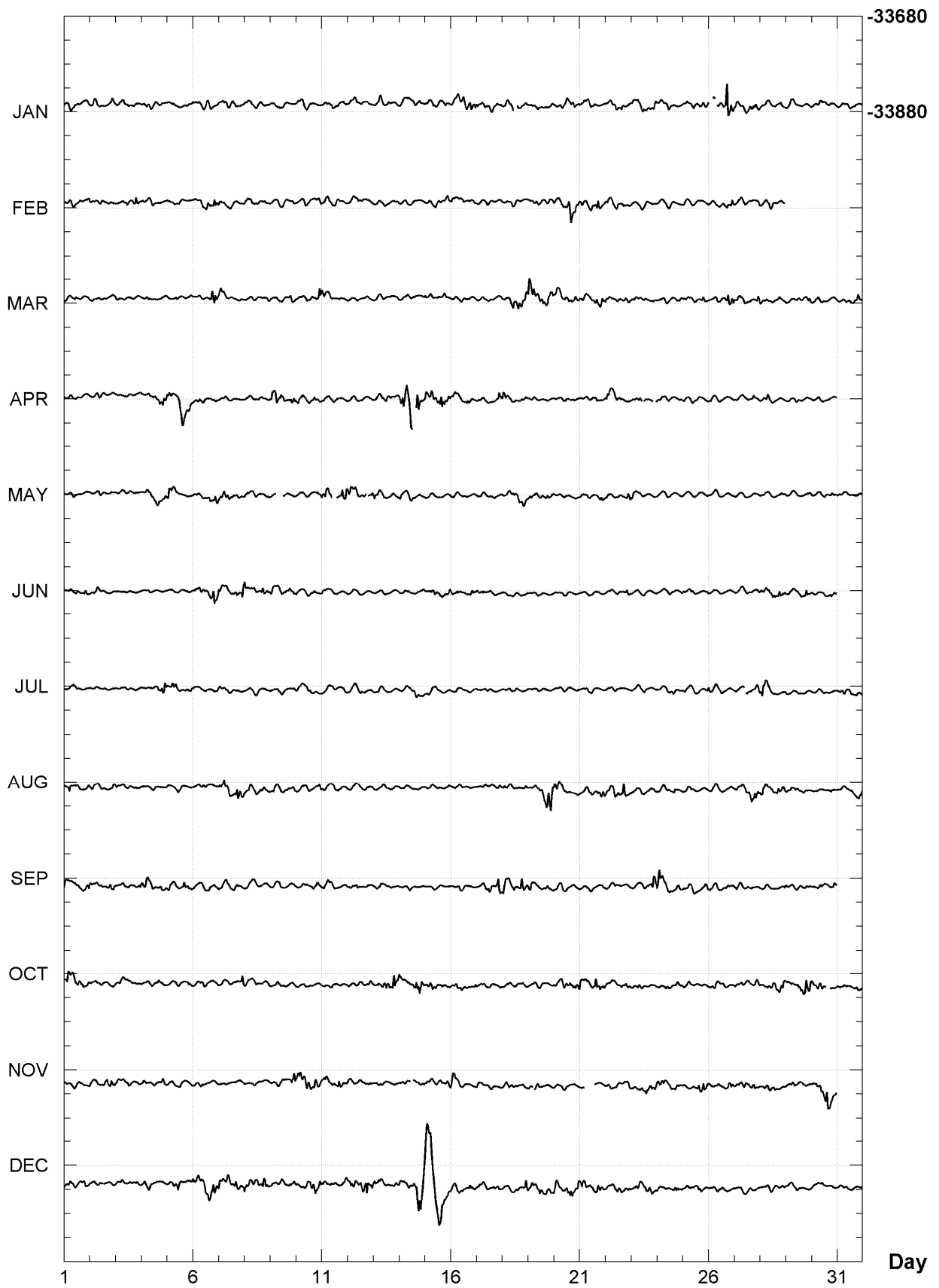
PORT ALFRED (CZT)
Hourly mean values: X component (nT), 2006



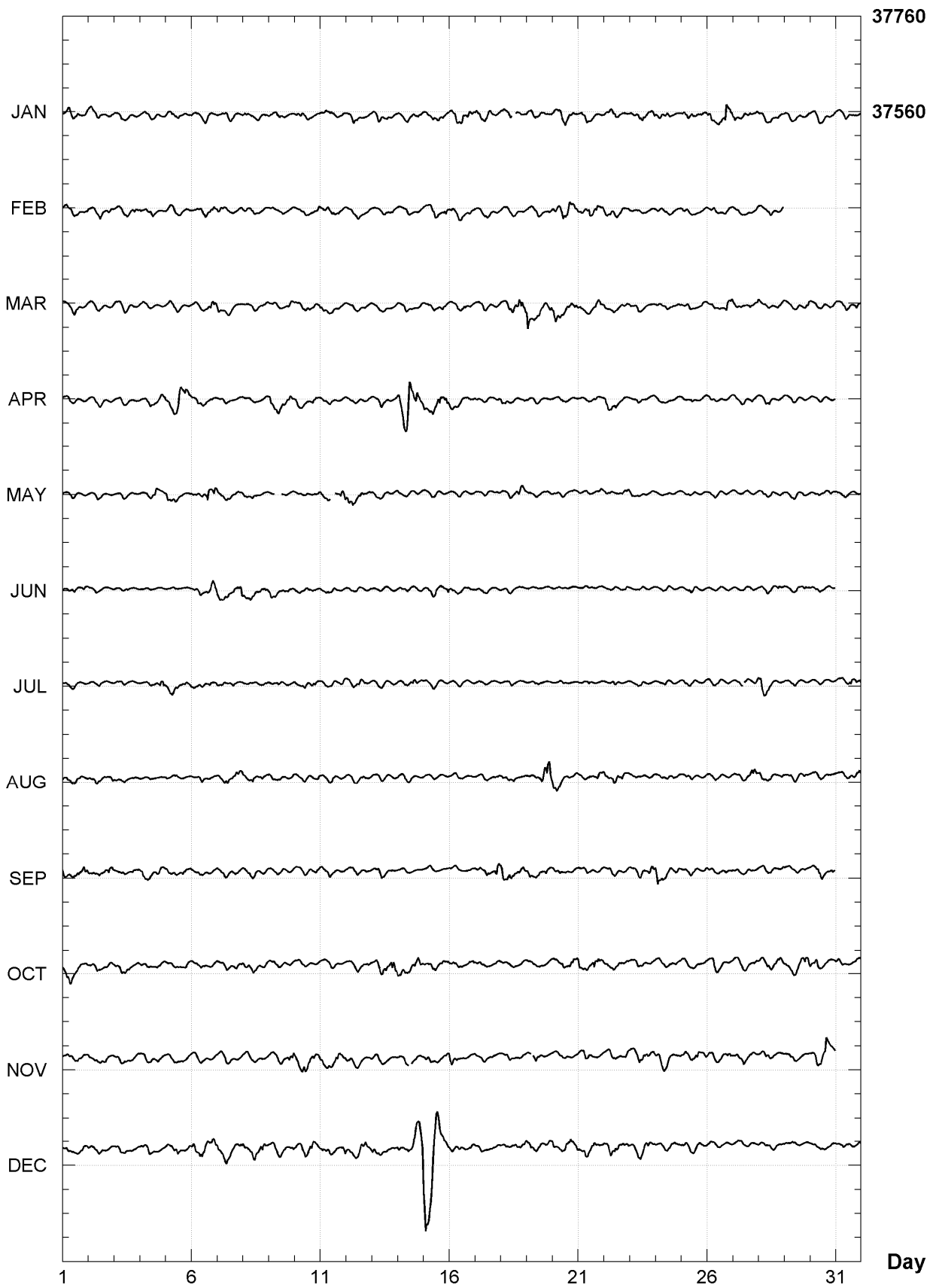
PORT ALFRED (CZT)
Hourly mean values: Y component (nT), 2006



PORT ALFRED (CZT)
Hourly mean values: Z component (nT), 2006



PORT ALFRED (CZT)
Hourly mean values: total field F (nT), 2006



PORT-ALFRED (CZT)

Monthly and annual mean values, 2006

Date	D	I	H	X	Y	Z	F	J	ELE		
	o	'	o	'	nT	nT	nT	nT	nT		
JAN	311	33.6	-64	23.9	16227	10765	-12142	-33865	37552	A	HDZFF
FEB	311	32.5	-64	24.4	16223	10758	-12142	-33869	37554	A	HDZFF
MAR	311	30.7	-64	24.9	16218	10749	-12144	-33870	37553	A	HDZFF
APR	311	29.3	-64	26.0	16209	10738	-12142	-33880	37557	A	HDZFF
MAY	311	28.7	-64	25.6	16214	10739	-12148	-33881	37561	A	HDZFF
JUN	311	28.2	-64	25.6	16214	10738	-12149	-33883	37563	A	HDZFF
JUL	311	27.2	-64	25.8	16214	10734	-12152	-33888	37567	A	HDZFF
AUG	311	25.9	-64	26.5	16209	10726	-12153	-33895	37571	A	HDZFF
SEP	311	25.6	-64	26.5	16210	10726	-12155	-33897	37574	A	HDZFF
OCT	311	24.8	-64	26.8	16210	10722	-12157	-33903	37579	A	HDZFF
NOV	311	24.4	-64	27.1	16210	10721	-12158	-33911	37586	A	HDZFF
DEC	311	23.2	-64	27.8	16208	10716	-12160	-33923	37596	A	HDZFF
2006	311	27.8	-64	25.9	16214	10736	-12150	-33889	37568	A	HDZFF
JAN	311	33.7	-64	23.9	16226	10765	-12141	-33865	37552	Q	HDZFF
FEB	311	32.5	-64	24.2	16225	10759	-12144	-33868	37554	Q	HDZFF
MAR	311	31.4	-64	24.3	16223	10755	-12146	-33869	37554	Q	HDZFF
APR	311	30.0	-64	24.9	16219	10747	-12148	-33876	37558	Q	HDZFF
MAY	311	28.7	-64	25.3	16217	10741	-12150	-33881	37562	Q	HDZFF
JUN	311	28.3	-64	25.2	16219	10741	-12153	-33883	37565	Q	HDZFF
JUL	311	27.4	-64	25.6	16216	10736	-12154	-33887	37567	Q	HDZFF
AUG	311	26.5	-64	25.9	16215	10732	-12155	-33893	37572	Q	HDZFF
SEP	311	25.9	-64	26.1	16216	10730	-12158	-33898	37576	Q	HDZFF
OCT	311	25.2	-64	26.4	16214	10727	-12159	-33903	37581	Q	HDZFF
NOV	311	24.8	-64	26.7	16215	10726	-12160	-33910	37587	Q	HDZFF
DEC	311	24.0	-64	27.1	16215	10723	-12163	-33924	37600	Q	HDZFF
2006	311	28.2	-64	25.5	16218	10740	-12152	-33888	37569	Q	HDZFF
JAN	311	32.9	-64	24.1	16225	10761	-12143	-33867	37552	D	HDZFF
FEB	311	32.6	-64	25.0	16217	10755	-12138	-33872	37554	D	HDZFF
MAR	311	30.3	-64	25.6	16209	10741	-12139	-33870	37548	D	HDZFF
APR	311	29.4	-64	27.6	16190	10726	-12127	-33883	37552	D	HDZFF
MAY	311	27.9	-64	26.3	16207	10731	-12145	-33883	37559	D	HDZFF
JUN	311	28.2	-64	26.2	16207	10733	-12144	-33883	37559	D	HDZFF
JUL	311	27.1	-64	26.4	16208	10729	-12148	-33889	37565	D	HDZFF
AUG	311	24.7	-64	27.6	16199	10715	-12149	-33900	37572	D	HDZFF
SEP	311	25.5	-64	27.0	16205	10722	-12150	-33896	37571	D	HDZFF
OCT	311	24.4	-64	27.5	16201	10715	-12151	-33901	37573	D	HDZFF
NOV	311	23.6	-64	27.9	16201	10712	-12154	-33914	37584	D	HDZFF
DEC	311	23.4	-64	28.4	16199	10710	-12153	-33921	37590	D	HDZFF
2006	311	27.5	-64	26.6	16206	10729	-12145	-33890	37565	D	HDZFF

A: Tous les jours/ All days
Q: Jours calmes/ Quiet days
D: Jours perturbés/ Disturbed days
ELE: Elements enregistrés/ Recorded elements

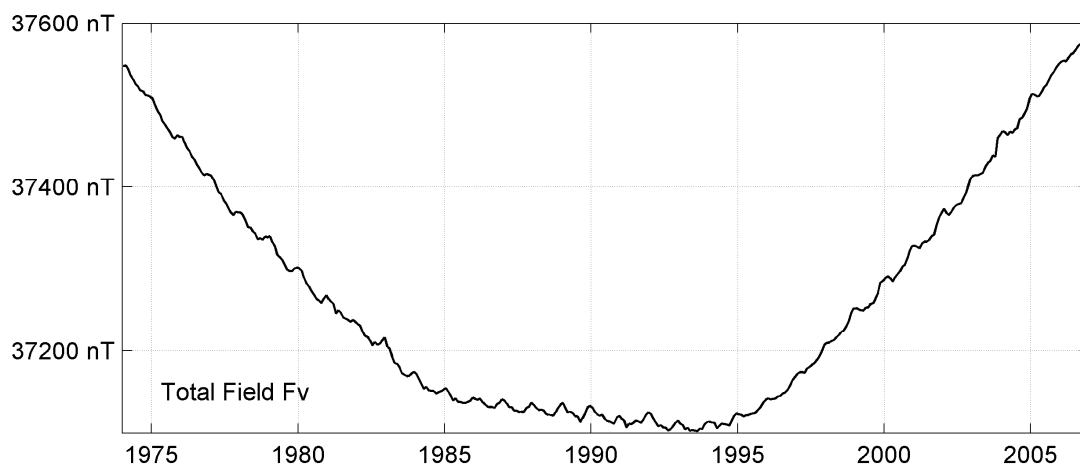
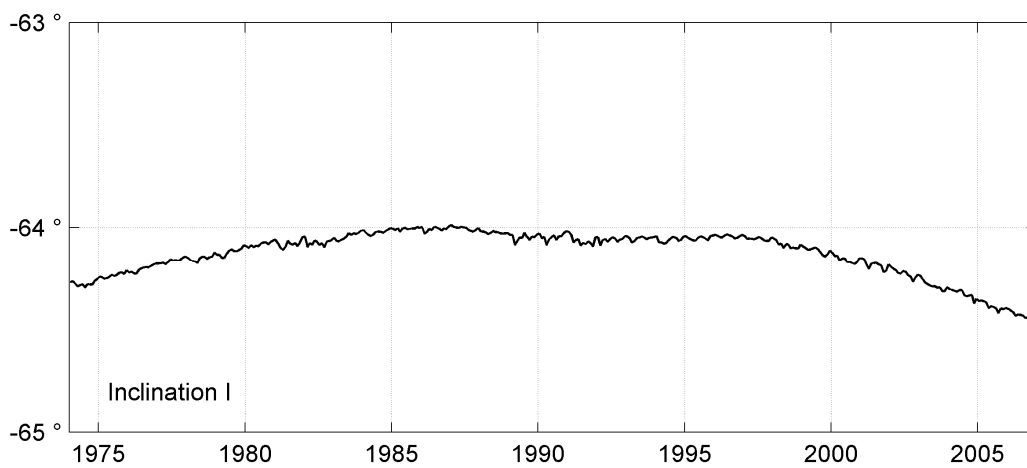
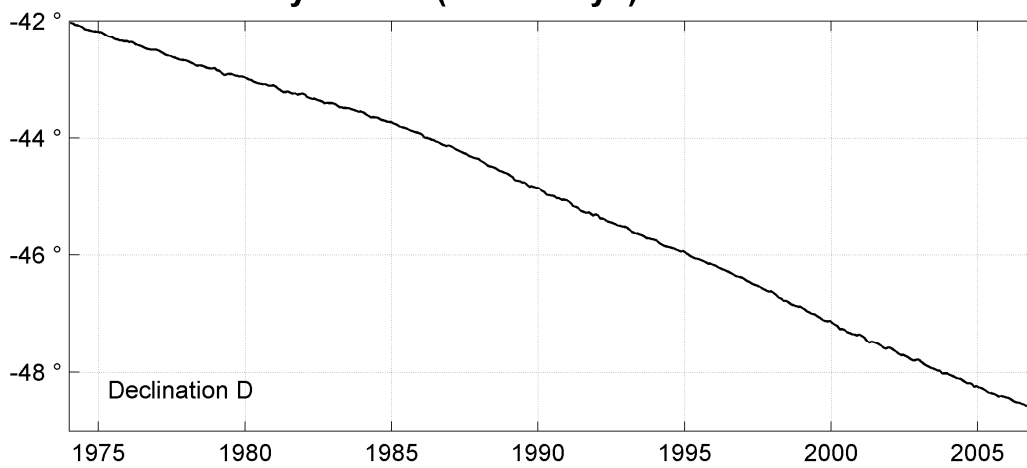
PORT ALFRED (CZT)
Annual mean values, 1974 - 2006

Date	D o ' ,		I o ' ,		H nT	X nT	Y nT	Z nT	F nT	ELE	Note
1974.5	318	29.3	-64	16.5	16289	12198	-10796	-33809	37528	HDZF	
1975.5	318	19.5	-64	14.0	16293	12170	-10833	-33754	37481	HDZF	
1976.5	318	10.2	-64	12.1	16292	12140	-10866	-33705	37436	HDZF	
1977.5	318	00.2	-64	09.7	16295	12110	-10903	-33651	37389	HDZF	
1978.5	317	50.6	-64	08.9	16286	12073	-10931	-33613	37351	HDZF	
1979.5	317	41.6	-64	07.0	16289	12047	-10964	-33572	37315	HDZF	
1980.5	317	33.0	-64	04.8	16295	12024	-10998	-33529	37279	HDZF	
1981.0	0	36.9	0	00.1	3	121	126	-2	3	HDZF	1
1981.5	316	46.9	-64	04.7	16282	11865	-11149	-33499	37246	HDZF	
1982.5	316	38.5	-64	04.3	16272	11831	-11172	-33470	37216	HDZF	
1983.5	316	30.1	-64	02.5	16275	11806	-11203	-33430	37181	HDZF	
1984.5	316	20.2	-64	01.3	16275	11774	-11236	-33401	37155	HDZF	
1985.5	316	09.6	-64	00.3	16279	11741	-11275	-33384	37141	HDZF	
1986.5	315	56.7	-64	00.4	16275	11697	-11317	-33380	37136	HDZF	
1987.5	315	44.2	-64	00.2	16275	11655	-11359	-33373	37130	HDZF	
1988.5	315	29.6	-64	01.4	16262	11597	-11399	-33376	37127	HDZF	
1989.5	315	14.4	-64	02.8	16247	11537	-11440	-33381	37125	HDZF	
1990.5	315	00.3	-64	02.7	16246	11489	-11487	-33375	37119	HDZF	
1991.5	314	46.0	-64	03.8	16233	11432	-11525	-33377	37115	HDZF	
1992.5	314	33.2	-64	03.4	16235	11390	-11569	-33371	37110	HDZF	
1993.5	314	20.5	-64	03.1	16236	11348	-11612	-33366	37106	HDZF	
1994.5	314	08.0	-64	03.5	16235	11305	-11652	-33373	37113	HDZF	
1995.5	313	55.5	-64	03.0	16246	11270	-11701	-33383	37126	HDZF	
1996.5	313	42.6	-64	02.5	16261	11237	-11754	-33401	37150	HDZF	
1997.5	313	28.3	-64	03.2	16269	11193	-11807	-33436	37184	HDZF	
1998.5	313	12.7	-64	05.1	16269	11139	-11857	-33481	37224	HDZF	
1999.5	312	58.0	-64	06.7	16269	11088	-11905	-33522	37261	HDZF	
2000.5	312	43.1	-64	09.4	16260	11031	-11946	-33570	37300	HDZF	
2001.5	312	29.9	-64	11.0	16261	10985	-11989	-33613	37340	HDZF	
2002.5	312	17.0	-64	13.6	16254	10936	-12025	-33662	37381	HDZF	
2003.5	312	03.7	-64	17.1	16241	10880	-12058	-33723	37430	HDZF	
2004.5	311	51.1	-64	19.5	16238	10834	-12095	-33778	37478	HDZF	
2005.5	311	38.5	-64	23.1	16223	10780	-12124	-33838	37526	HDZF	
2006.5	311	27.8	-64	25.9	16214	10736	-12150	-33889	37568	HDZF	

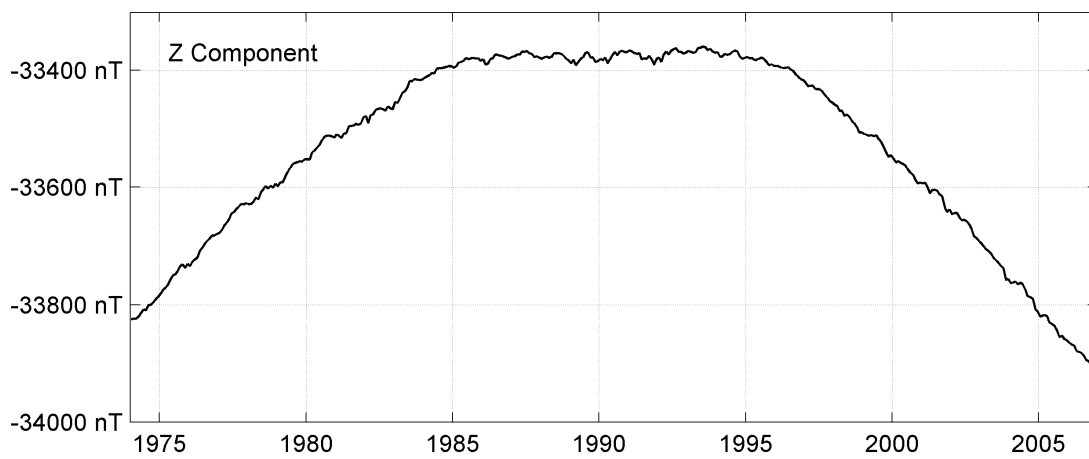
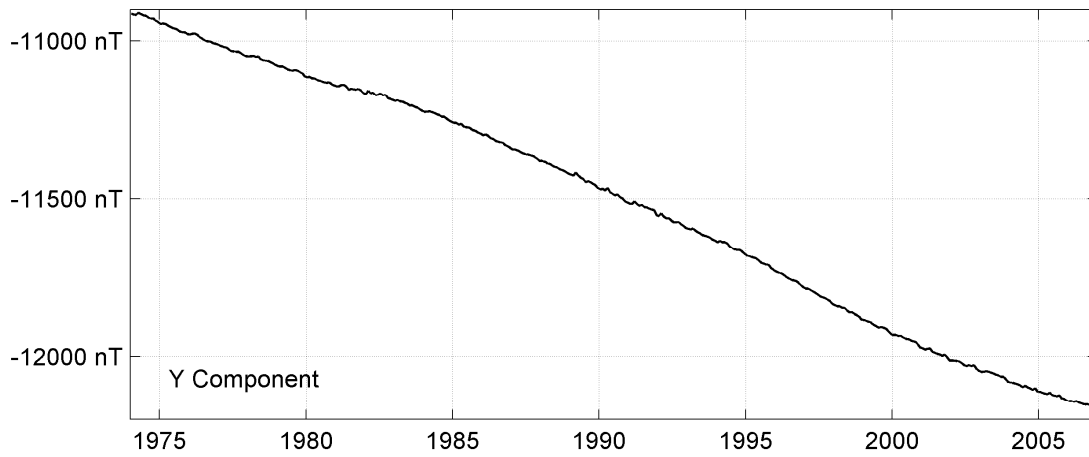
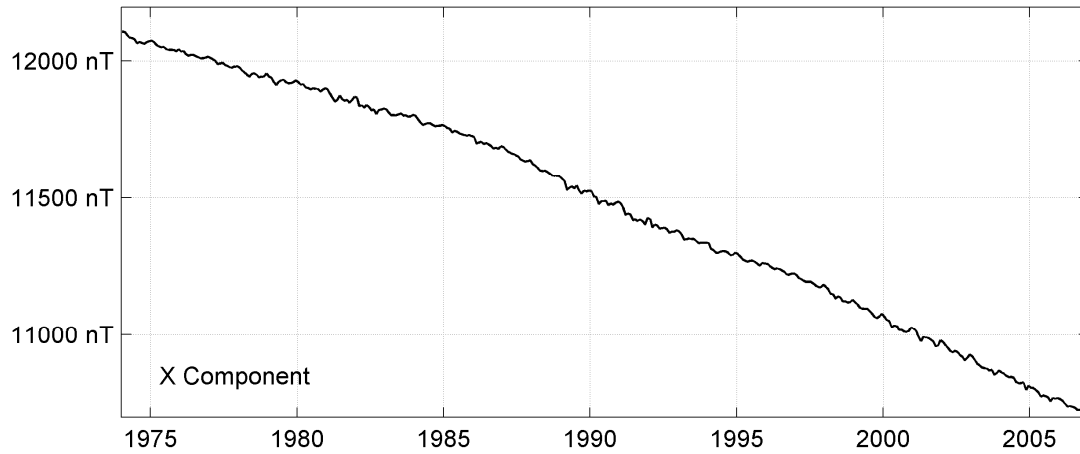
Notes :

1 1981.0 New instrumentation

PORT ALFRED (CZT)
Monthly means (for all days) from 1974 to 2006



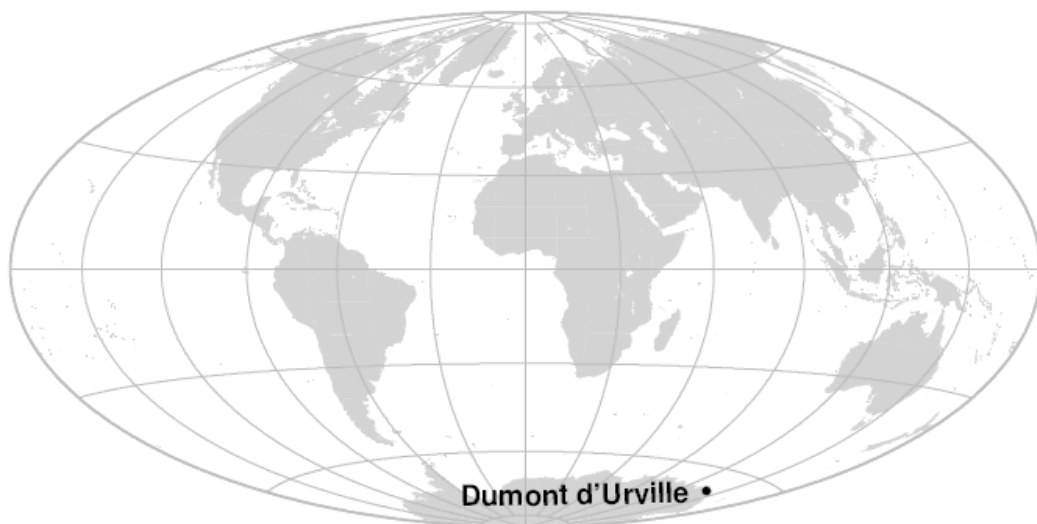
PORT ALFRED (CZT)
Monthly means (for all days) from 1974 to 2006



OBSERVATOIRE DE DUMONT D'URVILLE (DRV)

DUMONT D'URVILLE OBSERVATORY (DRV)

TERRE ADÉLIE / ADELIE LAND



PRÉSENTATION

Les premières observations magnétiques réalisées en Terre Adélie (Antarctique), l'ont été à la base de Port-Martin installée en janvier 1950 par les Expéditions Polaires Françaises (missions Paul Emile Victor).

L'observatoire magnétique de Port-Martin, ouvert by P.N. Mayaud fonctionna jusqu'en février 1952, date à laquelle la base fut détruite par un incendie. La base permanente de Dumont d'Urville a été installée au cours de l'été austral 1956 sur l'île des Pétreils, l'une des îles de l'archipel de Pointe Géologie. L'observatoire magnétique de Dumont d'Urville en Terre Adélie a été ouvert en avril 1957 à l'occasion de l'Année Géophysique Internationale (Lebeau et Schlich, 1962).

L'observatoire magnétique se compose de trois abris situés à quelques centaines de mètres des bâtiments de la base : un abri pour les mesures absolues, un pour les variomètres et un troisième, chauffé et équipé d'un téléphone, contient l'acquisition, les batteries de réserve et sert d'abri en cas de blizzard. L'abri des variomètres et celui des mesures absolues sont chauffés à une température régulée de 15°C.

De fortes anomalies magnétiques sont présentes sur toute l'île, et en particulier au voisinage de l'observatoire. Elles sont dues à des veines de magnétite affleurantes, intrusives dans des roches métamorphiques vieilles de 1.7 milliard d'années. Elles créent au voisinage de l'observatoire une forte hétérogénéité du champ.

Les mesures absolues sont difficiles à cause de l'extrême inclinaison du champ et de son agitation permanente, en particulier en été austral. Dans les premières années, les mesures absolues étaient réalisées à l'aide d'un Q.H.M. spécialement construit pour Dumont d'Urville par P.A. Blum (IPG Paris) et d'une B.M.Z. permettant la mesure de grandes valeurs de Z. Un magnétomètre Lacour orienté dans le repère géographique enregistrait les variations du champ. L'observatoire fonctionna de cette manière jusqu'en 1969.

En 1969, furent installés, dans un nouvel abri régulé en température, deux

PRESENTATION

The first magnetic measurements in the region of Adélie Land (Antarctica) were carried out in Port Martin, a base settled by the French polar expeditions (Missions Paul Emile Victor) in January 1950.

The Port Martin magnetic observatory, opened by P.N. Mayaud, was operated until February 1952 when the Port Martin base was destroyed by fire. In the austral summer 1956, the permanent Dumont d'Urville base was installed on the Petrels island, which is one of the coastal islands of the Pointe Géologie archipelago. The Dumont d'Urville observatory was opened during the IGY, in April 1957.

The magnetic observatory comprises three huts set up a few hundred meters away from the main buildings of the base: one absolute hut, one variometer hut and an additional hut, equipped with heating supply and telephone, houses the acquisition, stores batteries and serves as a shelter for observers during violent blizzards. The variometer and absolute huts are heated at a constant temperature of 15°C.

Local magnetic anomalies of large magnitude exist on the whole Petrel Island and in particular in the observatory area. These anomalies are due to outcropping veins of magnetite in the metamorphic, 1.7 milliard year old rocks. They make the field very heterogeneous around the observatory.

Absolute measurements are made difficult by the low value of the horizontal component of the magnetic field and the magnetic disturbances, which are a common feature especially during the summer season. In the early years absolute measurements were performed by means of a Q.H.M., especially constructed for that purpose by P.A. Blum (IPG Paris), and by means of a large-field B.M.Z. A La Cour magnetometer, oriented along the geographic reference frame axes, recorded variations in the Earth's magnetic field. The observatory worked in this layout until 1969.

In 1969 two photoelectric feed-back magnetometers (X and Y components) and an optical pumping magnetometer (Caesium vapor supplied by Varian) were set up in a new shelter heated at a

magnétomètres photoélectriques à contre-réaction pour l'enregistrement des composantes X et Y et un magnétomètre à pompage optique Varian à vapeur de Césium. Les éléments X, Y, F furent enregistrés sur ruban perforé à la cadence d'une valeur par minute. Ce fut le premier dispositif à enregistrement numérique installé en Antarctique. Il fut en service jusqu'en 1972, tandis que les mesures absolues furent encore effectuées avec le Q.H.M. et la B.M.Z., complétés cependant par un magnétomètre à protons Elsec à prépolarisation.

En 1973, un variomètre fluxgate triaxial VFO31 fut installé, orienté dans le repère géographique. Il fut associé à un dispositif d'enregistrement sur bande magnétique de faible consommation électrique jusqu'en 1989. En 1990, fut installé un nouveau dispositif d'acquisition fondé sur l'architecture d'un PC.

Les instruments utilisés pour les mesures absolues ainsi que le pilier de mesure qui constitue la référence de l'observatoire ont également évolué au cours du temps. A partir de 1981, les mesures absolues ont été effectuées avec un DI-flux qui mesurait directement les composantes X, Y et Z. Enfin, depuis 1992, l'intensité du champ est mesurée avec un magnétomètre à effet Overhauser SM90R. Z est calculé à partir de F, X et Y. Les changements d'appareillage et de pilier ont induit des discontinuités qui sont décrites dans la première partie. Indiquons seulement que, pour des raisons logistiques, un nouvel abri de mesures absolues et donc un nouveau pilier ont été construits en 1973. Les coordonnées du pilier actuel sont 66.665°S, 140.007°E.

A ce jour, huit corrections liées à des changements de pilier ou d'instruments sont à appliquer à la série de données magnétiques depuis 1957 (Bitterly et al., 2005 ; 2008).

OBSERVATEUR

Thomas BOURGERETTE

constant temperature. A digital recording device on perforated tape was used to sample the X,Y and F elements at 1-minute sampling rate. This device launched the digital era in Antarctica. This equipment worked until 1972 whereas absolute measurements continued to be made by means of traditional instruments (Polar Q.H.M., B.M.Z.), completed by an ELSEC proton precession magnetometer. In 1973 a VFO31 triaxial fluxgate variometer (oriented with respect to the geographic reference frame) was installed. It was associated to a low-power device for digital recording on magnetic tape (1973-1989). In 1990 a new digital data acquisition device was developed based upon a PC architecture.

Instruments for absolute measurements as well as the reference pillar evolved likewise since the opening. From 1981 onwards the EOPG (now EOST) DI-flux has been used to made direct measurements of the components X , Y and Z. Since 1992 total field F measurements have been performed on the reference pier with an Overhauser magnetometer SM90R, and Z computed from X, Y, F. The instrument and pier changes induced jumps which are described in the first part. Let indicate however that for logistic reasons a new absolute hut was established in 1973 and the observatory reference modified accordingly. The location of this pillar is 66.665°S, 140.007°E.

To this date, eight corrections related to pillar or instrument changes are to be applied to the magnetic data series since 1957 (Bitterly et al., 2005; 2008).

OBSERVER

Thomas BOURGERETTE

INSTRUMENTATION

Comme l'indique la partie historique ci-dessus, l'équipement est actuellement le même que celui qui a été précédemment décrit pour l'observatoire d'Amsterdam aussi bien pour les mesures absolues que pour l'enregistrement continu du champ.

Les seules différences sont la sensibilité des sondes fluxgate qui est de 2,5 mV/nT et leur orientation, suivant les axes du repère géographique.

La stabilité du pilier du variomètre triaxial est vérifiée périodiquement à l'aide de niveaux. Le pilier est soumis à un faible mouvement entre les mois de novembre et mars (été austral) provoqué par le dégel estival. Cette instabilité se traduit par une variation de l'ordre de 5 nT des valeurs de X0 et Y0. Cependant, en raison de la fréquence des mesures absolues, les valeurs de champ calculées pour X et pour Y ne sont pas significativement affectées par cette perturbation.

PROTOCOLE DES MESURES, TRAITEMENT DES DONNÉES ET PRECISION

En 2006, les mesures absolues de X, Y ont été effectuées tous les trois jours en moyenne. Des mesures de l'intensité du champ sont effectuées tous les minutes, en dehors des intervalles de temps pris par les mesures de X et Y.

La méthode de calcul des valeurs de base adoptées X0, Y0, Z0, F0 est la même que pour l'observatoire d'Amsterdam et les incertitudes estimées prennent les mêmes valeurs. L'explication proposée pour la variation annuelle des lignes de base est la même que pour l'observatoire d'Amsterdam, hormis pour la perturbation supplémentaire décrite ci-dessus.

INCIDENTS

De nombreuses interruptions, généralement inférieures à une journée, se sont produites au cours de l'année, dues à des pannes du système d'acquisition.

INSTRUMENTATION

According to the historical evolution outline above, the instrumentation is currently the same as in Amsterdam observatory, for absolute measurements as well as for continuous record. There are however two differences: the orientation of the sensors (true North, East and vertical) and their sensitivity reduced to 2.5mV/nT.

The stability of the pillar supporting the triaxial magnetometer is controlled by means of levels. During the Southern summer (November to March), the pillar becomes instable due to the cycle of thawing and freezing. The slight movement induces an annual disturbance of X and Y bases lines. However, thanks to the frequency of absolute measurements, the values of these components are not contaminated by this effect.

MEASUREMENT PROTOCOL, DATA PROCESSING AND ACCURACY

In 2006, absolute measurements of X and Y components were performed on average every 3 days. Total field determinations are performed every minute, except during the time taken by the X and Y measurements.

The adopted base lines X0, Y0, Z0, F0 are computed in the same way as in the observatory of Amsterdam, with the same accuracy. Likewise, the cause of the annual variation of the base lines is the same, apart from the additional effect described above.

FAILURES

Numerous interruptions, generally smaller than one day, occurred throughout the year, due to failures in the acquisition system.

Valeurs moyennes horaires disponibles / *Hourly mean values available* [2006] : 94.6%

Nombre de mesures absolues utilisées / *Number of used absolute measurements* [2006] : 246

Amplitudes pic-à-pic des lignes de base / *peak-to-peak baseline amplitudes* [2006] :

$$|Y_{o, \min} - Y_{o, \max}| = 10.1 \text{ nT}$$

$$|Z_{o, \min} - Z_{o, \max}| = 2.2 \text{ nT}$$

$$|X_{o, \min} - X_{o, \max}| = 7.2 \text{ nT}$$

Différences RMS entre valeurs de lignes de base mesurées et adoptées

Root mean square differences between measured and adopted baseline values [2006] :

$$(\Delta Y_o)_{\text{rms}} = 0.7 \text{ nT}$$

$$(\Delta Z_o)_{\text{rms}} = 0.3 \text{ nT}$$

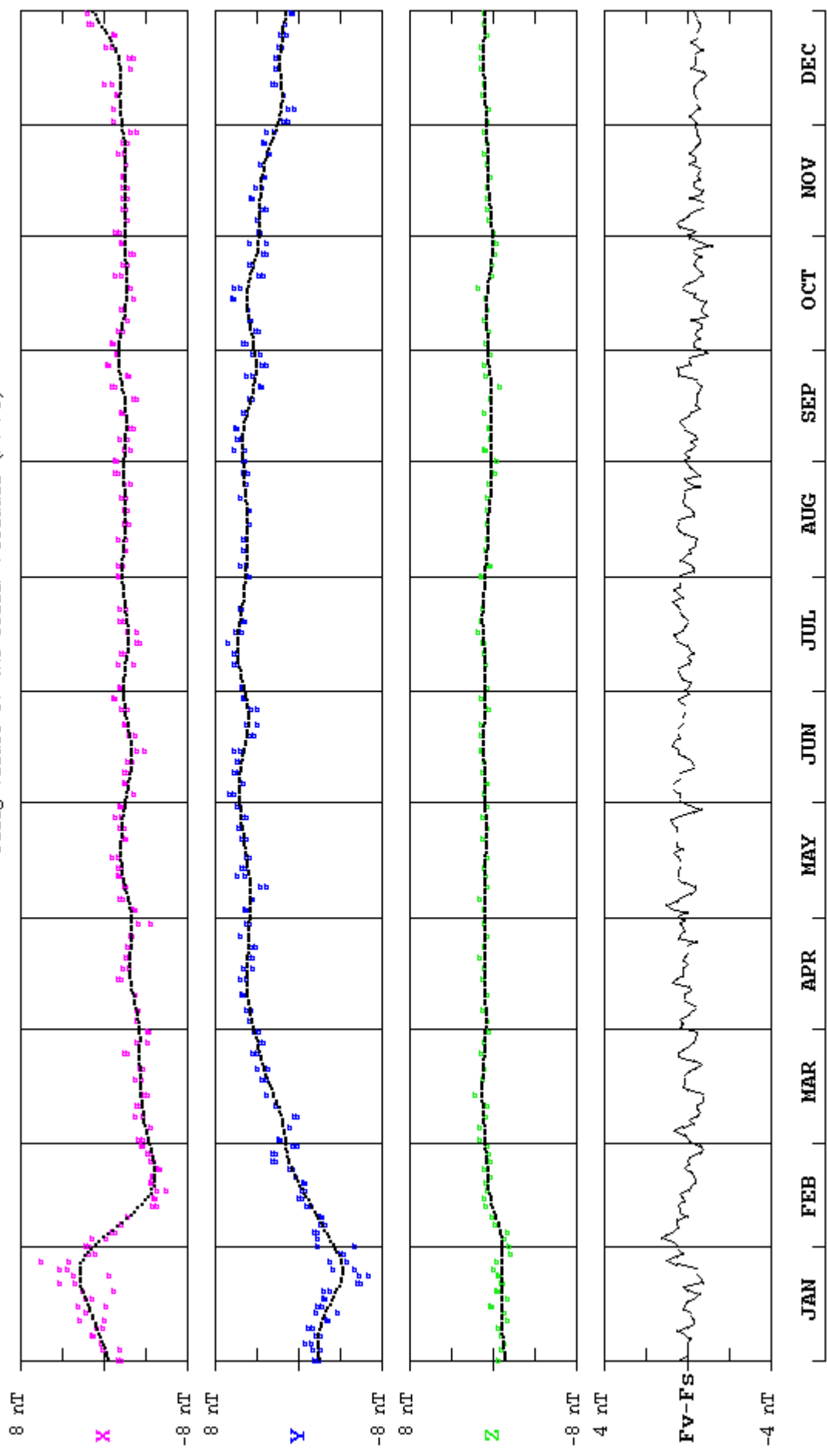
$$(\Delta X_o)_{\text{rms}} = 0.7 \text{ nT}$$

Valeur RMS du résidu scalaire Fv-Fs / *RMS value of scalar residual Fv-Fs* [2006] :

$$[(\Delta F_s - F_v)]_{\text{rms}} = 1.6 \text{ nT}$$

Observed and adopted baseline values (X, Y, Z)
 Daily values of the scalar residual (Fv-Fs)

DUMONT D'URVILLE (DRV) 2006

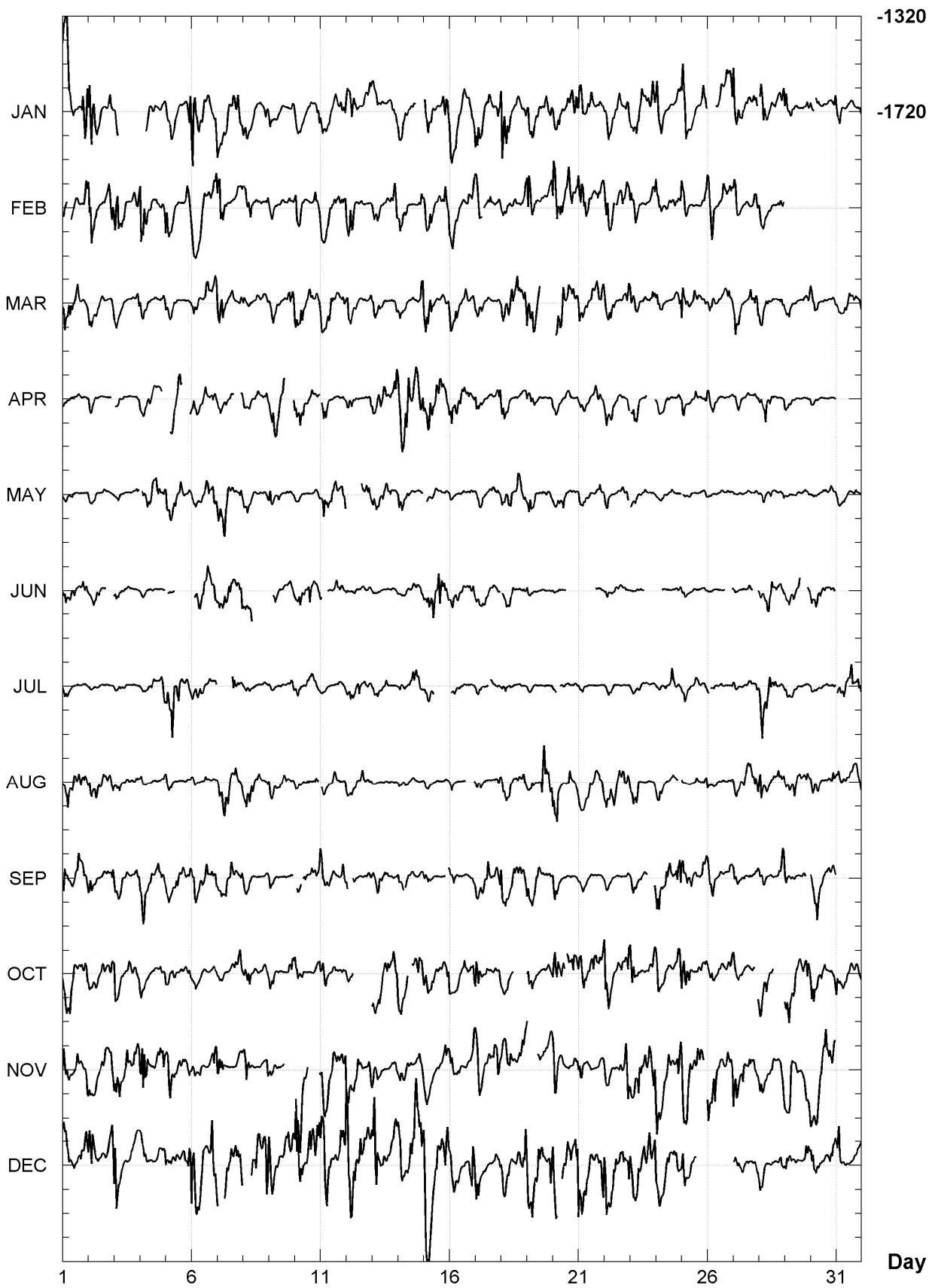


DUMONT D'URVILLE (DRV)

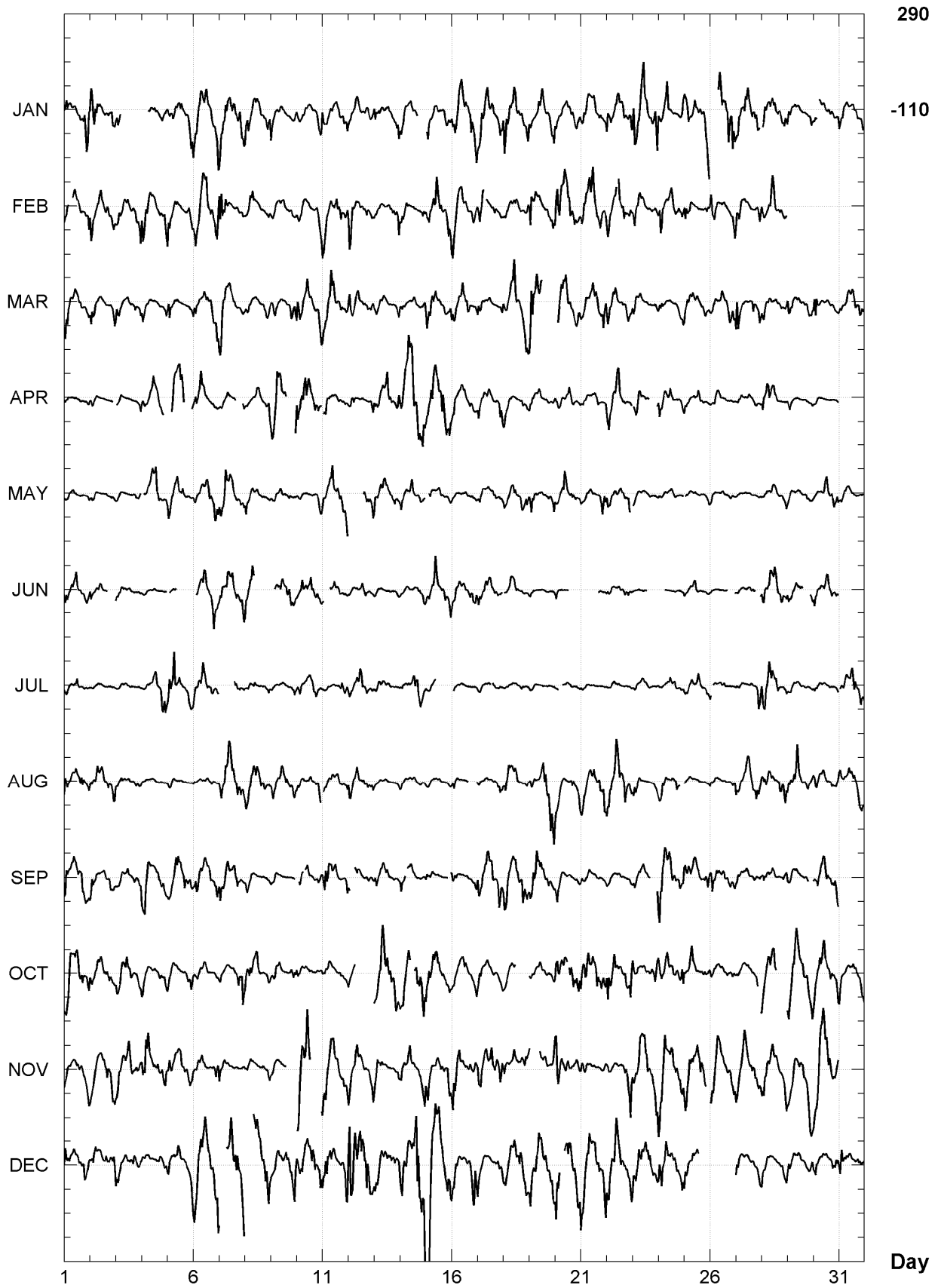
K indices, 2006 (K=9 for 1800 nT)

DATE	JANUARY		FEBRUARY		MARCH		APRIL		MAY		JUNE	
01	4432	1245	3--2	2123	4332	3223	2110	0101	1111	0001	2323	2123
02	5532	1234	4322	1223	3221	1012	2200	000-	2110	1111	3222	1---
03	3---	----	5522	1124	3221	1113	-200	0002	2100	0012	-210	1111
04	---1	2121	5422	1113	3321	0013	2222	11--	-122	3322	2200	0000
05	2222	2125	4221	0033	3210	0002	--22	3---	3222	3212	-1--	----
06	6432	3234	322-	3234	4212	2333	323-	3122	3211	4633	--33	2333
07	5332	2334	5422	1122	4422	1102	3111	1---	4343	2223	3333	3334
08	4322	1213	4232	1112	2211	1112	3212	2013	3322	2011	33--	----
09	3221	0022	2111	1023	1311	0134	4442	----	3212	0212	--32	2332
10	1211	1114	4220	0033	4433	3223	4343	3222	0000	0012	2332	4332
11	3211	2222	3321	2323	4343	2223	-311	1112	2334	2234	--2	2312
12	3321	0123	4431	1212	4322	2112	2200	0012	----	-233	2000	2101
13	4221	1224	2320	1134	3212	0012	3323	4224	3323	2232	1100	0001
14	3222	1---	3221	0012	2211	1003	5445	4444	3323	1122	1000	1113
15	-321	1235	4434	2234	4332	1233	3344	4433	--12	1011	4434	3533
16	4433	2334	5333	1123	4333	2222	3333	2222	2100	1111	3321	2223
17	4433	3115	33-1	2213	3322	1012	3222	1123	2211	1111	3322	222-
18	6533	2323	3311	2113	3234	3333	3311	0112	2222	2323	-222	1113
19	4323	3235	5321	1123	5444	----	2212	0002	3321	1122	2200	0000
20	4322	2234	5534	4533	--34	2333	-221	2101	2324	1112	2100	----
21	4312	3112	5434	4334	4323	3233	2111	2222	3211	0132	----	--00
22	3222	3323	443-	2333	4332	1123	3333	2113	3211	213-	1202	1111
23	43-4	3235	4322	1113	4321	1113	-322	1---	-200	0001	0000	----
24	5442	2113	4323	3213	3211	0013	3223	1012	2111	1001	--00	0000
25	5-22	1234	3221	0013	4221	2122	3211	2101	-200	0001	110-	0000
26	---4	3555	3321	2323	3222	2133	3110	0001	1100	1111	0000	0---
27	5433	223-	4310	1023	4310	1324	2101	1012	2000	0001	1101	21--
28	-442	2223	3223	1122	3321	1112	3232	1012	1212	1011	-233	3233
29	4211	0023			3211	1113	2210	0001	2100	0010	3222	3---
30	3-21	111-			3310	0112	1100	0000	1013	3222	3222	3111
31	3-10	1213			3212	2222			2211	1011		
DATE	JULY		AUGUST		SEPTEMBER		OCTOBER		NOVEMBER		DECEMBER	
01	2210	2011	3333	3322	4222	232-	3433	3223	4321	2223	4322	2234
02	1000	0000	3332	2223	4211	1133	3322	2123	3211	3323	4511	1335
03	1101	0000	3211	1112	3222	2112	4223	2223	4312	3233	6421	1223
04	1112	3233	2100	0012	4332	3232	3210	0122	5542	2233	3310	0123
05	4354	5232	2200	0011	3233	2223	2311	1112	3322	2223	4212	1224
06	3233	1222	2100	2101	3222	3222	2211	0012	3321	0124	6433	3355
07	----	-521	4344	3322	3232	3222	3110	1344	3300	0022	----	4335
08	1111	0011	3333	2222	3210	0001	4332	1123	3310	0113	----	5435
09	2100	0113	3323	2122	3200	000-	3321	0023	2111	0---	5422	2345
10	3201	1221	3200	101-	-2-2	122-	3211	0023	-555	----	6643	4444
11	1100	0111	-312	2113	-322	1113	3310	1113	5343	3224	5652	2246
12	3323	3212	3222	1322	---2	0022	32--	----	4323	2223	6544	4444
13	2211	2000	1001	0001	3222	2111	4343	3334	3321	0112	7522	2334
14	1111	3421	2100	1001	3--2	1002	333-	-334	3323	1123	4533	5657
15	121-	----	1101	0001	221-	000-	5333	2233	4212	-233	6643	5345
16	-100	0000	2100	0---	2100	0002	3221	2224	5331	1333	4421	1245
17	2200	-110	1210	0012	3313	3133	4311	1112	4322	3223	5321	1133
18	1101	0000	2332	2212	5333	3343	221-	----	3323	2223	4333	2325
19	1000	0001	3312	6544	4343	2223	3201	1122	----	2223	6434	3235
20	1--0	0000	4420	0313	4220	0001	5432	-345	4322	2123	5--3	3345
21	1100	0000	3212	2224	2211	1101	5432	3333	4321	1012	6443	3334
22	1110	0001	3344	3432	1110	0001	5341	2244	2-21	1245	6444	3334
23	1111	0000	3330	0002	3211	1---	4412	1123	3343	3334	4333	3344
24	1102	2311	2220	02--	5433	3234	4321	2224	5443	3234	5442	3334
25	2210	2001	-001	1002	4323	2223	4431	1222	6332	23--	4322	----
26	--11	1000	2110	0001	4322	2223	2322	2122	5442	2234	----	----
27	1000	1123	2213	3234	3312	0112	3211	10--	5433	1223	4311	1122
28	4433	2213	4422	2333	3212	1023	4233	----	4323	2233	3110	0123
29	2111	0012	3334	1222	3111	01--	5443	2234	3331	2333	3321	0233
30	2211	0101	3223	1122	-433	3122	4434	2223	3234	4333	4311	1233
31	-223	3232	3122	2222			3111	1223			4221	0123

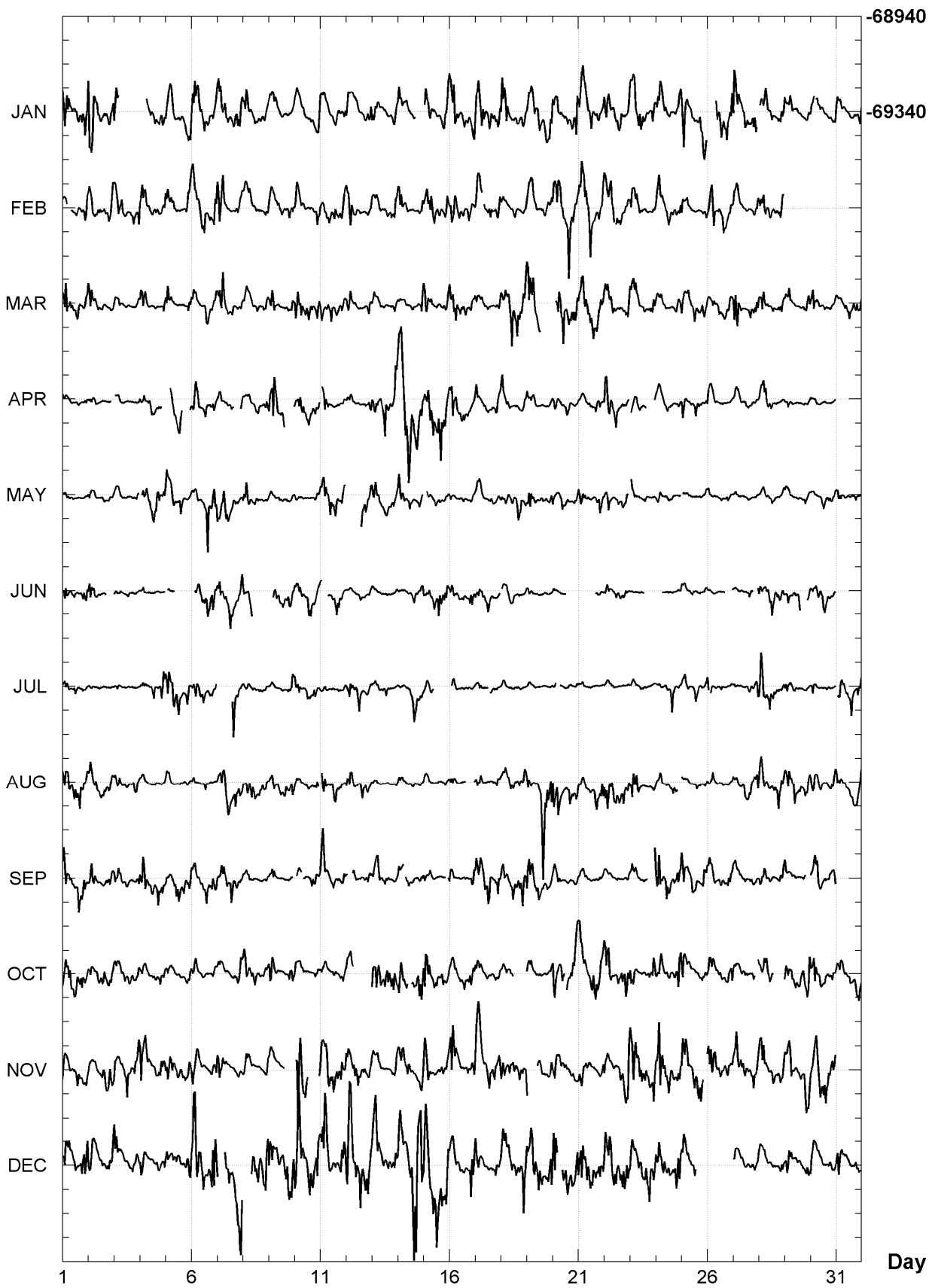
DUMONT D'URVILLE (DRV)
Hourly mean values: X component (nT), 2006



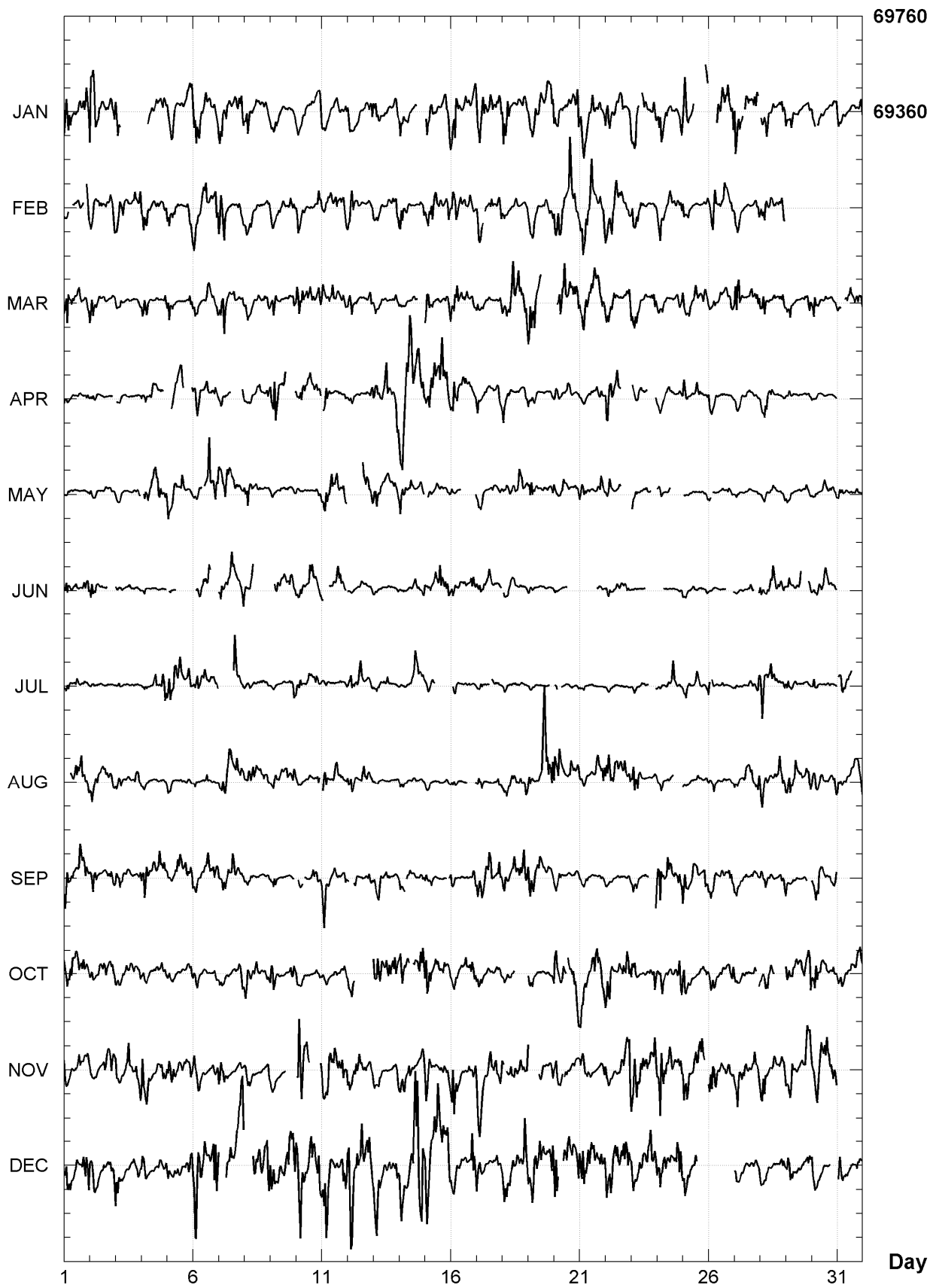
DUMONT D'URVILLE (DRV)
Hourly mean values: Y component (nT), 2006



DUMONT D'URVILLE (DRV)
Hourly mean values: Z component (nT), 2006



DUMONT D'URVILLE (DRV)
Hourly mean values: total field F (nT), 2006



Day

DUMONT D'URVILLE (DRV)

Monthly and annual mean values, 2006

Date	D		I		H	X	Y	Z	F	J	ELE
	°	'	°	'	nT	nT	nT	nT	nT		
JAN	184	24.8	-88	34.8	1718	-1713	-132	-69341	69362	A	XYZF
FEB	184	13.3	-88	35.1	1713	-1708	-126	-69335	69356	A	XYZF
MAR	184	15.0	-88	34.5	1726	-1721	-128	-69348	69369	A	XYZF
APR	184	0.5	-88	34.2	1731	-1727	-121	-69361	69382	A	XYZF
MAY	183	58.9	-88	34.4	1728	-1724	-120	-69356	69377	A	XYZF
JUN	183	54.1	-88	34.3	1728	-1724	-118	-69355	69377	A	XYZF
JUL	183	50.0	-88	34.4	1727	-1724	-116	-69349	69370	A	XYZF
AUG	183	50.6	-88	34.3	1729	-1725	-116	-69355	69376	A	XYZF
SEP	183	42.6	-88	34.4	1727	-1723	-112	-69342	69363	A	XYZF
OCT	183	44.9	-88	34.5	1725	-1722	-113	-69339	69361	A	XYZF
NOV	183	40.2	-88	34.5	1725	-1721	-110	-69333	69354	A	XYZF
DEC	183	42.3	-88	35.2	1710	-1707	-111	-69332	69353	A	XYZF
2006	183	56.4	-88	34.6	1724	-1720	-118	-69345	69367	A	XYZF
JAN	184	18.4	-88	34.7	1720	-1715	-129	-69336	69358	Q	XYZF
FEB	184	9.9	-88	35.0	1714	-1709	-125	-69336	69357	Q	XYZF
MAR	184	16.6	-88	34.1	1734	-1729	-129	-69342	69363	Q	XYZF
APR	184	3.8	-88	34.5	1726	-1721	-122	-69350	69371	Q	XYZF
MAY	183	58.8	-88	34.6	1723	-1719	-120	-69351	69372	Q	XYZF
JUN	183	53.9	-88	34.6	1722	-1718	-117	-69346	69367	Q	XYZF
JUL	183	48.8	-88	34.5	1724	-1721	-115	-69342	69364	Q	XYZF
AUG	183	41.3	-88	34.6	1723	-1719	-111	-69342	69363	Q	XYZF
SEP	183	40.8	-88	34.6	1723	-1720	-111	-69335	69357	Q	XYZF
OCT	183	28.4	-88	34.8	1718	-1715	-104	-69330	69351	Q	XYZF
NOV	183	8.5	-88	36.2	1691	-1689	-93	-69335	69355	Q	XYZF
DEC	183	5.4	-88	36.5	1685	-1682	-91	-69324	69344	Q	XYZF
2006	183	48.6	-88	34.9	1717	-1713	-114	-69339	69360	Q	XYZF
JAN	184	33.5	-88	34.7	1720	-1715	-137	-69342	69363	D	XYZF
FEB	183	58.3	-88	35.5	1704	-1700	-118	-69336	69357	D	XYZF
MAR	184	18.3	-88	34.6	1724	-1719	-129	-69361	69382	D	XYZF
APR	184	10.3	-88	33.7	1743	-1738	-127	-69387	69409	D	XYZF
MAY	184	5.9	-88	34.0	1736	-1732	-124	-69373	69395	D	XYZF
JUN	183	52.4	-88	33.9	1738	-1734	-117	-69368	69390	D	XYZF
JUL	183	51.8	-88	34.0	1735	-1731	-117	-69365	69387	D	XYZF
AUG	184	4.9	-88	33.9	1738	-1734	-124	-69384	69406	D	XYZF
SEP	183	56.5	-88	34.0	1735	-1731	-119	-69356	69378	D	XYZF
OCT	184	10.3	-88	33.7	1742	-1737	-127	-69356	69378	D	XYZF
NOV	183	50.0	-88	33.0	1756	-1752	-117	-69349	69371	D	XYZF
DEC	184	20.9	-88	34.6	1722	-1717	-131	-69357	69379	D	XYZF
2006	184	3.7	-88	34.2	1732	-1728	-123	-69360	69382	D	XYZF

A: Tous les jours/ All days

Q: Jours calmes/ Quiet days

D: Jours perturbés/ Disturbed days

ELE: Elements enregistrés/ Recorded elements

DUMONT D'URVILLE (DRV)
Annual mean values, 1957 - 2006

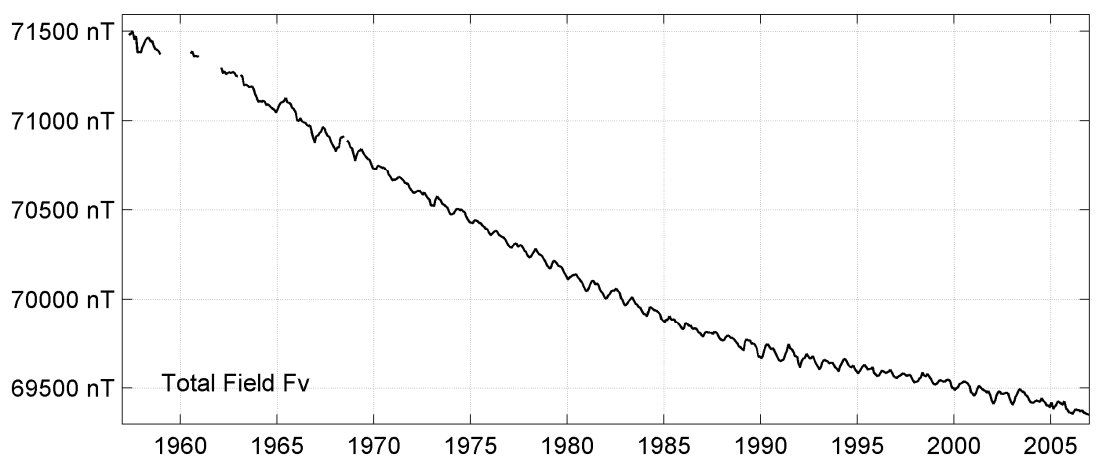
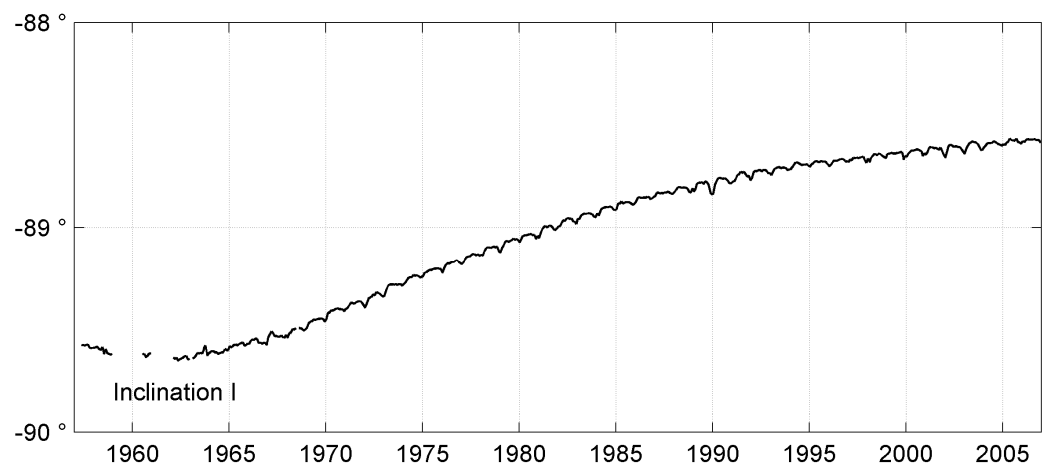
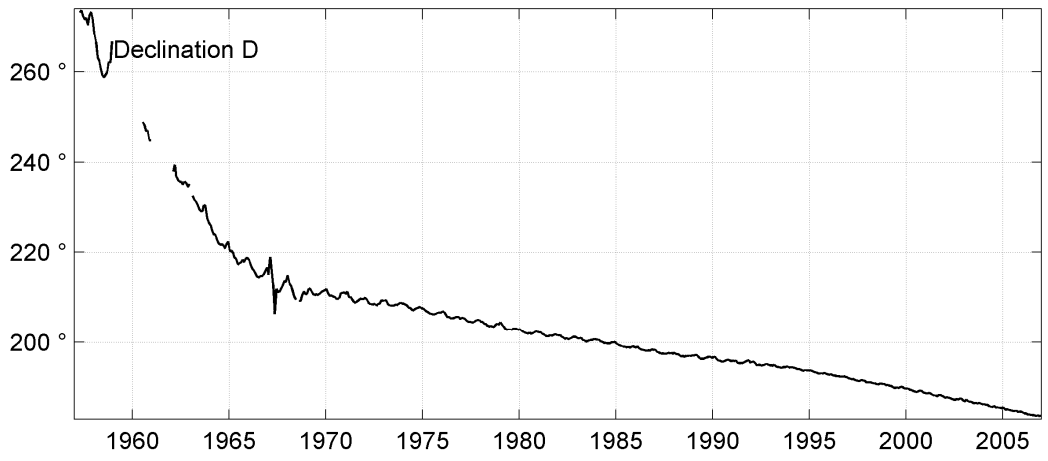
Date	D		I		H	X	Y	Z	F	ELE	Note
	°	'	°	'	nT	nT	nT	nT	nT		
1957.6	278	17.5	-89	35.4	509	73	-504	-71204	71206	XYZ	1
1958.5	268	23.5	-89	36.8	480	-13	-480	-71177	71179	XYZ	
1959.5	-	-	-	-	-	-	-	-	-	XYZ	2
1960.8	252	40.1	-89	38.0	456	-136	-435	-71134	71136	XYZ	3
1961.5	-	-	-	-	-	-	-	-	-		
1962.5	241	57.1	-89	39.0	433	-204	-382	-71022	71023	XYZ	4
1963.0	0	00.0	0	00.0	0	0	0	110	-110	XYZ	5
1963.5	235	51.5	-89	37.8	459	-258	-380	-71063	71064	XYZ	6
1964.0	5	03.3	-0	00.3	-5	36	-20	-35	35	XYZ	7
1964.5	223	38.0	-89	36.9	476	-344	-328	-70917	70919	XYZ	
1965.5	219	29.5	-89	34.9	517	-399	-329	-70920	70922	XYZ	
1966.5	216	30.5	-89	34.1	534	-429	-318	-70799	70801	XYZ	
1967.5	213	52.5	-89	32.3	570	-473	-318	-70745	70747	XYZ	
1968.5	211	54.9	-89	30.7	603	-512	-319	-70699	70701	XYZ	8
1969.0	-0	31.7	-0	01.9	-38	29	25	-125	125	XYZ	9
1969.5	212	31.4	-89	26.0	696	-587	-374	-70502	70506	XYZ	
1970.5	211	55.2	-89	23.1	756	-641	-400	-70424	70428	XYZ	
1971.5	211	10.1	-89	21.1	795	-681	-412	-70357	70361	XYZ	
1972.5	210	19.8	-89	19.1	836	-721	-422	-70284	70289	XYZ	
1973.0	1	52.0	0	01.0	17	-2	-32	318	-318	XYZ	10
1973.5	208	10.8	-89	17.0	883	-778	-417	-70548	70553	XYZF	
1974.5	207	22.6	-89	14.6	931	-827	-428	-70498	70504	XYZF	
1975.5	206	17.0	-89	12.4	975	-874	-432	-70433	70440	XYZF	
1976.5	205	23.9	-89	10.5	1014	-916	-435	-70368	70376	XYZF	
1977.0	0	00.0	0	00.0	0	0	0	-3	3	XYZF	11
1977.5	204	29.5	-89	08.3	1057	-961	-438	-70302	70310	XYZF	
1978.0	0	00.0	0	00.0	0	0	0	3	-3	XYZF	12
1978.5	203	32.6	-89	06.1	1102	-1010	-440	-70258	70266	XYZF	
1979.5	202	45.6	-89	04.1	1142	-1053	-442	-70194	70204	XYZF	
1980.5	201	48.6	-89	02.3	1178	-1094	-438	-70124	70134	XYZF	
1981.5	201	13.7	-89	00.1	1222	-1139	-442	-70078	70089	XYZF	
1982.0	-0	23.7	0	00.3	6	-8	6	-11	11	XYZF	13
1982.5	201	00.8	-88	58.2	1259	-1175	-452	-70028	70039	XYZF	
1983.5	200	29.8	-88	56.4	1295	-1213	-453	-69972	69984	XYZF	
1984.5	199	58.9	-88	54.6	1330	-1250	-454	-69925	69937	XYZF	
1985.5	199	03.6	-88	53.0	1362	-1288	-445	-69873	69886	XYZF	
1986.5	198	21.4	-88	51.4	1394	-1323	-439	-69832	69846	XYZF	
1987.5	197	35.4	-88	50.0	1422	-1356	-430	-69799	69814	XYZF	
1988.5	197	02.0	-88	48.7	1446	-1383	-424	-69765	69780	XYZF	
1989.5	196	37.7	-88	47.8	1464	-1403	-419	-69732	69747	XYZF	
1990.5	196	00.4	-88	46.6	1489	-1431	-411	-69700	69716	XYZF	
1991.5	195	34.7	-88	45.0	1520	-1464	-408	-69683	69699	XYZF	
1992.5	195	04.8	-88	43.8	1545	-1492	-402	-69653	69670	XYZF	
1993.5	194	32.0	-88	43.0	1560	-1510	-392	-69629	69646	XYZF	
1994.5	193	59.1	-88	41.7	1586	-1539	-383	-69621	69639	XYZF	
1995.0	0	00.1	0	00.0	0	0	0	-13	13	XYZF	14
1995.5	193	12.3	-88	41.1	1598	-1555	-365	-69585	69604	XYZF	
1996.5	192	29.5	-88	40.7	1605	-1567	-347	-69564	69582	XYZF	
1997.5	191	33.6	-88	40.0	1618	-1586	-324	-69545	69564	XYZF	
1998.5	190	49.2	-88	39.3	1633	-1604	-307	-69536	69555	XYZF	
1999.5	190	02.7	-88	38.5	1648	-1622	-287	-69512	69531	XYZF	
2000.5	189	13.3	-88	38.0	1658	-1637	-266	-69491	69510	XYZF	
2001.5	188	19.4	-88	37.3	1670	-1653	-242	-69459	69479	XYZF	
2002.5	187	26.6	-88	36.9	1679	-1664	-217	-69436	69456	XYZF	

2003.5	186	37.6	-88	36.2	1693	-1681	-195	-69435	69456	XYZF
2004.5	185	45.5	-88	35.6	1704	-1696	-171	-69399	69420	XYZF
2005.5	184	54.7	-88	35.0	1716	-1709	-147	-69381	69402	XYZF
2006.5	183	56.4	-88	34.6	1724	-1720	-118	-69345	69367	XYZF

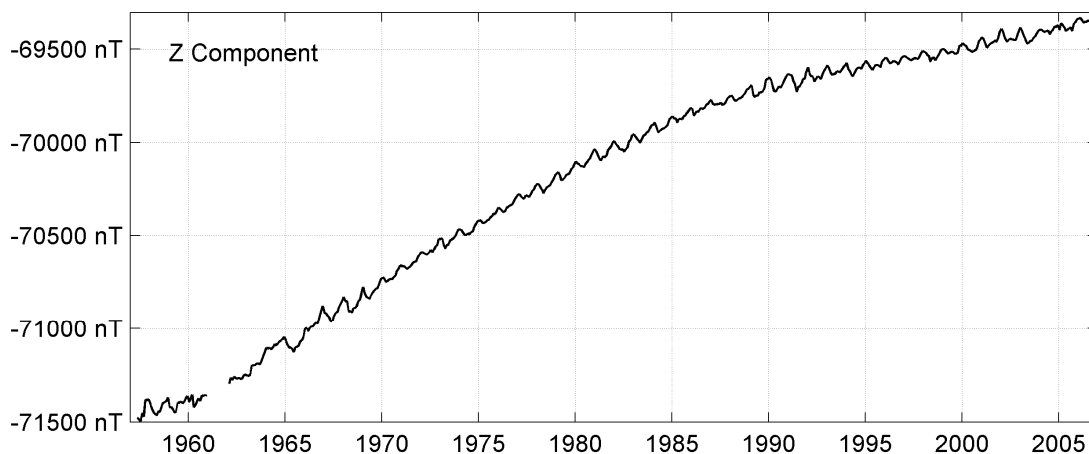
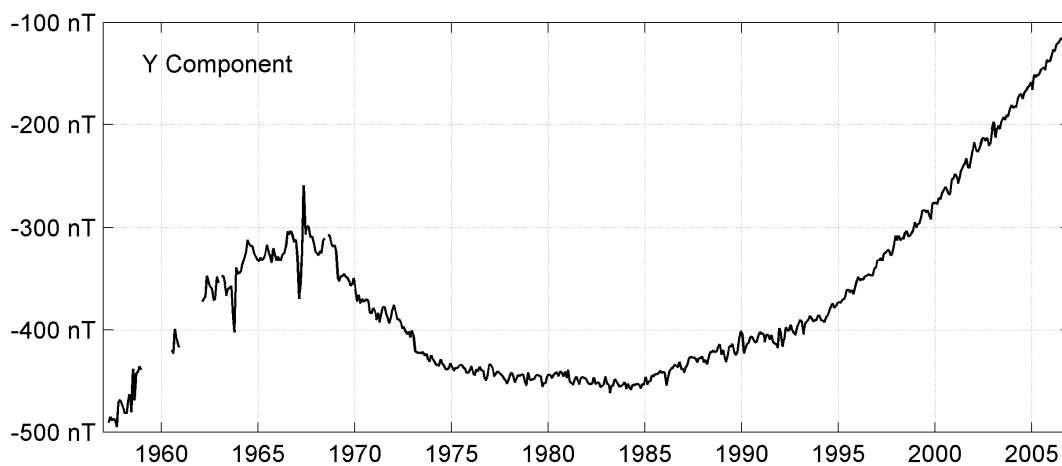
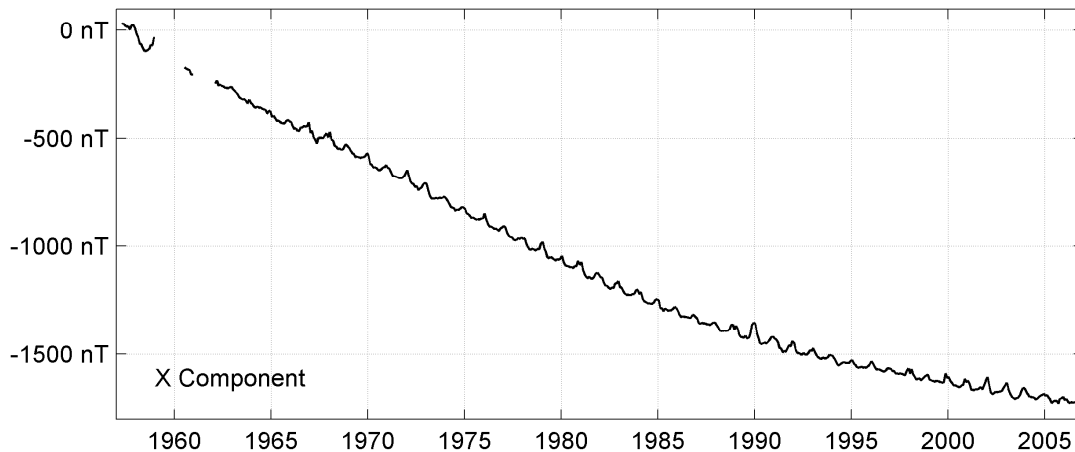
Notes :

- 1 Apr-Dec 1957
- 2 Jan-Dec 1959 for Z. No data for X and Y.
- 3 Jan-Dec 1960 for Z (YEAR=1960.5). Jul-Dec 1960 for X and Y.
- 4 Feb-Dec 1962
- 5 1963.0 BMZ change
- 6 Feb-Dec 1963 for Y.
- 7 1964.0 BMZ and QHM change
- 8 No data for Y in Jul 1968
- 9 1969.0 Absolute pier change
- 10 1973.0 Absolute measurement and absolute pier change
- 11 1977.0 Proton magnetometer change
- 12 1978.0 Move of proton magnetometer sensor
- 13 1982.0 DI-Flux replaced QHM and absolute measurement moved
- 14 1995.0 New absolute pier

DUMONT d'URVILLE (DRV) Monthly means (for all days) from 1957 to 2006



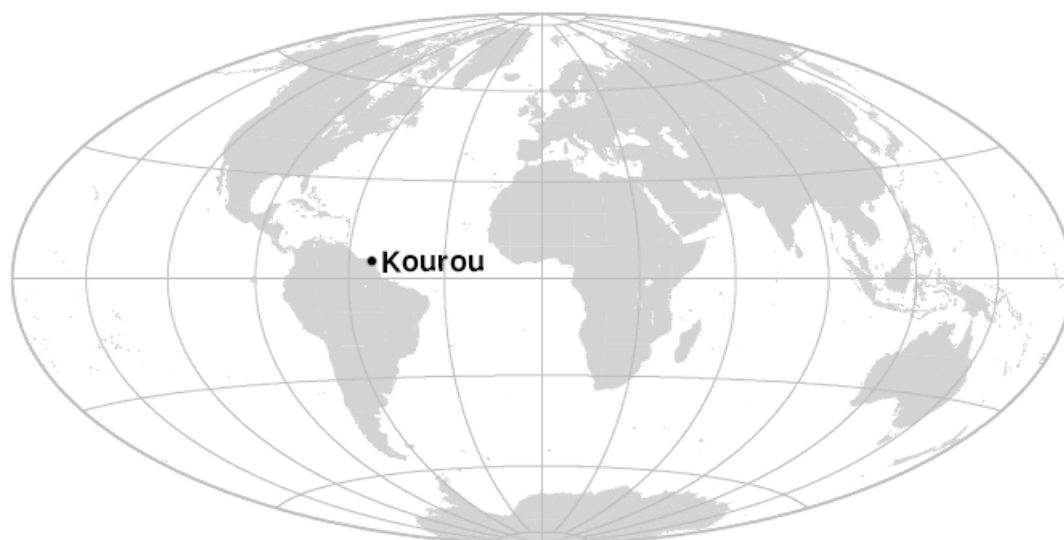
DUMONT d'URVILLE (DRV)
Monthly means (for all days) from 1957 to 2006



OBSERVATOIRE DE KOUROU (KOU)

KOUROU OBSERVATORY (KOU)

GUYANE FRANÇAISE / FRENCH GUIANA



PRÉSENTATION

L'observatoire magnétique de Kourou est installé sur le site du Centre Spatial Guyanais (CSG, aussi appelé Port Spatial Européen). Il fonctionne sous la responsabilité de l'IPGP, en coopération avec le CSG, et est en partie financé par le Centre National d'Etudes Spatiales (CNES). Les équipements sont installés et maintenus par l'IPGP. Le CSG fournit un support opérationnel pour la réalisation des mesures absolues et des routines d'observatoire.

La première station magnétique à Kourou a été installée en 1992, et les observations magnétiques continues répondant aux critères d'INTERMAGNET ont débuté en 1995. L'observatoire de Kourou a ainsi été le premier observatoire magnétique de type INTERMAGNET en Amérique du Sud. A la suite de défaillances des instruments, les équipements ont été entièrement modernisés en 1999. Quelques défauts supplémentaires ont été corrigés en 2000.

Evénements en 2006 :

Le vieillissement des batteries causa plusieurs interruptions du système d'acquisition. Ceci entraîna un total de 5 discontinuités dans les lignes de base en raison d'un défaut dans l'électronique du magnétomètre vectoriel.

OBSERVATEURS

Philippe MORISSET
Nicolas MOUTOU
Gregory GERMA

INSTRUMENTATION

Les mesures absolues ont été faites deux fois par semaine à l'aide d'un DI-flux constitué d'un théodolite Zeiss 010 et d'un magnétomètre à vanne de flux EOST DImag93.

Les variations magnétiques ont été enregistrées en continu par les instruments suivants :

- 1 magnétomètre homocentrique triaxial à vanne de flux Geomag M390
- 1 magnétomètre scalaire de type Overhauser Geomag SM90R

Les magnétomètres étaient installés dans un caisson thermiquement isolé.

PRESENTATION

The Kourou magnetic observatory is located on the site of the Guiana Space Center (CSG, also known as Europe's Spaceport), near the Ariane launch complex. It is run by IPGP in cooperation with the CSG, and is partly funded by the Centre National d'Etudes Spatiales (CNES). The equipments are installed and maintained by IPGP. The GSC provides operational support for the absolute measurements and observatory routines.

The first magnetic station in Kourou was installed in 1992, and continuous magnetic observations meeting the INTERMAGNET requirements started in 1995. The Kourou observatory was the first INTERMAGNET magnetic observatory in South America. Following some instrument failures, the equipments were fully upgraded in 1999. A few more defects were fixed in 2000.

Events in 2006:

The acquisition system was interrupted several times due to power supply failures. This led to a total of 5 discontinuities in baselines due to a defect in the vector magnetometer electronics.

OBSERVERS

Philippe MORISSET
Nicolas MOUTOU
Gregory GERMA

INSTRUMENTATION

Absolute measurements were made twice a week with a DI-flux constituted of a theodolite Zeiss 010 and a fluxgate magnetometer EOST DImag93.

Magnetic variations were continuously recorded by the following instruments:

- 1 triaxial homocentric fluxgate magnetometer Geomag M390
- 1 Overhauser type scalar magnetometer Geomag SM90R

The magnetometers were installed in a thermally insulated container.

Data were acquired by a data logger IPGP ENO2, which is based on a PC system, and

Les données ont été enregistrées par une acquisition IPGP ENO2 de type PC, et transmises au centre d'information géomagnétique d'INTERMAGNET à Paris par satellite METEOSAT.

L'énergie était fournie par des panneaux solaires et des batteries.

TRAITEMENT DES DONNÉES

Toutes les observations ont été ramenées au pilière absolu de référence installé à environ 100 m des capteurs.

Les lignes de bases adoptées ont été obtenues en modélisant par une spline les écarts entre enregistrements continus et mesures absolues.

Il existe une variation journalière des lignes de base qui est causée par la différence de température entre le jour et la nuit dans le caisson capteur. Cette variation est détectée dans le résidu scalaire horaire Fs-Fv.

transmitted to the INTERMAGNET Geomagnetic Information Node in Paris via METEOSAT satellite.

The power was supplied by solar panels and batteries.

DATA PROCESSING

All the observations were reduced to the absolute pillar, at a distance of about 100 m from the sensors.

The adopted baseline values were obtained by spline modelling of the differences between continuous recordings and absolute measurements.

There is a daily baseline variation, due to temperature differences between night and day in the sensor container. This variation is detected in the hourly scalar residual Fs-Fv.

Valeurs moyennes horaires disponibles / *Hourly mean values available* [2006] : 92.1%

Nombre de mesures absolues utilisées / *Number of used absolute measurements* [2006] : 21

Amplitudes pic-à-pic des lignes de base / *peak-to-peak baseline amplitudes* [2006] :

$$|D_{o, \min} - D_{o, \max}| = 33''$$

$$|Z_{o, \min} - Z_{o, \max}| = 5.4 \text{ nT}$$

$$|H_{o, \min} - H_{o, \max}| = 1.7 \text{ nT}$$

$$|F_{o, \min} - F_{o, \max}| = 0.1 \text{ nT}$$

Différences RMS entre valeurs de lignes de base mesurées et adoptées

Root mean square differences between measured and adopted baseline values [2006] :

$$(\Delta D_o)_{\text{rms}} = 5''$$

$$(\Delta Z_o)_{\text{rms}} = 0.5 \text{ nT}$$

$$(\Delta H_o)_{\text{rms}} = 0.3 \text{ nT}$$

$$(\Delta F_o)_{\text{rms}} = 0.1 \text{ nT}$$

Valeur RMS du résidu scalaire Fv-Fs / *RMS value of scalar residual Fv-Fs* [2006] :

$$[\Delta(F_s - F_v)]_{\text{rms}} = 0.9 \text{ nT}$$

LABORATOIRE MESURES PHYSIQUES – MEX

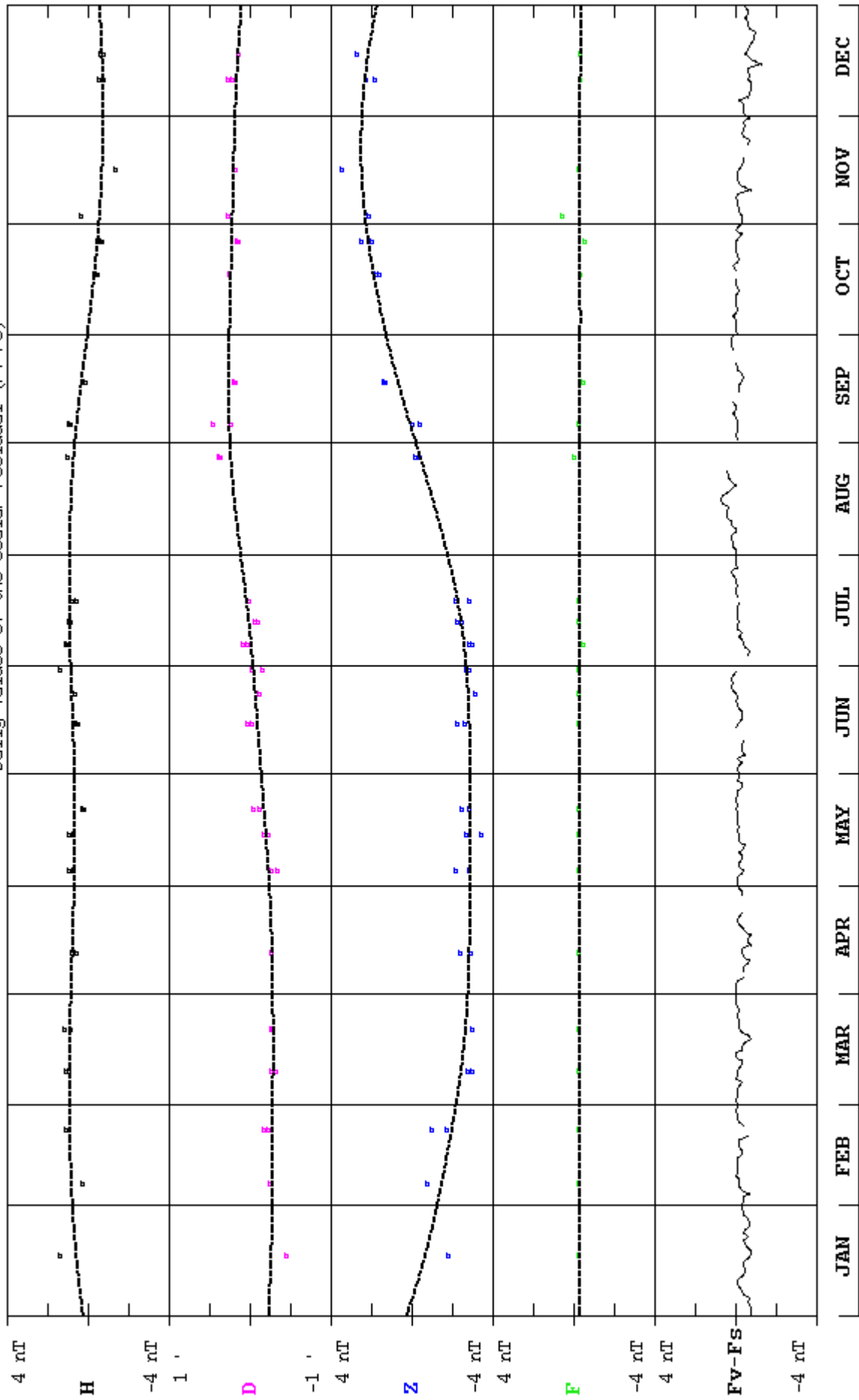
boîte 726

97387 Kourou – France

TEL. : +33 5 94 33 46 32

KOUROU(KOU) 2006

Observed and adopted baseline values (H,D,Z,F)
Daily values of the scalar residual (Fv-Fs)

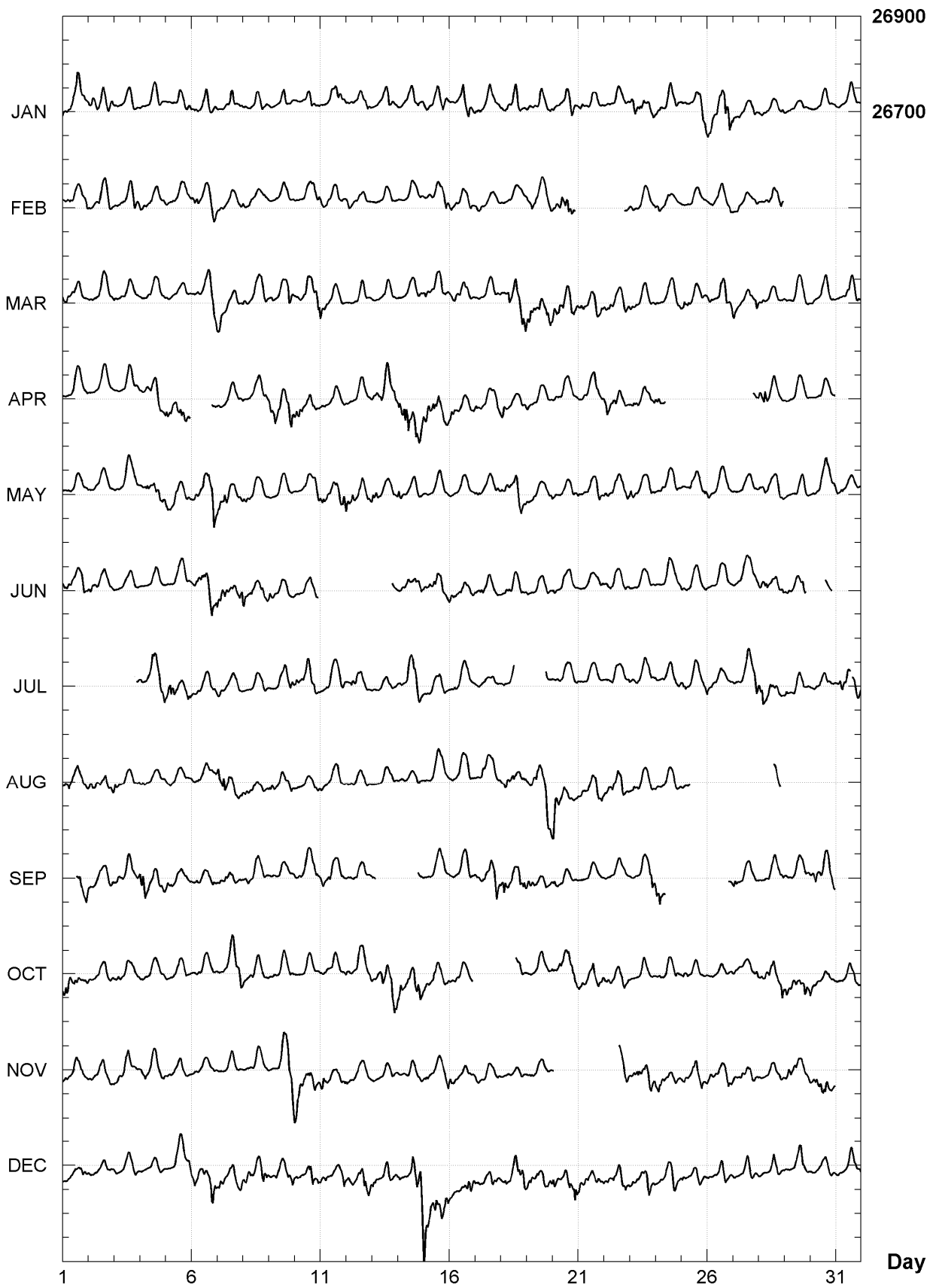


KOUROU (KOU)

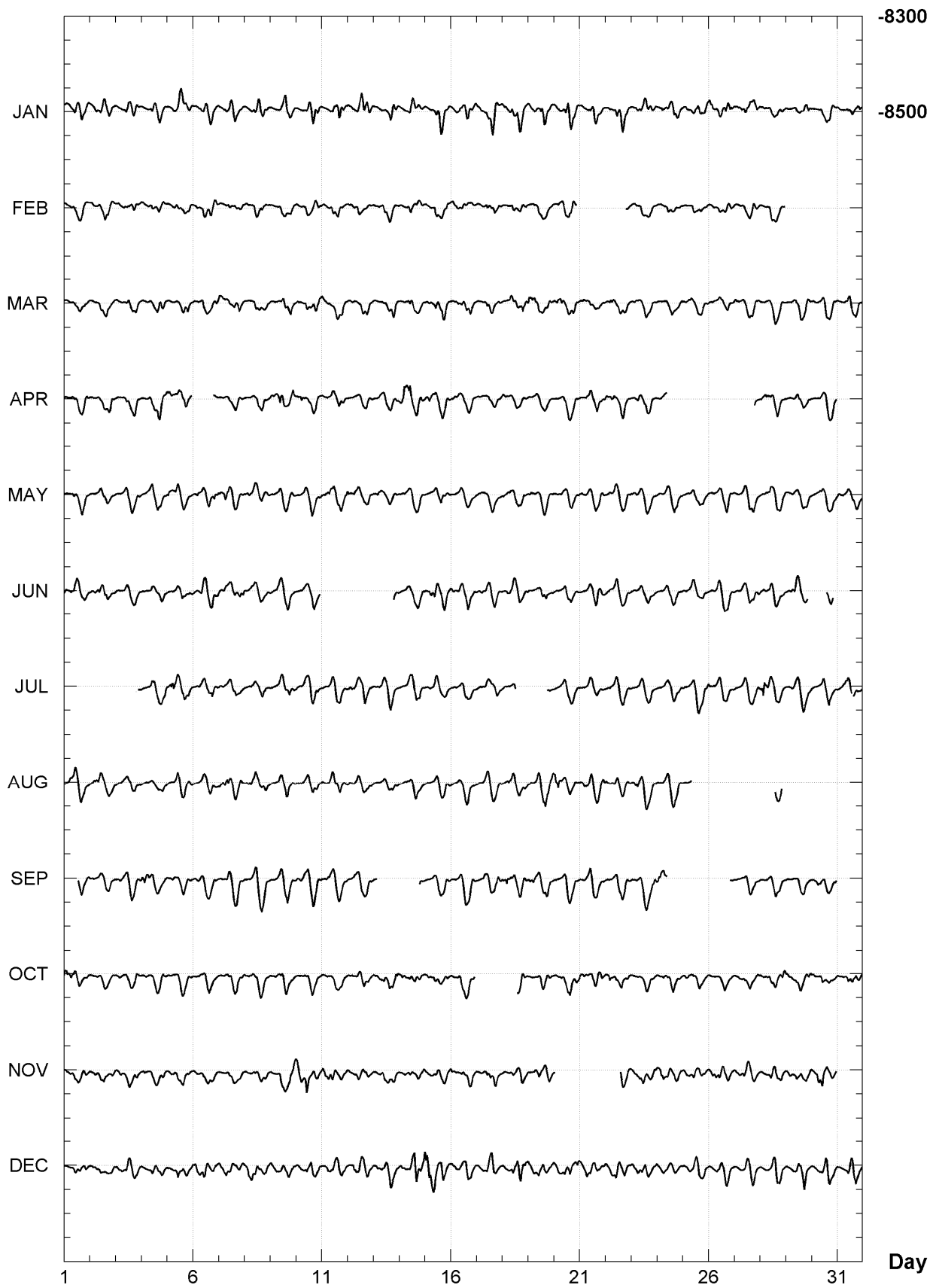
K indices, 2006 (K=9 for 250 nT)

DATE	JANUARY		FEBRUARY		MARCH		APRIL		MAY		JUNE	
01	3123	5532	1222	2113	3322	2221	0012	1122	0012	1111	2233	2332
02	3442	2223	2212	2322	0112	2222	1012	2122	2122	2222	3323	3221
03	1002	2221	1212	1233	2112	2121	0022	2222	1102	2222	2221	2211
04	1112	2221	2312	1101	1122	1321	1123	3332	2232	4333	1011	2221
05	1012	3212	2122	1232	1101	1221	3324	343-	3233	-212	1111	2211
06	2322	4332	3422	3333	1223	3333	----	---1	2323	3455	1244	4554
07	1123	4311	2212	2212	3422	1221	1101	1112	3443	3222	4433	3234
08	1122	3222	3123	1211	2112	2222	2112	2222	3322	1111	4333	2333
09	1101	3311	0012	2110	1211	3242	4444	4465	1012	1112	4223	2222
10	1011	2332	1112	2233	2223	4334	3332	2322	0002	2223	3222	232-
11	1113	3432	3123	2321	4222	2221	2212	2222	4433	3324	----	----
12	2221	3332	3223	2211	0111	2222	1101	1211	4332	3222	----	----
13	1011	2332	0013	1211	1012	1221	2323	5533	4322	2222	----	---1
14	1112	3221	1112	1111	0012	2112	4556	4544	4321	1212	1113	2334
15	2213	4322	1233	2233	3323	3431	4434	4433	1202	2321	2344	3333
16	1233	4342	3222	2221	1222	2331	3322	2212	1001	1111	4322	2322
17	2223	4432	2112	2311	1122	2112	3111	1213	2311	2222	2232	3211
18	2133	3532	1112	2121	2244	4345	3411	1112	3333	4533	0223	1322
19	2113	4323	3323	2222	6433	4343	2111	1100	2221	2122	2112	2311
20	2113	4332	2334	443-	5443	2343	1213	3211	1222	1222	3112	2311
21	2312	4311	----	----	3312	2433	1222	3422	3122	1222	0012	1312
22	1123	3411	----	---1	3322	2222	3334	3221	3222	2224	2322	1221
23	3433	4333	2222	1111	2211	1111	1331	2222	3222	2211	1102	1211
24	2221	3322	3222	2110	2011	2223	321-	----	0221	1221	1012	2221
25	3212	2343	1112	1211	1321	1231	----	----	1222	2223	2112	1111
26	3333	4555	1211	1222	3312	3333	----	----	2111	2331	1012	2211
27	3222	2232	2111	1112	4211	2324	----	---2	1011	2321	1112	2322
28	2222	1222	1123	2223	2311	2211	3353	2211	2213	1322	2333	2223
29	1111	1122			1212	3222	1112	2211	0001	2222	3333	333-
30	1012	2311			2102	3322	0011	2121	2223	4433	----	-23-
31	1102	2221			1023	2221			3222	2212		
DATE	JULY		AUGUST		SEPTEMBER		OCTOBER		NOVEMBER		DECEMBER	
01	----	----	2334	3322	----	-334	4443	3322	2222	2221	1112	2223
02	----	----	3333	2213	2111	2223	2122	1112	2222	3222	1111	1111
03	----	---2	4212	2222	2322	3322	2222	2221	2223	3120	2212	2111
04	2112	4334	1201	1122	5642	2233	1201	1221	2312	2222	0012	1121
05	3542	2333	2212	2221	3213	2221	1111	2121	1122	1211	1024	2223
06	3222	2222	1121	1112	2222	2222	0122	2211	1122	1211	2333	3253
07	2222	2321	4354	3322	2232	2221	1223	4545	0012	2010	4433	3323
08	0011	1221	3333	2221	2223	3211	3123	3321	1112	1111	3443	4343
09	1002	2224	3322	2322	1212	2310	2213	3212	1023	3346	2121	2233
10	3323	3332	1111	1223	2213	2332	1112	2211	4444	3332	2312	3423
11	1223	3332	3112	3311	3323	2112	1111	2111	4333	2332	3322	2224
12	2233	3321	2222	2221	2122	2121	3112	2223	2222	1211	3322	4434
13	1223	2211	1001	1221	1---	----	3233	3354	1122	1111	2311	2312
14	2233	3432	1011	2211	----	---1	4423	3443	1122	2223	2212	5668
15	1123	2211	1112	2321	1012	2221	2323	2222	2212	2223	7555	4434
16	0212	2211	1112	2222	0101	3321	2223	222-	4222	2221	2212	2344
17	1111	1120	0232	2211	2223	3254	----	----	2222	2321	3222	2331
18	1202	----	3433	2323	4423	2343	----	-212	0122	1221	2323	4545
19	----	--41	2234	4464	3332	2322	0203	2111	1222	2212	3323	2323
20	1212	2211	6522	3222	2212	2211	3133	3434	----	----	4322	3345
21	1011	1211	2323	2333	0123	2220	3322	4433	----	----	4332	2222
22	0222	2212	3333	4432	1112	2211	2322	2332	----	-423	3323	3332
23	2212	2222	1332	2211	1222	1245	1101	2111	2233	3322	2332	3432
24	2022	2212	3102	2221	553-	----	1222	2222	3432	2222	2222	3432
25	3212	3322	112-	----	----	----	2222	1210	2222	3343	3222	2212
26	3212	2211	----	----	----	---2	1101	1221	3333	2233	1112	3321
27	1112	3334	----	----	3212	1221	1112	1223	2122	2221	1112	2221
28	5534	2221	----	-34-	1112	2222	2233	3324	2112	2222	0101	3321
29	3111	2221	----	----	1121	2321	4333	3344	2423	2122	2112	3442
30	1222	2312	----	----	2433	3323	4222	2212	1344	4321	2112	3321
31	2444	--23	----	----			1022	2222			1012	2322

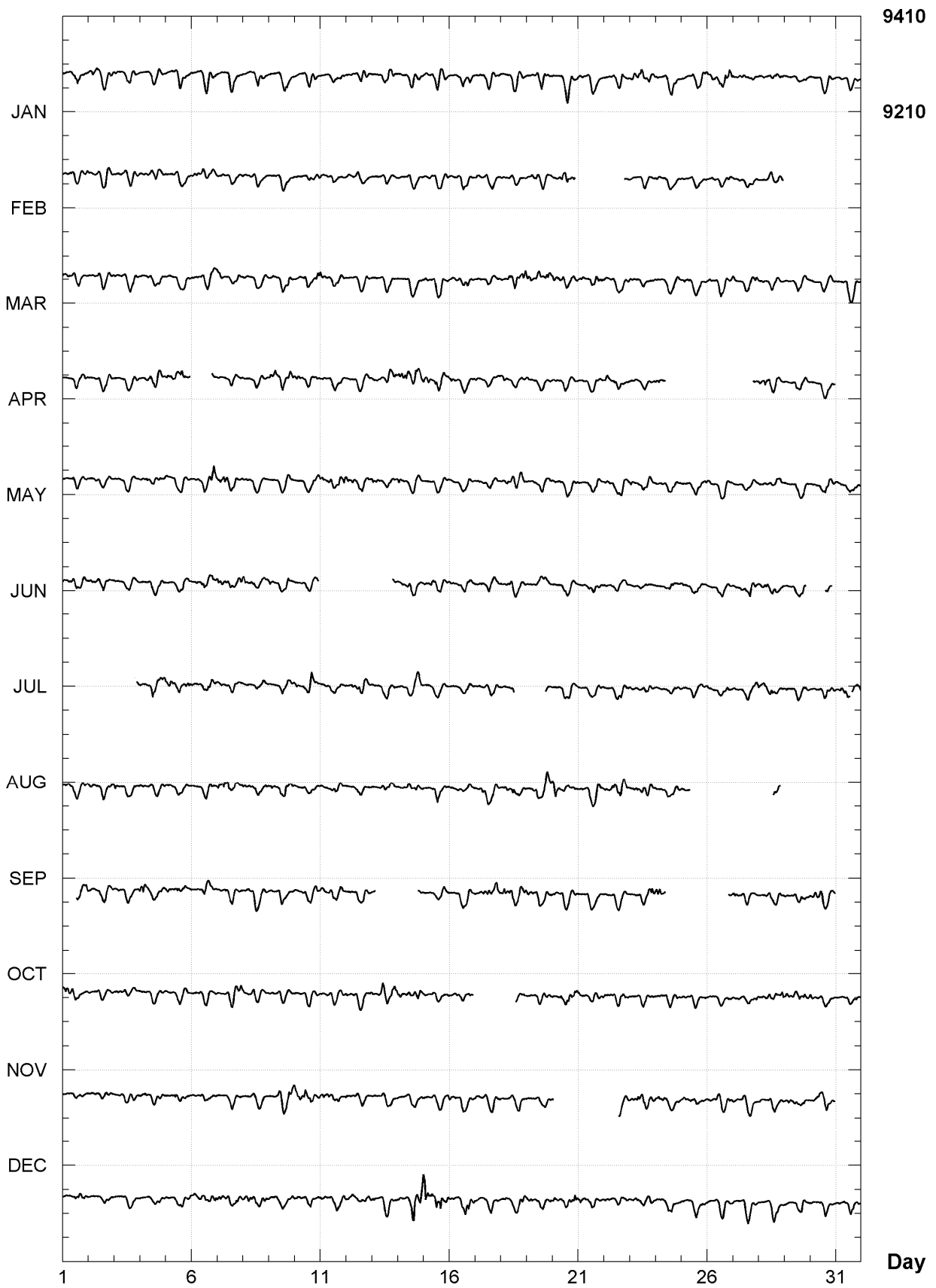
KOUROU (KOU)
Hourly mean values: X component (nT), 2006



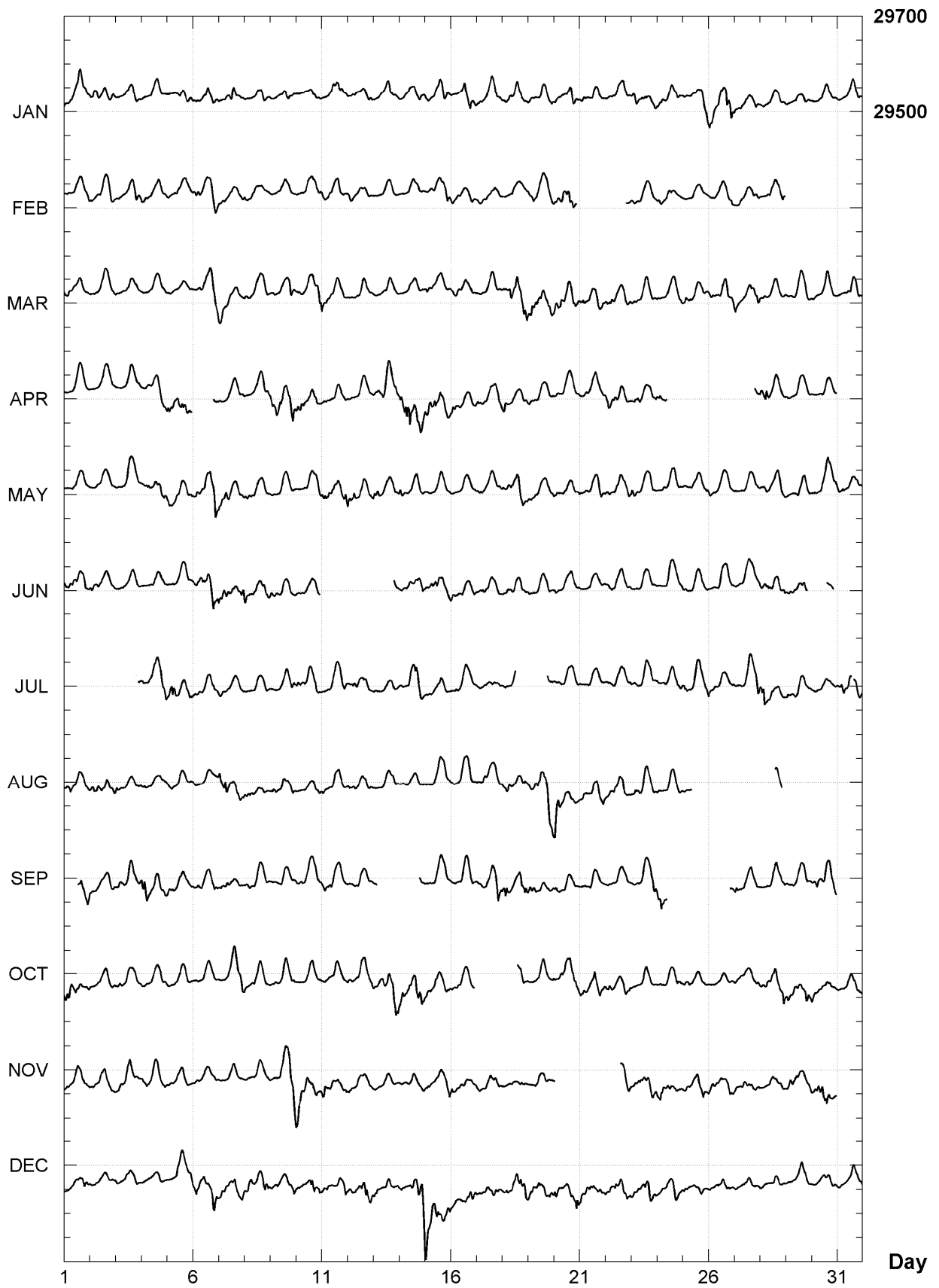
KOUROU (KOU)
Hourly mean values: Y component (nT), 2006



KOUROU (KOU)
Hourly mean values: Z component (nT), 2006



KOUROU (KOU)
Hourly mean values: total field F (nT), 2006



KOUROU (KOU)

Monthly and annual mean values, 2006

Date	D		I		H	X	Y	Z	F	J	ELE
	o	'	o	'	nT	nT	nT	nT	nT		
JAN	342	21.6	18	19.2	28036	26717	-8496	9283	29532	A	HDZF
FEB	342	21.1	18	17.9	28038	26719	-8500	9272	29531	A	HDZF
MAR	342	20.6	18	16.4	28035	26714	-8503	9257	29523	A	HDZF
APR	342	20.2	18	15.9	28023	26702	-8503	9249	29510	A	HDZF
MAY	342	20.4	18	13.9	28033	26712	-8505	9234	29515	A	HDZF
JUN	342	20.4	18	12.6	28034	26713	-8504	9222	29512	A	HDZF
JUL	342	20.2	18	10.9	28032	26710	-8506	9207	29505	A	HDZF
AUG	342	19.8	18	10.0	28024	26701	-8506	9196	29494	A	HDZF
SEP	342	19.5	18	7.7	28029	26705	-8510	9177	29493	A	HDZF
OCT	342	19.1	18	6.5	28024	26700	-8512	9164	29484	A	HDZF
NOV	342	19.0	18	5.1	28017	26693	-8511	9150	29473	A	HDZF
DEC	342	18.6	18	4.1	28001	26677	-8508	9135	29454	A	HDZF
2006	342	20.0	18	11.7	28027	26705	-8505	9213	29502	A	HDZF
JAN	342	21.6	18	18.8	28040	26722	-8497	9281	29536	Q	HDZF
FEB	342	21.3	18	17.5	28043	26724	-8500	9270	29536	Q	HDZF
MAR	342	20.9	18	16.4	28043	26722	-8503	9260	29532	Q	HDZF
APR	342	20.7	18	14.9	28044	26723	-8505	9247	29529	Q	HDZF
MAY	342	20.2	18	13.7	28035	26713	-8506	9233	29516	Q	HDZF
JUN	342	20.6	18	12.0	28041	26720	-8505	9219	29518	Q	HDZF
JUL	342	20.5	18	10.9	28035	26714	-8504	9207	29508	Q	HDZF
AUG	342	20.0	18	9.9	28033	26711	-8508	9198	29504	Q	HDZF
SEP	342	19.7	18	7.0	28038	26714	-8511	9173	29500	Q	HDZF
OCT	342	19.4	18	6.0	28034	26710	-8512	9163	29493	Q	HDZF
NOV	342	19.4	18	4.7	28028	26704	-8510	9149	29483	Q	HDZF
DEC	342	19.1	18	3.3	28018	26694	-8510	9133	29469	Q	HDZF
2006	342	20.3	18	11.5	28036	26715	-8506	9214	29511	Q	HDZF
JAN	342	21.4	18	19.5	28026	26708	-8494	9282	29523	D	HDZF
FEB	342	20.9	18	18.2	28036	26716	-8502	9274	29530	D	HDZF
MAR	342	20.2	18	17.3	28021	26700	-8502	9261	29512	D	HDZF
APR	342	19.4	18	17.4	27997	26675	-8501	9253	29486	D	HDZF
MAY	342	20.0	18	14.7	28021	26700	-8504	9238	29505	D	HDZF
JUN	342	20.1	18	13.1	28026	26704	-8504	9224	29505	D	HDZF
JUL	342	20.0	18	11.4	28023	26701	-8504	9208	29497	D	HDZF
AUG	342	19.1	18	11.0	28005	26682	-8506	9198	29477	D	HDZF
SEP	342	19.3	18	8.7	28014	26691	-8507	9181	29480	D	HDZF
OCT	342	18.6	18	7.5	28003	26679	-8509	9167	29465	D	HDZF
NOV	342	18.4	18	5.7	28000	26675	-8510	9149	29457	D	HDZF
DEC	342	18.0	18	5.4	27981	26656	-8507	9141	29436	D	HDZF
2006	342	19.6	18	12.4	28012	26690	-8504	9214	29489	D	HDZF

A: Tous les jours/ All days

Q: Jours calmes/ Quiet days

D: Jours perturbés/ Disturbed days

ELE: Elements enregistrés/ Recorded elements

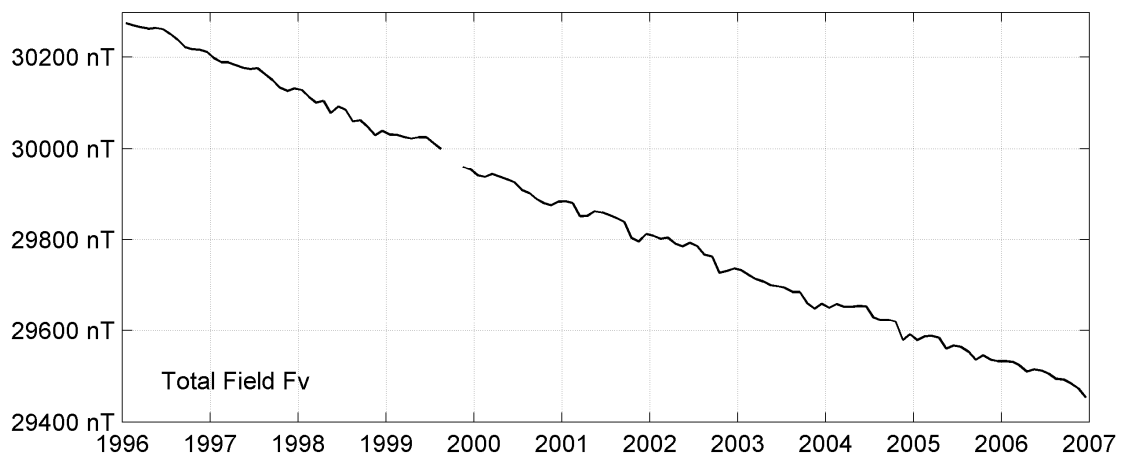
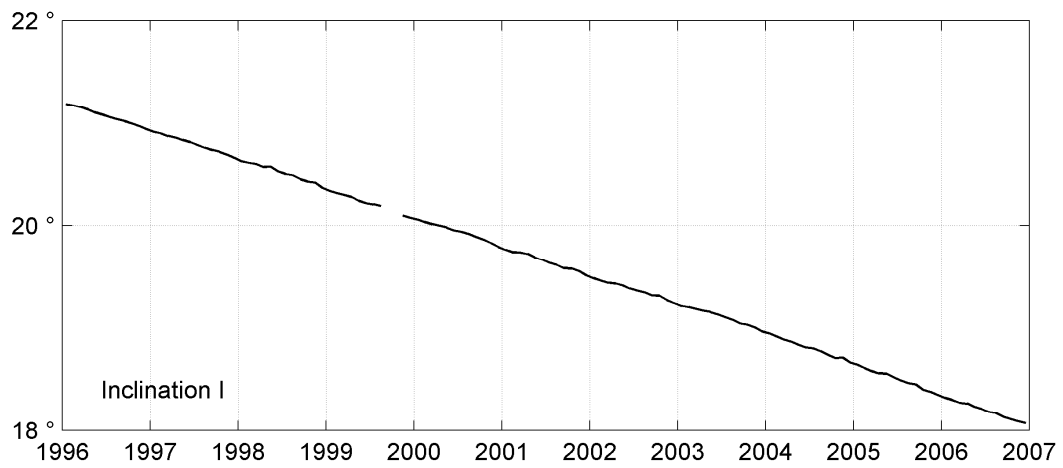
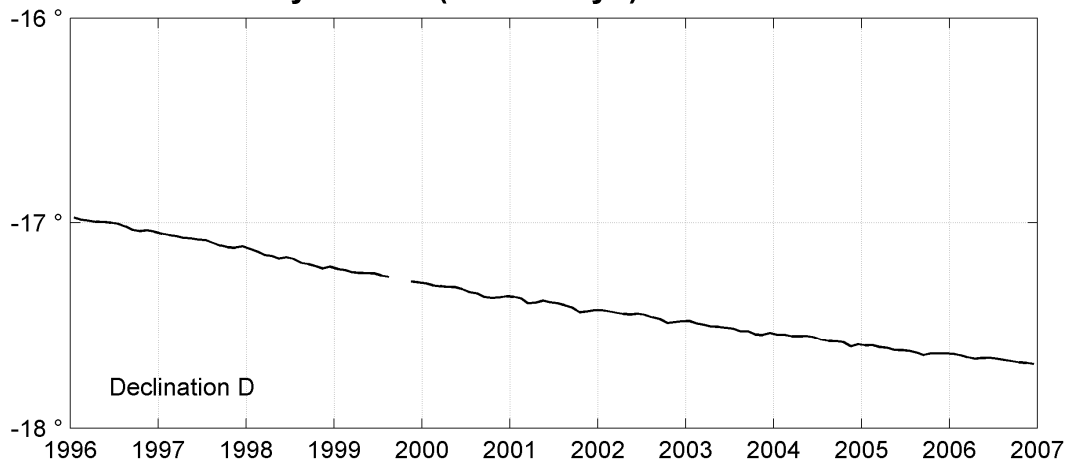
KOUROU (KOU)
Annual mean values, 1996 - 2006

Date	D		I		H	X	Y	Z	F	ELE	Note
	°	'	°	'	nT	nT	nT	nT	nT		
1996.5	342	59.4	21	04.2	28225	26990	-8257	10875	30247	HDZF	
1997.5	342	54.7	20	47.5	28202	26957	-8287	10708	30166	HDZF	
1998.5	342	49.2	20	30.9	28172	26915	-8321	10541	30080	HDZF	1
1999.4	342	44.9	20	14.1	28159	26892	-8351	10380	30011	HDZF	2
2000.5	342	40.1	19	56.1	28119	26842	-8377	10198	29911	HDZF	
2001.6	342	36.0	19	37.8	28107	26820	-8405	10025	29841	HDZF	3
2002.5	342	32.8	19	22.3	28089	26796	-8425	9876	29774	HDZF	
2003.5	342	29.1	19	06.4	28057	26756	-8444	9719	29692	HDZF	
2004.5	342	25.9	18	47.9	28051	26743	-8467	9549	29632	HDZF	
2005.5	342	22.6	18	30.0	28033	26718	-8487	9380	29561	HDZF	
2006.5	342	20.0	18	11.7	28027	26705	-8505	9213	29502	HDZF	

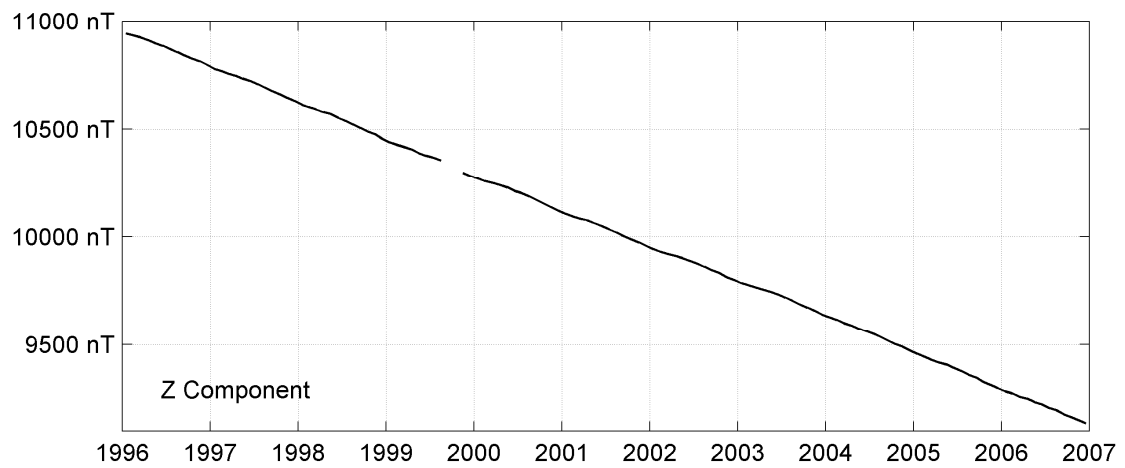
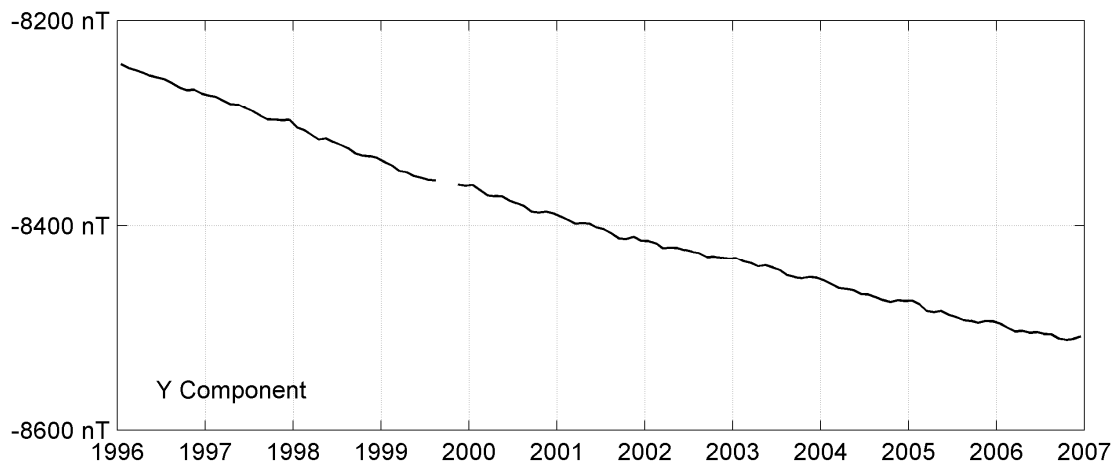
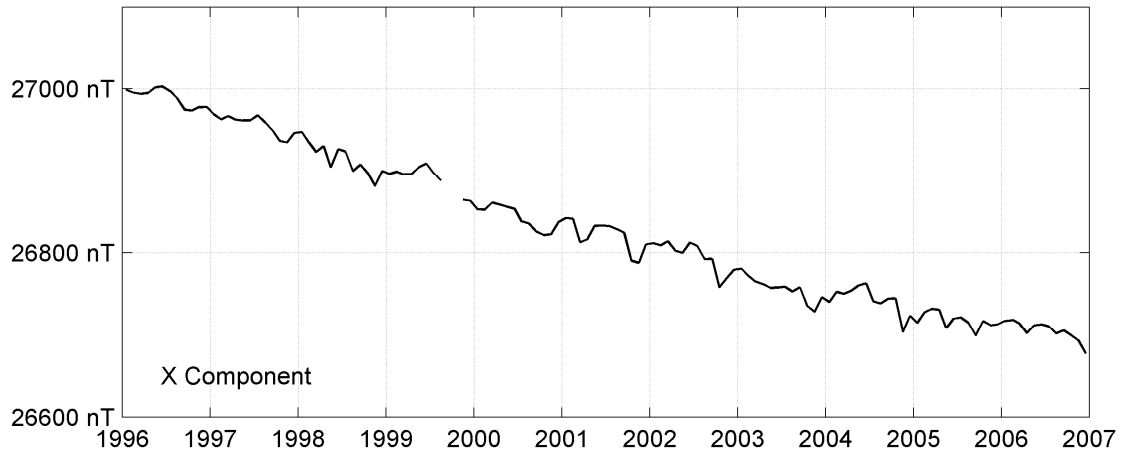
Notes :

- 1 Most gaps in Jan, Feb, May, Dec 1998
- 2 No data in Sept-Oct 1999
- 3 Most gaps in Mar, Apr 2001

KOUROU (KOU)
Monthly means (for all days) from 1996 to 2006



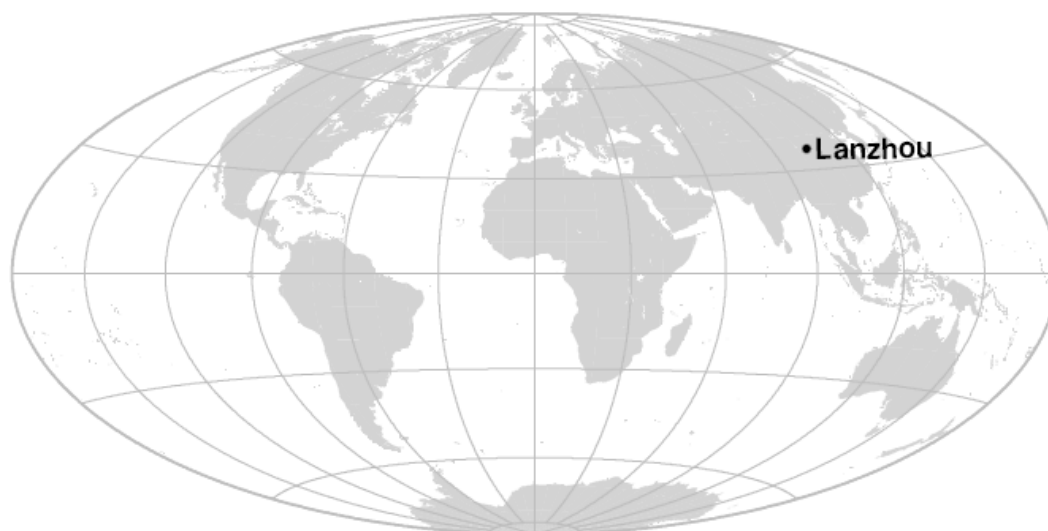
KOUROU (KOU)
Monthly means (for all days) from 1996 to 2006



OBSERVATOIRE DE LANZHOU (LZH)

LANZHOU OBSERVATORY (LZH)

CHINE / CHINA



PRÉSENTATION

L'Observatoire Magnétique de Lanzhou est l'un des huit plus anciens observatoires magnétiques de Chine. Il a été construit en 1956 et produit des données depuis 1959. Dans le cadre de l'accord de coopération entre le Bureau Sismologique de Chine (CSB, maintenant Administration des Tremblements de Terre de Chine, CEA) et l'Institut des Sciences de l'Univers (INSU) signé en 1998, de nouveaux équipements ont été installés par l'IPGP et le CSB en avril 2001. Suite à cette modernisation, l'observatoire de Lanzhou a obtenu le statut officiel d'observatoire magnétique de type INTERMAGNET (IMO).

L'observatoire est situé à Liujiaping, Lanzhou, sur la rive Nord de la Rivière Jaune, sur des dépôts de loess. Le gradient du champ géomagnétique sur le site de l'observatoire (déterminé en octobre 1984) est inférieur à 1 nT/m.

En mars 2004, un nouveau magnétomètre vectoriel IPGP VM391 a remplacé le magnétomètre Geomag M390 installé en 2001.

OBSERVATEURS

Chang Jiang XIN
Wan Sheng YAN
Wen Rong SHEN
Xiao Ping TIAN

INSTRUMENTATION

Les mesures absolues ont été faites deux fois par semaine à l'aide d'un DI-flux constitué d'un théodolite MG2KP et d'un magnétomètre à vanne de flux EOST DImag93. A chaque fois, les différences pilier ont été mesurées à l'aide d'un magnétomètre à proton GEM GSM10.

Les variations magnétiques ont été enregistrées en continu par les instruments suivants :

- 1 magnétomètre homocentrique triaxial à vanne de flux IPGP VM391
- 1 magnétomètre scalaire de type Overhauser Geomag SM90R

Les magnétomètres étaient installés dans une cave semi-enterrée.

Les données ont été enregistrées par une acquisition IPGP ENO2 de type PC et

PRESENTATION

The Lanzhou Magnetic Observatory is one of the eight oldest geomagnetic observatories in China. It was built in 1956 and has produced data since 1959. Based on the framework cooperation agreement between China Seismological Bureau (CSB, now China Earthquake Administration, CEA) and Institut National des Sciences de l'Univers (INSU) signed in 1998, new equipments were installed by IPGP and CSB in April 2001. Following this improvement, the Lanzhou observatory gained official INTERMAGNET magnetic observatory (IMO) status.

The observatory is located at Liujiaping, Lanzhou, on the north bank of the Yellow River on loess deposit. The gradient of the geomagnetic field on the observatory site (determined in October 1984) is less than 1 nT/m.

In March 2004, a new vector magnetometer IPGP VM391 replaced the magnetometer Geomag M390 installed in 2001.

OBSERVERS

Chang Jiang XIN
Wan Sheng YAN
Wen Rong SHEN
Xiao Ping TIAN

INSTRUMENTATION

Absolute measurements were made twice a week with a DI-flux constituted of a theodolite MG2KP and a fluxgate magnetometer EOST DImag93. Each time, pillar differences were measured with a proton magnetometer GEM GSM10.

Magnetic variations were continuously recorded by the following instruments:

- 1 triaxial homocentric fluxgate magnetometer IPGP VM391
- 1 Overhauser type scalar magnetometer Geomag SM90R

The magnetometers were installed in a semi-underground vault.

Data were acquired by a data logger IPGP ENO2, which is based on a PC system, and transmitted to the INTERMAGNET Geomagnetic Information Node in Paris via

transmises au centre d'information géomagnétique d'INTERMAGNET à Paris par internet.

L'énergie était fournie par le réseau local d'électricité.

TRAITEMENT DES DONNÉES

Toutes les observations ont été ramenées au pilier absolu de référence installé à environ 50 m des capteurs.

Les lignes de bases adoptées ont été obtenues en modélisant par une spline les écarts entre enregistrements continus et mesures absolues. Les valeurs de ligne de base pour la composante F proviennent des mesures de différences entre le pilier des mesures absolues et le magnétomètre scalaire.

Sept décrochements de ± 1.2 nT sur la voie H du magnétomètre vectoriel ont été corrigés.

Afin de faciliter la présentation et la lecture des graphes, les sauts ne sont pas représentés dans les graphes des lignes de bases (cf page suivante).

Les variations annuelles des lignes de bases sur H, D et Z sont corrélées avec la variation annuelle de température dans la cave, dont l'amplitude vaut environ 25°C.

the internet.

The power was supplied by the local electric network.

DATA PROCESSING

All the observations were reduced to the absolute pillar, at a distance of about 50 m from the sensors.

The adopted baseline values were obtained by spline modelling of the differences between continuous recordings and absolute measurements. Baseline values for the F component come from differences between the absolute pillar and the scalar magnetometer.

Seven jumps of ± 1.2 nT on the H component of the vector magnetometer were corrected.

In order to facilitate the presentation and reading of the graphs, jumps are not plotted in baseline graphs (cf the following page).

The annual baseline variations on the H, D and Z are correlated with the annual temperature variation in the cellar, of amplitude about 25°C.

Valeurs moyennes horaires disponibles / *Hourly mean values available* [2006] : 99.5%

Nombre de mesures absolues utilisées / *Number of used absolute measurements* [2006] : 99

Amplitudes pic-à-pic des lignes de base / *peak-to-peak baseline amplitudes* [2006] :

$$|D_{o, \min} - D_{o, \max}| = 112''$$

$$|H_{o, \min} - H_{o, \max}| = 14.3 \text{ nT}$$

$$|Z_{o, \min} - Z_{o, \max}| = 10.4 \text{ nT}$$

$$|F_{o, \min} - F_{o, \max}| = 0.5 \text{ nT}$$

Différences RMS entre valeurs de lignes de base mesurées et adoptées

Root mean square differences between measured and adopted baseline values [2006] :

$$(\Delta D_o)_{\text{rms}} = 5''$$

$$(\Delta H_o)_{\text{rms}} = 0.5 \text{ nT}$$

$$(\Delta Z_o)_{\text{rms}} = 0.4 \text{ nT}$$

$$(\Delta F_o)_{\text{rms}} = 0.1 \text{ nT}$$

Valeur RMS du résidu scalaire Fv-Fs / *RMS value of scalar residual Fv-Fs* [2006] :

$$[\Delta(F_s - F_v)]_{\text{rms}} = 0.7 \text{ nT}$$

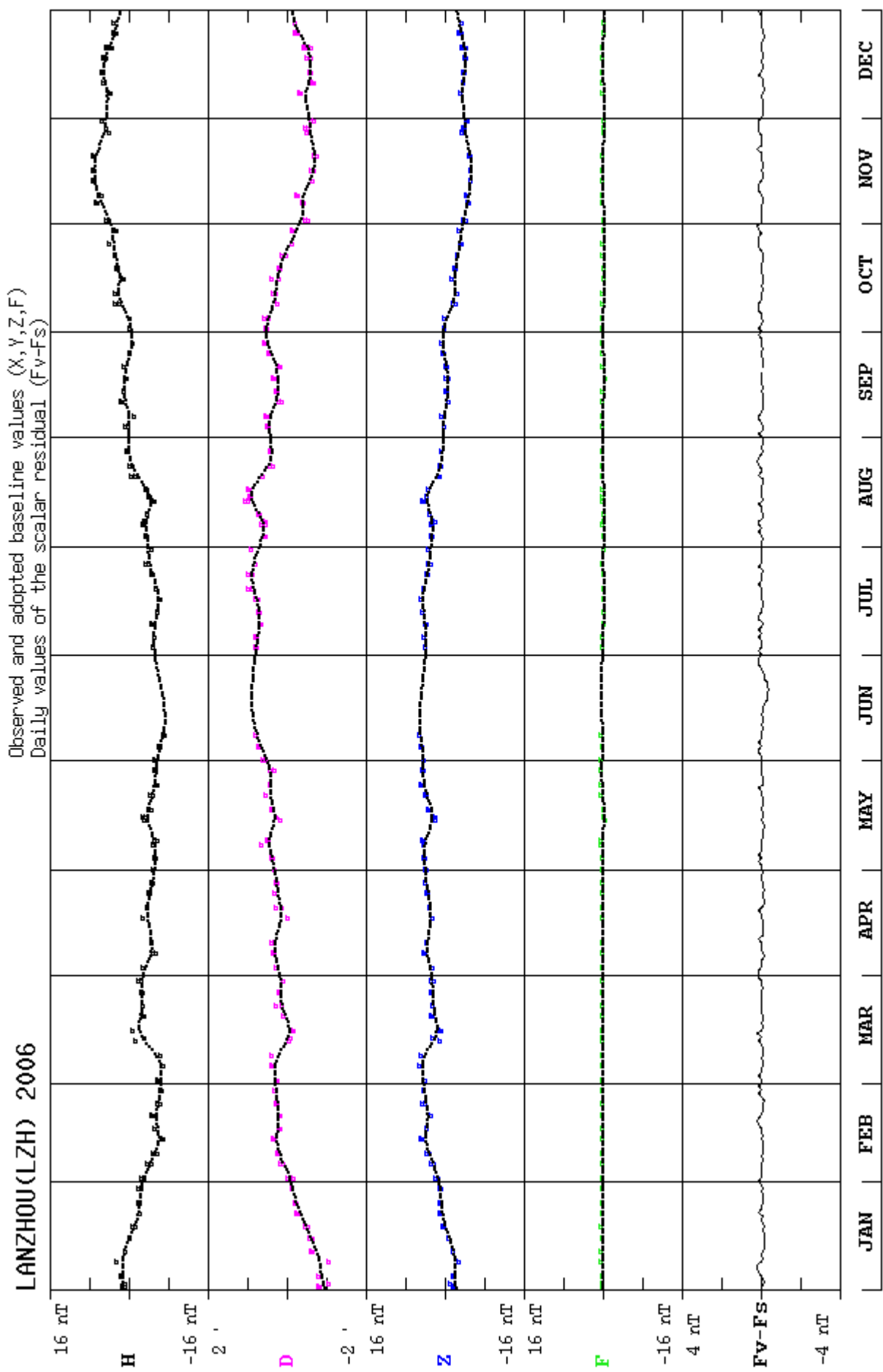
LANZHOU SEISMOLOGICAL STATION

Liu Jia Ping

Yan Chang Bu

Lanzhou 730046 – CHINA

TEL.: +086 0931 83 40 459

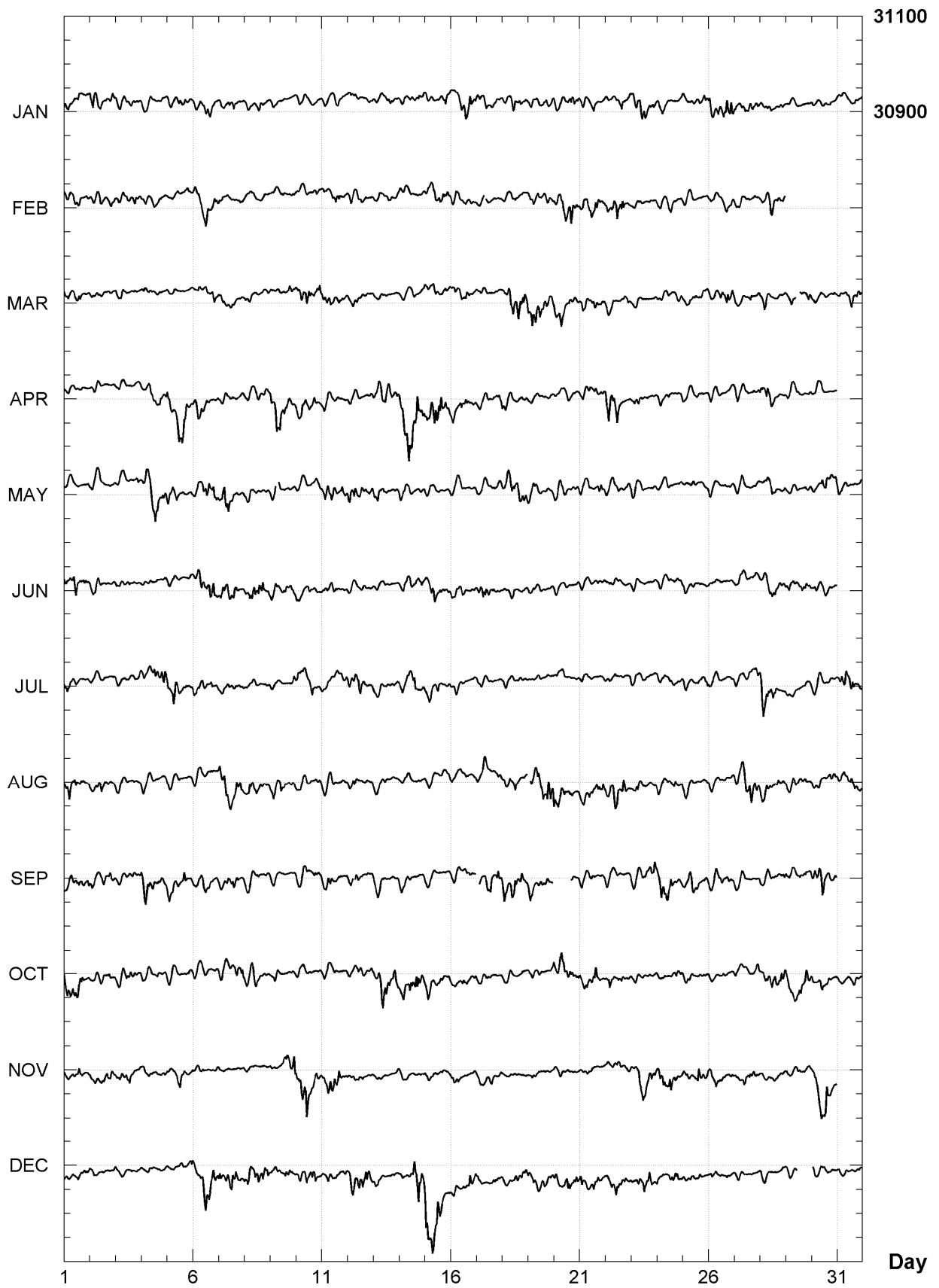


LANZHOU (LZH)

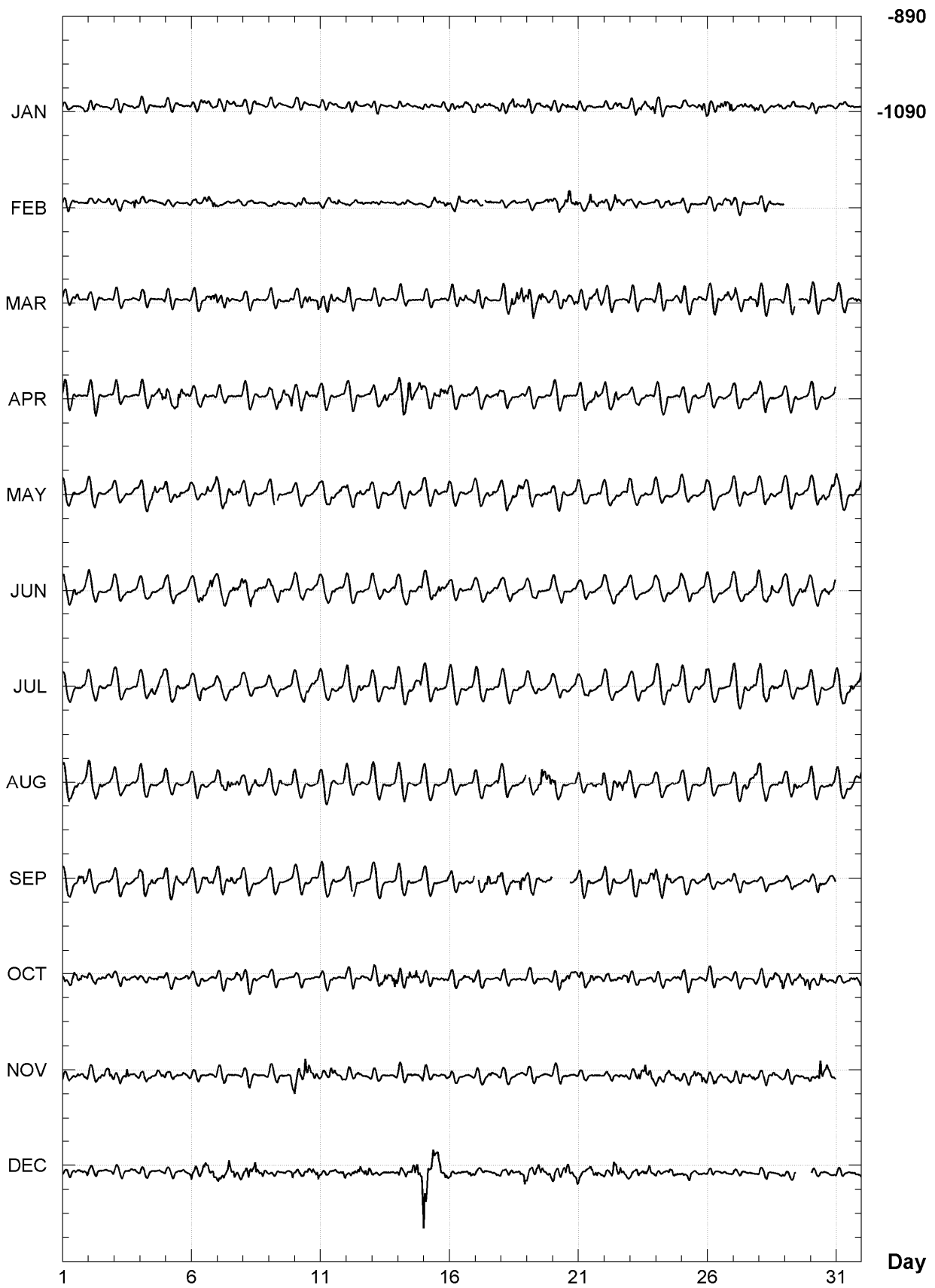
K indices, 2006 (K=9 for 300 nT)

DATE	JANUARY		FEBRUARY		MARCH		APRIL		MAY		JUNE	
01	3222	3222	1222	3112	2223	4210	3311	1101	2111	0002	3234	3233
02	3443	2323	1123	1232	2221	2121	3211	1011	2122	1111	3333	1223
03	2221	2320	2122	2342	2221	1221	3321	1102	2120	1122	2222	2112
04	3112	2121	2221	2201	2221	1211	3222	2333	2332	4433	2121	2112
05	1112	3322	1122	1132	2110	1101	4236	6552	3323	3212	2211	1112
06	2122	3322	3323	5344	2222	3243	3232	2222	2223	4544	2344	4453
07	3112	3310	2211	1221	2322	3211	2222	2112	3454	4233	4333	4423
08	1122	2301	1111	1011	2211	2222	3212	2222	3332	1122	4344	4423
09	2111	1000	1121	2122	2211	1131	4555	4345	23-2	1212	2232	3323
10	2211	1110	1111	1233	2334	4334	3332	3422	1101	1123	2222	3223
11	2002	2210	2222	3322	3333	2321	2212	2202	3434	4233	2223	2113
12	1222	0011	1222	2200	3232	2221	2211	1112	4442	3323	2122	2313
13	2211	2221	1111	2322	2211	1011	2333	5533	3322	2122	2122	1113
14	2112	2231	2111	1112	2211	3112	4556	6643	3322	1222	2222	2333
15	2111	1232	2233	3333	3233	3332	3345	5533	2222	1113	3344	4332
16	1233	5543	2223	2322	2222	3311	3223	3221	1111	1112	3332	2122
17	3232	3321	11-2	2211	2210	1021	2222	1113	2211	2213	2343	2211
18	3224	3422	1111	2121	4344	4554	3211	0222	3454	3443	1233	2113
19	3223	3323	3332	1333	4445	4433	2111	1112	2232	2123	2211	1112
20	2112	3342	2334	4533	3344	3332	2222	3211	2232	1122	2112	2212
21	2212	3110	2334	4432	2222	3443	3222	3423	3112	1243	1011	1212
22	2113	3312	3344	3522	2221	2232	5545	4211	2122	2234	2222	2122
23	3334	4324	2222	0121	3211	1101	2332	1212	3221	2113	2210	0112
24	3222	1112	2213	3201	2112	2133	3222	1113	1122	2113	1111	2223
25	3222	1244	2221	0101	4321	2231	2211	2112	1222	1123	2222	1113
26	3234	4545	2211	2323	3212	3333	2111	1112	3111	2113	1101	0123
27	2223	3332	2221	2021	4211	2323	2222	2122	2121	0013	2222	2234
28	2122	2122	1123	3222	3311	1211	3354	2122	1223	2123	3333	4233
29	1111	0101			322-	-123	2012	1102	2211	1023	3223	2333
30	2111	1111			3212	1122	2221	0002	2123	4433	1221	3222
31	1100	2311			3222	3332			3212	2123		
DATE	JULY		AUGUST		SEPTEMBER		OCTOBER		NOVEMBER		DECEMBER	
01	2222	2013	3433	3323	2233	3334	4444	4322	2111	3222	1112	2222
02	1111	1113	3233	2212	3212	3332	2232	3232	2211	3333	1111	1112
03	2111	1213	2211	1223	2212	2223	2122	3322	2323	4221	2111	1211
04	2222	4345	3110	1013	5543	3333	2211	1311	2322	2222	1021	0111
05	4454	2223	2211	1111	3323	2432	2121	1121	2222	3311	2011	2223
06	3333	2222	2122	2212	2123	3322	2121	1111	2021	0112	3235	5453
07	1222	3313	3444	4443	2232	3323	2211	2433	2101	0011	4344	5423
08	1122	0013	2343	3323	2111	2112	3322	2221	2210	0110	3444	4443
09	1111	0023	2323	3224	2211	0002	2321	1021	2111	2445	1221	2333
10	3323	3423	1111	2023	2112	1223	2211	1111	4456	4343	2223	4533
11	1322	3343	2222	2223	3332	2212	1212	2211	3243	5432	2232	2124
12	3335	5223	2322	2223	34-3	2222	2212	3212	2223	2101	2333	4443
13	2222	2123	3211	1223	3332	1122	3455	4454	2110	0101	2221	1122
14	2323	4533	3222	2013	3222	1012	4334	3433	3222	2222	2222	5667
15	2322	3213	2111	1322	2211	1111	2333	2333	3222	2222	7655	6433
16	3221	1013	2112	2113	2211	2223	2221	3223	3221	2121	2322	2343
17	2211	2112	2242	2224	--23	4243	1212	2111	2211	3211	2221	1221
18	3211	1223	2233	3323	5333	4343	2121	1021	2121	1111	2212	3434
19	2111	1112	-224	5465	4233	3322	2212	2201	2222	1111	2323	4223
20	1222	1112	4432	3322	----	--11	3243	3533	2221	2010	3333	4334
21	1112	1013	3223	2335	2112	2012	3333	3532	2121	2110	3333	4422
22	2222	1112	3454	4543	2112	1122	2422	3323	1122	3222	2344	3333
23	2211	1113	1331	1212	3212	2234	2111	0211	1233	4443	2233	4432
24	2221	2213	3112	2322	4544	4322	2121	1132	3333	4333	2222	3432
25	3221	2223	2211	1113	2224	3212	2222	1211	2222	3533	2222	2312
26	3222	1124	2111	1112	2222	3222	3211	2101	3333	3222	2121	2220
27	2111	3334	3234	4544	3211	0211	2111	1133	2223	2331	1111	1110
28	6544	3313	3332	2333	2122	2122	2334	3344	2212	2212	2011	0122
29	3111	1123	3223	2222	1221	2232	3233	3344	2322	2122	111-	----
30	2221	1213	2222	2333	2445	3323	3224	2221	2335	6422	-222	2220
31	2443	4323	3242	3333			2011	2322			1111	0112

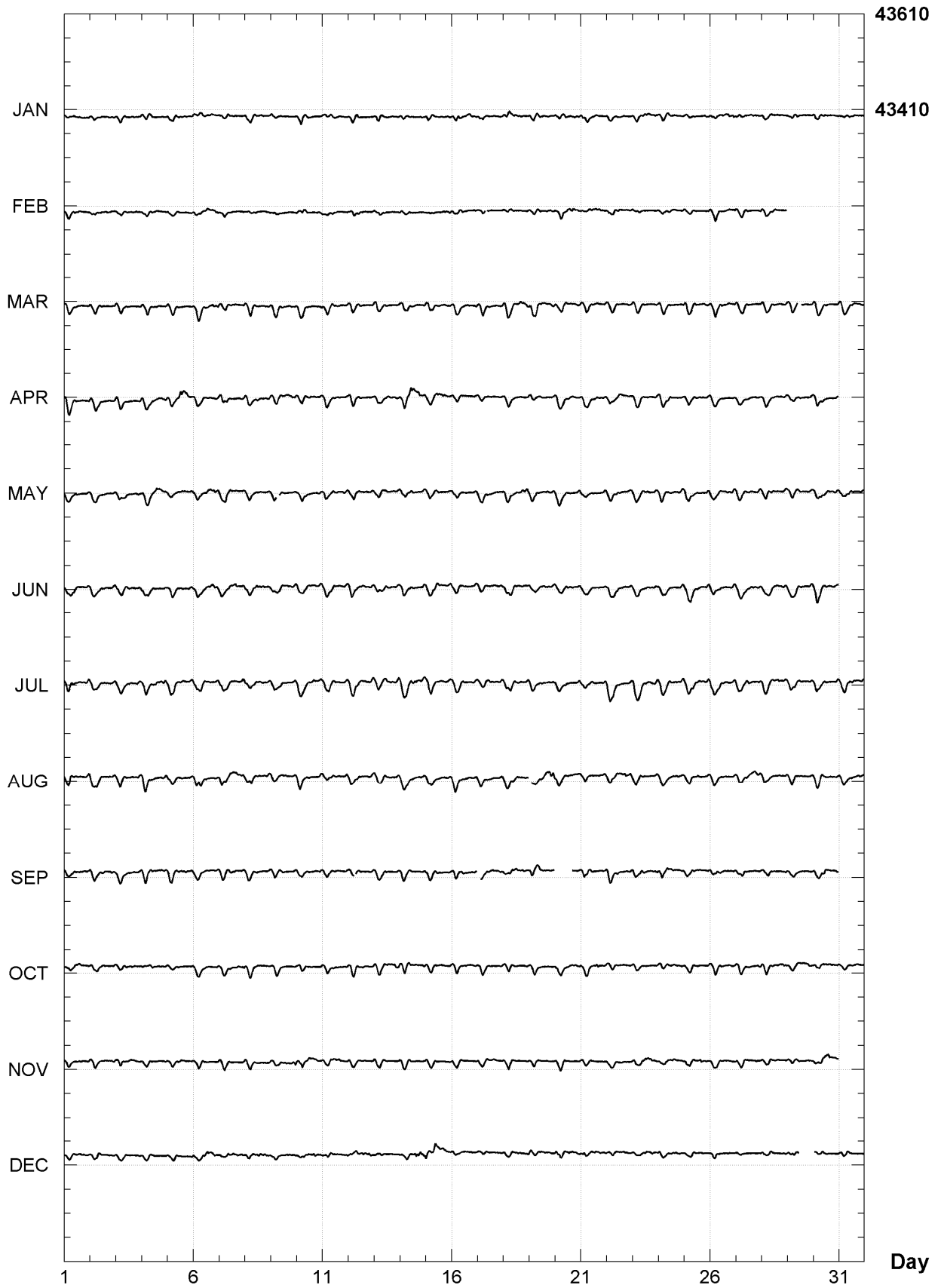
LANZHOU (LZH)
Hourly mean values: X component (nT), 2006



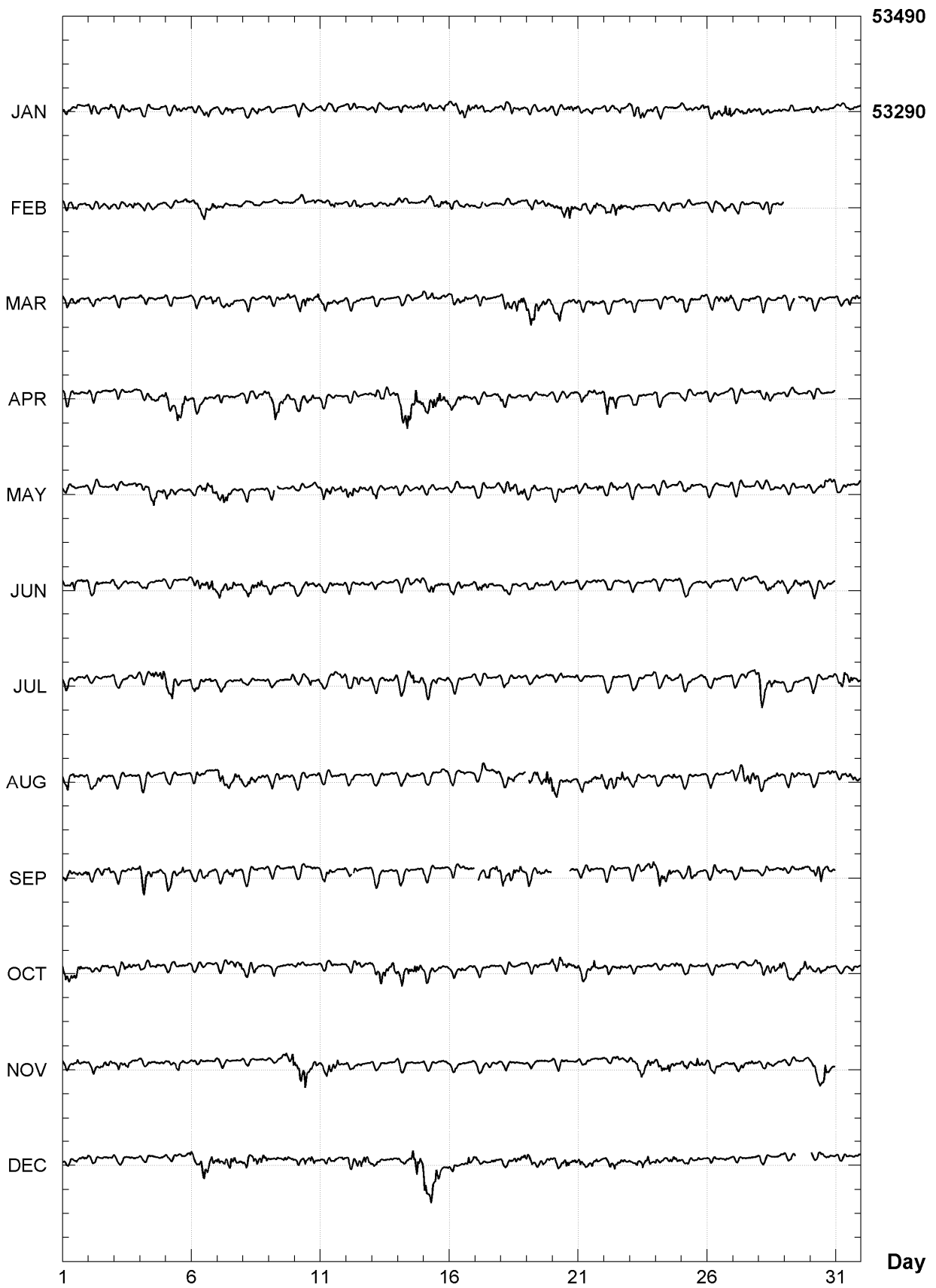
LANZHOU (LZH)
Hourly mean values: Y component (nT), 2006



LANZHOU (LZH)
Hourly mean values: Z component (nT), 2006



LANZHOU (LZH)
Hourly mean values: total field F (nT), 2006



LANZHOU (LZH)

Monthly and annual mean values, 2006

Date	D		I		H	X	Y	Z	F	J	ELE
	°	'	°	'	nT	nT	nT	nT	nT		
JAN	358	0.1	54	30.8	30939	30920	-1079	43395	53295	A	HDZFF
FEB	357	60.0	54	30.9	30938	30919	-1080	43398	53296	A	HDZFF
MAR	357	59.7	54	31.2	30933	30914	-1082	43399	53295	A	HDZFF
APR	357	59.4	54	32.2	30921	30902	-1084	43407	53294	A	HDZFF
MAY	357	59.1	54	31.6	30932	30913	-1088	43409	53302	A	HDZFF
JUN	357	59.1	54	31.9	30929	30910	-1088	43411	53303	A	HDZFF
JUL	357	58.7	54	32.0	30928	30909	-1091	43412	53303	A	HDZFF
AUG	357	58.3	54	32.7	30917	30898	-1094	43417	53300	A	HDZFF
SEP	357	57.9	54	32.9	30917	30897	-1098	43420	53302	A	HDZFF
OCT	357	57.5	54	33.1	30913	30894	-1101	43423	53303	A	HDZFF
NOV	357	57.4	54	33.5	30909	30889	-1102	43426	53303	A	HDZFF
DEC	357	57.0	54	34.5	30894	30874	-1105	43433	53300	A	HDZFF
2006	357	58.7	54	32.3	30923	30903	-1091	43412	53300	A	HDZFF
JAN	358	0.3	54	30.7	30941	30922	-1077	43396	53297	Q	HDZFF
FEB	357	59.9	54	30.5	30946	30927	-1081	43398	53301	Q	HDZFF
MAR	357	59.8	54	30.8	30941	30922	-1082	43398	53299	Q	HDZFF
APR	357	59.6	54	31.0	30940	30921	-1083	43403	53302	Q	HDZFF
MAY	357	59.2	54	31.5	30935	30916	-1087	43409	53304	Q	HDZFF
JUN	357	59.1	54	31.5	30936	30917	-1088	43411	53306	Q	HDZFF
JUL	357	58.8	54	31.7	30934	30914	-1091	43413	53306	Q	HDZFF
AUG	357	58.5	54	32.3	30924	30904	-1093	43415	53302	Q	HDZFF
SEP	357	58.0	54	32.4	30925	30906	-1098	43419	53307	Q	HDZFF
OCT	357	57.6	54	32.5	30923	30904	-1100	43421	53307	Q	HDZFF
NOV	357	57.5	54	32.9	30919	30899	-1102	43424	53307	Q	HDZFF
DEC	357	57.1	54	33.8	30907	30887	-1105	43432	53306	Q	HDZFF
2006	357	58.8	54	31.8	30931	30912	-1090	43411	53303	Q	HDZFF
JAN	357	60.0	54	31.2	30932	30914	-1080	43397	53292	D	HDZFF
FEB	357	60.0	54	31.5	30928	30909	-1080	43399	53292	D	HDZFF
MAR	357	59.7	54	31.9	30920	30901	-1082	43399	53287	D	HDZFF
APR	357	59.4	54	33.9	30891	30872	-1083	43411	53280	D	HDZFF
MAY	357	59.1	54	32.1	30923	30904	-1087	43409	53298	D	HDZFF
JUN	357	59.1	54	32.2	30924	30904	-1087	43412	53300	D	HDZFF
JUL	357	58.6	54	32.5	30919	30900	-1091	43413	53298	D	HDZFF
AUG	357	58.3	54	33.4	30905	30886	-1094	43420	53295	D	HDZFF
SEP	357	57.8	54	33.4	30908	30888	-1098	43421	53298	D	HDZFF
OCT	357	57.5	54	34.0	30897	30878	-1101	43424	53294	D	HDZFF
NOV	357	57.3	54	34.5	30892	30872	-1102	43428	53295	D	HDZFF
DEC	357	56.9	54	35.5	30875	30856	-1105	43433	53289	D	HDZFF
2006	357	58.7	54	33.0	30910	30890	-1091	43414	53293	D	HDZFF

A: Tous les jours/ All days
 Q: Jours calmes/ Quiet days
 D: Jours perturbés/ Disturbed days
 ELE: Elements enregistrés/ Recorded elements

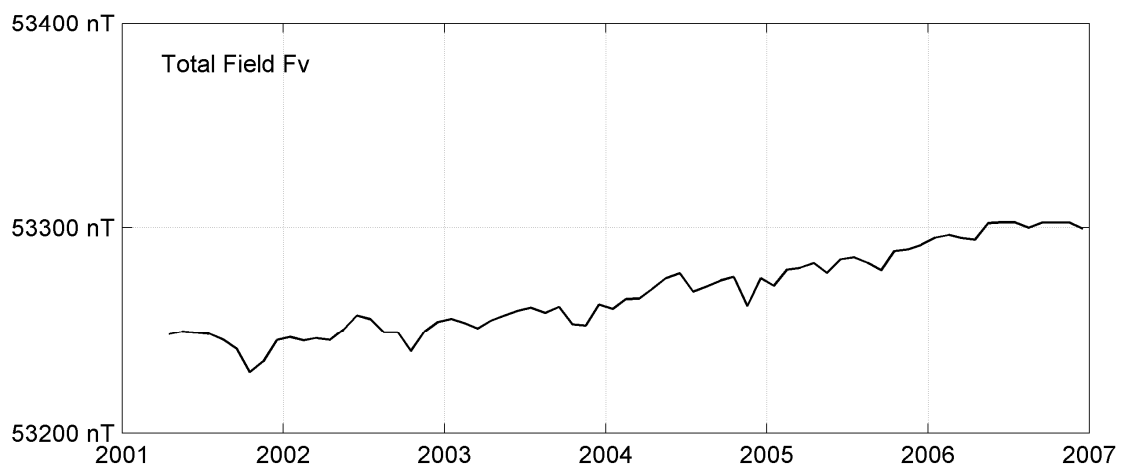
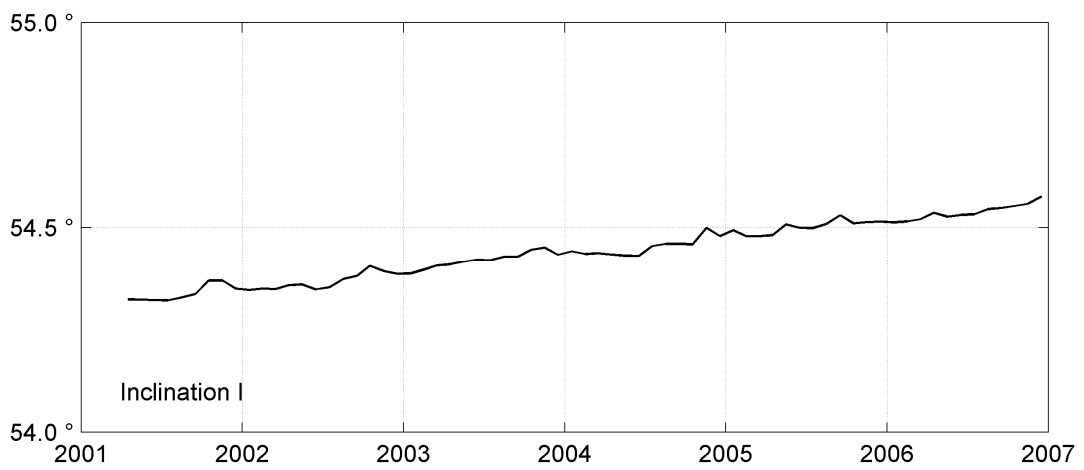
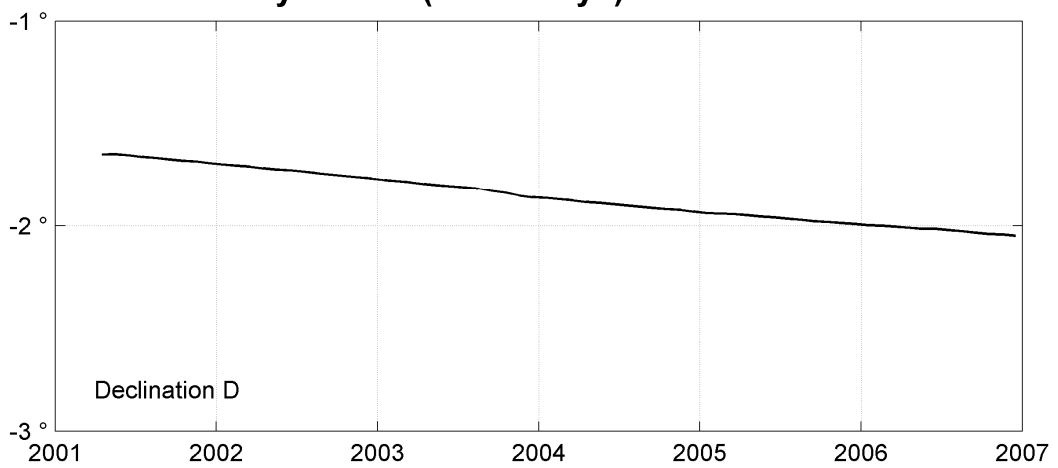
LANZHOU (LZH)
Annual mean values, 2001 - 2006

Date	D		I		H	X	Y	Z	F	ELE	Note
	o	'	o	'	nT	nT	nT	nT	nT		
2001.7	358	19.7	54	20.4	31039	31026	-905	43259	53243	HDZF	1
2002.5	358	16.0	54	22.0	31022	31008	-938	43279	53249	HDZF	
2003.5	358	11.2	54	25.2	30986	30971	-981	43314	53257	HDZF	
2004.5	358	06.1	54	27.2	30970	30953	-1026	43343	53270	HDZF	
2005.5	358	02.2	54	30.1	30940	30922	-1060	43380	53283	HDZF	
2006.5	357	58.7	54	32.3	30923	30903	-1091	43412	53300	HDZF	

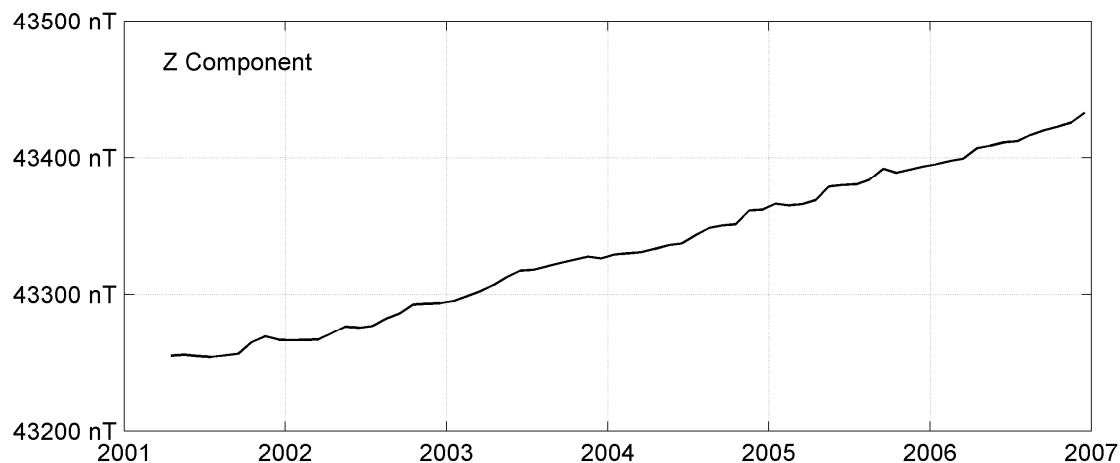
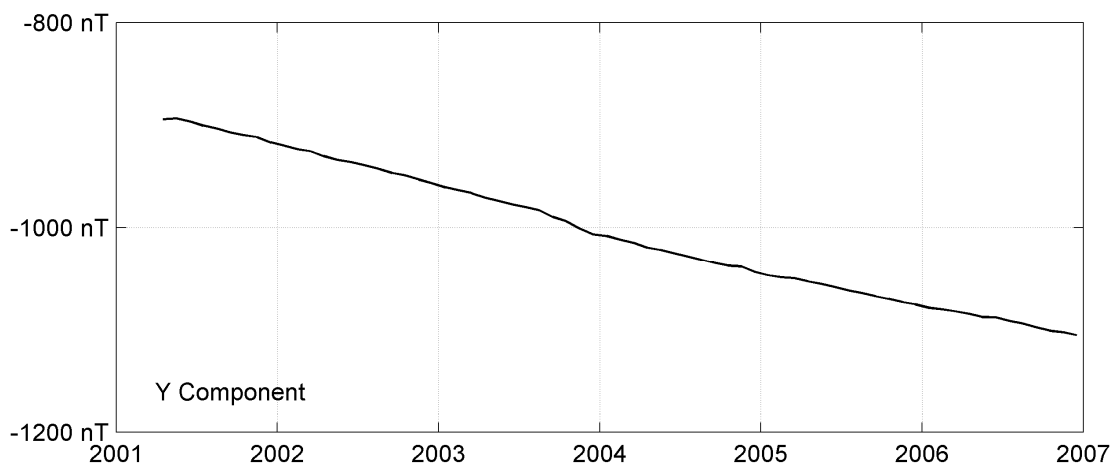
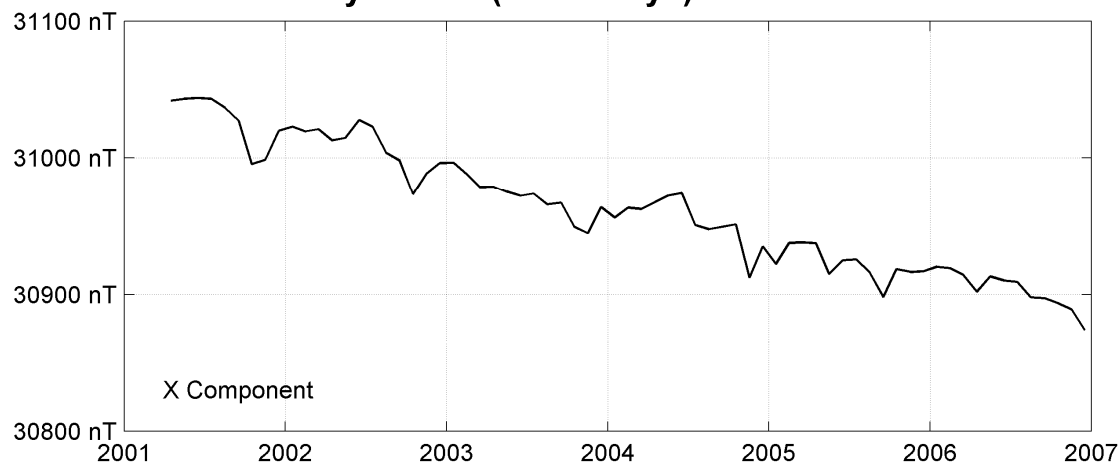
Notes :

1 Apr-Dec 2001

LANZHOU (LZH)
Monthly means (for all days) from 2001 to 2006



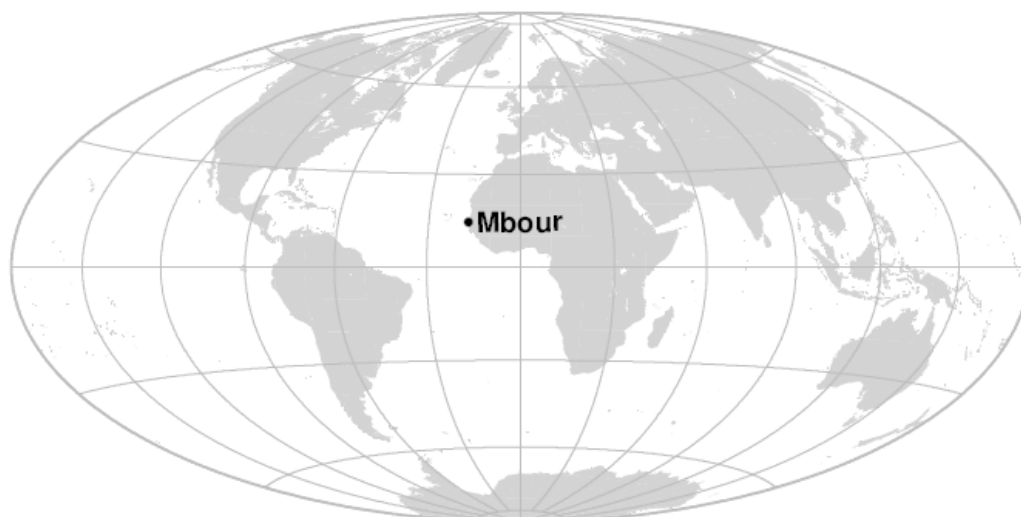
LANZHOU (LZH)
Monthly means (for all days) from 2001 to 2006



OBSERVATOIRE DE MBOUR (MBO)

MBOUR OBSERVATORY (MBO)

SÉNÉGAL / SENEGAL



PRÉSENTATION

L'Observatoire géophysique de Mbour a été créé par l'ORSTOM (aujourd'hui IRD) en 1952. Les variations lentes du champ magnétique terrestre y ont été enregistrées en permanence depuis le mois de mars 1952.

Les résultats de la première année d'observation ont été publiés dans le tome XXVII des « Annales de l'Institut de Physique du Globe de Paris et du Bureau Central de Magnétisme Terrestre » par Duclaux et Cecchini (1954). Les résultats des mesures ont continué à être publiés jusqu'en 1964 dans les Annales de l'Institut de Physique du Globe de Paris. Les années 1965 à 1981 ont été publiées dans la série « Observations magnétiques » de l'ORSTOM, et les années 1982 à 1991 dans les « Cahiers internes » de l'ORSTOM. Depuis 1987 le BCMT assure la publication des données.

Les enregistrements fournis par deux variographes Lacour ont été numérisés jusqu'en 1995. Depuis cette date les données minutes sont fournies par un variomètre à vanne de flux.

A ce jour, la série magnétique de Mbour comporte 2 sauts (Bitterly et al., 2005, 2008).

OBSERVATEURS

Tamsir DIOP (chef de station)
Aboubacry DIALLO (routine quotidienne et mesures absolues)

INSTRUMENTATION

Les mesures absolues ont été faites chaque jour ouvré à l'aide d'un DI-flux constitué d'un théodolite Zeiss 010B et d'un magnétomètre à vanne de flux EOST DImag88. La méthode de mesure était la « méthode du zéro » et les données étaient traitées à l'aide du logiciel GEOS (F. BONNAC, VSN IRD, Mbour).

Les variations magnétiques ont été enregistrées en continu par les instruments suivants :

- 1 magnétomètre triaxial à vanne de flux Thomson VFO31
- 1 magnétomètre scalaire de type Overhauser GEM SM90

PRESENTATION

The Mbour geophysical observatory was created by ORSTOM (now IRD) in 1952. Slow variations of the Earth's magnetic field have been continuously recorded there since March 1952.

Results from the first year of observation were published in tome 27 of "Annales de l'Institut de Physique du Globe de Paris et du Bureau Central de Magnétisme Terrestre" by Duclaux and Cecchini (1954). Results of measurements kept being published in "Annales de l'Institut de Physique du Globe de Paris" until 1964. Data from the years 1965 to 1981 were published by ORSTOM in the series of booklets "Observations magnétiques", and data from the years 1982 to 1991 were published in ORSTOM "Cahiers internes". Since 1987, the BCMT has been publishing the data from the Mbour magnetic observatory.

The recordings provided by two La Cour variographs were digitized until 1995. Since that date, one minute data have been produced by a fluxgate variometer.

To this date, the observatory series has undergone 2 jumps (Bitterly et al., 2005; 2008).

OBSERVERS

*Tamsir DIOP (head of station)
Aboubacry DIALLO (daily routine and absolute measurements)*

INSTRUMENTATION

Absolute measurements were made every working day with a DI-flux constituted of a theodolite Zeiss 010B and a fluxgate magnetometer EOST DImag88. The measurement method was the "null method" and data were processed using the GEOS software (F. BONNAC, VSN IRD, Mbour).

Magnetic variations were continuously recorded by the following instruments:

- 1 triaxial fluxgate magnetometer Thomson VFO31*
 - 1 Overhauser type scalar magnetometer GEM GSM19*
- The magnetometers were installed in a*

Les magnétomètres étaient installés dans un pavillon thermiquement isolé.

Les données ont été enregistrées sur disquette 3.5" par une acquisition GEOMAG M390 de type PC et transmises au centre d'information géomagnétique d'INTERMAGNET à Paris par satellite METEOSAT.

L'énergie était fournie par le réseau électrique local ou le groupe de secours.

TRAITEMENT DES DONNÉES

Toutes les observations ont été ramenées au piliers absolu de référence installé à environ 200m des capteurs. Le gradient entre ce piliers et les capteurs est très faible.

Les lignes de bases adoptées ont été obtenues en modélisant par une spline les écarts entre enregistrements continus et mesures absolues.

thermally insulated pavilion.

Data were acquired by a data logger GEOMAG M390 which is based on a PC system, recorded on floppy disk 3.5" and transmitted to the INTERMAGNET Geomagnetic Information Node in Paris via METEOSAT satellite.

The power was supplied by the local electric network or a generator.

DATA PROCESSING

All the observations were reduced to the absolute pillar, at a distance of about 200m from the sensors. The gradient between the pillar and the sensors is very weak.

The adopted baseline values were obtained by spline modelling of the difference between continuous recordings and absolute measurements.

Valeurs moyennes horaires disponibles / *Hourly mean values available* [2006] : 99.5%

Nombre de mesures absolues utilisées / *Number of used absolute measurements* [2006] : 192

Amplitudes pic-à-pic des lignes de base / *peak-to-peak baseline amplitudes* [2006] :

$$|D_{o, \min} - D_{o, \max}| = 13''$$

$$|Z_{o, \min} - Z_{o, \max}| = 2.3\text{nT}$$

$$|H_{o, \min} - H_{o, \max}| = 4.9\text{nT}$$

$$|F_{o, \min} - F_{o, \max}| = 0.5\text{nT}$$

Différences RMS entre valeurs de lignes de base mesurées et adoptées

Root mean square differences between measured and adopted baseline values [2006] :

$$(\Delta D_o)_{\text{rms}} = 3''$$

$$(\Delta Z_o)_{\text{rms}} = 0.3\text{nT}$$

$$(\Delta H_o)_{\text{rms}} = 0.1\text{nT}$$

$$(\Delta F_o)_{\text{rms}} = 0.1\text{nT}$$

Valeur RMS du résidu scalaire Fv-Fs / *RMS value of scalar residual Fv-Fs* [2006] :

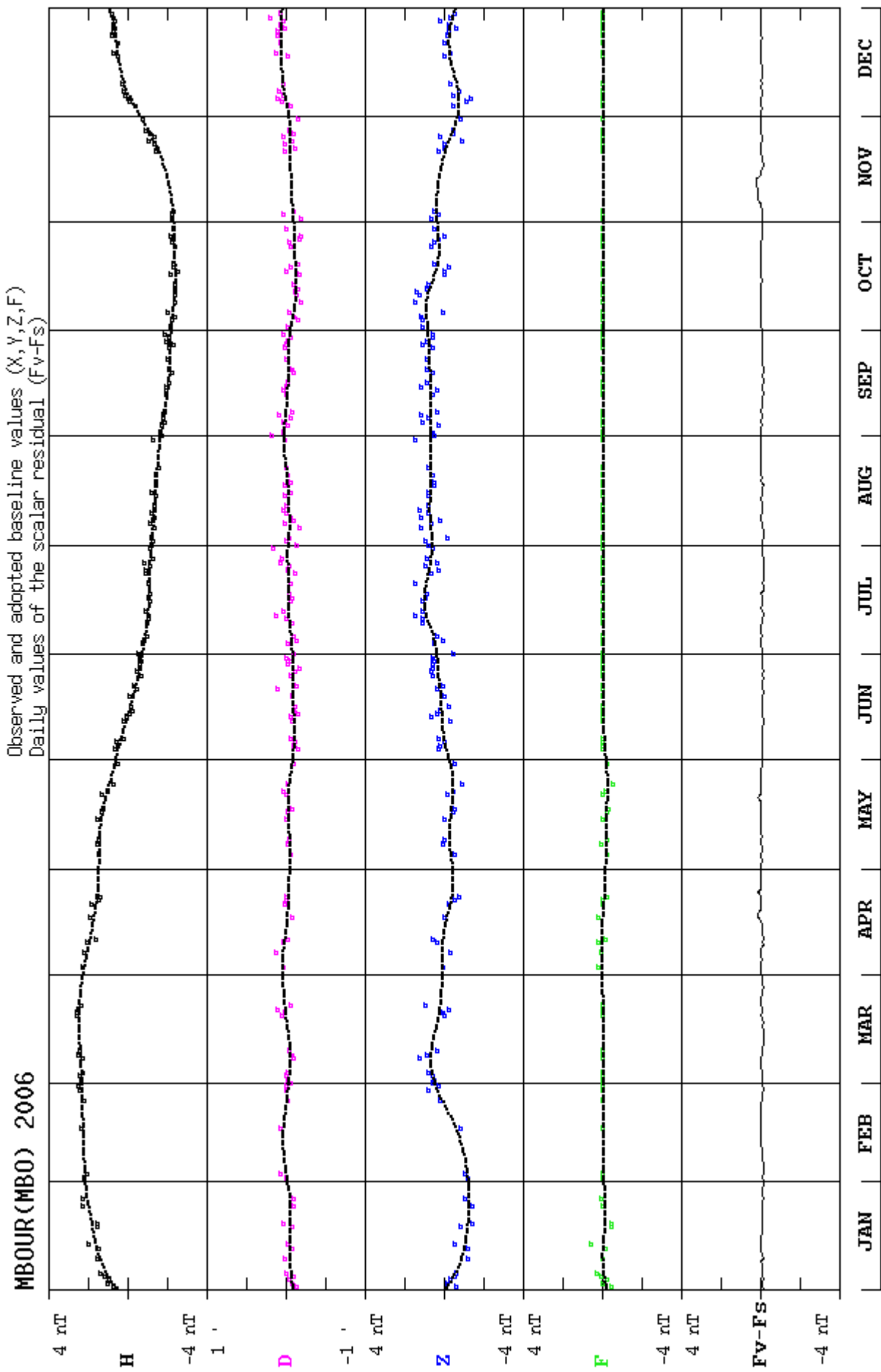
$$[\Delta(F_s - F_v)]_{\text{rms}} = 0.4\text{nT}$$

Observatoire géophysique IRD (ex-ORSTOM)

B.P. 50

Mbour - SÉNÉGAL

TEL.: +221 33 957 1044 - FAX.: +221 33 957 15 00

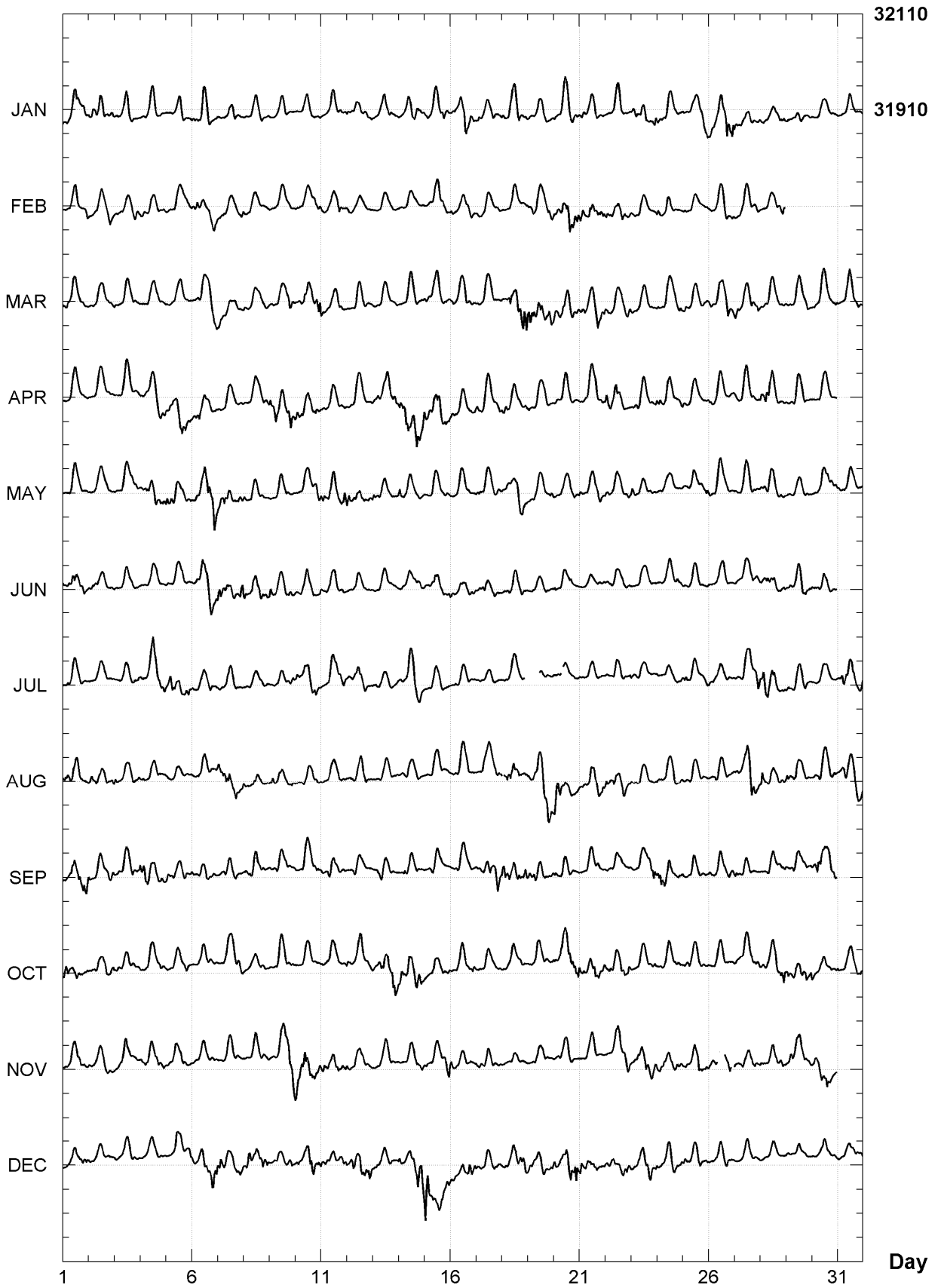


MBOUR (MBO)

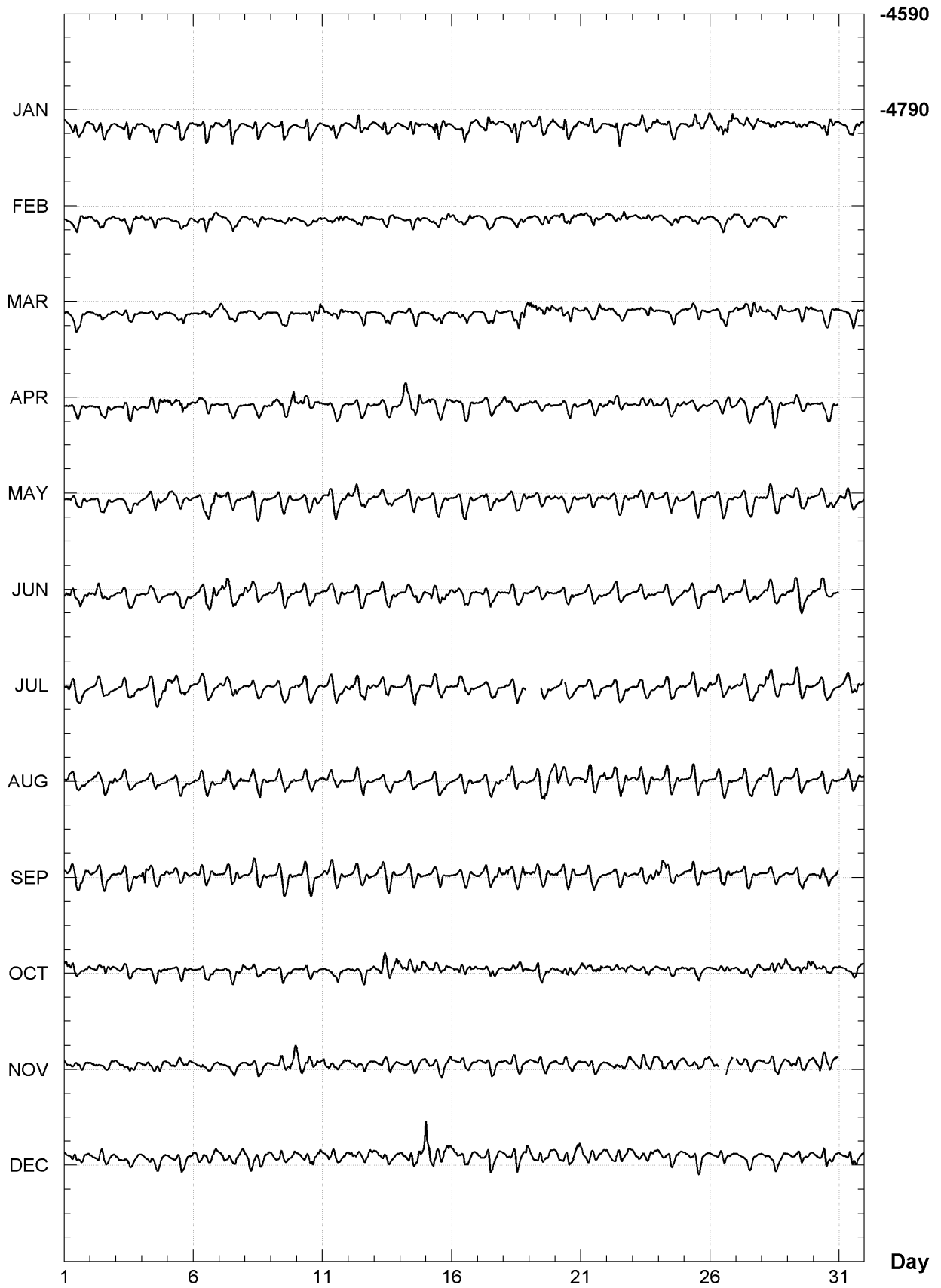
K indices, 2006 (K=9 for 260 nT)

DATE	JANUARY		FEBRUARY		MARCH		APRIL		MAY		JUNE	
01	3223	4222	0122	3213	3323	3211	0022	3101	0023	3211	2234	3333
02	3344	4323	2022	2233	1122	2122	1022	2211	2122	2212	2322	2211
03	2123	3220	1122	2133	2122	2221	0023	3212	1111	2222	2122	2111
04	1124	5311	3312	3112	1112	2221	1123	3333	2233	4333	1122	2210
05	0024	3211	1122	1132	1021	2201	3424	4432	3333	2212	1113	2211
06	3335	5322	3322	3234	1123	3333	2232	2212	2223	4555	2235	4444
07	2135	4311	2111	2223	3322	2112	2122	2102	3344	3233	4343	3335
08	1123	2211	3121	1111	2112	2211	2113	2222	3223	2111	4343	3333
09	1114	3210	1012	1121	1212	1242	4444	4455	1023	2222	4223	3222
10	0034	3211	1111	1223	2224	3335	4332	2332	0012	2223	2223	3222
11	1123	3221	3122	3322	3222	3221	2212	2212	3434	4234	2122	2222
12	2235	2112	2222	3211	1123	3310	1111	1111	4333	3322	2023	2212
13	1133	2221	1011	2221	1122	2211	2323	5533	3222	2222	1122	2111
14	1123	4321	1112	2112	1023	3222	4554	4544	3222	2222	1122	2323
15	2224	4333	1233	3333	3333	4321	4444	4443	1112	2222	2444	3333
16	2224	5433	3232	2221	2222	2322	3223	2322	1022	3221	3222	2233
17	2333	3122	2112	2111	1121	2112	3123	3113	2221	2222	2232	3221
18	2135	5422	1112	2121	2244	4456	3322	1112	2333	3432	1233	2222
19	2123	3223	3321	2233	6444	4344	2121	1211	2222	2223	2112	2110
20	2135	4322	3224	4544	4333	3444	1224	4311	1122	2222	3122	2211
21	3323	2110	4334	4333	2322	3433	2123	3422	3122	1232	1022	2212
22	1135	5312	4223	3322	3222	2233	4334	3211	3223	2223	2223	2211
23	3434	4224	2221	1101	2121	2212	1233	3212	3222	2121	1022	2211
24	2322	2112	3112	2120	2022	2223	3223	2113	1112	3211	0122	2121
25	3223	3233	2121	2111	2222	2221	3111	2111	2222	2223	2222	2201
26	3324	4544	1222	3223	2223	3343	2113	2220	2123	3111	1112	2211
27	3223	2332	2123	2112	4322	2323	1123	3321	2023	2212	1122	2223
28	2223	2132	1122	2223	1322	2221	4344	4122	2222	3222	2233	3133
29	2122	1112			1212	1223	1133	2111	1122	2122	3333	4322
30	1112	2110			2123	3222	0022	2110	1123	4432	2233	3211
31	1012	2211			1023	3322			3232	2212		
DATE	JULY		AUGUST		SEPTEMBER		OCTOBER		NOVEMBER		DECEMBER	
01	1322	2111	3333	3312	3133	3345	3443	3322	2212	3322	1122	2233
02	0122	2211	3323	4223	3122	2234	2132	3323	3112	2133	1121	2111
03	0122	2222	3122	2123	2233	2212	1222	2221	2224	3220	2112	2211
04	2235	5434	1112	2211	4533	2332	1122	2322	2323	2322	1022	2211
05	3433	2234	2111	3220	3222	2332	1122	2122	0223	3221	0025	3223
06	3233	2222	1122	2222	3233	3221	0023	2211	1112	1122	2335	4353
07	2122	2321	4355	3433	1133	3221	1122	2444	0112	3110	5433	3323
08	1121	1211	3333	3221	2234	3221	3223	2221	1123	3111	3443	4343
09	1021	1124	3333	3222	2233	2211	2233	3222	2012	3445	2222	2224
10	3333	3342	1123	2222	1123	2222	2112	1111	5335	4333	2323	4423
11	1123	3333	2122	2211	3234	3212	2122	3212	4333	3333	4332	2224
12	3234	4222	2232	3221	2123	2122	3213	3313	3222	2211	3433	4444
13	2222	2112	1022	1211	1234	2220	3234	3354	0011	2201	3311	2112
14	2235	5432	1022	3210	1122	2221	4334	2444	0112	2223	3223	5567
15	0222	2211	1123	2221	0112	2211	2223	2222	3222	2223	7554	4344
16	0222	3211	1123	3222	1122	2211	2133	3233	4221	2211	2322	3344
17	1112	2221	0232	3223	2233	4254	1112	3212	2212	2211	3224	3221
18	1212	212-	-334	3323	4333	3344	2112	1221	1112	2211	1223	3444
19	----	1211	2235	6555	3333	3212	1233	2211	1223	2212	3323	3222
20	12-3	2111	5532	3222	2233	2110	3243	4444	1122	3210	4233	4445
21	1122	2210	2333	2324	1022	2211	4323	3443	2012	2111	4333	3322
22	1222	2113	3344	3432	0122	2121	3322	3333	1023	3244	3334	4243
23	2123	1212	2232	2121	1133	2344	2012	2222	2233	3324	2233	3433
24	2022	3212	2133	2222	4544	4223	0123	3222	3333	2233	2223	3333
25	3232	2213	1133	2111	2234	3211	2222	2110	2223	3443	3223	3312
26	3232	2221	1122	2121	2123	3223	1112	1210	333-	--3-	1123	3221
27	2122	3334	2234	5543	3133	2210	2223	3223	2222	2231	1112	2110
28	6543	3212	4333	3222	1022	2123	2233	3234	2113	3222	1012	1111
29	2233	1221	3233	2221	2133	3331	3223	3334	2323	2222	2122	2211
30	1222	2212	2233	2322	2444	3333	3223	2221	2334	4321	2114	3211
31	2435	4334	1233	3333			2021	2223			1123	3212

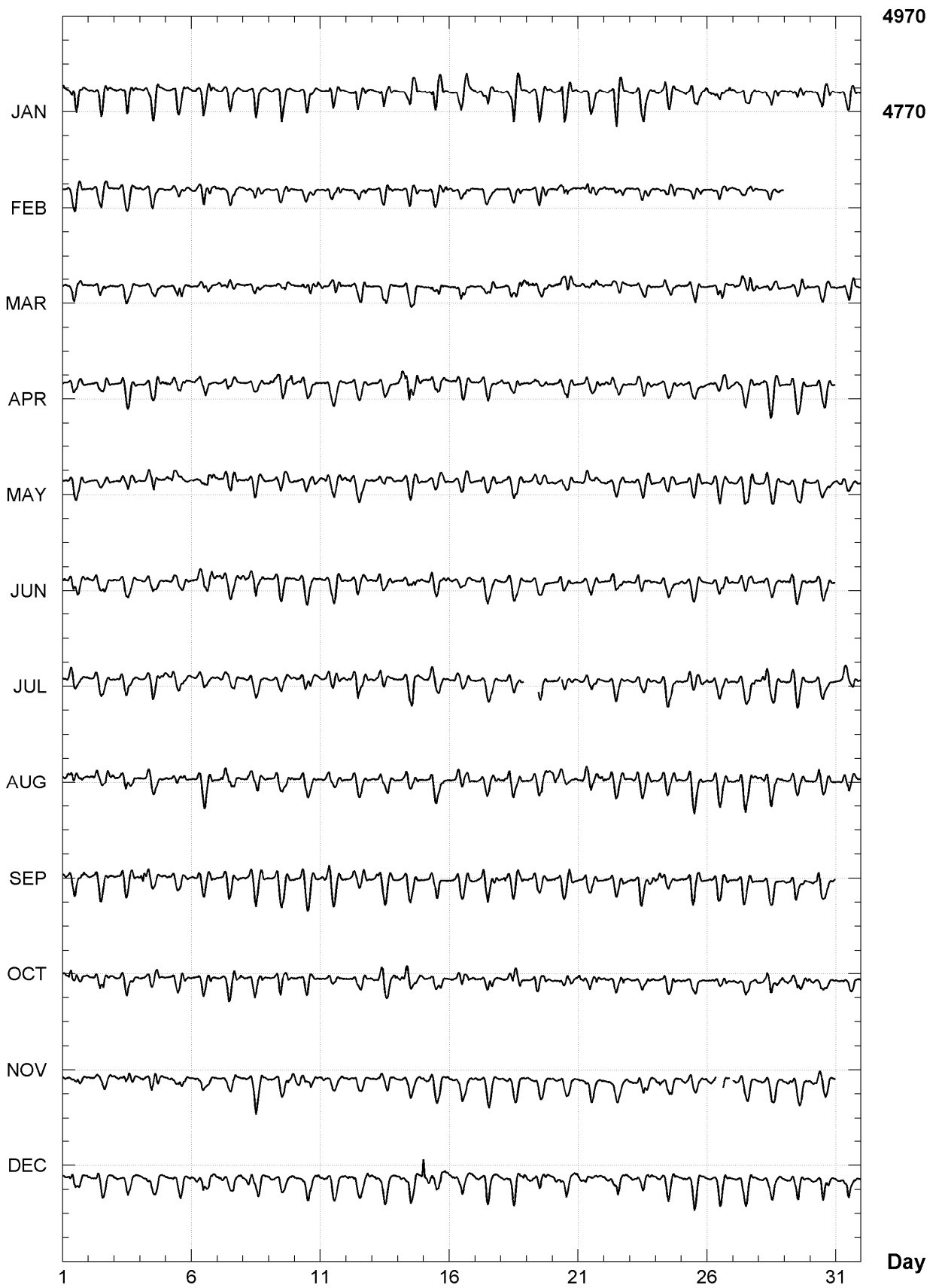
MBOUR (MBO)
Hourly mean values: X component (nT), 2006



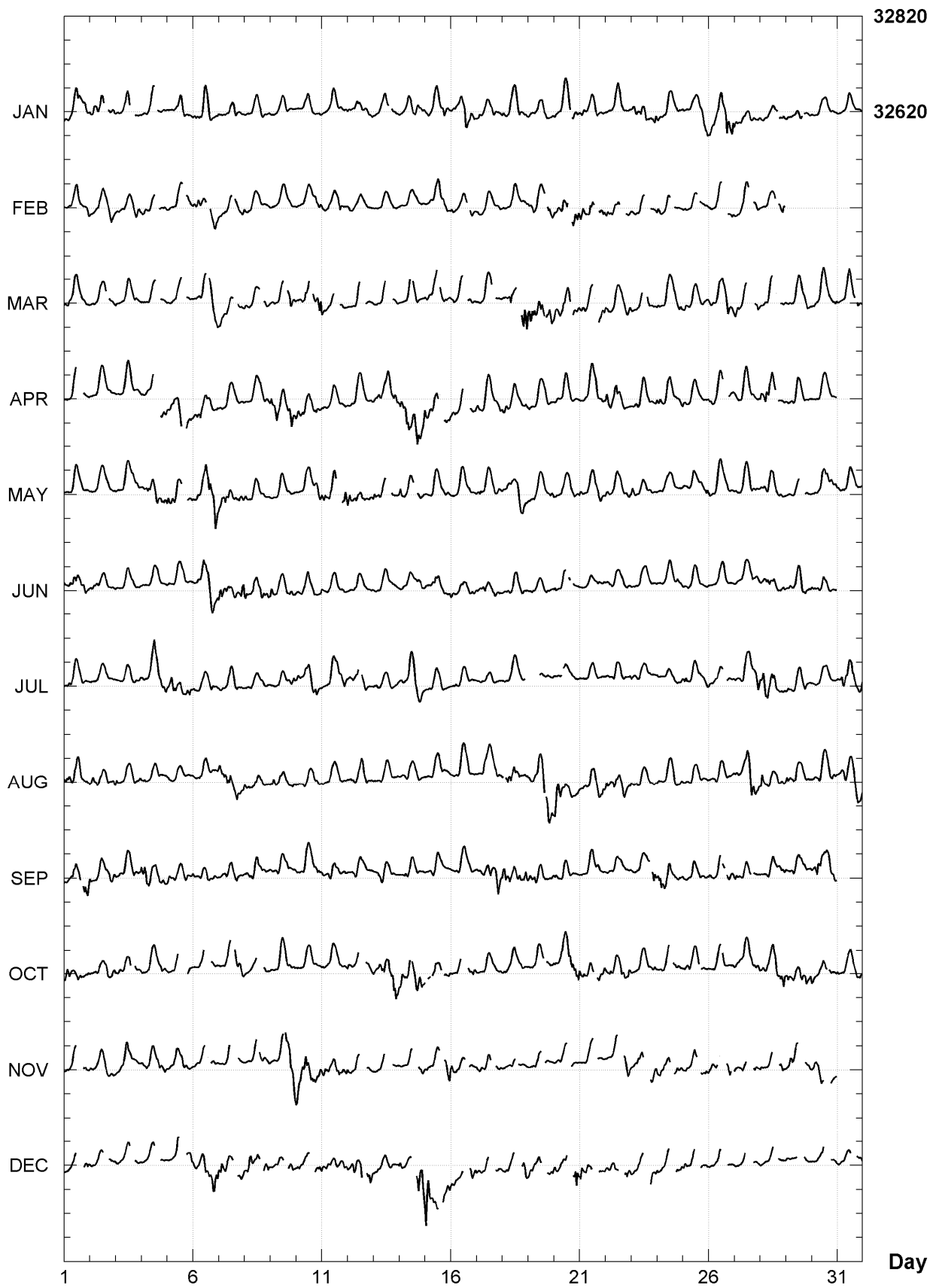
MBOUR (MBO)
Hourly mean values: Y component (nT), 2006



MBOUR (MBO)
Hourly mean values: Z component (nT), 2006



MBOUR (MBO)
Hourly mean values: total field F (nT), 2006



Day

MBOUR (MBO)

Monthly and annual mean values, 2006

Date	D		I		H	X	Y	Z	F	J	ELE
	°	'	°	'	nT	nT	nT	nT	nT		
JAN	351	24.0	8	28.6	32267	31904	-4825	4809	32623	A	HDZF
FEB	351	24.7	8	28.1	32270	31908	-4819	4804	32626	A	HDZF
MAR	351	25.1	8	27.9	32273	31912	-4815	4803	32628	A	HDZF
APR	351	25.9	8	27.5	32266	31906	-4807	4799	32621	A	HDZF
MAY	351	26.3	8	27.0	32277	31918	-4805	4795	32631	A	HDZF
JUN	351	26.9	8	26.0	32280	31921	-4800	4786	32633	A	HDZF
JUL	351	27.4	8	25.3	32283	31925	-4796	4779	32635	A	HDZF
AUG	351	28.0	8	24.6	32279	31922	-4789	4773	32630	A	HDZF
SEP	351	28.5	8	23.5	32285	31928	-4786	4763	32634	A	HDZF
OCT	351	28.8	8	22.7	32287	31931	-4783	4756	32635	A	HDZF
NOV	351	29.3	8	21.5	32286	31930	-4779	4744	32633	A	HDZF
DEC	351	29.8	8	21.0	32273	31918	-4773	4737	32619	A	HDZF
2006	351	27.1	8	25.3	32277	31919	-4798	4779	32629	A	HDZF
JAN	351	23.8	8	28.3	32271	31908	-4828	4807	32627	Q	HDZF
FEB	351	24.8	8	27.9	32277	31915	-4819	4804	32632	Q	HDZF
MAR	351	24.9	8	27.5	32279	31917	-4819	4801	32634	Q	HDZF
APR	351	25.6	8	27.0	32285	31924	-4813	4797	32639	Q	HDZF
MAY	351	26.3	8	26.6	32280	31920	-4806	4792	32634	Q	HDZF
JUN	351	27.1	8	25.9	32287	31928	-4800	4786	32640	Q	HDZF
JUL	351	27.3	8	25.1	32287	31929	-4797	4778	32639	Q	HDZF
AUG	351	28.1	8	24.5	32287	31930	-4790	4772	32638	Q	HDZF
SEP	351	28.4	8	23.2	32295	31938	-4788	4761	32644	Q	HDZF
OCT	351	28.7	8	22.6	32297	31940	-4786	4756	32645	Q	HDZF
NOV	351	29.2	8	21.2	32297	31941	-4781	4742	32643	Q	HDZF
DEC	351	29.8	8	20.6	32289	31934	-4775	4735	32634	Q	HDZF
2006	351	27.0	8	25.0	32286	31927	-4800	4778	32637	Q	HDZF
JAN	351	24.1	8	28.6	32258	31896	-4823	4807	32614	D	HDZF
FEB	351	24.9	8	28.4	32262	31900	-4816	4807	32618	D	HDZF
MAR	351	25.3	8	28.4	32259	31898	-4812	4806	32615	D	HDZF
APR	351	26.0	8	28.4	32240	31880	-4803	4803	32595	D	HDZF
MAY	351	26.2	8	27.3	32264	31904	-4805	4796	32619	D	HDZF
JUN	351	26.9	8	26.5	32273	31914	-4799	4789	32626	D	HDZF
JUL	351	27.7	8	25.5	32275	31917	-4792	4781	32627	D	HDZF
AUG	351	28.0	8	25.0	32264	31906	-4787	4774	32615	D	HDZF
SEP	351	28.5	8	24.1	32273	31916	-4784	4766	32623	D	HDZF
OCT	351	29.0	8	23.2	32268	31912	-4778	4757	32617	D	HDZF
NOV	351	29.2	8	21.9	32269	31914	-4777	4745	32616	D	HDZF
DEC	351	29.7	8	21.5	32251	31897	-4769	4738	32597	D	HDZF
2006	351	27.1	8	25.7	32263	31905	-4795	4781	32615	D	HDZF

A: Tous les jours/ All days

Q: Jours calmes/ Quiet days

D: Jours perturbés/ Disturbed days

ELE: Elements enregistrés/ Recorded elements

MBOUR (MBO)
Annual mean values, 1952 - 2006

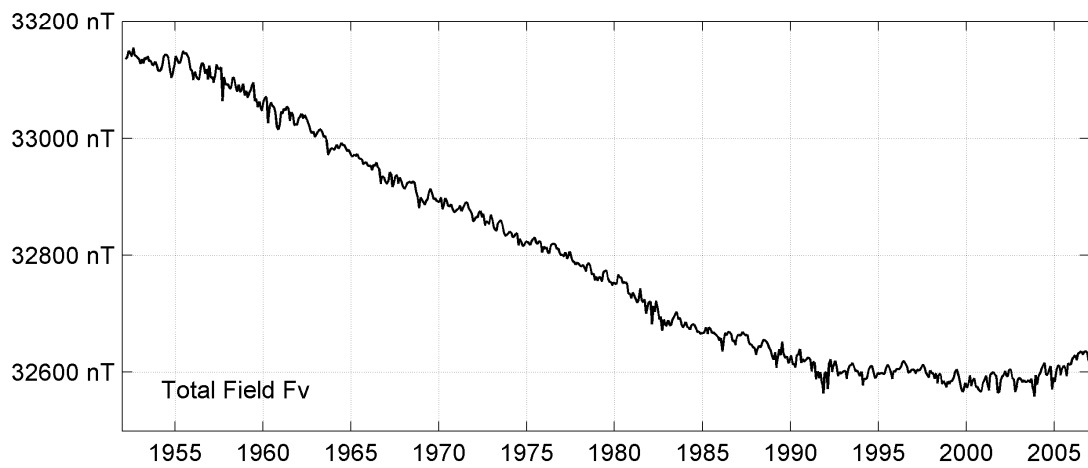
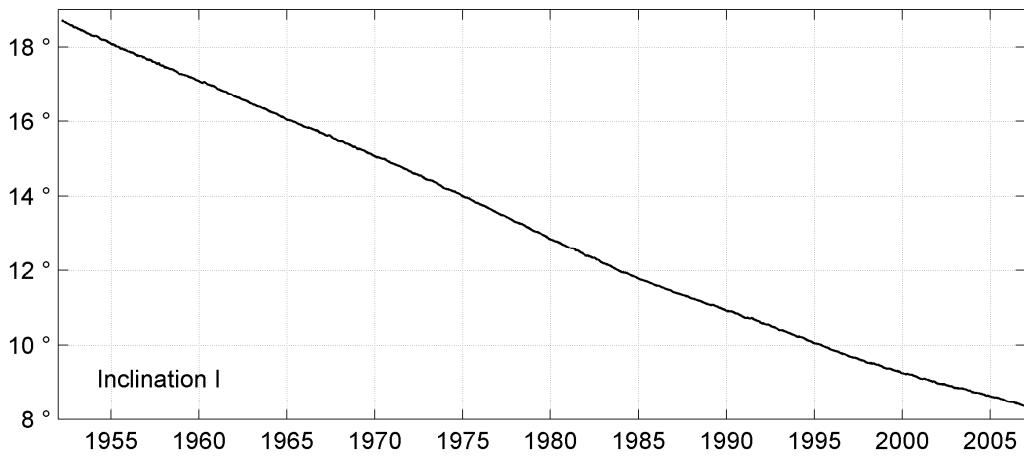
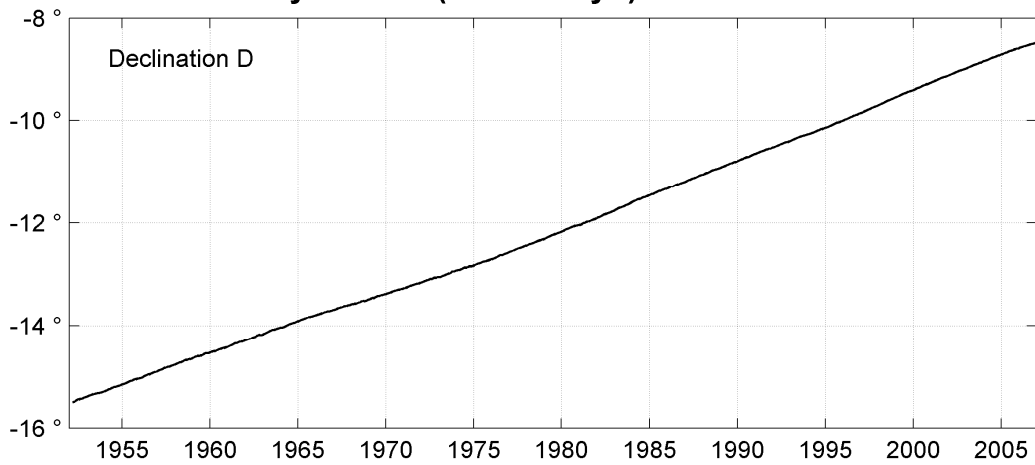
Date	D		I		H	X	Y	Z	F	ELE	Note
	°	'	°	'	nT	nT	nT	nT	nT		
1952.6	344	33.2	18	41.3	31478	30340	-8384	10647	33229	HDZ	1
1953.5	344	39.7	18	28.8	31506	30383	-8334	10530	33219	HDZ	
1954.5	344	46.8	18	16.8	31536	30429	-8279	10417	33212	HDZ	
1955.0	0	00.0	0	04.7	0	0	0	48	15	HDZ	2
1955.5	344	54.5	17	58.7	31586	30497	-8224	10250	33207	HDZ	
1956.0	0	00.0	-0	00.1	70	68	-18	22	73	HDZ	3
1956.5	345	02.0	17	47.1	31529	30460	-8142	10114	33111	HDZ	
1957.5	345	10.1	17	35.1	31556	30505	-8077	10001	33103	HDZ	
1958.5	345	17.8	17	22.6	31577	30543	-8015	9882	33087	HDZ	
1959.5	345	24.8	17	11.1	31593	30575	-7956	9771	33069	HDZ	
1960.5	345	31.3	17	00.1	31602	30598	-7901	9663	33046	HDZ	
1961.5	345	38.8	16	47.3	31631	30644	-7841	9543	33039	HDZ	
1962.5	345	46.1	16	34.4	31653	30682	-7782	9420	33025	HDZ	
1963.5	345	53.8	16	22.1	31660	30706	-7715	9300	32998	HDZ	
1964.5	346	00.9	16	09.6	31681	30742	-7656	9180	32984	HDZ	
1965.5	346	08.6	15	57.1	31695	30773	-7591	9060	32965	HDZ	
1966.5	346	15.0	15	46.1	31705	30796	-7536	8953	32944	HDZ	
1967.5	346	21.2	15	34.1	31720	30824	-7483	8838	32928	HDZ	
1968.5	346	27.1	15	22.8	31734	30851	-7435	8729	32913	HDZ	
1969.5	346	33.6	15	10.6	31749	30880	-7379	8612	32896	HDZ	
1970.5	346	40.1	14	58.5	31768	30912	-7325	8497	32885	HDZ	
1971.5	346	46.8	14	46.1	31792	30949	-7271	8381	32878	HDZ	
1972.5	346	53.6	14	32.9	31809	30981	-7213	8255	32863	HDZ	
1973.5	347	00.0	14	20.0	31824	31008	-7159	8132	32846	HDZ	
1974.5	347	07.0	14	06.7	31837	31036	-7098	8004	32828	HDZ	
1975.5	347	13.8	13	53.3	31861	31073	-7042	7878	32821	HDZ	
1976.5	347	21.3	13	39.7	31883	31109	-6979	7749	32811	HDZ	
1977.5	347	29.4	13	25.7	31898	31140	-6910	7616	32794	HDZ	
1978.5	347	37.1	13	12.1	31909	31167	-6842	7485	32775	HDZ	
1979.5	347	45.3	12	58.0	31925	31199	-6771	7351	32761	HDZ	
1980.5	347	53.8	12	44.1	31944	31234	-6698	7220	32750	HDZ	
1981.5	348	01.0	12	31.4	31945	31248	-6633	7096	32723	HDZ	
1982.5	348	09.7	12	18.4	31946	31266	-6553	6969	32697	HDZ	
1983.5	348	18.8	12	04.7	31965	31303	-6475	6840	32689	HDZ	
1984.5	348	28.1	11	52.4	31976	31331	-6392	6723	32675	HDZ	
1985.5	348	36.2	11	41.0	31990	31359	-6321	6616	32667	HDZ	
1986.5	348	44.0	11	30.5	32001	31384	-6252	6516	32657	HDZ	
1987.5	348	52.1	11	19.9	32019	31417	-6181	6417	32656	HDZ	
1988.5	349	00.3	11	10.0	32025	31437	-6108	6322	32643	HDZ	
1989.5	349	08.2	11	00.6	32026	31452	-6036	6231	32627	HDZ	
1990.5	349	16.3	10	50.7	32039	31479	-5964	6137	32622	HDZ	
1991.5	349	24.4	10	40.9	32035	31489	-5889	6043	32600	HDZ	
1992.5	349	32.0	10	30.3	32057	31523	-5823	5945	32603	HDZ	
1993.5	349	39.9	10	19.5	32075	31555	-5754	5844	32603	HDZ	
1994.5	349	47.3	10	09.0	32086	31578	-5688	5745	32596	HDZ	
1995.5	349	55.3	9	58.0	32109	31613	-5619	5643	32601	HDZF	
1996.5	350	03.8	9	47.1	32133	31651	-5544	5541	32607	HDZF	
1997.5	350	12.7	9	37.2	32144	31676	-5465	5449	32602	HDZF	
1998.5	350	21.9	9	28.5	32144	31690	-5380	5364	32588	HDZF	
1999.5	350	30.9	9	19.5	32154	31714	-5298	5280	32585	HDZF	
2000.5	350	39.4	9	11.4	32160	31733	-5221	5203	32578	HDZF	
2001.5	350	47.9	9	03.2	32180	31766	-5146	5128	32586	HDZF	
2002.5	350	56.1	8	55.3	32197	31794	-5072	5055	32591	HDZF	
2003.5	351	04.0	8	49.1	32197	31807	-5000	4995	32582	HDZF	

2004.5	351	12.4	8	41.2	32224	31845	-4927	4923	32598	HDZF
2005.5	351	20.2	8	33.8	32241	31874	-4857	4855	32605	HDZF
2006.5	351	27.1	8	25.3	32277	31919	-4798	4779	32629	HDZF

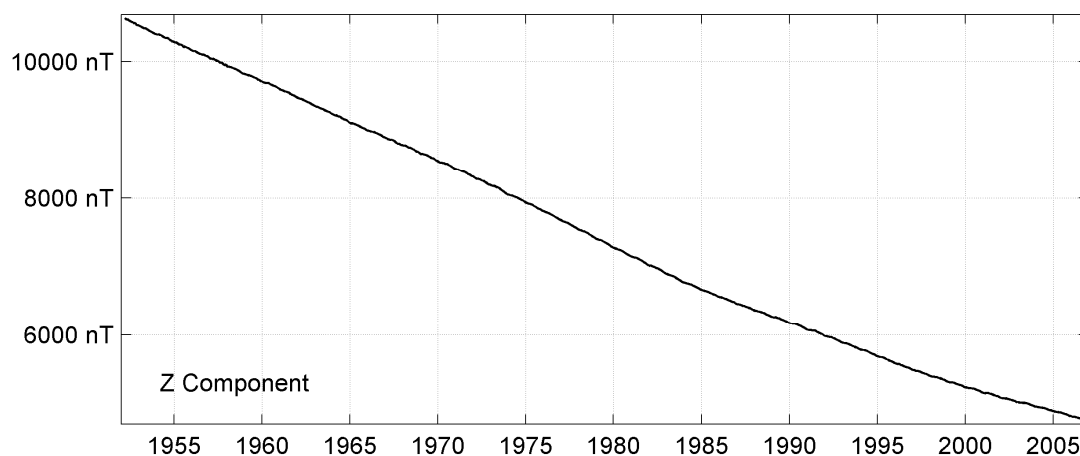
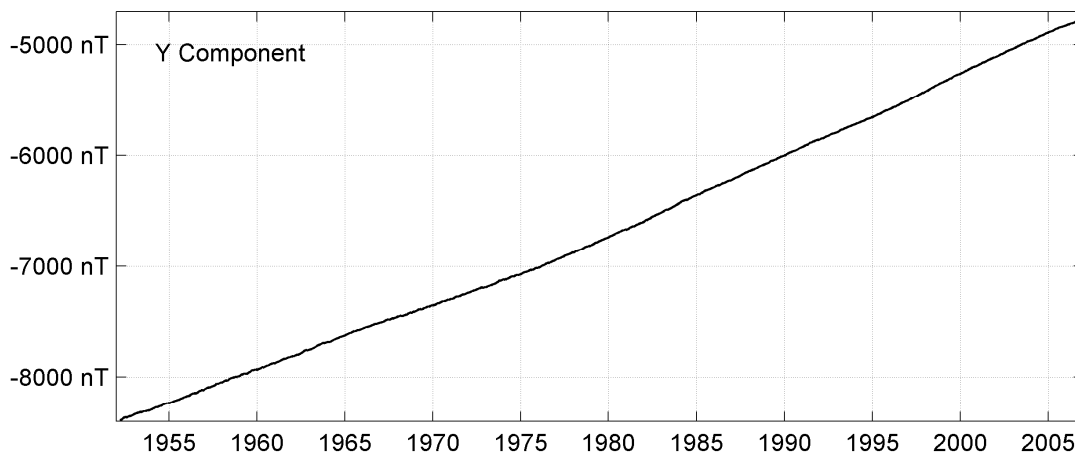
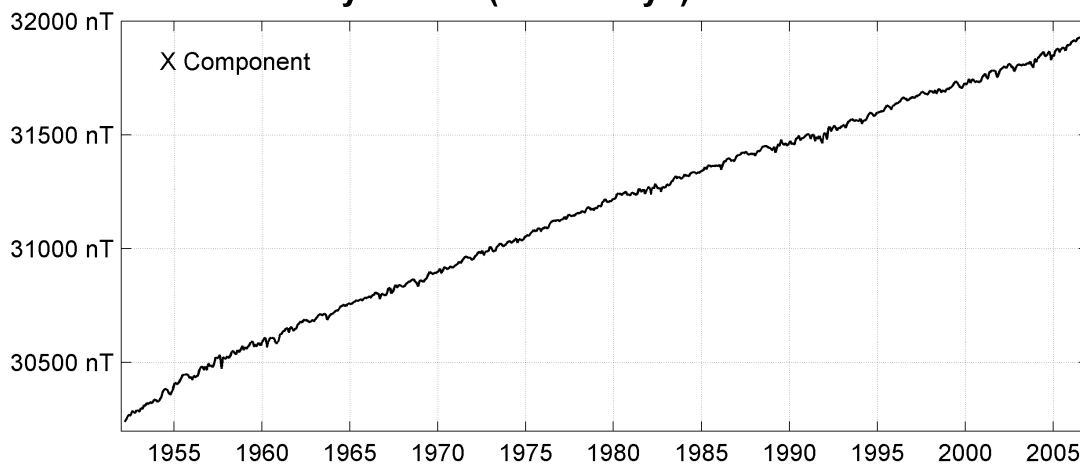
Notes :

- 1 Mar-Dec 1952
- 2 1955.0 Jump of unknown origin
- 3 1956.0 QHM and BMZ change

MBOUR (MBO)
Monthly means (for all days) from 1952 to 2006



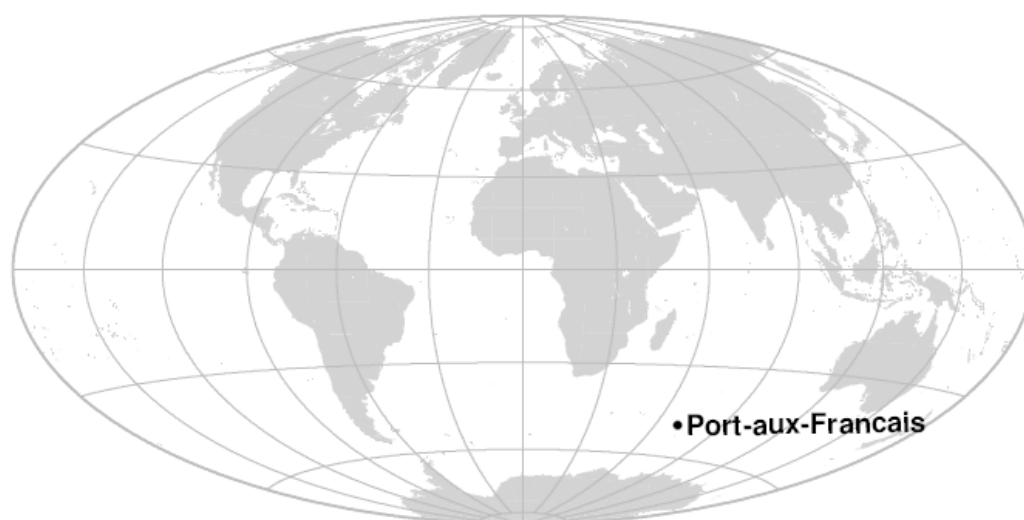
MBOUR (MBO) Monthly means (for all days) from 1952 to 2006



OBSERVATOIRE DE PORT-AUX-FRANÇAIS (PAF)

PORT-AUX-FRANÇAIS OBSERVATORY (PAF)

ÎLES KERGUELEN / *KERGUELEN ISLANDS*



PRÉSENTATION

Le premier observatoire magnétique mentionné dans l'archipel des Kerguelen fut établi dans le site de la baie de l'observatoire (49.420 S - 69.889 E) par l'expédition allemande « D.S.P ». Des mesures régulières furent effectuées par K. Luyken en 1902-1903.

L'observatoire magnétique de Kerguelen (code AIGA KGL) a été ouvert en 1957 à l'occasion de l'Année Géophysique Internationale (Schlich, 1962). Il se trouvait initialement près de la base de Port-Aux-Français établie dans la basse plaine de la péninsule Courbet, à l'est de l'île. L'observatoire était installé sur le flanc ouest d'une petite vallée, à 300 mètres des bâtiments principaux. Il comprenait deux abris, l'un pour le magnétomètre La Cour et l'autre pour les mesures absolues. Le pilier des mesures absolues avait pour coordonnées 49.352 S - 70.215 E. Les mesures comprenaient l'enregistrement continu des variations des composantes H, D, Z du champ avec le magnétographe La Cour et des mesures absolues avec un théodolite Chasselon, un inclinomètre de Cambridge, une B.M.Z. et un Q.H.M.

Les coulées de basalte qui affleurent le long de la ligne de côte et tout autour de la base de Port-Aux-Français créent une forte hétérogénéité du champ au voisinage des abris du magnétisme. L'observatoire fonctionna de cette manière jusqu'en 1966.

En 1967, furent installés, dans un nouvel abri régulé en température, deux magnétomètres photoélectriques à contre-réaction pour l'enregistrement des composantes H et D, et un magnétomètre à pompage optique Varian à vapeur de Césium. Les éléments H, D, F furent enregistrés sur ruban perforé à la cadence d'une valeur par minute. Ce dispositif fonctionna jusqu'en 1971, tandis que les mesures absolues continuaient à être effectuées à l'aide des instruments traditionnels (théodolite Chasselon, Q.H.M., B.M.Z.), complétés cependant par un magnétomètre à protons ELSEC à prépolarisation.

En 1972, fut installé un variomètre triaxial fluxgate VFO31, associé à un dispositif d'enregistrement sur bande magnétique de faible consommation

PRESENTATION

The first magnetic observatory operated in the Kerguelen Islands was set up in the site of Observatory Bay (49.420 S - 69.889 E) by the German Expedition "D.S.P". K.Luyken was the observer and made steady absolute measurements during the years 1902-1903.

In 1957, during the International Geophysical Year (IGY), the Kerguelen observatory (IAGA code KGL) was opened near the Port-aux-Français base located on the shallow plain of the Courbet Peninsula, eastward of Kerguelen Island. The magnetic observatory was setup on the western side of a small valley, 300 meters away from the main buildings of the base. This observatory comprised two huts. One housed the "La Cour" magnetometer, and the other one the absolute pier (49.352 S - 70.215 E). Magnetic observation routine comprised continuous recording of the magnetic field variations (H, D, Z) with the La Cour magnetometer and absolute measurements performed with a Chasselon theodolite, a Cambridge inclinometer, a B.M.Z. and a Q.H.M.

Large magnetic anomalies exist around absolute and variometer shelters, being caused by the basaltic flows which outcrop near the coast line and everywhere around Port-aux-Français. The observatory was operated in this way until 1966.

In 1967, two photoelectric feedback field magnetometers (H and D components) and an optical pumping magnetometer (Cesium vapor supplied by Varian) were set up in a new shelter with controlled heating. A digital punched tape recorder was used to sample the H, D and F components at 1-minute sampling rate. This device was running until 1971 whereas absolute measurements were still performed by means of classical instruments (Chasselon theodolite, Q.H.M., B.M.Z.), completed by an ELSEC proton precession magnetometer.

In 1972, a triaxial VFO31 fluxgate magnetometer (H, D and Z) was installed at KGL observatory, associated to a low-power device for digital recording on magnetic tape. The La Cour magnetometer was definitively removed

électrique. Le magnétographe La Cour fut définitivement arrêté en 1981 après avoir fonctionné de manière interrompue pendant plus de 20 ans. En 1988, fut installé un nouveau dispositif d'acquisition fondé sur l'architecture d'un PC.

En 1988, pour des raisons logistiques, l'observatoire fut déménagé en un site différent, environ 3 km à l'est du précédent. Un nouvel abri de mesures absolues fut installé sur une dalle en béton amagnétique, et un nouvel abri des variomètres à proximité. Ces abris sont chauffés à une température constante de 18°C. Le champ magnétique est plus homogène dans ce nouveau site. Par exemple, à l'emplacement des mesures absolues, les gradients de champ total sont inférieurs à 20nT/mètre dans toutes les directions. Les repères de l'observatoire ont donc changé à partir du 01/01/1988. Les coordonnées du pilier sont désormais : 49,353°S et 70,262°E. Le code IAGA de l'observatoire a également été changé pour bien marquer cette nouvelle installation : "PAF" en remplacement de "KGL".

Il existe des différences importantes pour les valeurs des éléments du champ magnétique terrestre mesurés à l'ancien et au nouveau site, ces différences s'expliquant par les anomalies créées par les roches basaltiques. Néanmoins on a vérifié, de 1988 à 1998, que les différences déterminées pour chaque élément sont restées constantes. Le raccordement des mesures effectuées sur l'ancien pilier de mesures (appelé P72) et sur le nouveau pilier (1988) a été étudié dans le bulletin n°2 du BCMT.

L'observatoire de Port-aux-Français a rejoint en 1992 le réseau INTERMAGNET, les données sont transmises via le satellite METEOSAT au GIN de Paris.

Les instruments utilisés pour les mesures absolues ont également évolué au cours du temps. A partir de 1980, les mesures absolues ont été effectuées avec un DI-flux qui mesure les composantes D et I, et un magnétomètre à protons pour les mesures de F.

in 1981, after more than twenty years continuous working.

In 1988 a new digital data logger was developed based upon a PC architecture.

In 1988, for logistic reasons, the observatory was moved approximately 3 km eastwards to the former location. A new absolute hut was built up on an amagnetic concrete slab. The variometer shelter moved there as well. Both shelters are heated at a constant temperature of 18°C. The field is more homogeneous in this new place. For instance, on the absolute pier, the total field gradient is lesser than 20nT/meter in every direction. The observatory reference changed accordingly. Since 1 January 1988, the position of the absolute pillar is: 49,353°S et 70,262°E. The new observatory was named Port-aux-Francais (IAGA code PAF)

Due to the strong crustal field, the field measured at the new place is quite different from the former one. However, measurements performed steadily from 1988 to 1998 have shown that the difference has remained constant. The adjustment between old (P72) and new sites has been described in BCMT report n°2.

An equipment for the INTERMAGNET program was added in 1992. It includes a data collection platform (DCP) for transmission via METEOSAT satellite to the GIN's of Paris.

Instruments for absolute measurements evolved likewise since the opening. From 1981 onwards the EOPG (now EOST) DI-flux has been used in order to measure D and I. Total field F measurements have been performed on the reference pier with a proton magnetometer. The instrument and pier changes induced five jumps (Bitterly et al., 2005; 2008).

Les changements d'appareillage et de pilier ont induit cinq discontinuités (Bitterly et al., 2005 ; 2008).

OBSERVATEUR

Olivier HARANT

INSTRUMENTATION

Comme l'indique la partie historique ci-dessus, l'équipement est actuellement le même que celui qui a été précédemment décrit pour l'observatoire d'Amsterdam aussi bien pour les mesures absolues que pour l'enregistrement continu du champ.

La seule différence est la sensibilité des sondes fluxgate qui est de 2.5 mV/nT

La stabilité du pilier du variomètre triaxial est vérifiée périodiquement à l'aide de niveaux. Ces contrôles montrent que le pilier est parfaitement stable.

PROTOCOLE DES MESURES, TRAITEMENT DES DONNÉES ET PRECISION

En 2006, les mesures absolues de D et I ont été effectuées tous les trois jours en moyenne.

La méthode de calcul des valeurs de base adoptées H0, D0, Z0, F0 est la même que pour l'observatoire d'Amsterdam et les incertitudes estimées prennent les mêmes valeurs. Les lignes de base sont beaucoup plus constantes que dans les autres observatoires de AMS, CZT et DRV, en raison de la plus faible influence de l'aimantation des roches sous-jacentes.

INCIDENTS

Le variomètre VFO31 a connu quelques pannes sérieuses principalement sur les composantes Est-Ouest et vertical, du 29 avril jusqu'au remplacement du variomètre VFO le 6 septembre par un modèle FGE du Danish Meteorological Institute (DMI) . Ainsi, les données sur cette période doivent être utilisées avec précaution. De même, les lignes de base sont perturbées par de fréquents sauts durant cette période. La situation redevient stable après le 6 septembre mais n'ai pas rétablie de façon véritablement satisfaisante avant le 16 décembre date de la recalibration du FGE.

OBSERVER

Olivier HARANT

INSTRUMENTATION

According to the historical evolution outlined above, the instrumentation is currently the same as in Amsterdam observatory, for absolute measurements as well as for continuous record. The sensitivity of the triaxial magnetometer is reduced to 2.5mV/nT

The stability of the pillar supporting the triaxial magnetometer is controlled by means of levels. The measurements do not reveal any instability.

MEASUREMENT PROTOCOL, DATA PROCESSING AND ACCURACY

In 2006, absolute measurements of D and I were performed on average every 3 days.

The adopted base lines H0, D0, Z0, F0 are computed in the same way as in the observatory of Amsterdam, with the same accuracy. The stability of the base lines is much better than in AMS, CZT and DRV, thanks to a weaker influence of the bedrock magnetization.

FAILURES

The VFO31 underwent serious failures, mainly in the horizontal E-W and vertical components, from April 29 onwards until it could be replaced September 6 by a suspended FGE manufactured by the Danish Meteorological Institute. Therefore, the data should be used with caution in this time range. Accordingly, the base lines are disturbed. They exhibit an usual magnitude, which compensates the numerous jumps in the variometer data. The situation improved after September 6 but could not be restored satisfyingly before December 16, after a recalibration of the FGE.

Valeurs moyennes horaires disponibles / *Hourly mean values available* [2006] : 99.4%

Nombre de mesures absolues utilisées / *Number of used absolute measurements* [2006] : 216

Amplitudes pic-à-pic des lignes de base / *peak-to-peak baseline amplitudes* [2006] :

$$|D_{o, \min} - D_{o, \max}| = 600''$$

$$|Z_{o, \min} - Z_{o, \max}| = 3.1 \text{ nT}$$

$$|H_{o, \min} - H_{o, \max}| = 7.2 \text{ nT}$$

Différences RMS entre valeurs de lignes de base mesurées et adoptées

Root mean square differences between measured and adopted baseline values [2006] :

$$(\Delta D_o)_{\text{rms}} = 8''$$

$$(\Delta Z_o)_{\text{rms}} = 0.3 \text{ nT}$$

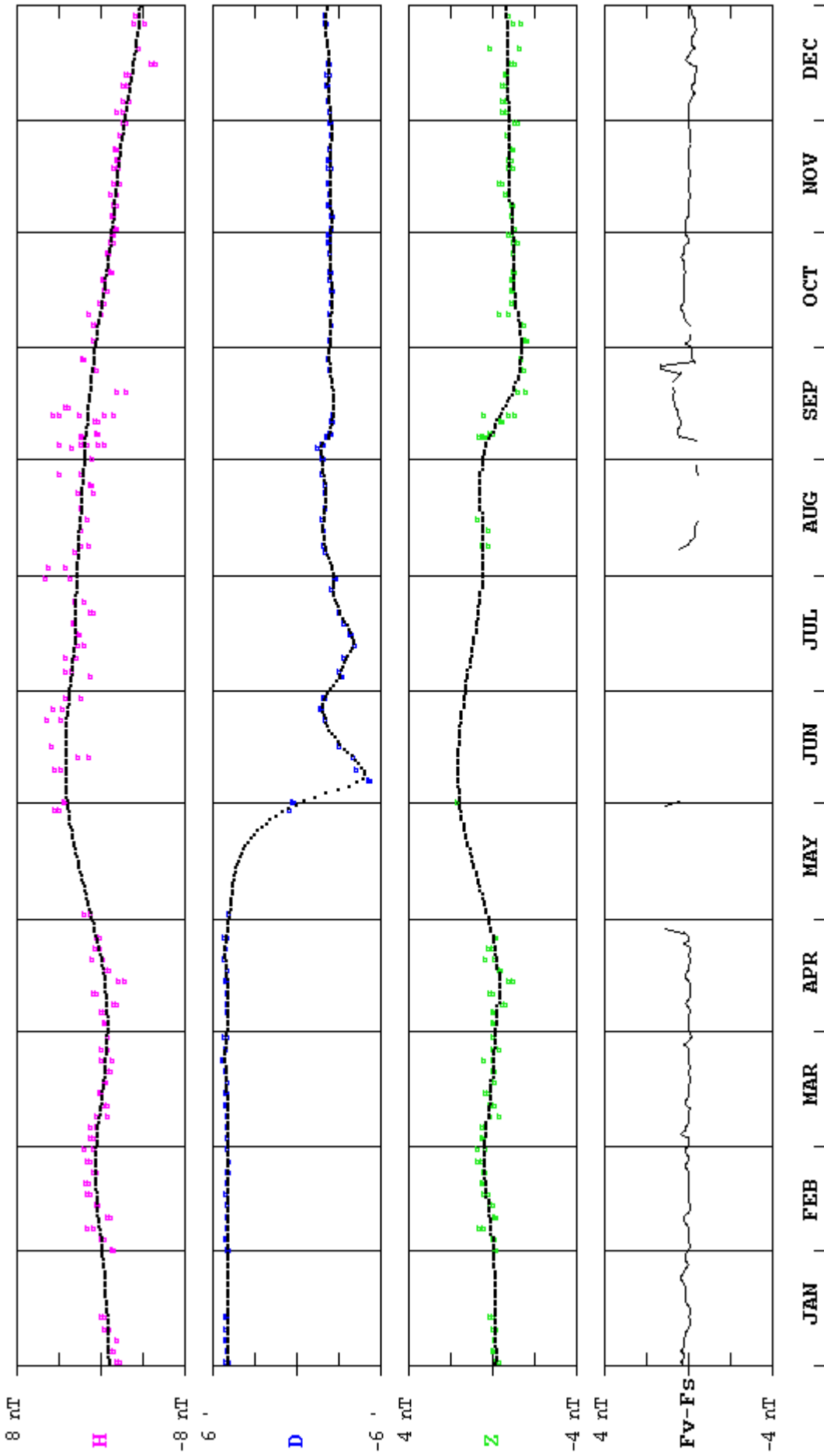
$$(\Delta H_o)_{\text{rms}} = 0.9 \text{ nT}$$

Valeur RMS du résidu scalaire Fv-Fs / *RMS value of scalar residual Fv-Fs* [2006] :

$$[\Delta(F_s - F_v)]_{\text{rms}} = 0.5 \text{ nT}$$

PORT-AUX-FRANCAIS (PAF) 2006

Observed and adopted baseline values (H,D,Z)
 Daily values of the scalar residual (Fv-Fs)

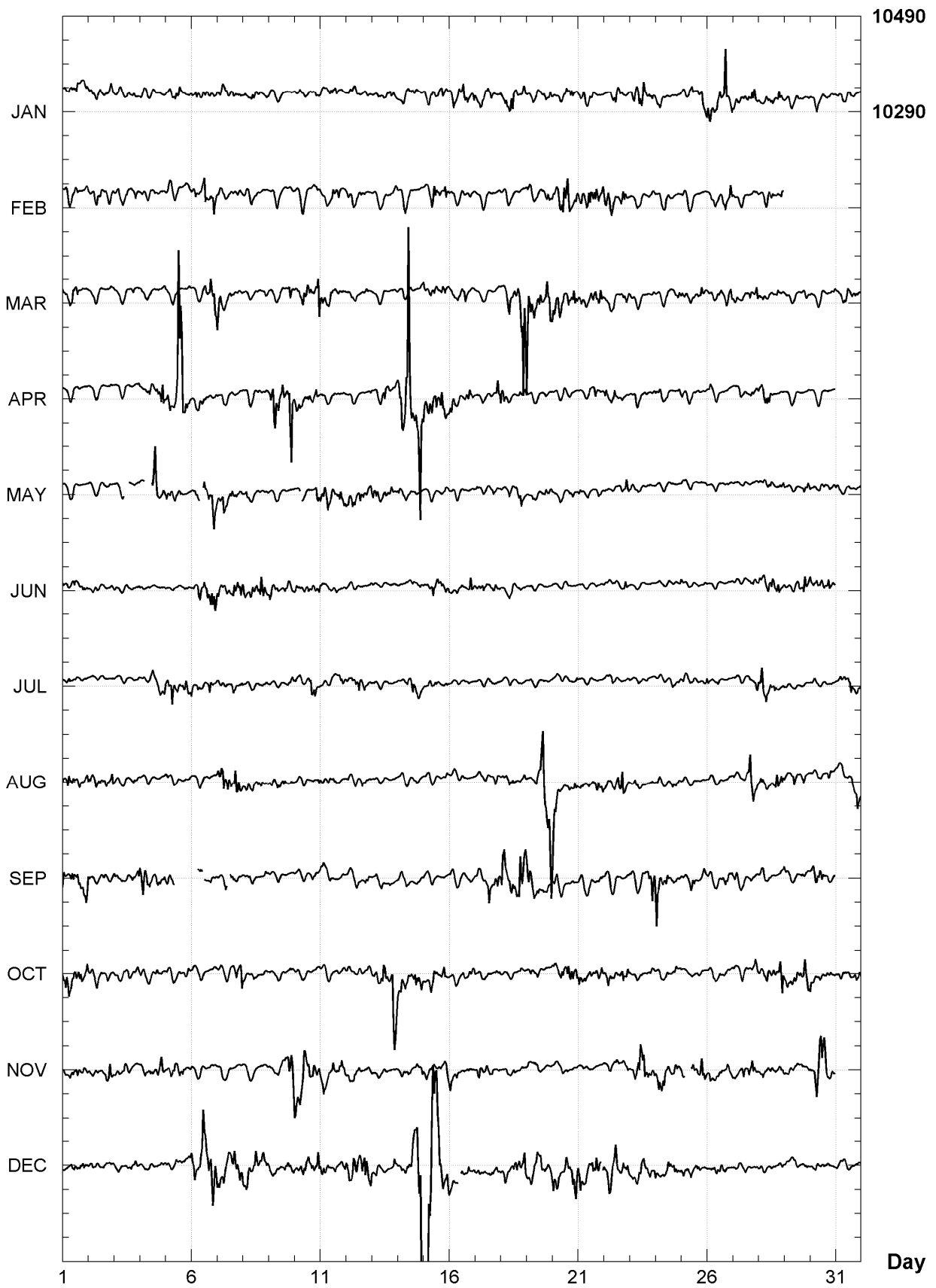


PORT-AUX-FRANCAIS (PAF)

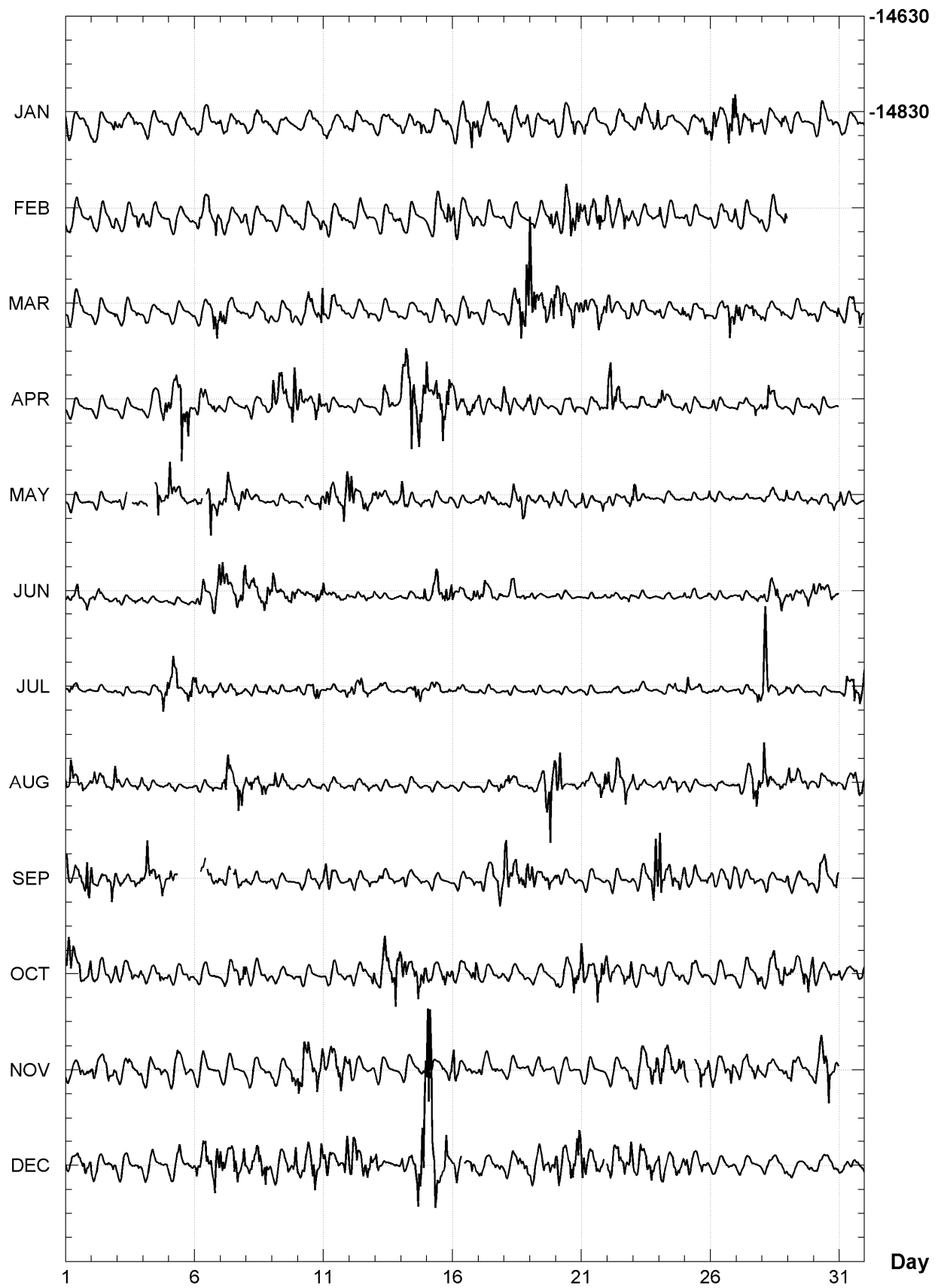
K indices, 2006 (K=9 for 750 nT)

DATE	JANUARY		FEBRUARY		MARCH		APRIL		MAY		JUNE	
01	3112	3112	1111	2102	2113	3100	0000	0000	0001	0000	1112	2132
02	2223	1213	1112	1122	0111	0002	0000	1001	1010	--11	2121	1111
03	2011	1110	1121	1131	1001	0110	0000	0001	001-	-111	1111	2101
04	1110	0010	2211	1101	1111	0101	0122	1344	0---	-422	0000	0000
05	1012	2111	1011	1011	0001	0001	3324	8752	431-	1100	0100	0110
06	1222	2221	1212	4244	0001	2144	1122	2221	1---	3545	2233	2364
07	2212	1211	1101	0122	5311	2122	0110	0000	3333	3323	4333	2435
08	1112	2101	2012	0010	1111	2132	1011	1021	2211	0001	3233	3544
09	1101	0000	0011	0122	0101	0131	4543	4366	0011	0200	4122	2233
10	0111	1111	0011	0023	1223	3225	3322	2433	00-0	0023	2111	2443
11	1112	2110	2112	2210	3223	1211	1111	1101	3322	3144	3100	1212
12	1111	0011	1222	1100	0121	1120	0000	0000	4331	3322	1001	1102
13	0011	1221	0010	1211	0001	0011	0122	3213	2212	2232	1000	0001
14	1111	2131	0010	1001	0001	1001	4459	5657	322-	1111	1001	1103
15	1111	0122	1123	2244	2233	2340	4234	3654	0100	0011	1223	3233
16	1223	4453	3222	2121	1112	1311	3222	3332	0000	0000	3221	1332
17	3223	2212	1111	1101	0000	0011	2110	0124	1200	1211	2221	2121
18	2223	1323	1011	1000	1134	3567	4210	0222	1123	1442	0122	1020
19	2023	2122	1211	0132	7433	3354	2110	0110	1121	1132	2100	0000
20	1112	2331	3224	5444	4333	2444	0002	1110	1112	1021	1000	0000
21	2212	2100	2223	5433	3222	2543	0001	1311	3111	0131	0000	0001
22	0013	2201	3223	3432	3221	0133	5534	2211	2111	0114	0110	0121
23	1334	4333	2111	0012	2110	0011	1221	0001	3211	1000	0000	0000
24	2221	2101	3112	1100	2101	0013	3211	0002	0111	0100	0000	0000
25	1212	1233	2111	0000	2110	1131	2111	1000	0100	0002	1110	0001
26	4323	3745	1211	2223	0101	1243	111-	0000	1000	0010	0000	0000
27	3212	3332	1011	1002	3200	1313	0110	0032	1000	0000	0000	1121
28	2112	2132	1012	1123	0211	0221	1243	1011	0112	1012	2222	3231
29	1010	1001			0000	0023	0000	0011	1000	0012	2212	2232
30	2111	1020			1001	0023	0001	0000	0101	2121	2222	2311
31	1101	1201			0012	2231			211-	1000		
DATE	JULY		AUGUST		SEPTEMBER		OCTOBER		NOVEMBER		DECEMBER	
01	1210	1010	3432	2312	4122	2455	4433	3323	1111	2222	1112	2232
02	0010	0010	2222	1123	3011	2243	2111	2222	2012	2332	1110	1111
03	0000	0000	2100	0022	2111	1222	1112	3212	1103	2211	0110	0122
04	0011	2244	1100	0000	3432	1232	1110	0321	2221	2232	1000	0011
05	3442	2233	1100	0100	22--	----	1011	1022	0122	2211	1003	1211
06	3221	1232	0011	0200	----	-221	0012	0001	1010	0011	3335	4454
07	2111	2201	2344	5542	011-	3310	0100	1334	1100	0000	4333	4434
08	1010	0012	2222	2321	1111	0012	2122	1111	1000	0011	2333	4352
09	1000	0012	2312	2212	0000	0000	0110	0021	1000	1234	2220	1334
10	2111	2430	0000	1012	0010	0121	1101	0001	4435	3253	2222	4524
11	0001	1132	1112	2110	3212	1001	1101	0110	4233	4532	3222	2235
12	2123	3211	1211	1221	1122	1021	1012	1103	3122	2011	2333	4443
13	1111	0000	0000	0001	1222	1020	2233	3366	0010	0000	3212	1112
14	0012	4532	0000	1010	1121	1010	4323	3445	0212	1222	2222	4678
15	0111	1011	0000	0002	0010	0000	2222	2332	2212	1122	-866	6563
16	0100	0000	0010	0000	1000	1121	2121	2123	4321	1110	222-	2132
17	1010	0000	0021	1123	1113	4153	0101	1011	2211	1211	2110	1121
18	0011	0000	2322	1212	4333	4454	1010	0021	0011	1111	1212	3324
19	0100	0000	1113	6667	3322	3322	0112	0000	0112	0001	223-	4222
20	0000	0001	6521	1222	2210	0020	2123	3433	1111	1000	3222	4456
21	0000	0000	2211	1335	0011	0011	5222	3543	2000	2000	4333	442-
22	0010	0001	3133	3532	000-	1011	2222	2343	1013	3022	2234	3434
23	0010	0000	2120	0011	1111	1146	1001	0013	0234	4443	2223	3331
24	0010	1202	1100	1312	6334	3233	0021	1131	2333	3232	3122	3322
25	2210	1002	1000	0000	2113	3113	2121	1100	1---	2443	3222	2310
26	2111	0000	1000	0011	1121	2222	0111	2100	2213	3233	1122	3110
27	0000	2133	1112	4444	2101	0210	1001	0022	1122	1330	0010	1000
28	6633	2311	5322	1333	1111	0003	2123	3334	0112	2112	0100	0121
29	1001	0000	3222	1220	3000	0110	2323	3444	2212	0021	1002	0111
30	0210	0001	0122	1231	1333	2233	3122	2311	2345	5432	2112	1111
31	1223	4234	0021	2344			2010	1223			1011	0002

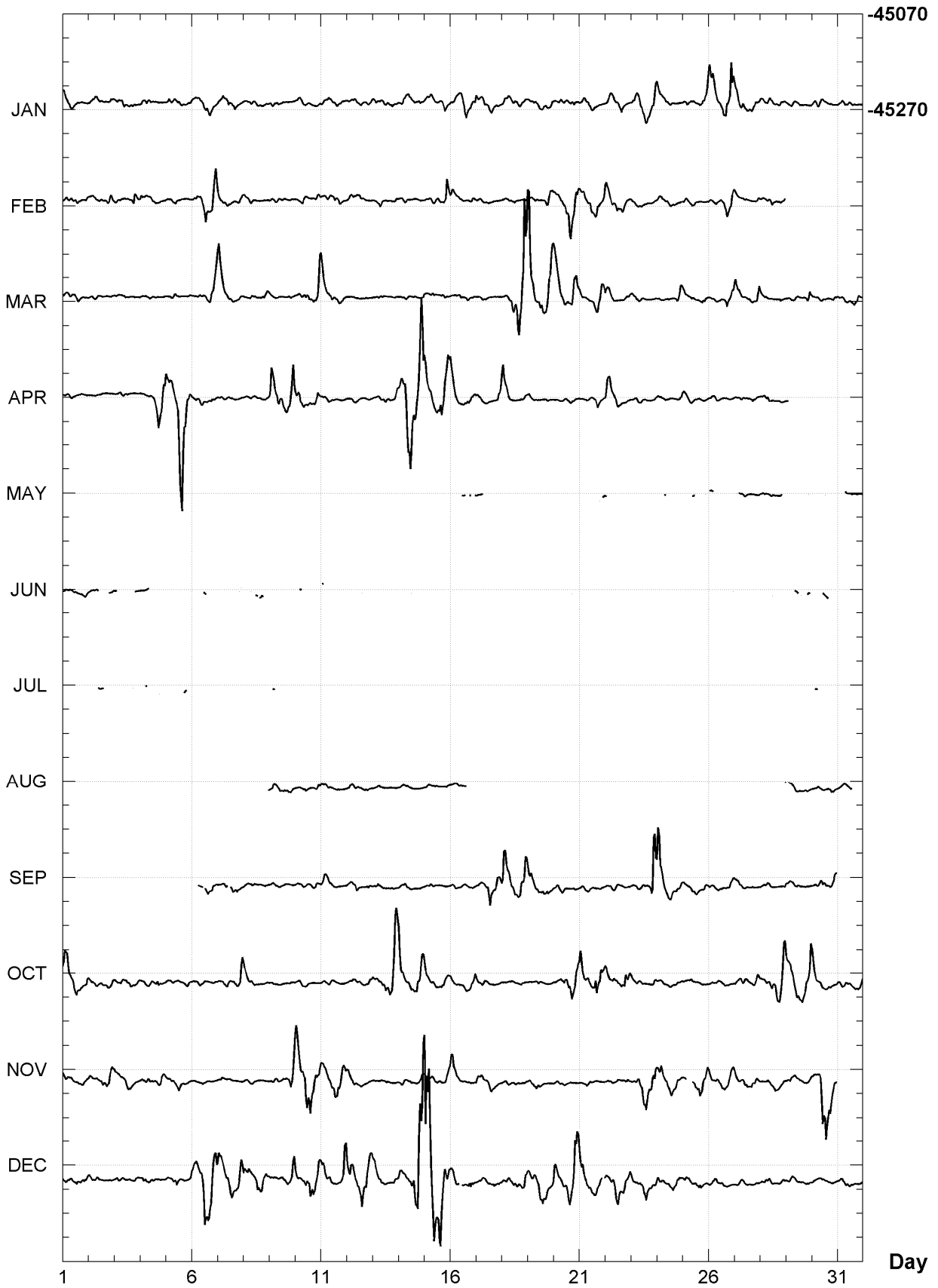
PORT-AUX-FRANCAIS (PAF)
Hourly mean values: X component (nT), 2006



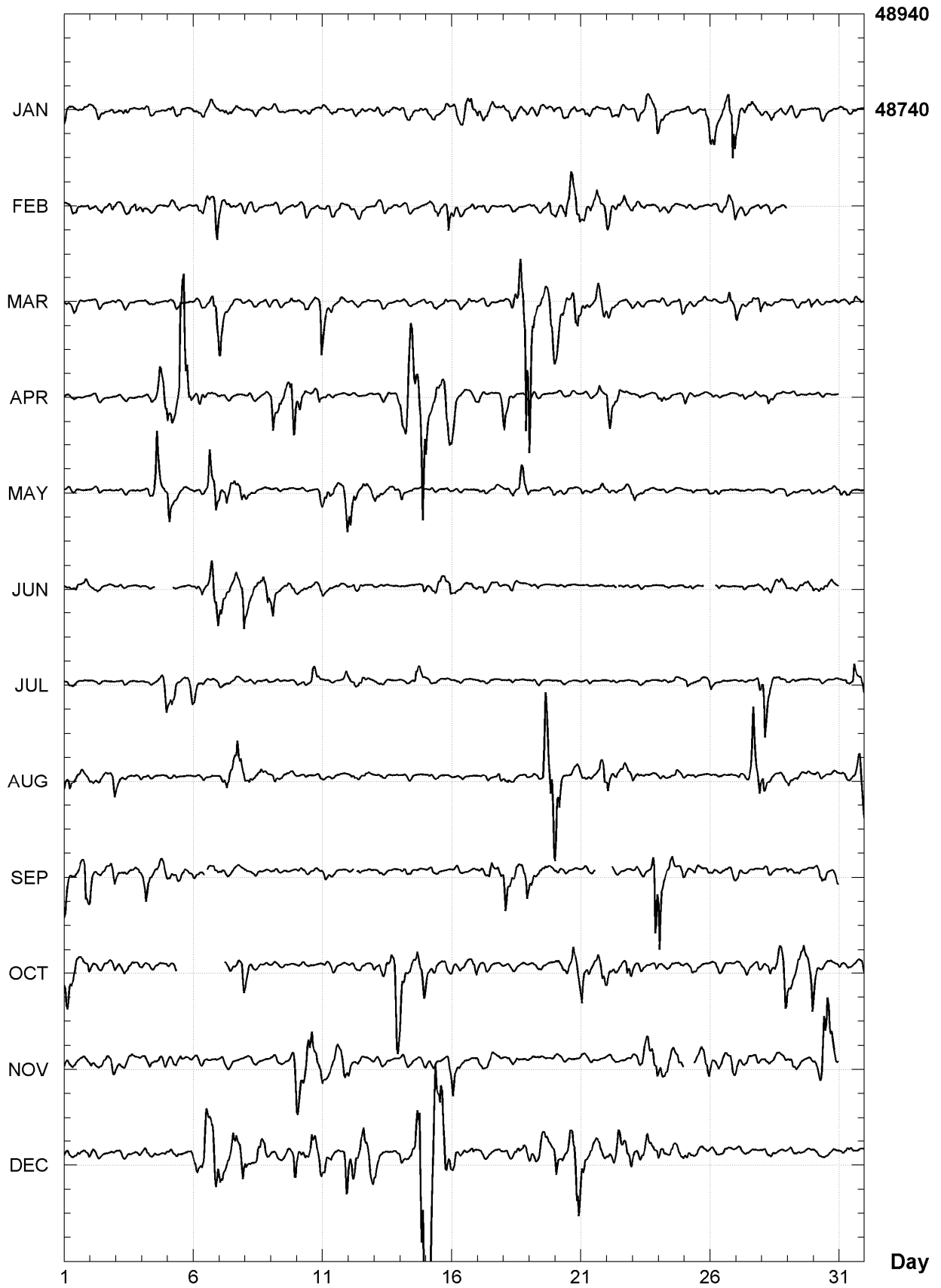
PORT-AUX-FRANCAIS (PAF)
Hourly mean values: Y component (nT), 2006



PORT-AUX-FRANCAIS (PAF)
Hourly mean values: Z component (nT), 2006



PORT-AUX-FRANCAIS (PAF)
Hourly mean values: total field F (nT), 2006



Day

PORT-AUX-FRANCAIS (PAF)

Monthly and annual mean values, 2006

Date	D	I	H	X	Y	Z	F	J	ELE		
	o	'	o	'	nT	nT	nT	nT	nT		
JAN	304	48.3	-68	12.8	18089	10325	-14853	-45255	48736	A	HDZF
FEB	304	47.4	-68	13.4	18081	10317	-14849	-45259	48737	A	HDZF
MAR	304	46.2	-68	13.9	18073	10306	-14846	-45258	48733	A	HDZF
APR	304	45.6	-68	14.9	18063	10298	-14840	-45272	48742	A	HDZF
MAY	304	45.5	-68	14.9	18063	10298	-14840	-45273	48743	A	HDZF
JUN	304	45.7	-68	15.0	18063	10299	-14840	-45276	48746	A	HDZF
JUL	304	45.8	-68	15.2	18061	10298	-14837	-45278	48747	A	HDZF
AUG	304	45.2	-68	15.8	18055	10292	-14834	-45284	48751	A	HDZF
SEP	304	45.0	-68	16.1	18050	10288	-14831	-45287	48752	A	HDZF
OCT	304	45.0	-68	16.3	18049	10288	-14830	-45288	48752	A	HDZF
NOV	304	45.3	-68	16.5	18048	10288	-14828	-45295	48758	A	HDZF
DEC	304	44.4	-68	17.1	18042	10281	-14826	-45301	48761	A	HDZF
2006	304	45.8	-68	15.2	18061	10298	-14838	-45277	48747	A	HDZF
JAN	304	48.3	-68	12.8	18090	10325	-14853	-45257	48738	Q	HDZF
FEB	304	47.4	-68	13.3	18083	10318	-14851	-45259	48738	Q	HDZF
MAR	304	46.8	-68	13.5	18079	10313	-14849	-45260	48737	Q	HDZF
APR	304	46.1	-68	14.0	18074	10307	-14847	-45266	48741	Q	HDZF
MAY	304	46.0	-68	14.7	18067	10303	-14842	-45274	48745	Q	HDZF
JUN	304	45.7	-68	14.6	18068	10302	-14844	-45271	48744	Q	HDZF
JUL	304	46.0	-68	15.0	18064	10301	-14839	-45277	48747	Q	HDZF
AUG	304	45.6	-68	15.3	18061	10297	-14838	-45283	48751	Q	HDZF
SEP	304	44.7	-68	15.9	18054	10289	-14835	-45289	48755	Q	HDZF
OCT	304	45.6	-68	15.9	18055	10294	-14833	-45291	48757	Q	HDZF
NOV	304	45.6	-68	16.3	18052	10292	-14831	-45296	48761	Q	HDZF
DEC	304	45.2	-68	16.5	18052	10290	-14831	-45304	48768	Q	HDZF
2006	304	46.1	-68	14.8	18067	10303	-14841	-45278	48750	Q	HDZF
JAN	304	47.5	-68	13.0	18084	10319	-14851	-45253	48732	D	HDZF
FEB	304	47.4	-68	13.8	18076	10314	-14845	-45261	48737	D	HDZF
MAR	304	45.1	-68	14.6	18058	10293	-14837	-45248	48719	D	HDZF
APR	304	45.3	-68	16.0	18047	10288	-14827	-45272	48736	D	HDZF
MAY	304	43.7	999	99.0	18055	10286	-14839	99999	99999	D	HDZF
JUN	304	45.6	-68	15.7	18055	10294	-14833	-45281	48747	D	HDZF
JUL	304	45.3	-68	15.8	18053	10292	-14832	-45281	48747	D	HDZF
AUG	304	43.4	999	99.0	18048	10281	-14834	99999	99999	D	HDZF
SEP	304	44.9	-68	16.4	18044	10285	-14826	-45281	48744	D	HDZF
OCT	304	44.0	-68	16.9	18036	10276	-14822	-45279	48739	D	HDZF
NOV	304	44.9	-68	17.2	18038	10281	-14821	-45297	48756	D	HDZF
DEC	304	44.0	-68	17.8	18027	10271	-14815	-45290	48746	D	HDZF
2006	304	45.1	-68	15.7	18052	10290	-14832	-45272	48738	D	HDZF

A: Tous les jours/ All days

Q: Jours calmes/ Quiet days

D: Jours perturbés/ Disturbed days

ELE: Elements enregistrés/ Recorded elements

Port-aux-Francais (PAF)
Annual mean values, 1957 - 2006

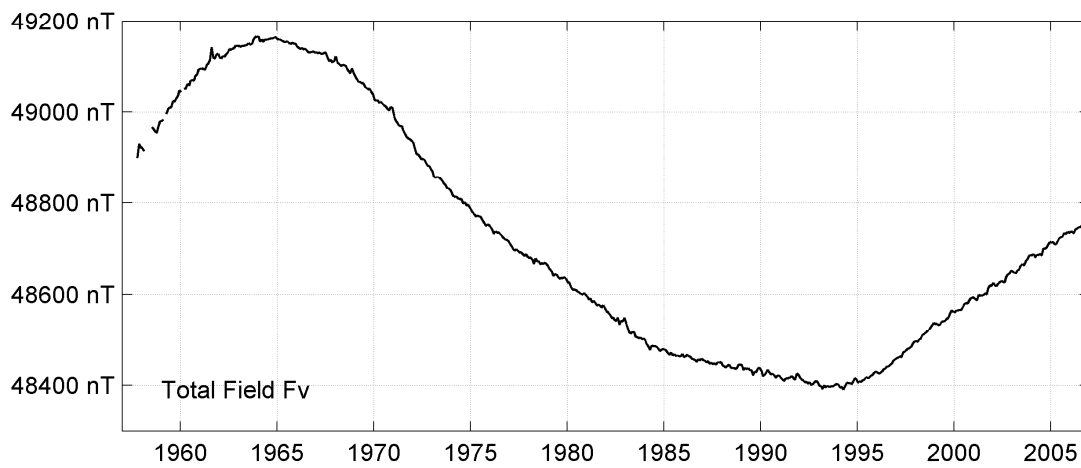
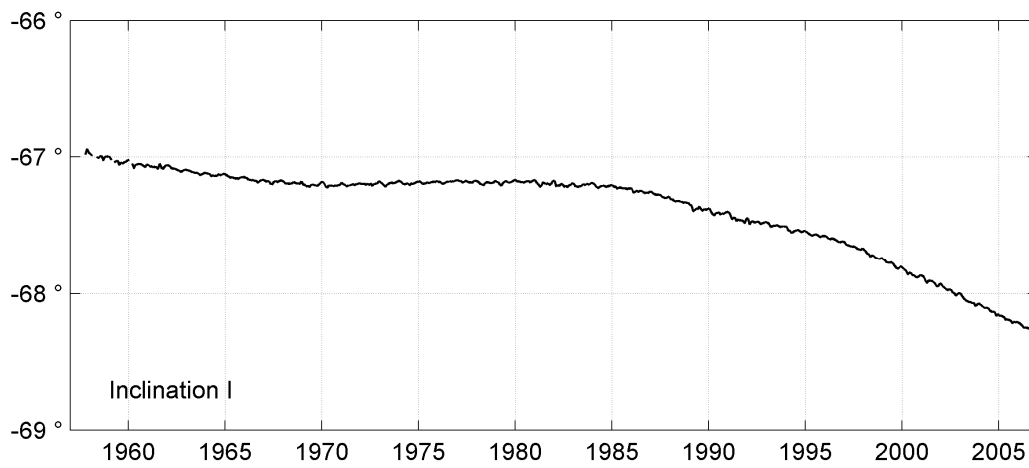
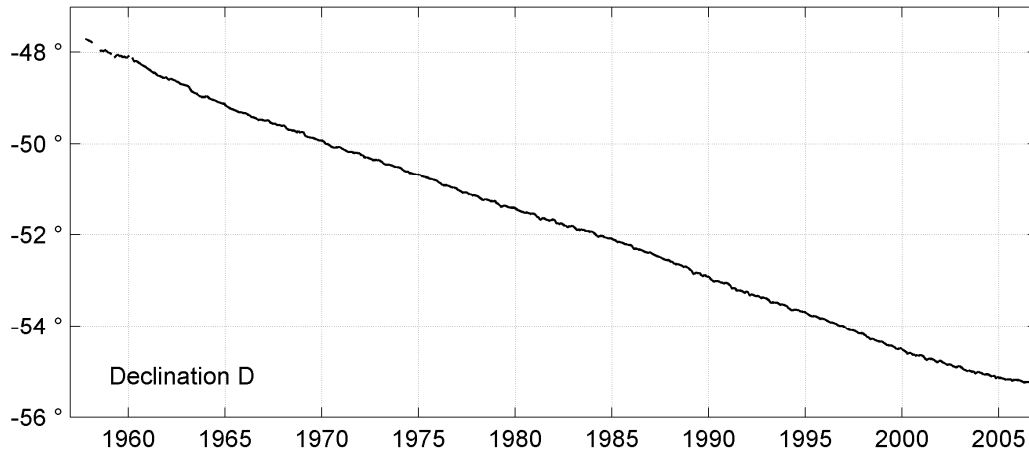
Date	D	I	H	X	Y	Z	F	ELE	Note
	° '	° '	nT	nT	nT	nT	nT		
1957.9	312 22.1	-66 56.9	18721	12616	-13832	-43995	47813	HDZ	1
1958.5	312 10.3	-66 58.8	18709	12561	-13866	-44032	47842	HDZ	2
1959.5	312 01.0	-67 01.0	18707	12521	-13898	-44107	47910	HDZ	3
1960.6	311 51.7	-67 02.5	18709	12485	-13934	-44164	47963	HDZ	4
1961.0	0 00.0	0 02.0	0	0	0	72	-66	HDZ	5
1961.5	311 37.0	-67 05.3	18715	12430	-13992	-44280	48072	HDZ	
1962.5	311 27.1	-67 06.4	18710	12386	-14023	-44305	48094	HDZ	
1963.5	311 12.5	-67 07.9	18697	12318	-14066	-44330	48112	HDZ	
1964.5	311 02.7	-67 08.8	18689	12272	-14095	-44344	48121	HDZ	
1965.5	310 50.4	-67 09.9	18672	12210	-14126	-44344	48115	HDZ	
1966.0	0 00.0	0 00.7	0	0	0	25	-23	HDZ	6
1966.5	310 40.9	-67 11.8	18650	12157	-14143	-44359	48120	HDZ	
1967.5	310 33.1	-67 12.5	18635	12116	-14160	-44351	48107	HDZ	
1968.5	310 24.2	-67 13.1	18619	12068	-14178	-44333	48084	HDZ	
1969.5	310 14.2	-67 14.0	18592	12009	-14192	-44300	48043	HDZ	
1970.5	310 04.0	-67 14.1	18574	11956	-14215	-44262	48001	HDZ	
1971.5	309 55.9	-67 13.8	18557	11911	-14230	-44210	47946	HDZ	
1972.0	-0 00.2	-0 03.7	-29	-19	22	-63	47	HDZ	7
1972.5	309 47.3	-67 09.8	18566	11882	-14266	-44088	47837	HDZF	
1973.5	309 38.7	-67 09.6	18548	11834	-14282	-44039	47785	HDZF	
1974.5	309 29.2	-67 09.5	18533	11785	-14303	-44000	47743	HDZF	
1975.5	309 20.8	-67 09.2	18522	11743	-14324	-43961	47704	HDZF	
1976.5	309 10.4	-67 09.0	18511	11693	-14350	-43928	47668	HDZF	
1977.5	309 00.7	-67 08.8	18499	11645	-14374	-43893	47632	HDZF	
1978.5	308 52.3	-67 09.4	18483	11600	-14390	-43875	47609	HDZF	
1979.5	308 43.5	-67 09.2	18474	11557	-14413	-43847	47580	HDZF	
1980.5	308 35.9	-67 08.8	18466	11520	-14432	-43814	47547	HDZF	
1981.0	0 00.0	0 00.7	11	7	-8	-1	5	HDZF	8
1981.5	308 27.2	-67 10.4	18433	11463	-14435	-43793	47514	HDZF	
1982.5	308 19.4	-67 11.0	18412	11418	-14445	-43766	47482	HDZF	
1983.5	308 12.3	-67 11.0	18399	11379	-14458	-43733	47445	HDZF	
1984.5	308 04.1	-67 11.5	18381	11334	-14471	-43709	47416	HDZF	
1985.5	307 55.9	-67 12.3	18365	11290	-14486	-43699	47401	HDZF	
1986.5	307 46.1	-67 13.9	18340	11233	-14498	-43699	47392	HDZF	
1987.5	307 36.7	-67 15.6	18316	11178	-14509	-43699	47383	HDZF	
1988.0	0 06.6	0 01.2	-396	-213	336	991	-1067	HDZF	9
1988.5	307 20.2	-67 19.4	18675	11326	-14848	-44696	48440	HDZF	
1989.5	307 08.5	-67 22.6	18631	11249	-14852	-44707	48434	HDZF	
1990.5	306 58.6	-67 24.4	18603	11190	-14862	-44708	48424	HDZF	
1991.5	306 48.0	-67 27.0	18567	11122	-14867	-44715	48416	HDZF	
1992.5	306 39.4	-67 28.5	18544	11071	-14877	-44714	48407	HDZF	
1993.5	306 30.4	-67 30.1	18520	11018	-14886	-44714	48398	HDZF	
1994.5	306 21.2	-67 32.3	18493	10962	-14894	-44730	48402	HDZF	
1995.5	306 12.5	-67 34.1	18475	10914	-14907	-44752	48416	HDZF	
1996.5	306 03.4	-67 36.2	18456	10863	-14921	-44785	48439	HDZF	
1997.5	305 53.1	-67 39.3	18429	10802	-14931	-44835	48474	HDZF	
1998.5	305 42.2	-67 43.2	18393	10734	-14936	-44892	48514	HDZF	
1999.5	305 32.5	-67 47.1	18354	10669	-14934	-44942	48545	HDZF	
2000.5	305 23.0	-67 51.3	18310	10602	-14928	-44992	48576	HDZF	
2001.5	305 15.3	-67 54.8	18274	10548	-14923	-45035	48601	HDZF	
2002.5	305 08.2	-67 58.7	18235	10494	-14912	-45083	48631	HDZF	
2003.5	305 00.4	-68 03.4	18185	10432	-14895	-45138	48663	HDZF	

2004.5	304	54.7	-68	07.1	18148	10386	-14882	-45185	48694	HDZF	
2005.5	304	49.3	-68	11.4	18102	10337	-14861	-45235	48723	HDZF	
2006.5	304	45.8	-68	15.2	18061	10298	-14838	-45277	48747	HDZF	10

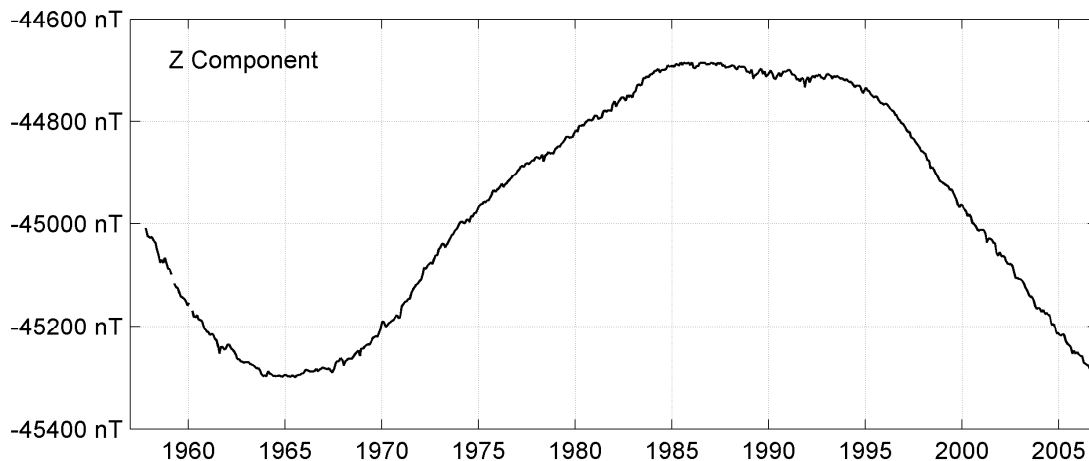
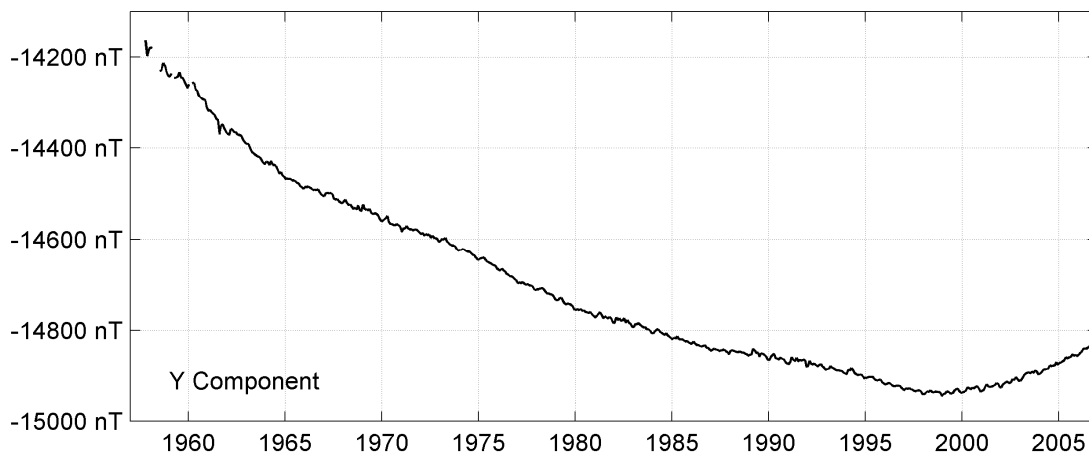
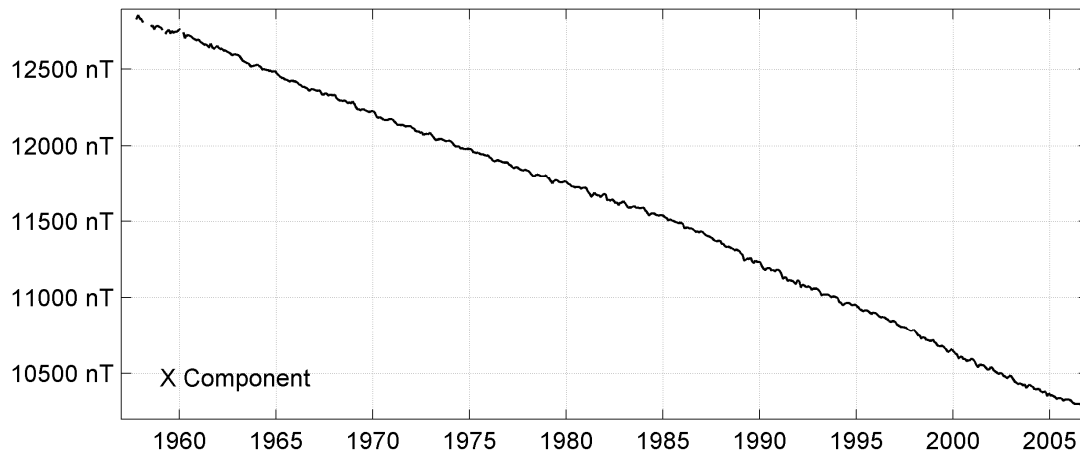
Notes :

- 1 Oct-Dec 1957
- 2 Jan-Dec 1958 for Z. Jan-Feb and Jul-Dec 1958 for H and D.
- 3 No data in Mar 1959
- 4 No data in Feb 1960
- 5 1961.0 BMZ change
- 6 1966.0 New proton magnetometer
- 7 1972.0 Absolute pier change
- 8 1981.0 New theodolite
- 9 1988.0 Observatory move
- 10 Most gaps from May to August for Z

PORT-AUX-FRANCAIS (PAF)
Monthly means (for all days) from 1957 to 2006



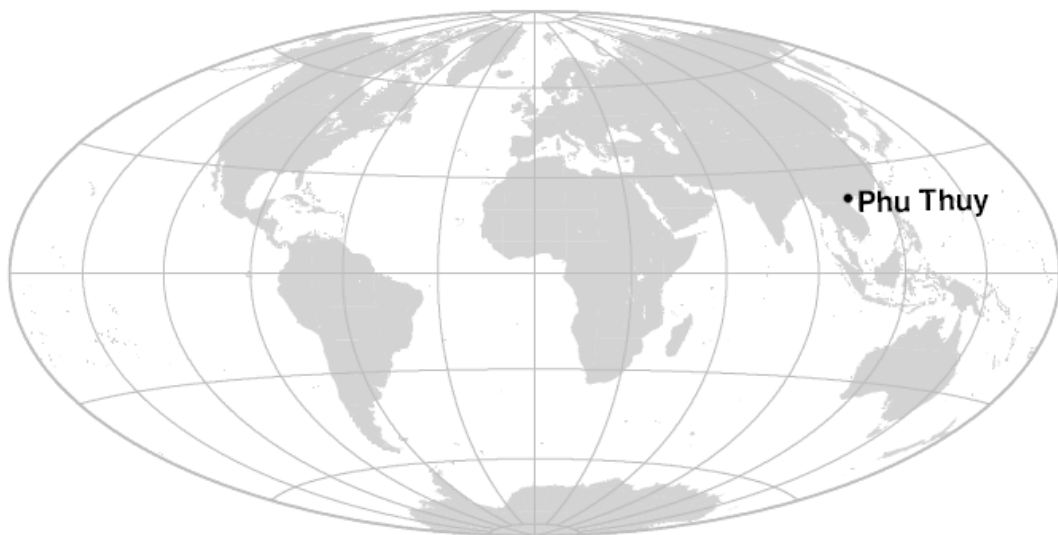
PORT-AUX-FRANCAIS (PAF)
Monthly means (for all days) from 1957 to 2006



OBSERVATOIRE DE PHU THUY (PHU)

PHU THUY OBSERVATORY (PHU)

VIETNAM / VIETNAM



PRÉSENTATION

L'observatoire magnétique de Phu Thuy, situé à une vingtaine de kilomètres de Hanoi, est placé sous la responsabilité de l'Institut de Géophysique de l'Académie des Sciences et Technologies du Vietnam (IG-VAST). Les observations ionosphériques et magnétiques ont débuté à Phu Thuy en 1961. En 1993, une coopération entre l'IG-VAST, l'IPGP et le CNRS français, soutenue par le Ministère français des Affaires Etrangères, a permis d'installer de nouveaux équipements à Phu Thuy. Suite à cette modernisation, l'observatoire de Phu Thuy a obtenu le statut officiel d'observatoire magnétique de type INTERMAGNET (IMO) en 1996.

Le fonctionnement normal de l'observatoire a été interrompu le 16 mars 1998, quand un orage atmosphérique a mis hors d'usage le magnétomètre vectoriel Geomag M390 et le système d'acquisition. En février 1999, les magnétomètres scalaire et vectoriel et le système d'acquisition ont été réinstallés dans l'abri dit des «variomètres Bobrov». L'observatoire a été foudroyé une seconde fois le 24 mai 2003, ce qui a interrompu à nouveau les observations jusqu'au 6 août 2003. Le 19 juin 2005, l'observatoire fut foudroyé une troisième fois. Les enregistrements reprurent le 11 août 2005.

Evénements en 2006 :

Début décembre, un nouveau magnétomètre vectoriel IPGP VM391, une nouvelle acquisition IPGP ENO2 ainsi qu'un système de protection contre la foudre ont été installés.

OBSERVATEURS

Chau HA DUYEN (Directeur du Laboratoire de Géomagnétisme, HIG)
Minh LE HUY (Directeur de l'Observatoire)
Khanh VU THI VAN

INSTRUMENTATION

Les mesures absolues ont été faites deux fois par semaine à l'aide d'un DI-flux constitué d'un théodolite Zeiss 010 et d'un magnétomètre à vanne de flux EOST DImag93. Les différences pilier ont été mesurées régulièrement à l'aide d'un magnétomètre à proton Scintrex Envi.

Les variations magnétiques ont été

PRESENTATION

The Phu Thuy magnetic observatory, located at about 20 km from Hanoi, is under the responsibility of the Institute of Geophysics of the Vietnamese Academy of Science and Technology (IG-VAST). Ionospheric and magnetic observations started in Phu Thuy in 1961. In 1993, the cooperation between IG-VAST, IPGP and the French CNRS, supported by the French Ministry of Foreign Affairs, made it possible to install new equipments in Phu Thuy. Following this improvement, the Phu Thuy observatory gained official INTERMAGNET magnetic observatory (IMO) status in 1996.

The normal running of the observatory was interrupted on 16 March 1998, when an atmospheric storm made the vector magnetometer Geomag M390 and the acquisition system out of order. In February 1999, the scalar and vector magnetometers and the acquisition system were re-installed in the so-called "Bobrov variometer" hut. The observatory was then struck a second time by lightning on 24 May 2003, which interrupted observations again until 6 August 2003. For the third time, the observatory was struck down by lightning on 19th June 2005. The magnetic monitoring was restarted on 11th August 2005.

Events in 2006:

Beginning of December, a new vector magnetometer IPGP VM391, a new data logger IPGP ENO2 and a lightning arrester were installed.

OBSERVERS

Chau HA DUYEN (Director of the Geomagnetism Laboratory, HIG)
Minh LE HUY (Director of the Observatory)
Khanh VU THI VAN

INSTRUMENTATION

Absolute measurements were made twice a week with a DI-flux constituted of a theodolite Zeiss and a fluxgate magnetometer EOST DImag93. Pillar differences were regularly measured with a proton magnetometer Syntrex Envi.

Magnetic variations were continuously recorded by the following instruments:

enregistrées en continu par les instruments suivants :

- 1 magnétomètre homocentrique triaxial à vanne de flux IPGP VM391
- 1 magnétomètre scalaire de type Overhauser Geomag SM90R

Les magnétomètres étaient installés dans un pavillon thermiquement isolé.

Les données ont été enregistrées par une acquisition IPGP ENO2 de type PC et transmises au centre d'information géomagnétique d'INTERMAGNET à Paris par internet.

L'énergie était fournie par des panneaux solaires et des batteries.

TRAITEMENT DES DONNÉES

Toutes les observations ont été ramenées au pilier absolu de référence installé à environ 20 m des capteurs.

Les lignes de bases adoptées ont été obtenues en modélisant par une spline les écarts entre enregistrements continus et mesures absolues. Les valeurs de ligne de base pour la composante F proviennent des mesures de différences entre le pilier des mesures absolues et le magnétomètre scalaire.

- 1 triaxial homocentric fluxgate magnetometer IPGP VM391
- 1 Overhauser type scalar magnetometer Geomag SM90R

The magnetometers were installed in a thermally insulated pavilion.

Data were acquired by a data logger IPGP ENO2, which is based on a PC system, and transmitted to the INTERMAGNET Geomagnetic Information Node in Paris via the internet.

The power was supplied by solar panels and batteries.

DATA PROCESSING

All the observations were reduced to the absolute pillar, at a distance of about 20 m from the sensors.

The adopted baseline values were obtained by spline modelling of the differences between continuous recordings and absolute measurements. Baseline values for the F component come from differences between the absolute pillar and the scalar magnetometer.

Valeurs moyennes horaires disponibles / Hourly mean values available [2006] : 95.9%

Nombre de mesures absolues utilisées / Number of used absolute measurements [2006] : 162

Amplitudes pic-à-pic des lignes de base / peak-to-peak baseline amplitudes [2006] :

$$|D_{o, \min} - D_{o, \max}| = 43''$$

$$|H_{o, \min} - H_{o, \max}| = 1.5 \text{ nT}$$

$$|Z_{o, \min} - Z_{o, \max}| = 6.5 \text{ nT}$$

$$|F_{o, \min} - F_{o, \max}| = 0.8 \text{ nT}$$

Différences RMS entre valeurs de lignes de base mesurées et adoptées

Root mean square differences between measured and adopted baseline values [2006] :

$$(\Delta D_o)_{\text{rms}} = 3''$$

$$(\Delta H_o)_{\text{rms}} = 0.3 \text{ nT}$$

$$(\Delta Z_o)_{\text{rms}} = 0.3 \text{ nT}$$

$$(\Delta F_o)_{\text{rms}} = 0.2 \text{ nT}$$

Valeur RMS du résidu scalaire Fv-Fs / RMS value of scalar residual Fv-Fs [2006] :

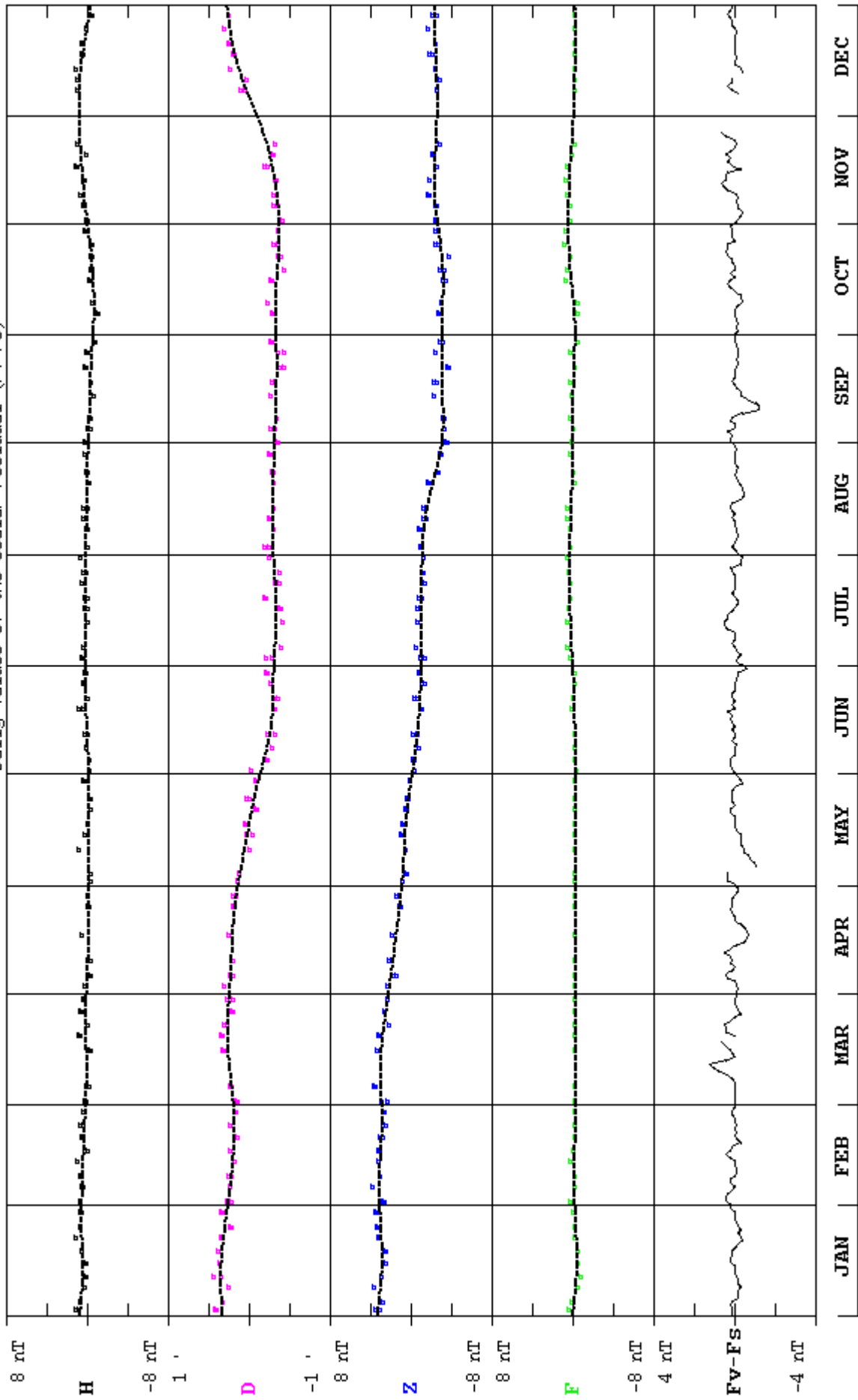
$$[\Delta(F_s - F_v)]_{\text{rms}} = 0.4 \text{ nT}$$

**INSTITUTE OF GEOPHYSICS
Phu Thuy – VIETNAM**

TEL.: +84 48 76 67 08

PHU THUY (PHU) 2006

Observed and adopted baseline values (H,D,Z,F)
Daily values of the scalar residual (Fv-Fs)

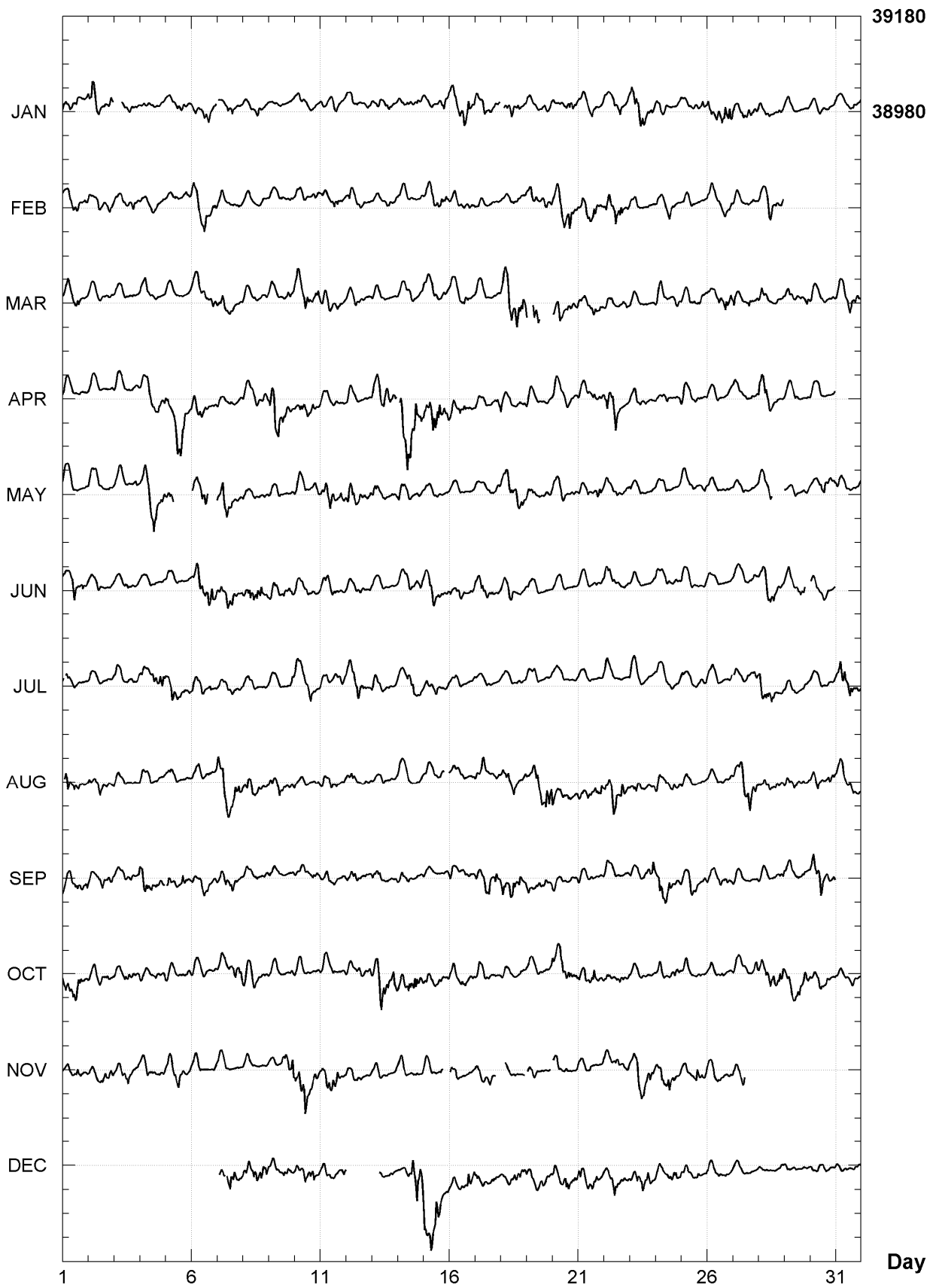


PHU THUY (PHU)

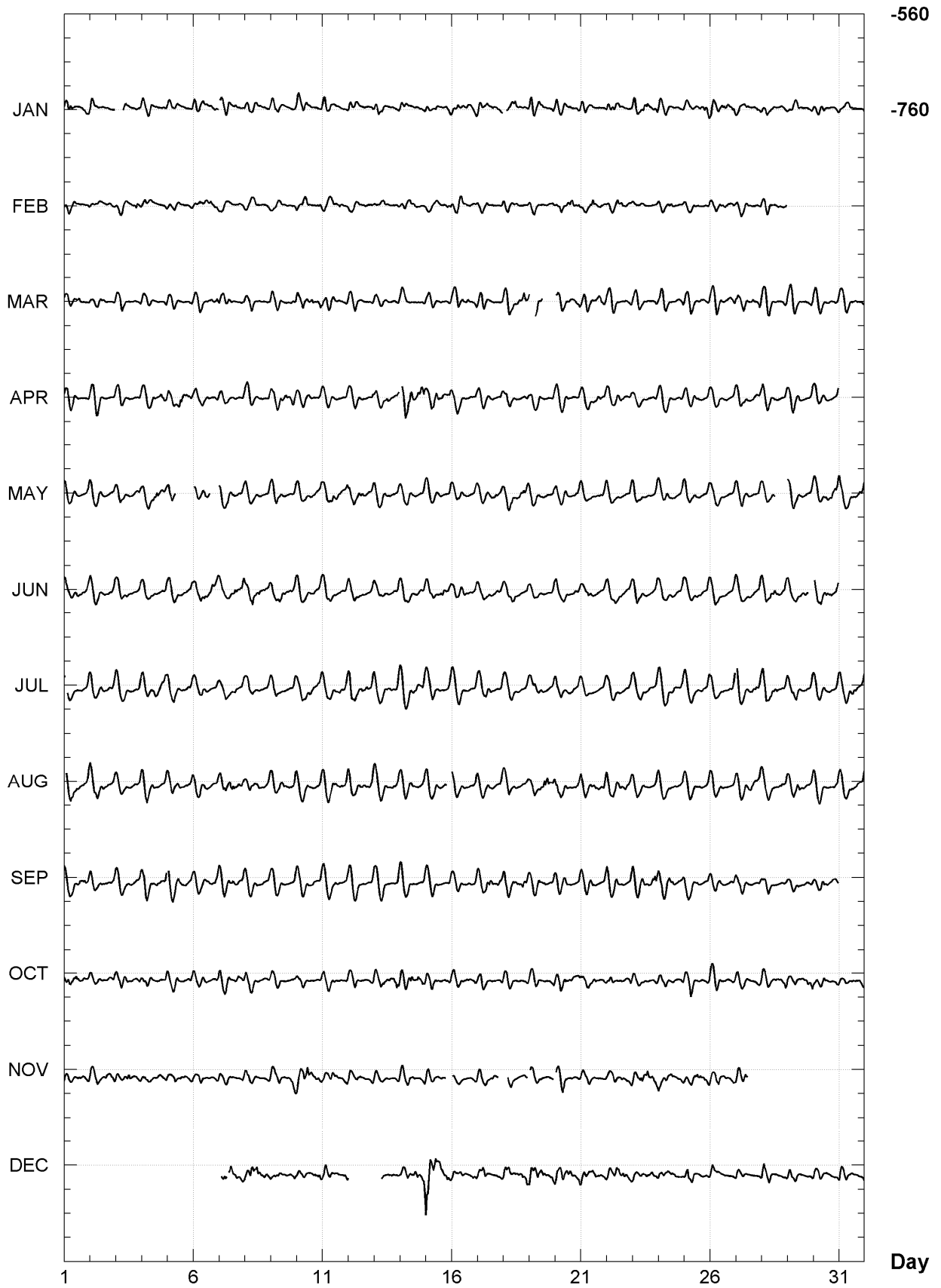
K indices, 2006 (K=9 for 250 nT)

DATE	JANUARY		FEBRUARY		MARCH		APRIL		MAY		JUNE	
01	4332	4322	1232	3112	3323	4311	3311	1112	3212	1113	3325	3333
02	4553	2323	3223	2232	1212	2122	4431	1112	2222	1112	2322	2223
03	---	2321	2222	2342	3321	1222	3321	1112	2221	1223	2222	2112
04	3212	2121	2221	2201	3332	1201	2233	2234	2443	5433	2221	2113
05	3222	3321	2222	1132	3111	1102	3336	6652	33--	----	3221	1112
06	4222	3322	4333	5344	3333	3244	3333	3222	-224	4---	3454	4553
07	-122	3421	2222	1221	3432	3211	2222	2203	-564	4223	4433	4424
08	2222	3311	1211	1111	2222	2222	3322	2333	3322	1123	4444	4423
09	3221	1011	1122	2122	3311	1132	5666	4455	2122	1213	3232	3323
10	4311	1111	1211	1233	3324	3334	3432	3422	2222	2123	2222	3223
11	4312	3311	2222	3322	3333	2322	3322	2313	3555	4243	3332	2223
12	3222	1122	2421	3211	3322	2221	2212	1112	4442	3323	2222	2313
13	3321	2221	1121	2322	2121	1012	3434	5543	3322	2212	1221	1013
14	3222	2232	1111	1112	3122	3111	-757	6644	3423	2223	2223	2334
15	2211	2343	2233	3333	3333	3332	3455	5543	2212	2213	3444	4333
16	2433	5553	3333	2322	3332	3422	2323	3222	1122	1112	3234	2223
17	4333	3323	1121	2212	3331	1021	2222	2123	2111	2212	2243	3312
18	--34	3421	2211	2221	4554	5554	4212	1222	3444	4543	2243	2113
19	4322	2223	3333	1333	--55	----	2221	1113	3332	2233	3220	0013
20	4223	3442	2334	5533	-344	3432	3333	3222	2223	1223	3111	2212
21	3212	3112	2344	5432	3323	4433	2223	3433	3122	1244	2122	1212
22	3223	3312	3445	4522	3332	2232	4546	5312	2222	3223	3332	2122
23	4434	4323	3222	1122	2322	1102	2332	2213	3222	1112	2211	1112
24	4322	1112	2213	3212	2331	1133	3223	1113	2123	2113	2222	2223
25	3322	2233	1221	0102	3332	2332	2212	2213	3312	1133	3112	1213
26	4334	4545	2322	2323	3323	3433	2211	1113	2111	2223	2211	1113
27	2223	3333	2111	2021	4211	2423	3222	2212	2222	1013	2112	2234
28	3222	2222	2224	4223	3421	1212	4454	2223	2224	----	3443	4234
29	2211	1101			3321	1223	2322	2113	-212	1123	3323	23--
30	1212	1122			3322	1122	2111	1012	3124	5434	-232	3224
31	2111	2312			3123	4232			3222	2223		
DATE	JULY		AUGUST		SEPTEMBER		OCTOBER		NOVEMBER		DECEMBER	
01	--22	2113	-544	3324	2133	3334	3444	5322	2211	3222	----	----
02	3111	1113	3334	3222	3222	4233	2233	3233	3211	3433	----	----
03	3222	2223	2211	1223	3222	2313	2223	3322	3223	4222	----	----
04	3222	4444	3212	1113	4544	3334	2211	1323	2333	2222	----	----
05	4453	2223	2222	1022	-322	2432	2222	2123	2233	4312	----	----
06	3333	1222	3132	2212	2223	3323	2122	2112	2222	1112	----	----
07	2222	3313	4555	4543	2242	3423	3222	3434	2211	1013	-3--	5423
08	2221	0113	2433	3323	2212	2113	3223	2222	2111	0112	3555	5444
09	2111	0124	3323	3224	2311	0013	2221	1122	3222	3445	2221	3433
10	4423	4433	3211	2124	2212	1223	2211	1112	5546	4343	2223	3533
11	2332	3343	3222	2224	3332	3213	3222	2212	2343	5532	3332	2223
12	5335	5324	3322	2324	3333	2223	2122	3213	3223	2101	----	----
13	3322	2124	3122	1213	3332	2124	3466	4453	3121	0101	--1	1222
14	3323	4534	2212	2113	3312	2113	4344	3533	4222	2222	1223	5666
15	2322	3223	3212	13--	3111	1013	3433	2322	3222	23--	7666	6433
16	3221	1113	4222	3123	3212	2223	3222	3222	-231	2121	3322	2354
17	2222	2223	3243	2233	3234	4243	2322	2212	3222	43--	3332	1221
18	2211	1223	3343	3323	4344	4343	3121	1122	--21	111-	4223	3444
19	2321	0112	3334	5465	3233	3323	3322	2202	-323	111-	4333	3233
20	3222	1112	4422	3323	3222	1113	4344	4533	-321	3112	4333	4433
21	2211	1113	4323	2435	2122	2113	4343	4522	3221	2112	4333	4422
22	3322	1113	4465	4542	3222	1123	3332	3323	2223	3222	3345	3332
23	3112	1113	2332	1223	3222	2345	3111	1212	3343	4453	2143	4442
24	3222	1213	3312	2333	4554	5222	2232	2232	3433	4332	3222	3432
25	3222	2223	2211	1113	2224	3222	3332	1222	2322	3533	3432	2312
26	3312	1115	2211	1113	2222	3233	4322	3112	3323	3222	4222	3221
27	-221	3334	2245	4544	2211	0212	3212	2234	2234	----	2221	1101
28	5444	3313	3333	2333	2222	2123	3334	4445	----	----	4211	0112
29	2222	1223	3323	2223	1221	2332	3332	4343	----	----	3222	0122
30	2312	1214	3232	2333	4546	4323	3323	2321	----	----	2222	2222
31	3553	4324	3342	3334			2112	3322			3211	1112

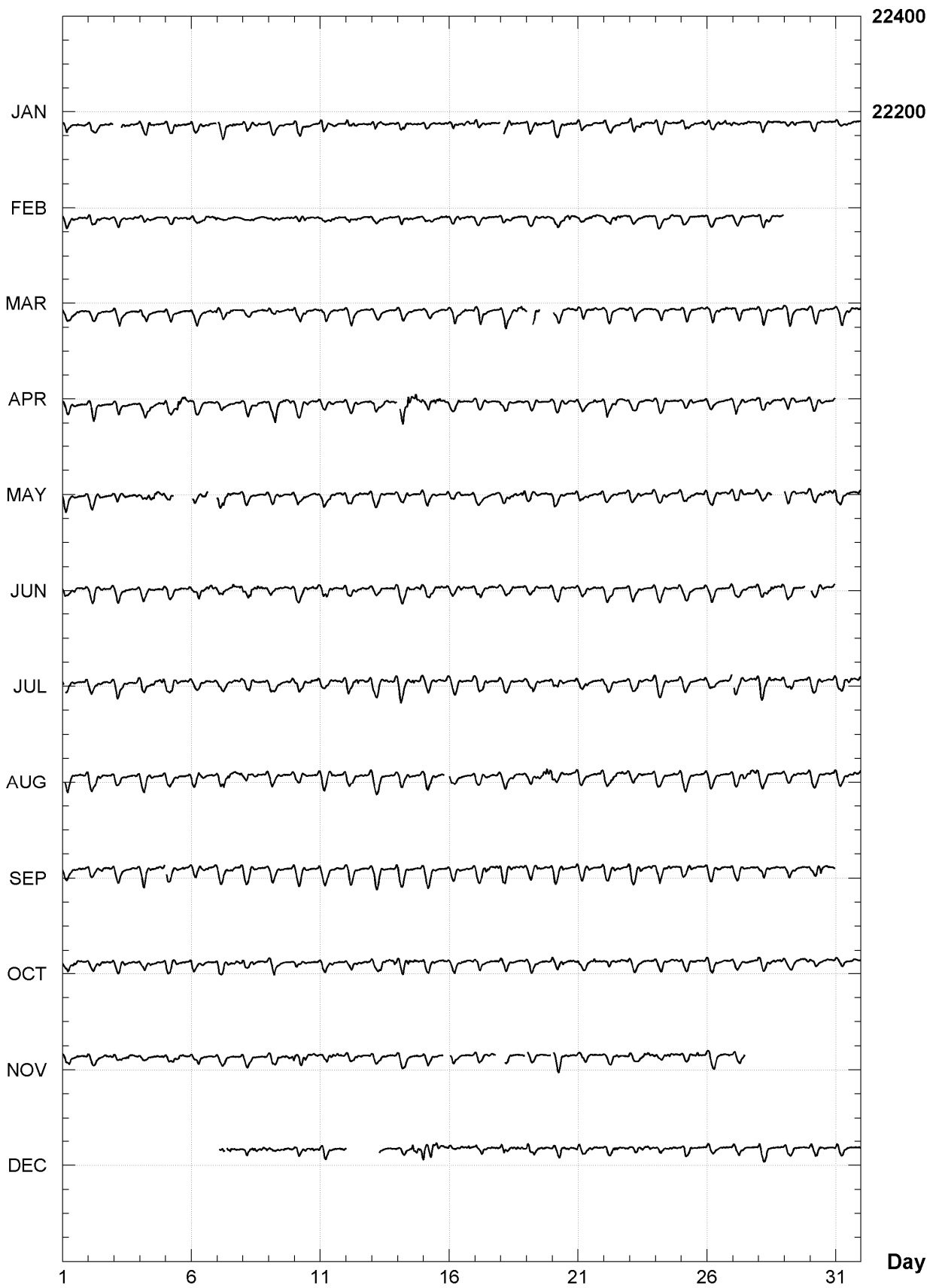
PHU THUY (PHU)
Hourly mean values: X component (nT), 2006



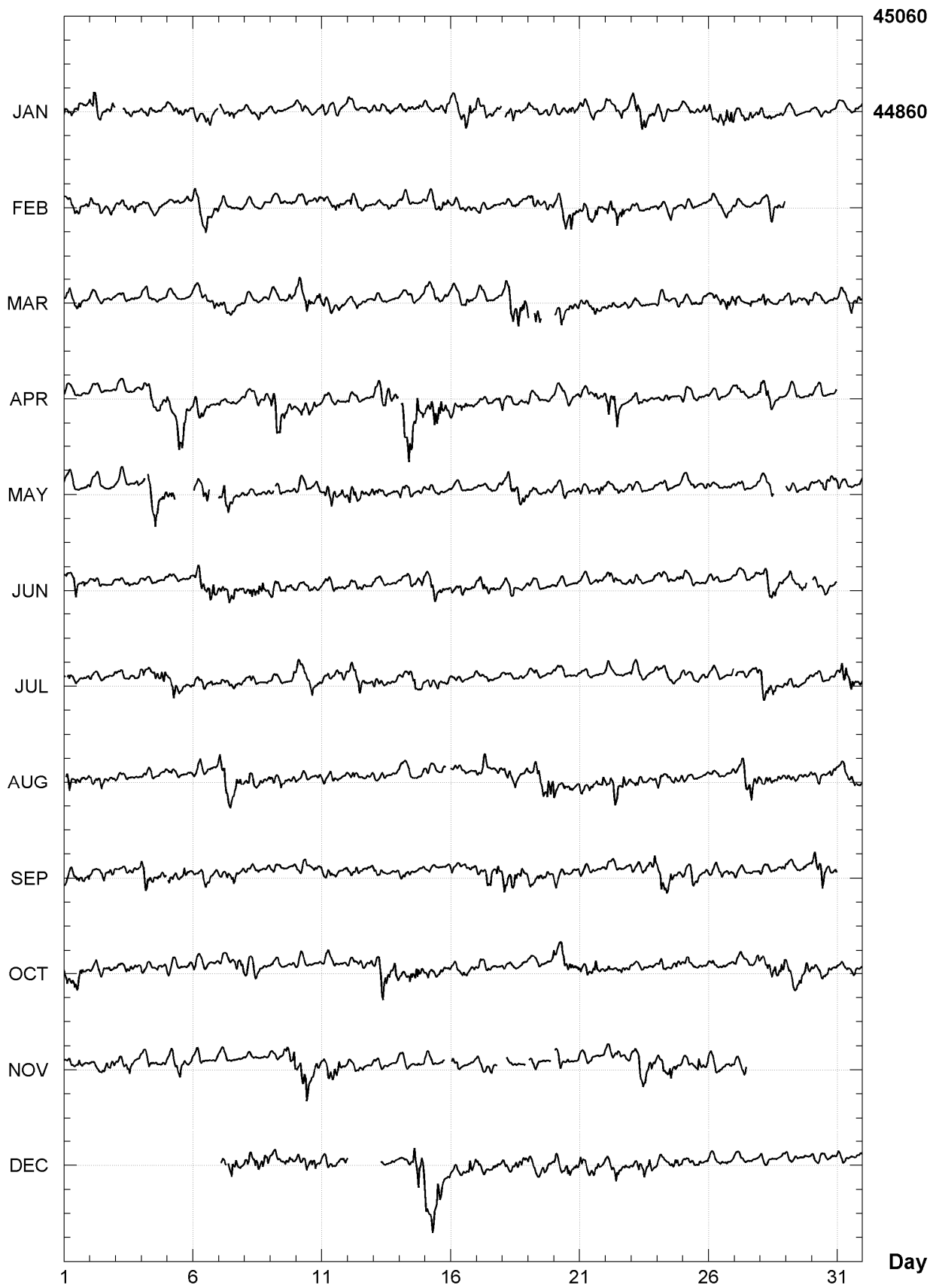
PHU THUY (PHU)
Hourly mean values: Y component (nT), 2006



PHU THUY (PHU)
Hourly mean values: Z component (nT), 2006



PHU THUY (PHU)
Hourly mean values: total field F (nT), 2006



Day

PHU THUY (PHU)

Monthly and annual mean values, 2006

Date	D		I		H	X	Y	Z	F	J	ELE
	o	'	o	'	nT	nT	nT	nT	nT		
JAN	358	53.4	29	37.1	39001	38993	-756	22172	44863	A	HDZF
FEB	358	53.1	29	37.4	39001	38994	-759	22177	44865	A	HDZF
MAR	358	53.0	29	37.7	39000	38993	-760	22181	44867	A	HDZF
APR	358	52.9	29	38.8	38986	38978	-761	22190	44858	A	HDZF
MAY	358	52.7	29	38.9	38998	38990	-763	22197	44872	A	HDZF
JUN	358	52.5	29	39.1	38999	38992	-765	22201	44876	A	HDZF
JUL	358	52.3	29	39.4	38999	38991	-767	22206	44878	A	HDZF
AUG	358	52.1	29	40.2	38988	38980	-770	22211	44871	A	HDZF
SEP	358	51.9	29	40.5	38988	38980	-772	22215	44873	A	HDZF
OCT	358	51.6	29	40.9	38986	38979	-776	22221	44875	A	HDZF
NOV	358	51.4	29	41.3	38985	38977	-778	22226	44876	A	HDZF
DEC	358	51.2	29	42.5	38966	38958	-780	22234	44863	A	HDZF
2006	358	52.4	29	39.4	38992	38984	-767	22202	44870	A	HDZF
JAN	358	53.4	29	37.0	39004	38996	-755	22172	44865	Q	HDZF
FEB	358	53.1	29	37.2	39008	39000	-759	22178	44871	Q	HDZF
MAR	358	53.0	29	37.2	39009	39001	-760	22179	44873	Q	HDZF
APR	358	53.0	29	37.9	39007	39000	-760	22187	44876	Q	HDZF
MAY	358	52.9	29	38.8	39001	38993	-762	22197	44875	Q	HDZF
JUN	358	52.5	29	38.8	39007	39000	-765	22201	44882	Q	HDZF
JUL	358	52.5	29	39.3	39003	38996	-766	22206	44881	Q	HDZF
AUG	358	52.1	29	39.6	38999	38991	-770	22209	44879	Q	HDZF
SEP	358	52.0	29	40.0	38999	38991	-772	22215	44882	Q	HDZF
OCT	358	51.7	29	40.5	38998	38990	-775	22221	44884	Q	HDZF
NOV	358	51.4	29	40.9	38996	38988	-778	22225	44884	Q	HDZF
DEC	358	51.1	29	42.0	38982	38974	-781	22234	44877	Q	HDZF
2006	358	52.4	29	39.0	39002	38994	-766	22201	44878	Q	HDZF
JAN	358	53.3	29	37.6	38993	38985	-756	22174	44857	D	HDZF
FEB	358	53.1	29	37.8	38990	38983	-759	22177	44856	D	HDZF
MAR	358	53.0	29	38.2	38989	38982	-760	22181	44857	D	HDZF
APR	358	52.9	29	40.1	38952	38945	-761	22190	44829	D	HDZF
MAY	358	52.7	29	39.2	38986	38978	-763	22196	44861	D	HDZF
JUN	358	52.7	29	39.6	38988	38981	-763	22202	44866	D	HDZF
JUL	358	52.3	29	39.8	38988	38981	-768	22206	44869	D	HDZF
AUG	358	52.1	29	40.9	38972	38965	-770	22213	44858	D	HDZF
SEP	358	51.8	29	40.9	38976	38968	-773	22215	44862	D	HDZF
OCT	358	51.6	29	41.6	38969	38961	-776	22221	44859	D	HDZF
NOV	358	51.3	29	42.0	38970	38962	-778	22228	44864	D	HDZF
DEC	358	51.1	29	43.6	38937	38929	-781	22233	44837	D	HDZF
2006	358	52.4	29	40.0	38977	38970	-767	22202	44857	D	HDZF

A: Tous les jours/ All days

Q: Jours calmes/ Quiet days

D: Jours perturbés/ Disturbed days

ELE: Elements enregistrés/ Recorded elements

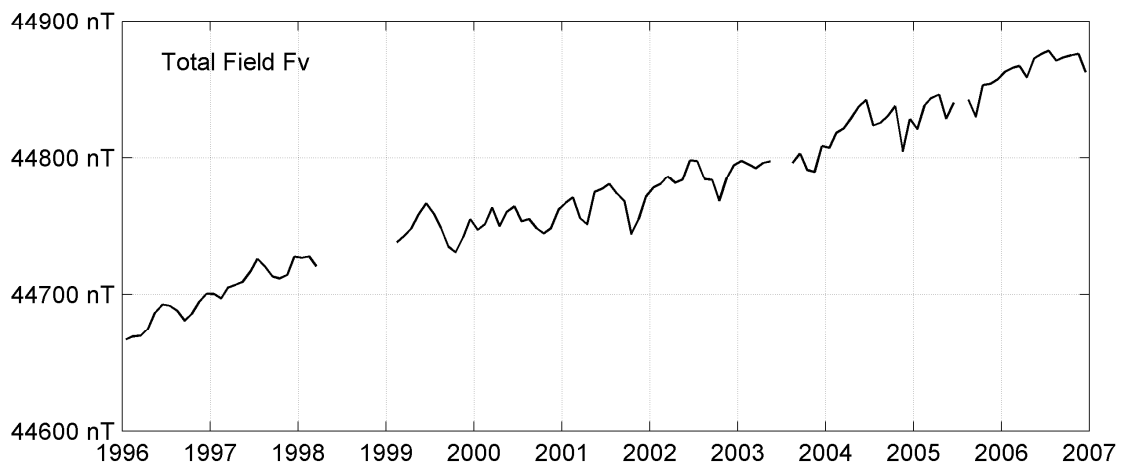
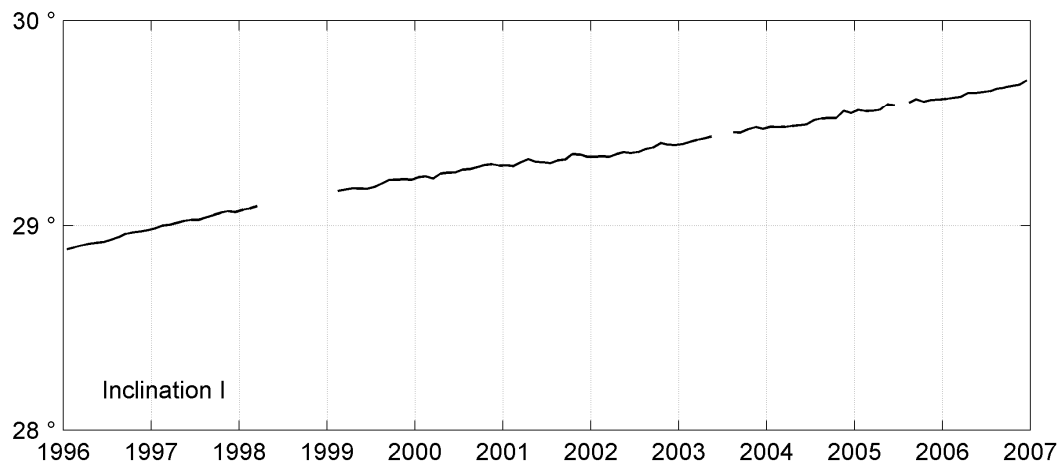
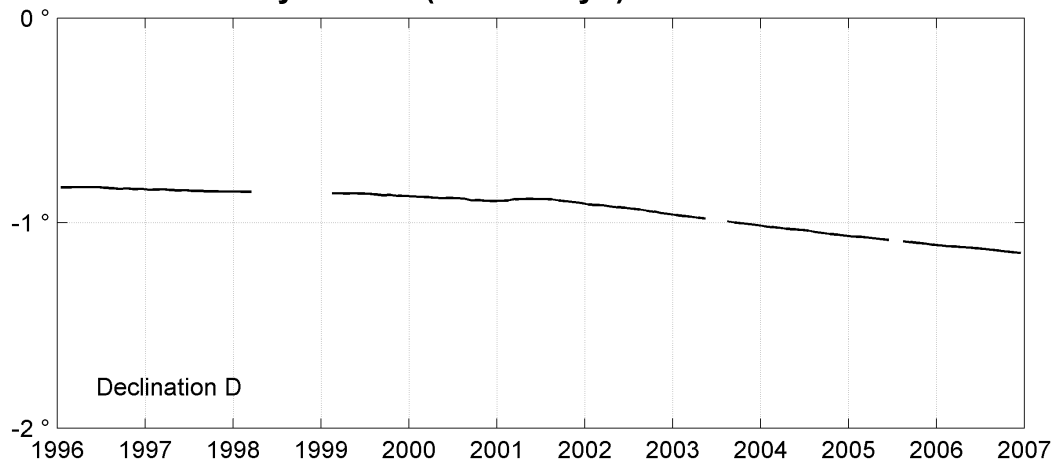
PHU THUY (PHU)
Annual mean values, 1996 - 2006

Date	D ° ' "		I ° ' "		H nT	X nT	Y nT	Z nT	F nT	ELE	Note
1996.5	359	10.1	28	55.9	39107	39102	-568	21617	44683	HDZF	
1997.5	359	09.3	29	01.9	39094	39090	-577	21698	44712	HDZF	
1998.1	359	09.0	29	05.0	39086	39082	-580	21741	44726	HDZF	1
1999.5	359	08.2	29	11.8	39062	39058	-589	21829	44748	HDZF	
2000.5	359	07.0	29	15.9	39042	39037	-602	21878	44754	HDZF	
2001.5	359	06.5	29	19.0	39032	39027	-608	21919	44765	HDZF	
2002.5	359	04.0	29	21.8	39032	39026	-635	21960	44785	HDZF	
2003.5	359	00.7	29	26.4	39012	39007	-673	22018	44797	HDZF	2
2004.5	358	57.6	29	30.4	39011	39005	-708	22078	44825	HDZF	
2005.5	358	54.9	29	35.3	38994	38987	-739	22141	44841	HDZF	3
2006.5	358	52.4	29	39.4	38992	38984	-767	22202	44870	HDZF	

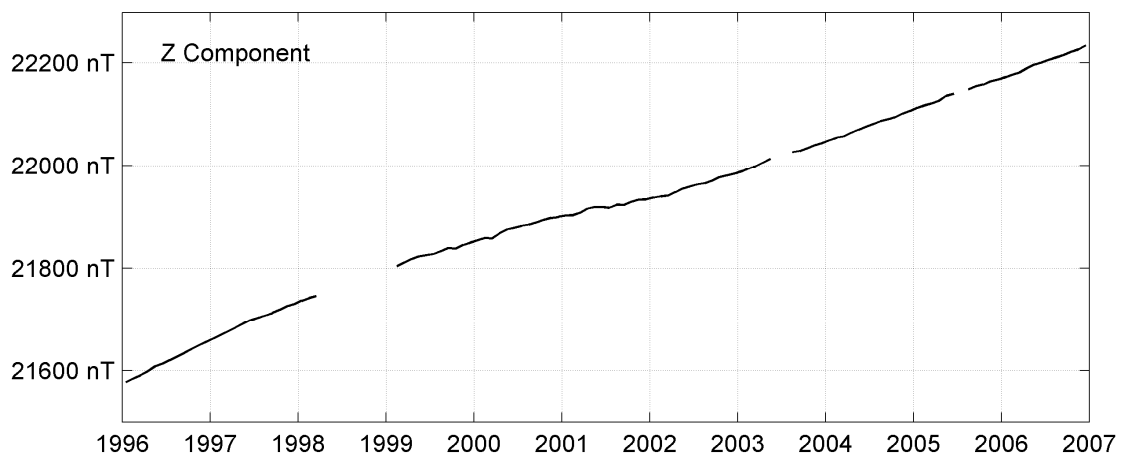
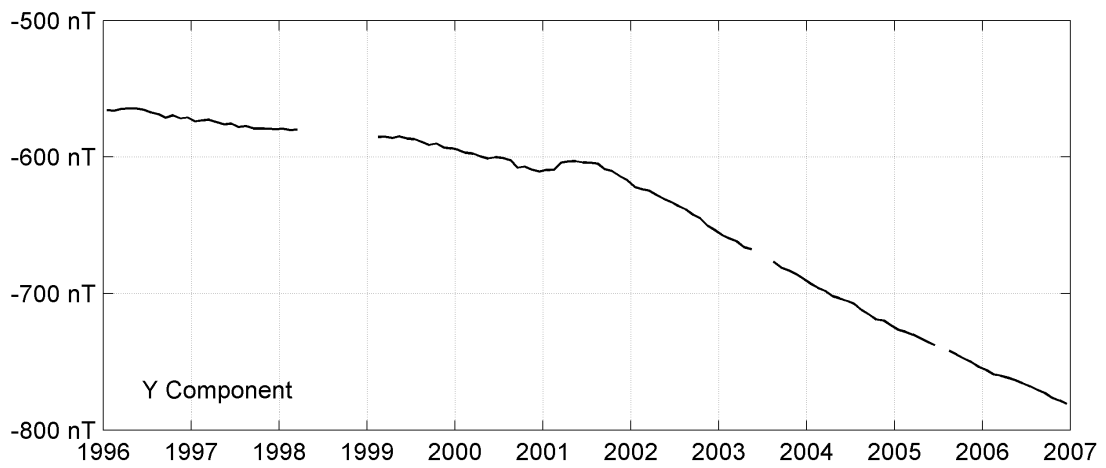
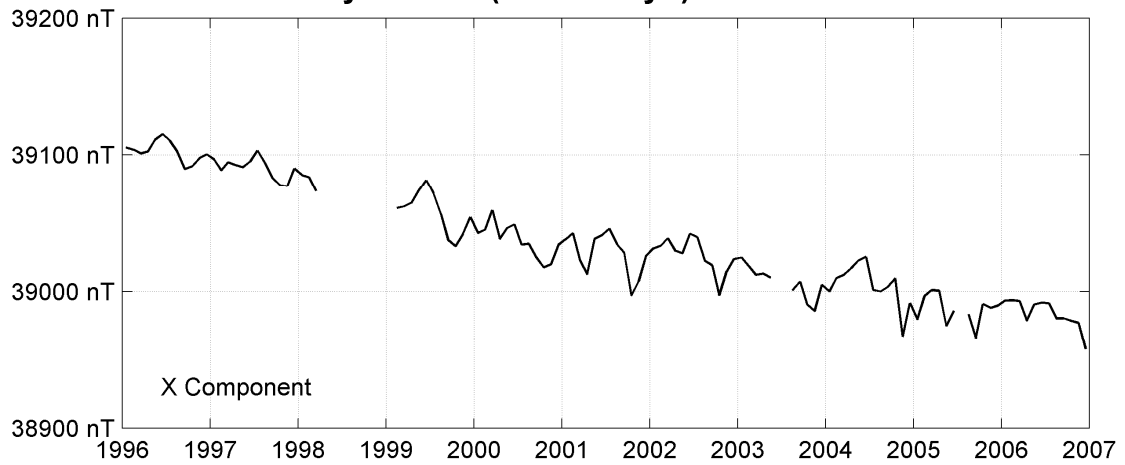
Notes :

- 1 Jan-Mar 1998
- 2 No data in Jun-Jul 2003
- 3 No data from the 19th June to the 11th August 2005

PHU THUY (PHU)
Monthly means (for all days) from 1996 to 2006



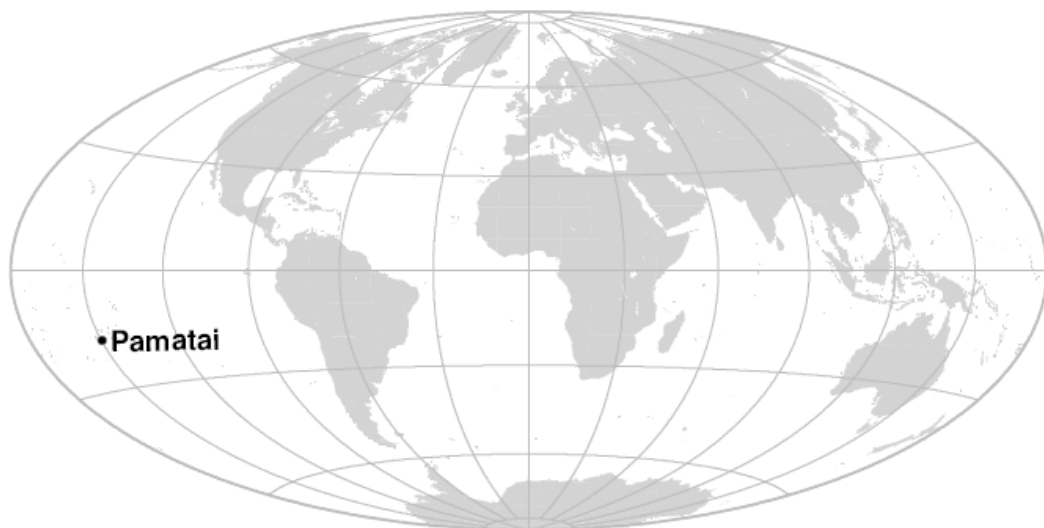
PHU THUY (PHU)
Monthly means (for all days) from 1996 to 2006



OBSERVATOIRE DE PAMATAI (PPT)

PAMATAI OBSERVATORY (PPT)

POLYNÉSIE FRANÇAISE / FRENCH POLYNESIA



PRÉSENTATION

L'observatoire magnétique de Pamatai, à Tahiti (Polynésie française), a été créé en 1964 par l'ORSTOM (maintenant IRD). Les observations ont débuté en juillet 1964 à l'aide d'un variographe La Cour, et sont devenues continues en 1968 (Legeley-Padovani & Gosselin, 1993). L'ORSTOM souhaitant cesser toute activité géophysique en Polynésie dès le début de l'année 1996, le BCMT confia à l'IPGP le soin de poursuivre les observations magnétiques sur le site de Pamatai. Dans le cadre d'un accord de coopération entre l'IPGP et le CEA, les équipements sont installés et maintenus par l'IPGP, tandis que le Laboratoire de Géophysique (LDG-CEA) fournit le support opérationnel pour la réalisation des mesures absolues et des routines d'observatoire.

Depuis mars 2002, le pilier des mesures absolues (P12) et le pavillon des magnétomètres sont à nouveau ceux utilisés entre 1985 et 1995. Le pilier (P13) et le caisson des capteurs installés en 1996 s'étaient révélés trop proches des bâtiments du LDG, à l'origine de perturbations quotidiennes. Les sauts de pilier de 1996 (P8–P13) et 2002 (P13–P12) sont donnés par Bitterly et al. (2005 ; 2008).

En novembre 2004, le magnétomètre vectoriel a été remplacé (20/11/2004), l'isolation thermique du pavillon des capteurs améliorée et les différences entre les piliers P8, P12 et P13 remesurées.

Événements en 2006 :

Un défaut de l'électronique du magnétomètre vectoriel entraîna un total de 4 discontinuités de $\pm 1.5\text{nT}$ dans la ligne de base de la composante H.

OBSERVATEURS

Dominique REYMOND (Directeur du LDG)
Stéphane QUEMA
Youne-Kiane WONG

INSTRUMENTATION

Les mesures absolues ont été faites à l'aide d'un DI-flux constitué d'un théodolite Zeiss 010 et d'un magnétomètre à vanne de flux Lemi 203. Les différences pilier ont été mesurées régulièrement à l'aide d'un magnétomètre à proton Geometrics

PRESENTATION

The Pamatai magnetic observatory, located in Tahiti (French Polynesia), was created in 1964 by ORSTOM (now IRD). The observations started in July 1964 with a variograph La Cour, and became continuous in 1968 (Legeley-Padovani & Gosselin, 1993). As ORSTOM wished to stop all its geophysical activities in Polynesia in the beginning of 1996, IPGP was entrusted by BCMT with the task of continuing magnetic observations on the Pamatai site. Within the scope of a cooperation agreement between IPGP and CEA, the equipments are installed and maintained by IPGP, while the Laboratoire de Géophysique (LDG-CEA) provides operational support for the absolute measurements and observatory routines.

Since March 2002, the absolute measurement pillar (P12) and the magnetometer pavilion are again those used between 1985 and 1995. The pillar (P13) and the sensor container installed in 1996 had proven to be too close to LDG buildings, which generated daily disturbances. The 1996 (P8–P13) and 2002 (P13–P12) jumps are given by Bitterly et al. (2005; 2008).

In November 2004, the vector magnetometer was replaced (20/11/2004), the thermal insulation of the sensor pavilion was improved and the differences between pillars P8, P12 and P13 were measured again.

Events in 2006:

A defect in the vector magnetometer electronics lead to 4 discontinuities of $\pm 1.5\text{nT}$ in the baseline of the H component.

OBSERVERS

Dominique REYMOND (Head of LDG)
Stéphane QUEMA
Youne-Kiane WONG

INSTRUMENTATION

Absolute measurements were made with a DI-flux constituted of a theodolite Zeiss and a fluxgate magnetometer Lemi. Pillar differences were regularly measured with a proton magnetometer Geometrics G856ax.

G856ax.

Les variations magnétiques ont été enregistrées en continu par les instruments suivants :

- 1 magnétomètre homocentrique triaxial à vanne de flux IPGP VM391
- 1 magnétomètre scalaire de type Overhauser Geomag SM90R

Les magnétomètres étaient installés dans une boîte en isolant dans un pavillon en bois.

Les données ont été enregistrées par une acquisition IPGP ENO2 de type PC et transmises au centre d'information géomagnétique d'INTERMAGNET à Paris par internet.

L'énergie était fournie par le réseau électrique local.

TRAITEMENT DES DONNÉES

Toutes les observations ont été ramenées au pilier absolu de référence installé à environ 40 m des capteurs.

Les lignes de bases adoptées ont été obtenues en modélisant par une spline les écarts entre enregistrements continus et mesures absolues. Les valeurs de ligne de base pour la composante F proviennent des mesures de différences entre le pilier des mesures absolues et le magnétomètre scalaire.

L'origine des variations des lignes de base pour H, D et Z est inconnue. La différence pilier est beaucoup plus stable.

Il existe en outre une variation journalière des lignes de base, estimée à ± 2 nT, d'origine inconnue. Cette variation est détectée dans le résidu scalaire $\Delta F = F_s - F_v$.

Pour la composante H, une ligne de base continue a été calculée après avoir raccordé les 4 discontinuités observées sur cette composante en 2006. La ligne de base adoptée tient compte de ces discontinuités.

Magnetic variations were continuously recorded by the following instruments:

- 1 triaxial homocentric fluxgate magnetometer IPGP VM391
- 1 Overhauser type scalar magnetometer Geomag SM90R

The magnetometers were installed in a thermally insulated box inside a pavilion made of wood.

Data were acquired by a data logger IPGP ENO2, which is based on a PC system, and transmitted to the INTERMAGNET Geomagnetic Information Node in Paris via the internet.

The power was supplied by the local electric network.

DATA PROCESSING

All the observations were reduced to the absolute pillar, at a distance of about 40 m from the sensors.

The adopted baseline values were obtained by spline modelling of the differences between continuous recordings and absolute measurements. Baseline values for the F component come from differences between the absolute pillar and the scalar magnetometer.

The origin of the baseline for H, D and Z variations is unknown. The pillar difference is much more stable.

There exists also a daily baseline variation estimated at ± 2 nT, of unknown origin. This variation is detected in the scalar residual $\Delta F = F_s - F_v$.

For H component, a continuous baseline was calculated after shifting the 4 discontinuities observed on that component in 2006. The adopted baseline takes these discontinuities into account.

Valeurs moyennes horaires disponibles / *Hourly mean values available* [2006] : 99.9%

Nombre de mesures absolues utilisées / *Number of used absolute measurements* [2006] : 54

Amplitudes pic-à-pic des lignes de base / *peak-to-peak baseline amplitudes* [2006] :

$$|D_{o, \min} - D_{o, \max}| = 77''$$

$$|Z_{o, \min} - Z_{o, \max}| = 6.3\text{nT}$$

$$|H_{o, \min} - H_{o, \max}| = 8.8\text{nT}$$

$$|F_{o, \min} - F_{o, \max}| = 4.4\text{nT}$$

Différences RMS entre valeurs de lignes de base mesurées et adoptées

Root mean square differences between measured and adopted baseline values [2006] :

$$(\Delta D_o)_{\text{rms}} = 6''$$

$$(\Delta Z_o)_{\text{rms}} = 0.6\text{nT}$$

$$(\Delta H_o)_{\text{rms}} = 0.5\text{nT}$$

$$(\Delta F_o)_{\text{rms}} = 0.3\text{nT}$$

Valeur RMS du résidu scalaire $F_v - F_s$ / *RMS value of scalar residual $F_v - F_s$* [2006] :

$$[\Delta(F_s - F_v)]_{\text{rms}} = 0.7\text{nT}$$

LABORATOIRE DE GÉOPHYSIQUE

BP 640

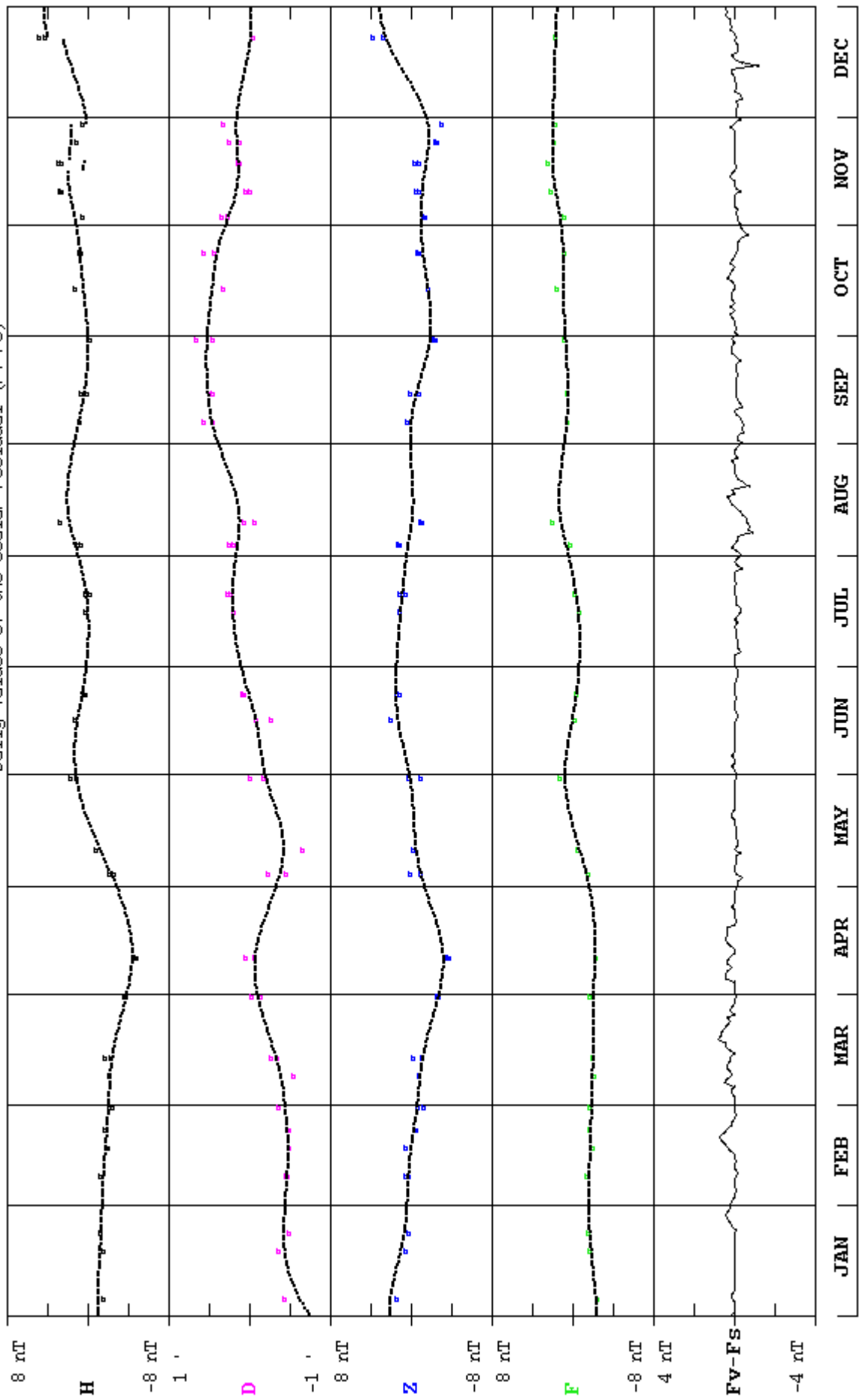
98713 Papeete - Tahiti

POLYNESIE FRANCAISE

TEL.: +689 82 80 25 - FAX: +689 83 50 39

PAMATAI(PPT) 2006

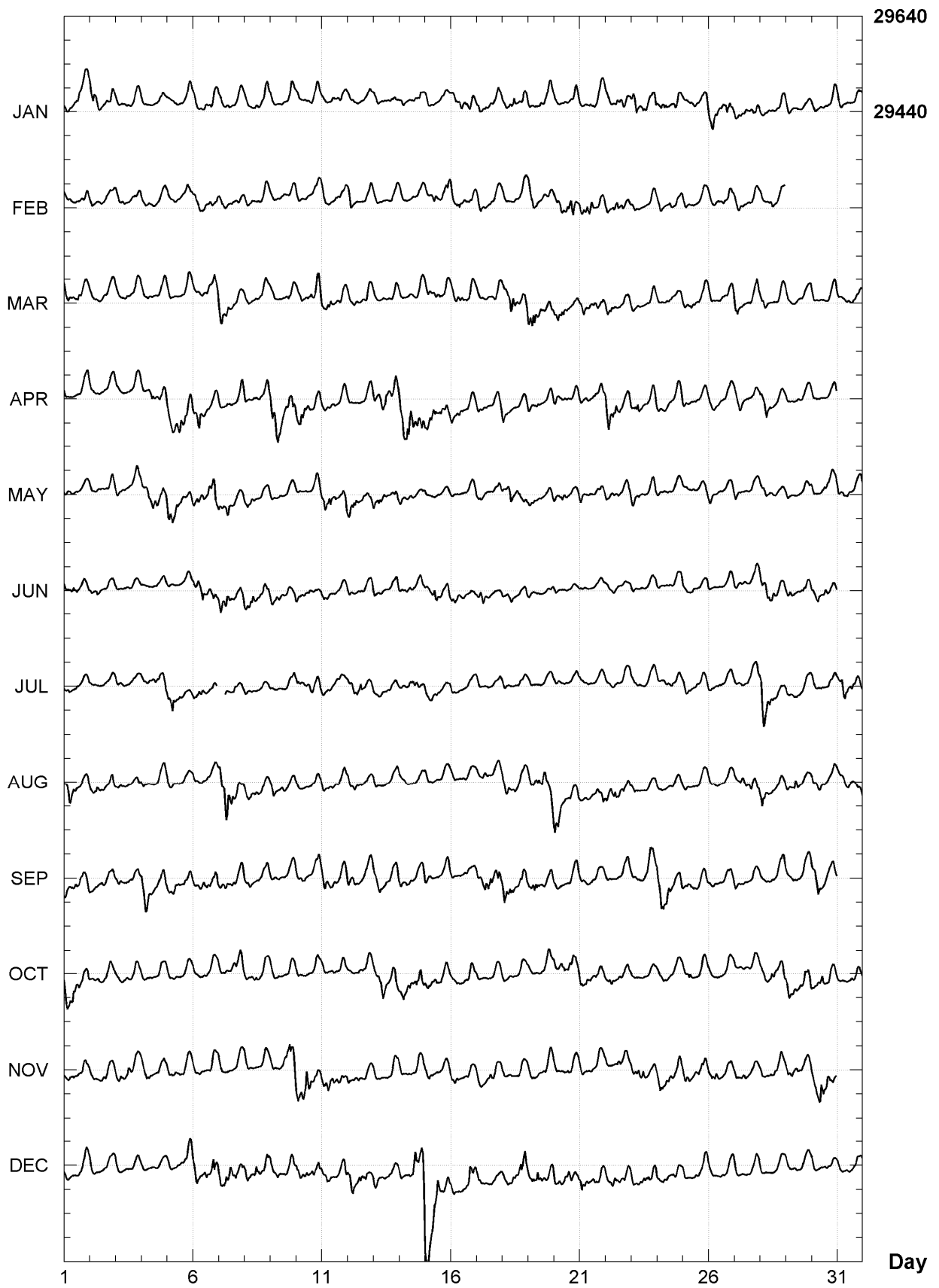
Observed and adopted baseline values (H,D,Z,F)
Daily values of the scalar residual (Fv-Fs)



PAMATAI (PPT)
K indices, 2006 (K=9 for 260 nT)

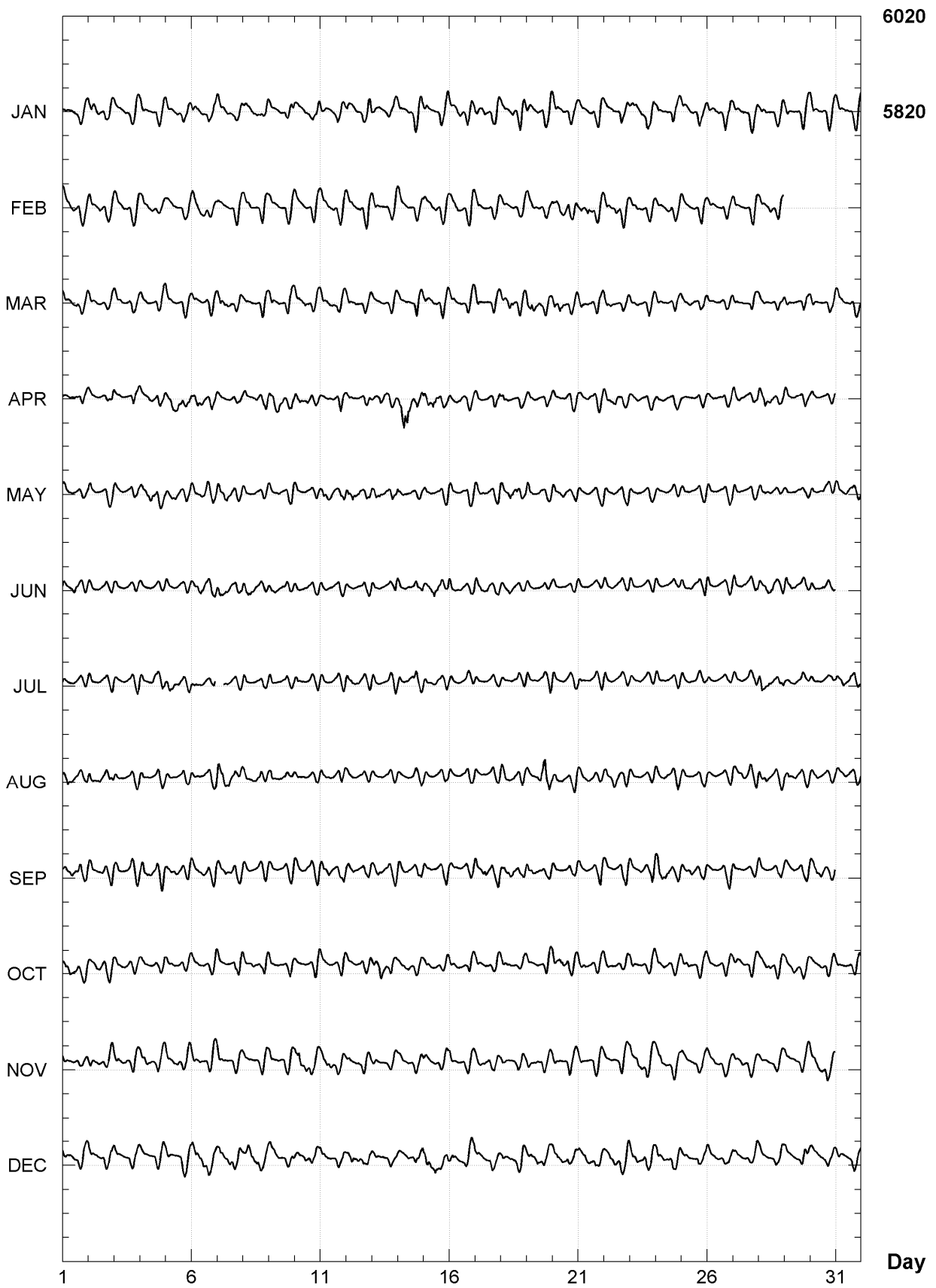
DATE	JANUARY	FEBRUARY	MARCH	APRIL	MAY	JUNE
01	3122 3223	2221 2323	3222 3212	2000 1123	2111 0001	3123 2223
02	3432 2333	3212 1223	1110 1112	2111 0123	3121 1123	2232 0212
03	2111 2222	2121 2223	2111 1222	2000 1223	3210 0233	2121 1112
04	2100 1222	2221 1112	2121 1213	2123 1224	2223 3233	1000 1112
05	1112 2223	2111 0232	2111 0222	2345 4333	4443 2113	3100 0111
06	3221 2223	3221 3222	2122 2344	3452 1122	2333 3443	2344 2323
07	2222 1222	2221 2331	4433 1212	2011 0123	3344 2122	4444 2233
08	2212 2233	2221 1333	2101 1222	3112 2134	2331 1112	3443 2232
09	2101 1133	1111 1123	1200 1332	4543 3344	2111 0114	3232 1222
10	2111 2223	3111 2333	2322 2355	3433 2223	2101 1122	3222 2213
11	3102 1321	3211 2223	3232 1222	2221 1223	2444 2135	3221 1212
12	2111 1234	2321 1133	2222 1232	2100 0113	3332 2223	2011 1123
13	2110 1222	2210 0123	2111 0112	3232 3334	2232 2223	3100 0114
14	2211 2454	2100 1213	2001 1333	3556 5434	2322 1112	2112 1233
15	2200 2322	2133 2233	2323 2432	3444 2433	2111 1113	2244 3223
16	3232 2333	3232 2223	2233 1332	3232 1112	3100 1223	3331 1223
17	2222 2333	2321 13-2	3211 0222	3221 0232	2210 1124	3343 2113
18	1224 3444	2111 1223	2245 3455	3211 0112	2343 2322	2233 0112
19	2111 3345	3332 1222	5544 3233	2112 0113	3221 2123	2210 0111
20	2211 1223	2333 3442	3433 1232	2212 2112	2123 1112	2100 1112
21	2102 2223	3334 3322	2322 3332	3121 2323	3112 1122	0100 0112
22	2123 2322	3233 3332	3331 0122	5534 2213	3111 2223	2211 1122
23	3434 3334	2221 1212	2110 0222	2331 1123	3121 1123	3100 0113
24	2331 2322	2203 3212	2101 1223	3112 1123	2112 1112	2000 1113
25	3222 2333	2111 1122	2122 1222	3110 1112	2111 0123	2112 0113
26	3333 3443	2221 2222	2212 2223	2111 0213	3100 1113	3100 0112
27	3222 2333	2121 1222	4310 1224	3231 1112	3211 0112	3211 2222
28	2222 1222	1113 2122	2320 1222	3443 1112	3221 1112	3343 3212
29	2210 2332		3201 1222	3111 1112	2100 0112	4322 1223
30	3211 2332		3101 0223	2100 0113	2102 2223	3232 3222
31	3201 1212		2122 1222		3111 1213	
DATE	JULY	AUGUST	SEPTEMBER	OCTOBER	NOVEMBER	DECEMBER
01	2211 2102	2553 1113	2223 2323	5444 3224	2122 1222	2111 2233
02	2100 0112	3232 2223	3212 1124	2121 1223	2211 2223	-110 2222
03	3101 1113	2211 1123	2321 1213	2112 2122	3212 3332	3111 1222
04	3122 3223	3110 0223	3542 2355	2110 1212	2222 1322	2000 2212
05	3552 2112	3110 0213	2233 1224	2121 1112	2222 1222	1101 2334
06	3232 111-	2111 1112	2122 2235	2122 1124	3221 1223	3323 3353
07	--21 2212	4455 4222	2231 2214	3221 2344	3210 1222	3344 3222
08	3111 0112	2232 2222	3211 1124	2223 1234	2110 1222	3444 3333
09	3100 0223	2313 1122	2110 0134	2121 0123	2101 2356	3221 1223
10	3212 2223	1010 1123	3211 1234	2211 1134	4445 3332	2223 2323
11	2111 2223	3122 1223	4432 2123	2122 1123	3343 3233	2332 2234
12	3334 4212	2222 1212	2122 0123	1111 2223	2122 1221	3433 3332
13	3222 1112	2100 0113	2231 1213	2344 3343	2120 1011	3311 1222
14	3212 3323	2010 1212	4222 1114	2333 3343	2102 1223	3223 4568
15	2222 1112	2110 1212	3110 0024	2323 1222	2211 1222	6644 5324
16	2111 0111	3111 2213	2100 1223	2221 2222	3220 1212	3222 2354
17	2111 0112	2132 1213	2124 4244	2111 1112	2111 321-	3211 2321
18	2101 0222	3322 2222	5433 2333	2111 0012	3111 0222	2213 2455
19	3100 0113	2223 5445	2342 2114	1101 1232	2222 2223	2234 3222
20	4211 0112	4432 1234	2110 1113	3233 3343	2111 2212	4323 3333
21	3110 0113	2212 2223	2111 1245	3132 2222	2201 2222	4332 3322
22	3111 1102	3343 3333	2111 1245	2331 2223	2112 3333	3233 3323
23	2120 1122	2220 0013	2111 1335	2201 1112	2244 3433	3222 3333
24	3122 2112	2111 1123	4534 2134	1221 1222	3343 3333	2232 2332
25	3210 2212	2201 0113	2222 1113	2231 1222	3321 2233	3221 2223
26	3102 1112	2110 1113	2321 0235	1111 1222	2231 2233	3111 2212
27	3100 2233	3133 2333	3102 0112	2111 2323	2122 1221	3111 1122
28	6543 2212	4321 1223	2112 1124	2223 3334	2101 2222	3000 1223
29	2111 0221	3224 2113	2121 1234	3333 2244	2433 23-2	2112 1222
30	2121 0223	3222 1222	3444 2222	2133 2222	3345 4421	2112 2221
31	2443 3212	2232 2222		2000 2222		2101 1222

PAMATAI (PPT)
Hourly mean values: X component (nT), 2006

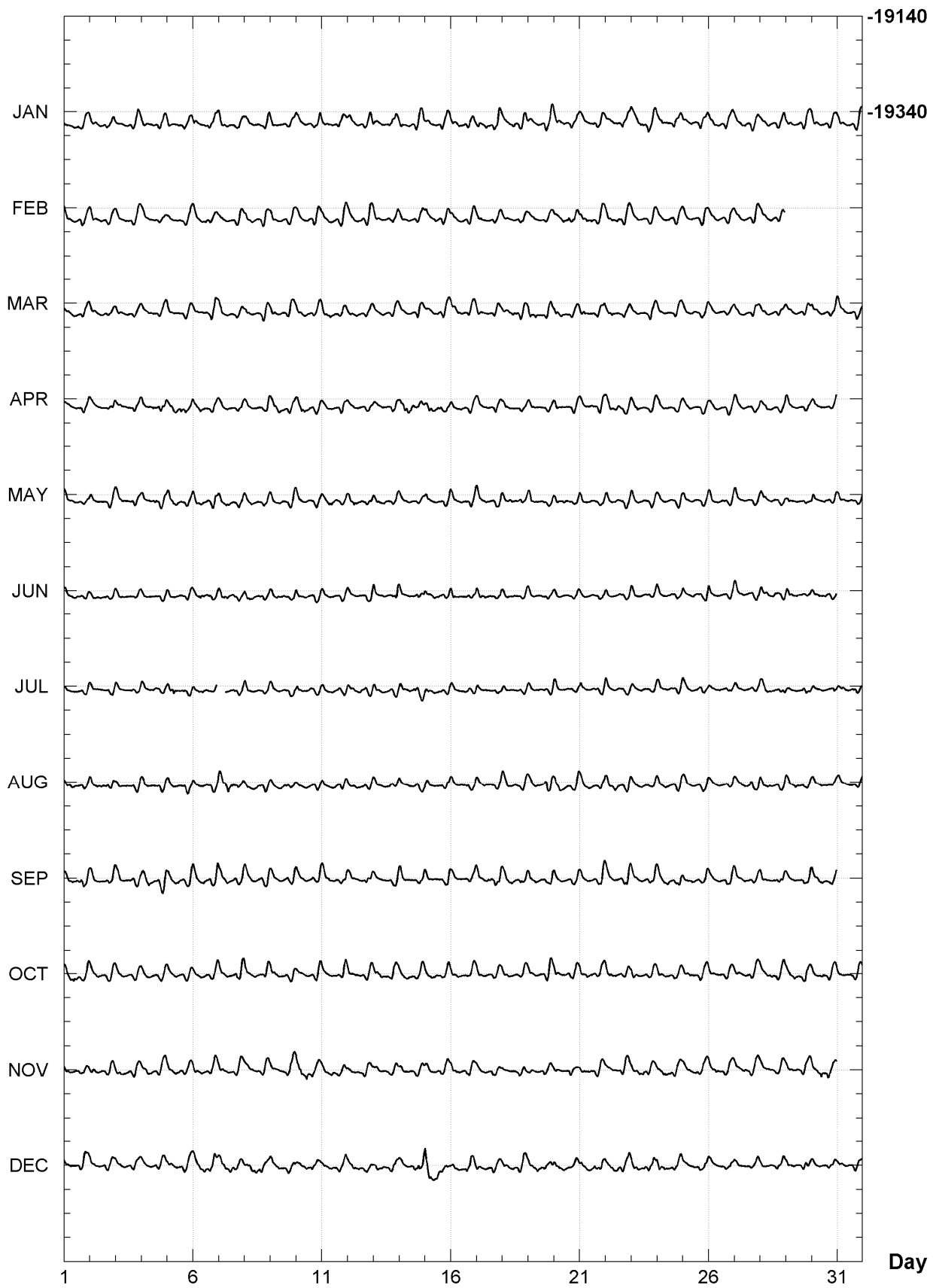


Day

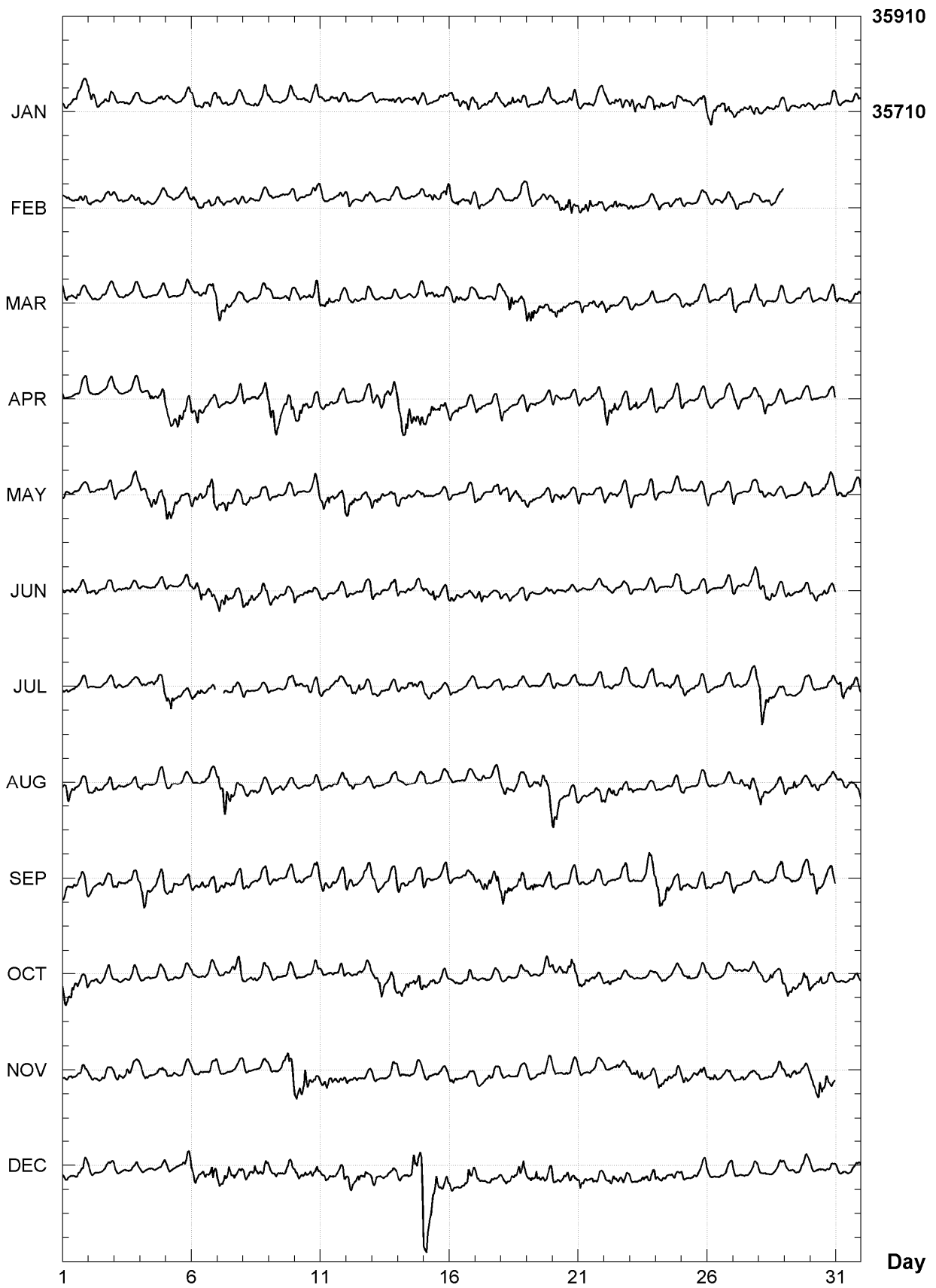
PAMATAI (PPT)
Hourly mean values: Y component (nT), 2006



PAMATAI (PPT)
Hourly mean values: Z component (nT), 2006



PAMATAI (PPT)
Hourly mean values: total field F (nT), 2006



PAMATAI (PPT)
Monthly and annual mean values, 2006

Date	D	I	H	X	Y	Z	F	J	ELE		
	o	'	o	'	nT	nT	nT	nT	nT		
JAN	11	10.7	-32	48.6	30031	29462	5822	-19362	35732	A	HDZFF
FEB	11	10.8	-32	48.7	30028	29458	5822	-19360	35728	A	HDZFF
MAR	11	10.9	-32	48.7	30022	29452	5822	-19357	35722	A	HDZFF
APR	11	11.1	-32	49.5	30005	29435	5820	-19356	35706	A	HDZFF
MAY	11	11.4	-32	48.8	30013	29443	5824	-19353	35711	A	HDZFF
JUN	11	11.9	-32	48.5	30014	29443	5829	-19350	35711	A	HDZFF
JUL	11	12.2	-32	48.3	30015	29443	5832	-19347	35710	A	HDZFF
AUG	11	12.5	-32	48.5	30009	29436	5833	-19346	35704	A	HDZFF
SEP	11	12.8	-32	48.0	30012	29439	5836	-19341	35704	A	HDZFF
OCT	11	13.1	-32	47.8	30013	29439	5839	-19340	35704	A	HDZFF
NOV	11	13.1	-32	47.9	30011	29437	5839	-19339	35702	A	HDZFF
DEC	11	13.2	-32	48.7	29997	29423	5837	-19340	35691	A	HDZFF
2006	11	12.0	-32	48.5	30014	29442	5830	-19349	35710	A	HDZFF
JAN	11	10.7	-32	48.5	30035	29465	5822	-19362	35735	Q	HDZFF
FEB	11	10.8	-32	48.4	30034	29464	5823	-19361	35734	Q	HDZFF
MAR	11	10.9	-32	48.2	30033	29463	5824	-19357	35730	Q	HDZFF
APR	11	11.2	-32	48.2	30027	29457	5825	-19354	35724	Q	HDZFF
MAY	11	11.4	-32	48.5	30018	29448	5825	-19352	35716	Q	HDZFF
JUN	11	12.0	-32	48.0	30023	29451	5831	-19349	35717	Q	HDZFF
JUL	11	12.2	-32	48.1	30019	29447	5832	-19347	35713	Q	HDZFF
AUG	11	12.3	-32	48.0	30019	29446	5833	-19346	35712	Q	HDZFF
SEP	11	12.8	-32	47.3	30022	29448	5838	-19339	35711	Q	HDZFF
OCT	11	13.1	-32	47.2	30024	29450	5841	-19339	35713	Q	HDZFF
NOV	11	13.0	-32	47.3	30022	29448	5840	-19339	35711	Q	HDZFF
DEC	11	13.3	-32	47.7	30012	29439	5840	-19338	35703	Q	HDZFF
2006	11	12.0	-32	48.0	30024	29452	5831	-19349	35718	Q	HDZFF
JAN	11	10.7	-32	49.1	30021	29452	5820	-19361	35723	D	HDZFF
FEB	11	10.6	-32	49.1	30019	29450	5819	-19359	35720	D	HDZFF
MAR	11	11.0	-32	49.6	30008	29438	5820	-19358	35711	D	HDZFF
APR	11	10.8	-32	51.3	29974	29405	5812	-19357	35681	D	HDZFF
MAY	11	11.4	-32	49.6	30001	29430	5822	-19354	35702	D	HDZFF
JUN	11	11.8	-32	49.1	30005	29434	5826	-19350	35703	D	HDZFF
JUL	11	12.1	-32	49.0	30003	29431	5829	-19348	35700	D	HDZFF
AUG	11	12.7	-32	49.2	29995	29422	5832	-19345	35692	D	HDZFF
SEP	11	12.7	-32	48.9	29997	29425	5832	-19343	35693	D	HDZFF
OCT	11	12.9	-32	48.9	29993	29420	5834	-19340	35688	D	HDZFF
NOV	11	13.2	-32	48.9	29992	29419	5836	-19340	35687	D	HDZFF
DEC	11	13.2	-32	49.7	29980	29407	5834	-19342	35678	D	HDZFF
2006	11	11.9	-32	49.4	29999	29428	5826	-19350	35698	D	HDZFF

A: Tous les jours/ All days
Q: Jours calmes/ Quiet days
D: Jours perturbés/ Disturbed days
ELE: Elements enregistrés/ Recorded elements

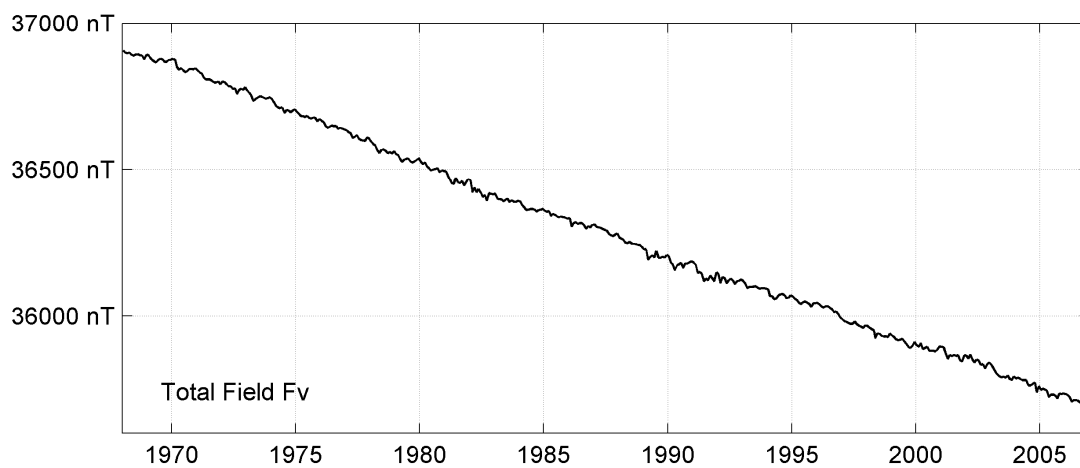
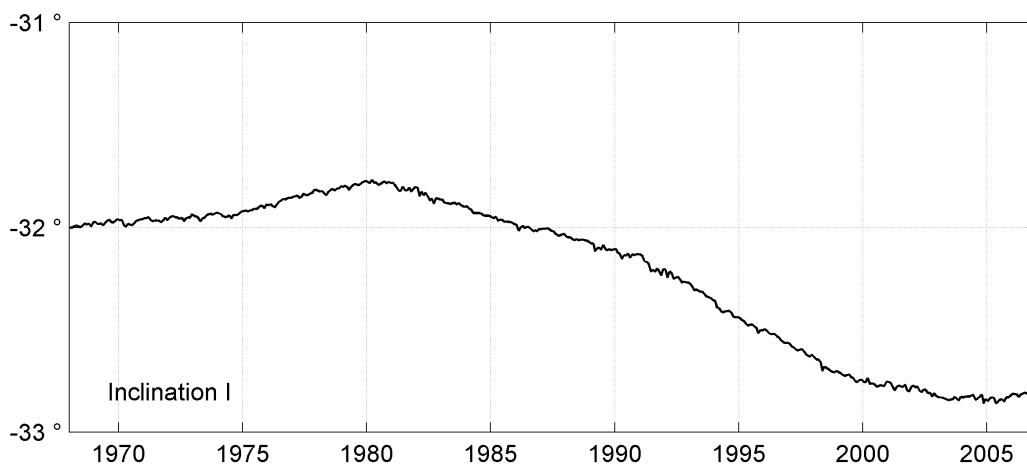
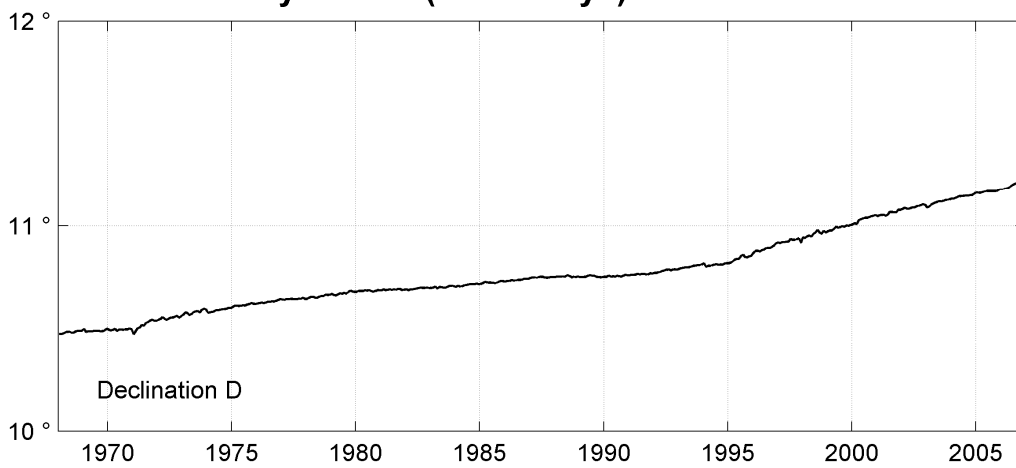
Pamatai (PPT)
Annual mean values, 1968 - 2006

Date	D ° '	I ° '	H nT	X nT	Y nT	Z nT	F nT	ELE	Note
1968.5	11 01.0	-31 16.9	31635	31052	6045	-19221	37017	HDZ	
1969.5	11 01.4	-31 15.9	31626	31042	6047	-19202	36999	HDZ	
1970.5	11 01.8	-31 16.0	31602	31019	6046	-19189	36972	HDZ	
1971.5	11 03.1	-31 15.2	31575	30989	6053	-19163	36935	HDZ	
1972.5	11 05.2	-31 14.6	31553	30964	6067	-19142	36905	HDZ	
1973.5	11 06.9	-31 14.1	31528	30937	6078	-19120	36873	HDZ	
1974.5	11 07.4	-31 13.9	31497	30905	6077	-19098	36835	HDZ	
1975.5	11 08.9	-31 12.0	31482	30888	6087	-19066	36805	HDZ	
1976.5	11 09.8	-31 10.0	31465	30870	6092	-19031	36773	HDZ	
1977.5	11 10.7	-31 07.9	31447	30850	6096	-18993	36737	HDZ	
1978.5	11 11.4	-31 06.7	31416	30819	6096	-18960	36694	HDZ	
1979.5	11 12.3	-31 05.1	31396	30798	6101	-18929	36661	HDZ	
1980.5	11 13.0	-31 04.4	31376	30776	6103	-18907	36632	HDZ	
1981.5	11 13.4	-31 06.1	31329	30730	6098	-18899	36588	HDZ	
1982.5	11 13.7	-31 08.5	31280	30681	6091	-18900	36546	HDZ	
1983.5	11 14.1	-31 10.5	31247	30648	6088	-18905	36521	HDZ	
1984.5	11 14.7	-31 13.2	31207	30607	6086	-18914	36491	HDZ	
1985.5	11 15.5	-31 15.4	31175	30575	6086	-18923	36468	HDZ	
1986.5	11 16.2	-31 17.7	31135	30535	6085	-18927	36437	HDZ	
1987.5	11 17.0	-31 18.7	31111	30510	6087	-18924	36415	HDZ	
1988.5	11 17.2	-31 20.9	31065	30464	6080	-18924	36375	HDZ	
1989.5	11 17.2	-31 23.5	31014	30414	6070	-18924	36332	HDZ	
1990.5	11 17.3	-31 25.3	30980	30380	6064	-18926	36304	HDZ	
1991.5	11 17.8	-31 29.0	30928	30329	6059	-18940	36267	HDZ	
1992.5	11 18.9	-31 32.4	30893	30293	6061	-18961	36248	HDZ	
1993.5	11 20.1	-31 36.7	30850	30249	6063	-18988	36225	HDZ	
1994.5	11 20.6	-31 42.2	30794	30192	6057	-19021	36194	HDZ	
1995.5	11 22.4	-31 46.3	30753	30149	6065	-19046	36173	HDZ	
1996.0	0 26.4	-0 08.6	109	61	252	-173	184	HDZ	1
1996.5	10 58.9	-31 40.9	30607	30046	5830	-18890	35966	HDZFF	
1997.5	11 01.1	-31 45.0	30542	29979	5837	-18900	35917	HDZFF	
1998.6	11 03.3	-31 49.8	30485	29920	5845	-18924	35881	HDZFF	2
1999.5	11 05.0	-31 52.7	30445	29877	5852	-18935	35853	HDZFF	
2000.5	11 07.5	-31 54.7	30415	29843	5868	-18940	35830	HDZFF	
2001.5	11 09.1	-31 55.5	30390	29816	5878	-18935	35806	HDZFF	
2002.0	0 05.6	0 50.9	235	221	94	479	-58	HDZFF	3
2002.5	11 05.4	-32 47.8	30129	29567	5796	-19415	35843	HDZFF	
2003.5	11 06.7	-32 50.0	30079	29515	5797	-19409	35797	HDZFF	
2004.5	11 08.6	-32 49.7	30059	29492	5809	-19392	35771	HDZFF	
2005.5	11 10.0	-32 50.2	30025	29456	5815	-19377	35734	HDZFF	
2006.5	11 12.0	-32 48.5	30014	29442	5830	-19349	35710	HDZFF	

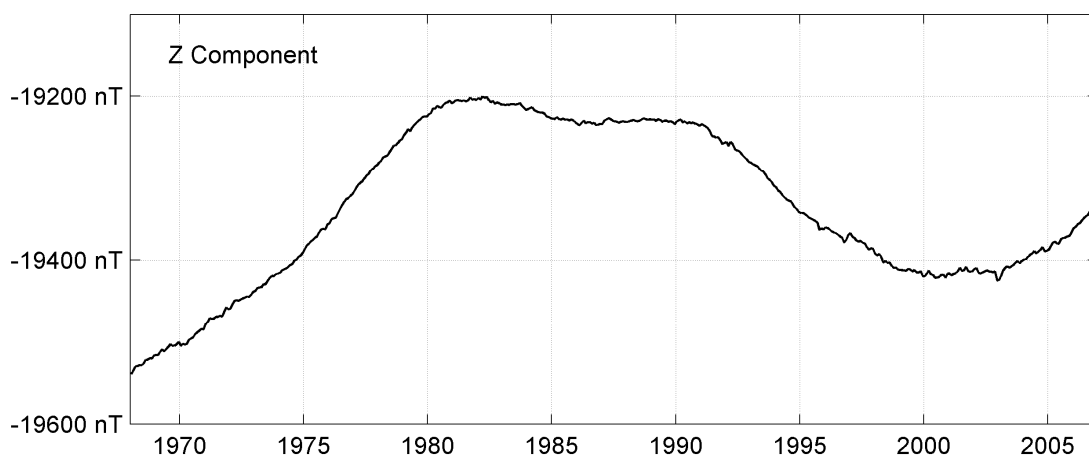
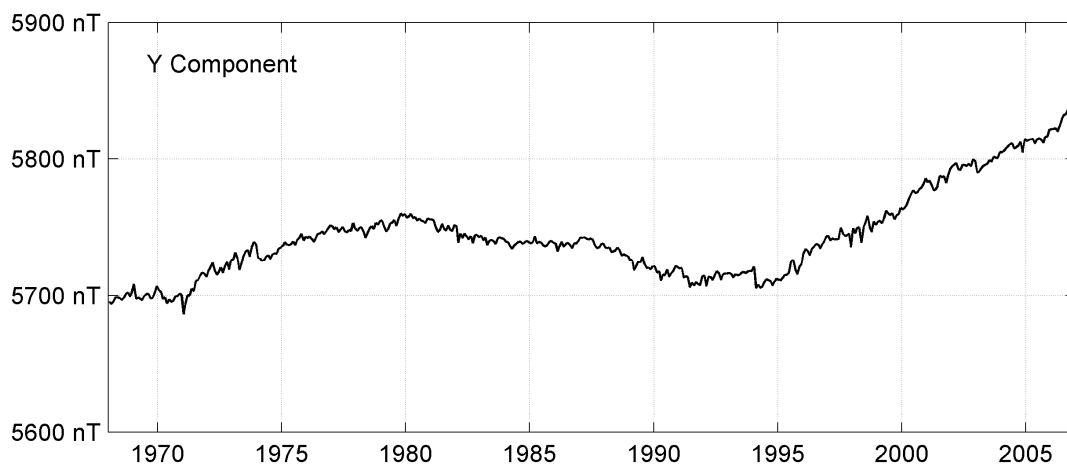
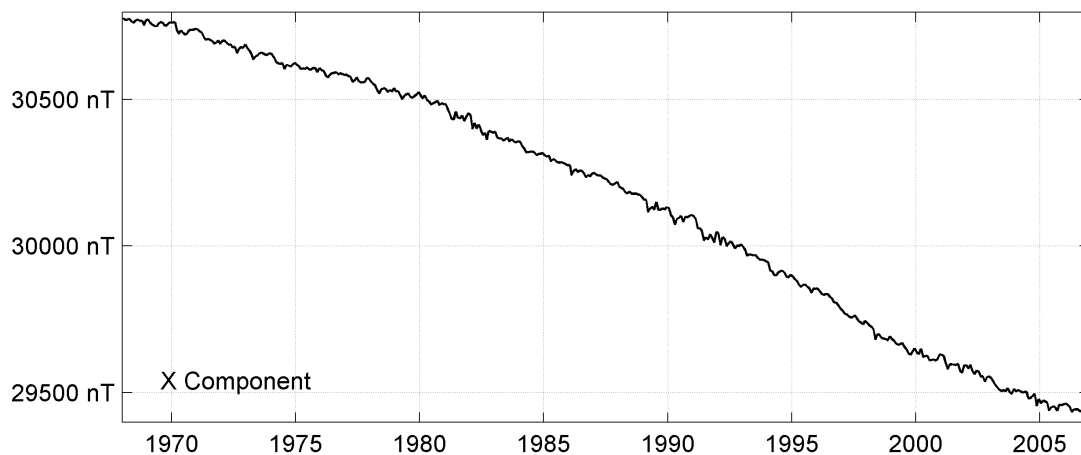
Notes :

- 1 1996.0 Observatory moved and new equipment installed
- 2 Most gaps in Jan, May 1998
- 3 2002.0 Observatory moved

PAMATAI (PPT)
Monthly means (for all days) from 1968 to 2006



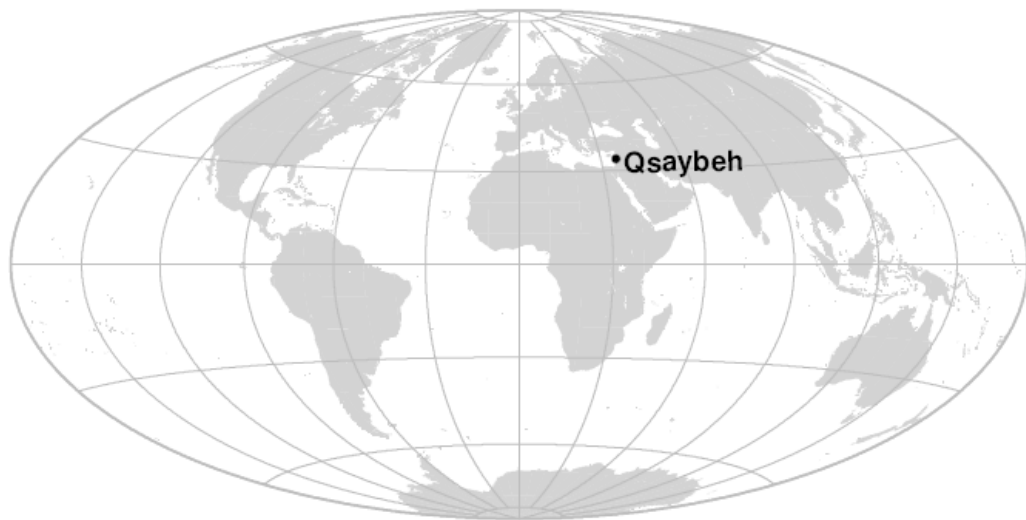
PAMATAI (PPT)
Monthly means (for all days) from 1968 to 2006



OBSERVATOIRE DE QSAYBEH (QSB)

QSAYBEH OBSERVATORY (QSB)

LIBAN / LEBANON



PRÉSENTATION

Le projet de fonder un observatoire magnétique sur le site de Ksara, au bord de la Bekâa, remonte à 1906. Le premier magnétogramme, aujourd'hui perdu, est celui du 9 juin 1909 (Berloty, 1921). Après la première guerre mondiale, l'observation continue du champ géomagnétique a repris à Ksara de 1920 à 1975, en coopération avec le BCMT et, depuis 1967, avec le soutien du Conseil National de la Recherche Scientifique du Liban (CNRSL). Les observations magnétiques faites à Ksara ont été publiées dans les « Annales de l'Observatoire Magnétique de Ksara » et, de 1934 à 1964, dans les « Annales du BCMT » (Chevrier, 1936 ; Delpeut, 1969).

Dans le cadre d'un accord de coopération entre le CNRSL et l'IPGP, un nouvel observatoire magnétique aux normes d'INTERMAGNET a été inauguré sur le site de Qsaybeh en 2000. Cet observatoire se trouve dans une zone montagneuse à environ 13 km de Beyrouth, et est géré par le Centre National de Recherches Géophysiques (CNRG) du CNRSL, en coopération avec l'IPGP. En mai 2000, une station magnétique de répétition a été créée à Hawqa, dans le nord du Liban.

Evénements en 2006 :

- Le 8 février, le magnétomètre vectoriel est tombé en panne. Il a été remplacé par un IPGP VM391 en mars.
- Le 4 avril, une probable surtension a détérioré ce nouveau magnétomètre vectoriel. Le changement d'une carte électronique a permis le redémarrage des observations le 13 mai.
- L'été fut marqué par le début d'un conflit armé et des troubles politiques dans le pays. Malgré ces conditions défavorables, l'équipe locale a poursuivi les mesures.
- Le 27 octobre, une batterie a pris feu. Les enregistrements reprirent le 28 novembre.

OBSERVATEURS

Alexandre SURSOCK (Directeur du CNRG)
Walid NOHRA

INSTRUMENTATION

Les mesures absolues ont été faites à l'aide d'un DI-flux constitué d'un théodolite

PRESENTATION

The project of establishing a magnetic observatory on the site of Ksara, near the Bekâa, dates back 1906. The first magnetogram, now lost, is that of the 9 June 1909 (Berloty, 1921). After the first World War, continuous observation of the geomagnetic field resumed in Ksara from 1920 to 1975, in cooperation with BCMT and, since 1967, with support from the Conseil National de la Recherche Scientifique du Liban (CNRSL). Magnetic observations made in Ksara were published in "Annales de l'Observatoire Magnétique de Ksara" and, from 1934 to 1964, in "Annales du BCMT" (Chevrier, 1936; Delpeut, 1969).

Within the scope of a cooperation agreement between CNRSL and IPGP, a new magnetic observatory matching INTERMAGNET standards was inaugurated on the site of Qsaybeh in 2000. This observatory is located in a mountainous area at about 13 km from Beyrouth, and is run by the Centre National de Recherches Géophysiques (CNRG) of CNRSL, in cooperation with IPGP. In May 2000, a magnetic repeat station was created in Hawqa, in the North of Lebanon.

Events in 2006:

- On 8 February, the vector magnetometer broke down. In March, it was replaced by an IPGP VM391 magnetometer.
- On 4 April the new magnetometer was damaged by what seemed to be a power surge. A substitution of the electronic board enabled to restart the recordings of the magnetic field on 13 May.
- The summer was marked by an armed conflict and political difficulties in the country. However the local staff kept doing the measurements.
- On 27 October, a battery caught on fire. The recording restarted on 28 November.

OBSERVERS

Alexandre SURSOCK (Head of CNRG)
Walid NOHRA

INSTRUMENTATION

Absolute measurements were made with a DI-flux constituted of a theodolite MG2KP

MG2KP et d'un magnétomètre à vanne de flux Lemi. Les différences pilier ont été mesurées ponctuellement à l'aide d'un magnétomètre à proton Geometrics G856ax.

Les variations magnétiques ont été enregistrées en continu par les instruments suivants :

- 1 magnétomètre homocentrique triaxial à vanne de flux Geomag M390
- 1 magnétomètre scalaire de type Overhauser Geomag SM90R

Les magnétomètres étaient installés dans un pavillon thermiquement isolé.

Les données ont été enregistrées par une acquisition IPGP ENO2 de type PC et transmises au centre d'information géomagnétique d'INTERMAGNET à Paris par satellite METEOSAT.

L'énergie était fournie par des panneaux solaires et des batteries.

TRAITEMENT DES DONNÉES

Toutes les observations ont été ramenées au pilier absolu de référence installé à environ 40 m des capteurs.

Les lignes de bases adoptées ont été obtenues en modélisant par une spline les écarts entre enregistrements continus et mesures absolues. Les valeurs de ligne de base pour la composante F proviennent des mesures de différences entre le pilier des mesures absolues et le magnétomètre scalaire.

Les variations annuelles des lignes de bases sont attribuées à la variation annuelle de température dans le pavillon des magnétomètres, estimée à environ 20°C. Cependant les variations journalières de température ne dépassent pas 1°C.

and a fluxgate magnetometer Lemi. Pillar differences were measured from time to time with a proton magnetometer Geometrics G856ax.

Magnetic variations were continuously recorded by the following instruments:

- *1 triaxial homocentric fluxgate magnetometer Geomag M390*
- *1 Overhauser type scalar magnetometer Geomag SM90R*

The magnetometers were installed in a thermally insulated pavilion.

Data were acquired by a data logger IPGP ENO2, which is based on a PC system, and transmitted to the INTERMAGNET Geomagnetic Information Node in Paris via METEOSAT satellite.

The power was supplied by solar panels and batteries.

DATA PROCESSING

All the observations were reduced to the absolute pillar, at a distance of about 40 m from the sensors.

The adopted baseline values were obtained by spline modelling of the differences between continuous recordings and absolute measurements. Baseline values for the F component come from differences between the absolute pillar and the scalar magnetometer.

The annual baseline variations are attributed to the annual temperature variation in the magnetometer pavilion, estimated at 20°C. However the daily temperature variations remain less than 1°C.

Valeurs moyennes horaires disponibles / *Hourly mean values available* [2006] : 68.8%

Nombre de mesures absolues utilisées / *Number of used absolute measurements* [2006] : 22

Amplitudes pic-à-pic des lignes de base / *peak-to-peak baseline amplitudes* [2006] :

$$|D_{o, \min} - D_{o, \max}| = 35''$$

$$|Z_{o, \min} - Z_{o, \max}| = 8.0\text{nT}$$

$$|H_{o, \min} - H_{o, \max}| = 33.0\text{nT}$$

Différences RMS entre valeurs de lignes de base mesurées et adoptées

Root mean square differences between measured and adopted baseline values [2006] :

$$(\Delta D_o)_{\text{rms}} = 3''$$

$$(\Delta Z_o)_{\text{rms}} = 0.5\text{nT}$$

$$(\Delta H_o)_{\text{rms}} = 1.0\text{nT}$$

Valeur RMS du résidu scalaire Fv-Fs / *RMS value of scalar residual Fv-Fs* [2006] :

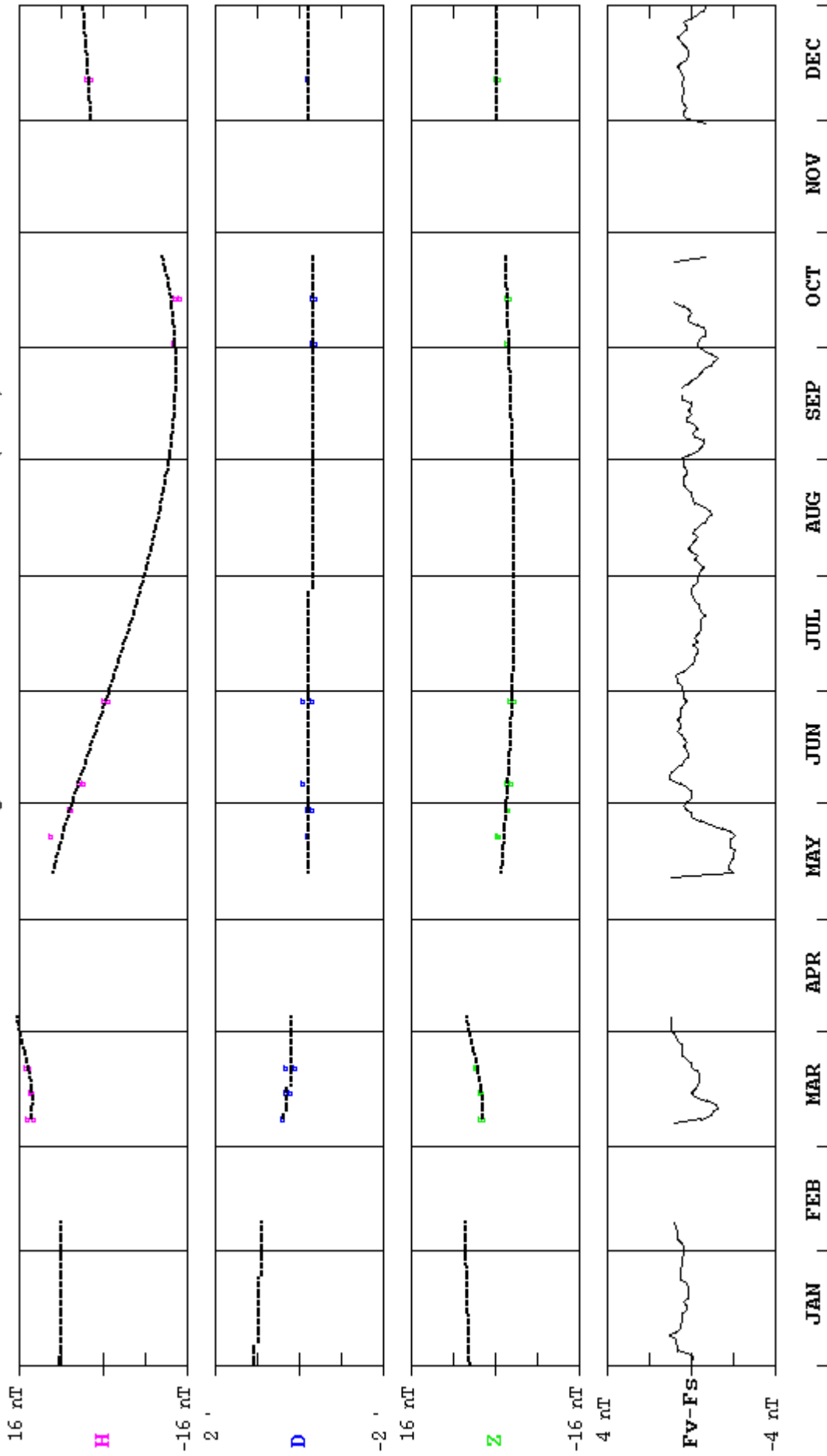
$$[\Delta(F_s - F_v)]_{\text{rms}} = 0.4\text{nT}$$

CENTRE NATIONAL DE GÉOPHYSIQUE
Campus de l'hôpital Bhannes
Bickfaya - LEBANON

TEL.: +961 4 98 63 98

QSAYBEH (QSB) 2006

Observed and adopted baseline values (H,D,Z)
 Daily values of the scalar residual (Fv-Fs)

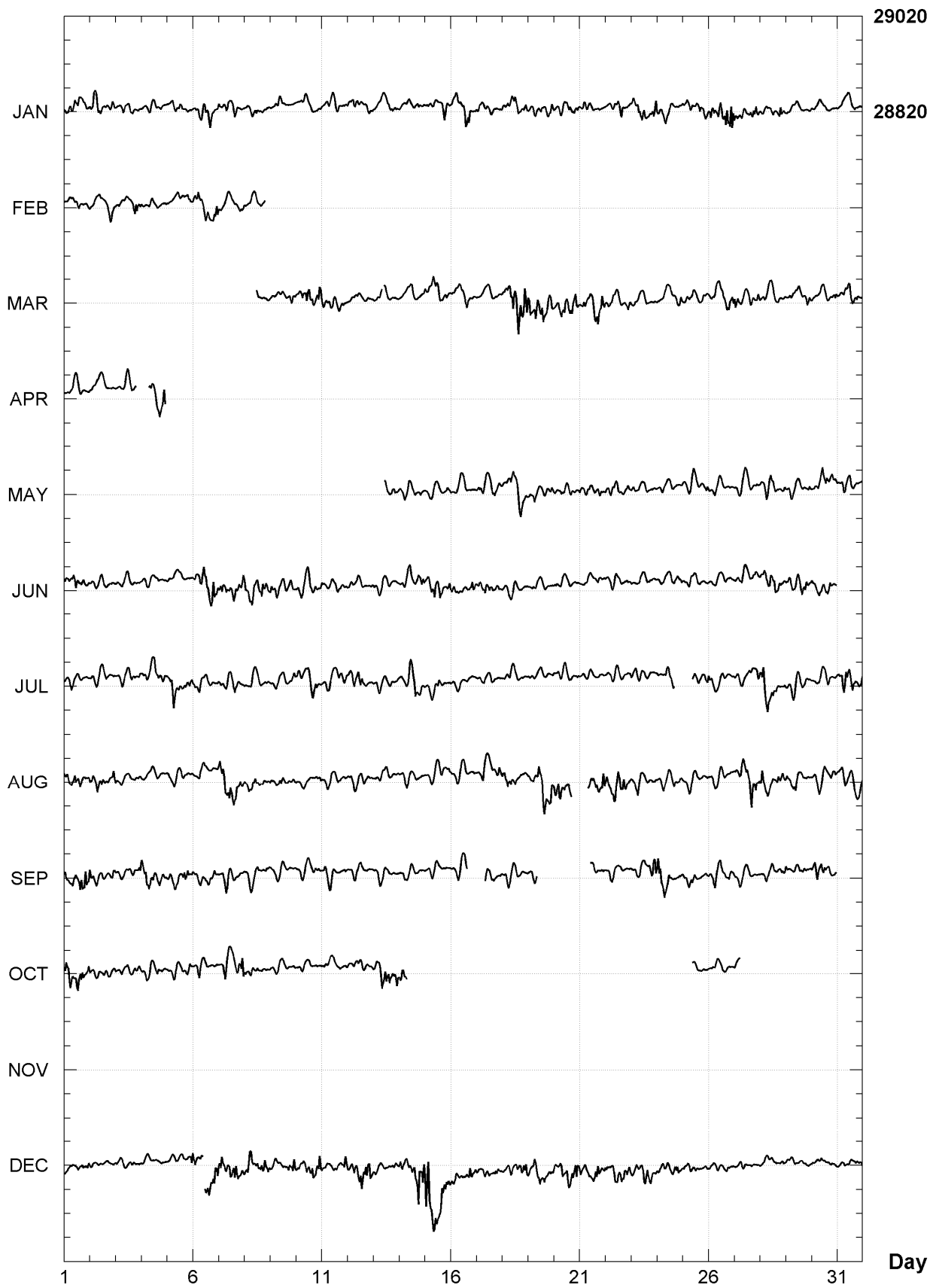


QSAYBEH (QSB)

K indices, 2006 (K=9 for 300 nT)

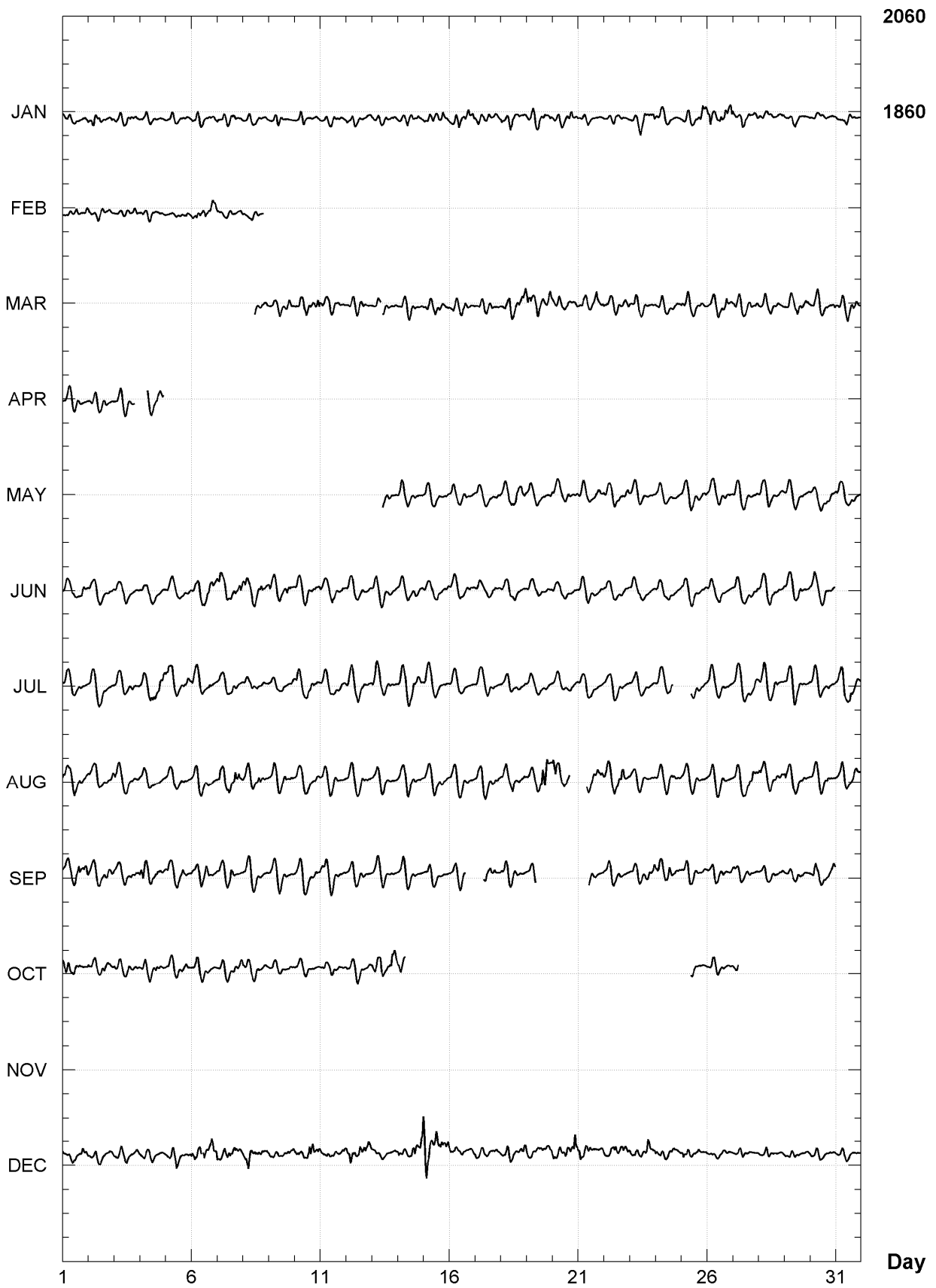
DATE	JANUARY		FEBRUARY		MARCH		APRIL		MAY		JUNE	
01	2233	4322	0222	3113	----	----	0121	2201	----	----	3224	3333
02	3453	2324	2122	1233	----	----	1121	2211	----	----	2322	1322
03	2122	2321	2122	1343	----	----	0122	22--	----	----	2222	2211
04	1121	1120	3222	2212	----	----	---3	234-	----	----	2221	2211
05	0122	3222	1112	1232	----	----	----	----	----	----	1111	1121
06	2333	4422	3422	4244	----	----	----	----	----	----	2245	4454
07	3222	3421	2111	2232	----	----	----	----	----	----	3333	4344
08	1122	2211	2111	12--	----	3222	----	----	----	----	4454	3543
09	1232	1101	----	----	1211	1132	----	----	----	----	3332	3342
10	1222	2102	----	----	223-	4335	----	----	----	----	3323	3332
11	1222	2221	----	----	4333	2332	----	----	----	----	2112	3222
12	3233	2122	----	----	1122	2221	----	----	----	----	2222	1212
13	1111	2222	----	----	122-	1111	----	----	----	3232	2211	2112
14	1112	2232	----	----	1112	3112	----	----	2322	2222	2213	2234
15	2211	1343	----	----	3333	4342	----	----	1211	1113	3445	5434
16	2333	4444	----	----	2222	2322	----	----	1221	2111	3332	1243
17	3322	3222	----	----	1122	2122	----	----	2222	3323	2332	3231
18	2334	3323	----	----	2345	5666	----	----	2334	3542	1223	2212
19	2132	3234	----	----	6355	5354	----	----	2232	2233	2221	0011
20	2222	3332	----	----	3334	3354	----	----	2122	1222	2122	2221
21	2322	1110	----	----	2322	4444	----	----	3222	1232	1121	1222
22	0123	4412	----	----	2332	2234	----	----	3323	3224	2222	2222
23	3344	4335	----	----	2221	2102	----	----	3221	2111	1211	0121
24	3232	2212	----	----	1122	2234	----	----	1222	1111	1111	2222
25	3222	2343	----	----	2222	2131	----	----	2222	1133	2232	2212
26	4424	4646	----	----	2222	3344	----	----	2221	2111	1222	1211
27	3222	2333	----	----	4321	2424	----	----	2122	1102	2122	2233
28	2221	2243	----	----	2221	2222	----	----	2233	2213	3334	4233
29	2122	1102	----	----	2212	2233	----	----	2221	1112	3333	3443
30	2111	1110	----	----	2012	1133	----	----	1123	4433	2222	3321
31	1112	2311	----	----	1233	2331	----	----	3232	2222	----	----
DATE	JULY		AUGUST		SEPTEMBER		OCTOBER		NOVEMBER		DECEMBER	
01	2221	2111	3334	3322	3232	2454	4444	4423	----	----	2112	2233
02	1211	1111	2233	3214	4222	2234	32-2	2333	----	----	2121	1112
03	1222	1222	3222	2122	2222	2223	2222	3223	----	----	1221	1222
04	2222	4443	1211	0011	4433	2343	2322	1321	----	----	0100	1121
05	3453	2333	2221	1121	2223	2442	2221	2133	----	----	1124	1223
06	3342	2222	1222	1212	2222	3331	1332	1112	----	----	434-	4455
07	2222	2321	4445	5533	2232	3321	1342	2445	----	----	4344	4433
08	1222	1111	3333	3332	2332	2212	2232	3222	----	----	3554	4453
09	1111	2024	2323	3223	1331	1111	1212	1132	----	----	2221	1335
10	3323	3433	1121	1123	2232	1232	1121	1111	----	----	3323	5545
11	1222	3343	2222	2222	3333	2212	2221	1211	----	----	3223	2135
12	3435	5222	2331	2221	2232	2122	2122	3212	----	----	3443	5454
13	2332	1212	1222	2211	2333	2110	3455	4464	----	----	3221	1223
14	2234	4433	1122	1111	1332	2121	44--	----	----	----	3323	6677
15	2212	3221	1112	1322	1232	1111	----	----	----	----	7755	5554
16	2111	1111	2232	2122	1233	4---	----	----	----	----	3323	2353
17	1121	2121	1342	2224	---3	3322	----	----	----	----	3132	2231
18	2221	1221	3333	3433	2332	1110	----	----	----	----	2233	3444
19	2210	1112	2234	6656	125-	----	----	----	----	----	4333	3332
20	1211	1112	4542	3---	----	----	----	----	----	----	4343	5555
21	1121	1111	---2	3435	----	1112	----	----	----	----	3333	4433
22	1222	1113	4256	5542	1332	1121	----	----	----	----	3244	3344
23	3111	1222	2232	1112	1222	1245	----	----	----	----	2233	4443
24	2232	2---	2222	2323	5434	4223	----	----	----	----	2222	3442
25	---2	2223	1221	1111	3334	3113	----	1120	----	----	3232	3212
26	3222	2211	1332	1122	3332	2333	1122	2110	----	----	2122	3221
27	2221	3334	2343	4543	2211	1211	23--	----	----	----	1222	1111
28	6653	3312	4322	2344	2222	2124	----	----	----	----	1222	2132
29	2343	2122	3233	2322	3121	3331	----	----	----	----	2221	1122
30	2222	1213	2333	3233	3555	3323	----	----	----	----	2123	1221
31	2554	5334	2342	2244	----	----	----	----	----	----	1122	1112

QSAYBEH (QSB)
Hourly mean values: X component (nT), 2006

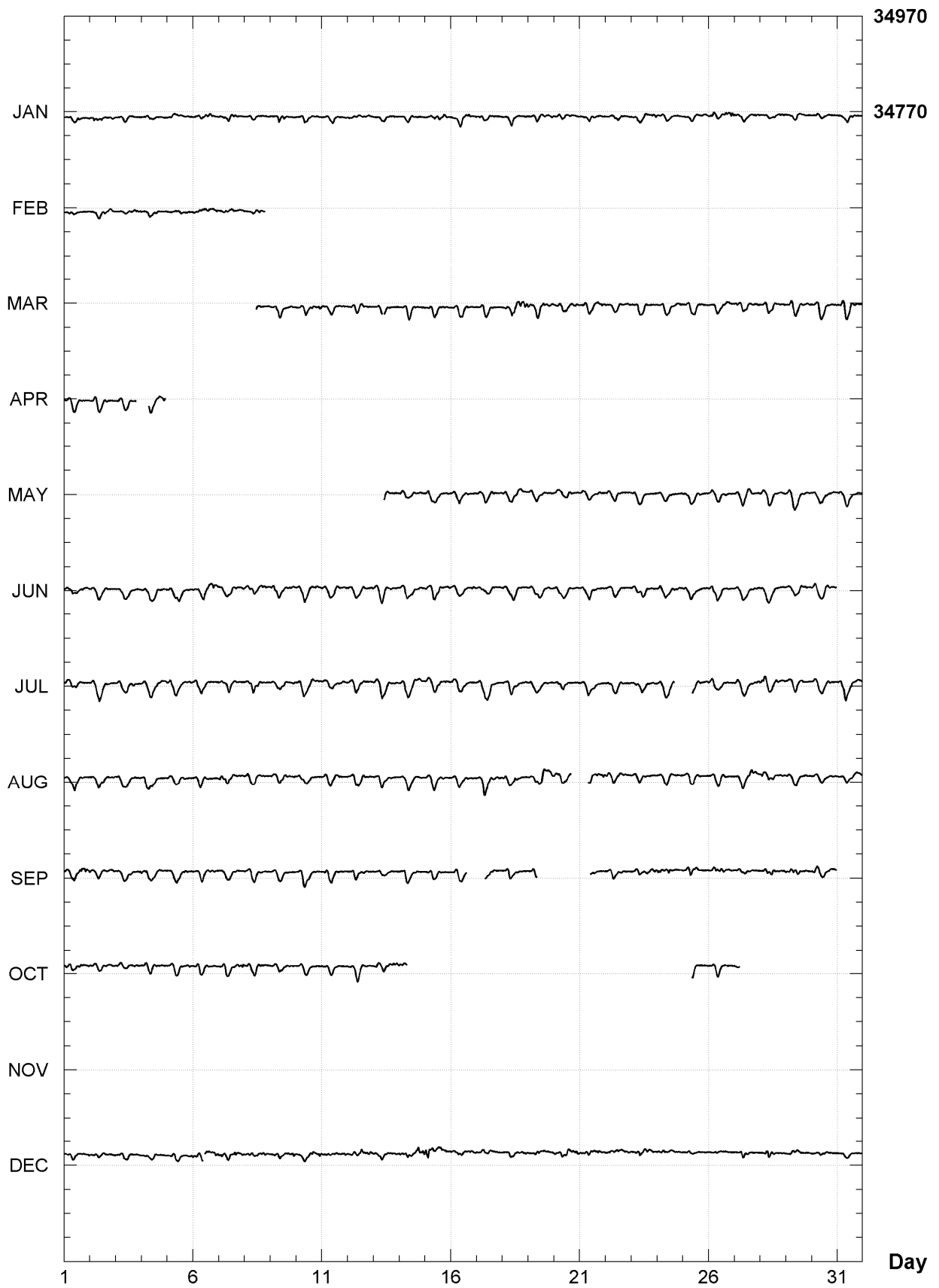


Day

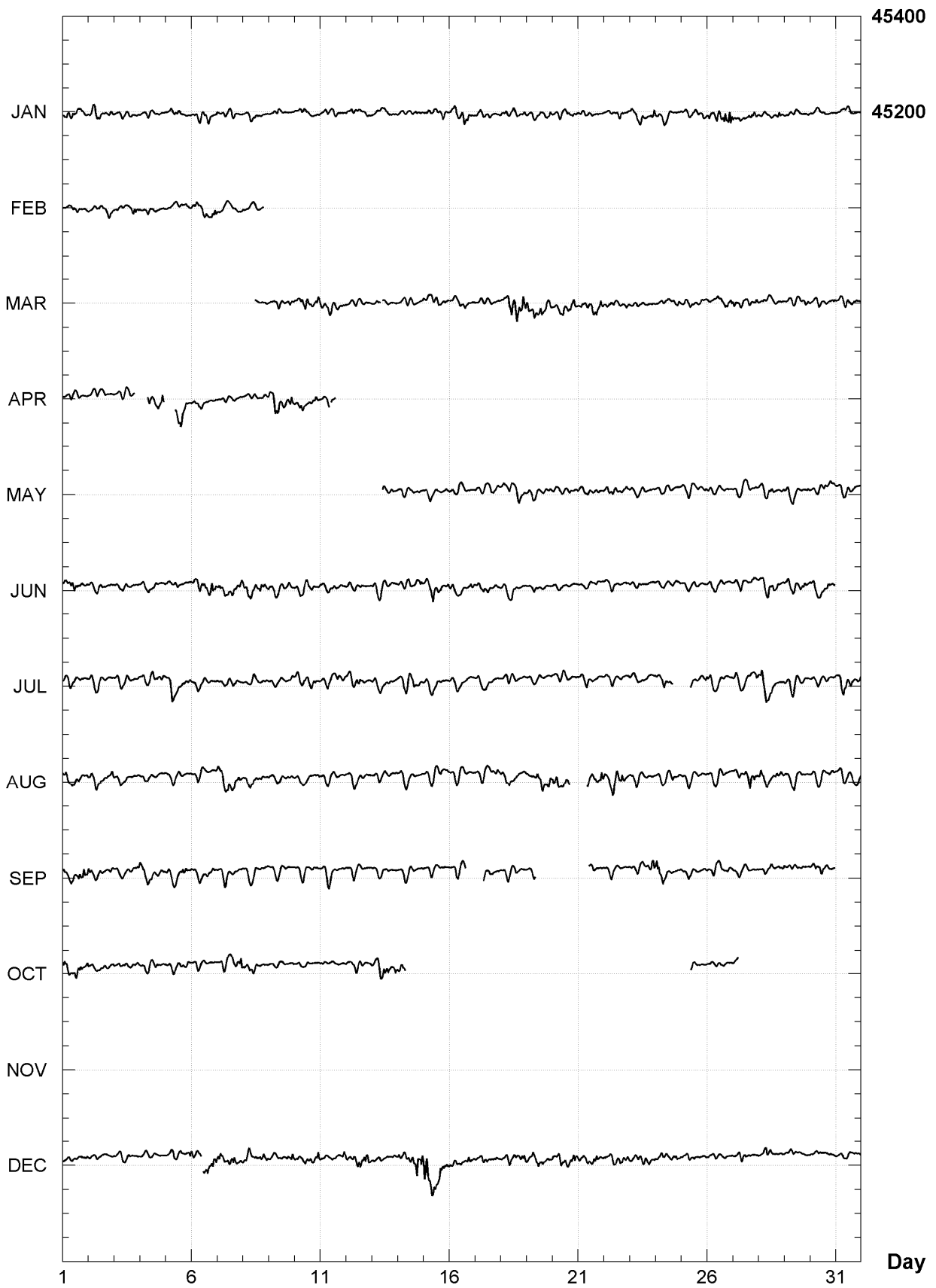
QSAYBEH (QSB)
Hourly mean values: Y component (nT), 2006



QSAYBEH (QSB)
Hourly mean values: Z component (nT), 2006



QSAYBEH (QSB)
Hourly mean values: total field F (nT), 2006



QSAYBEH (QSB)

Monthly and annual mean values, 2006

Date	D	I	H	X	Y	Z	F	J	ELE		
	o	'	o	'	nT	nT	nT	nT	nT		
JAN	3	39.8	50	16.3	28887	28828	1846	34759	45195	A	HDZF
FEB	3	40.1	50	16.3	28888	28829	1848	34762	45199	A	HDZF
MAR	3	40.9	50	16.2	28890	28831	1855	34762	45200	A	HDZF
APR	3	40.8	50	15.6	28902	28842	1855	34764	45208	A	HDZF
MAY	3	41.3	50	16.4	28894	28834	1859	34769	45208	A	HDZF
JUN	3	41.5	50	16.4	28895	28835	1861	34771	45210	A	HDZF
JUL	3	41.9	50	16.5	28894	28834	1863	34773	45211	A	HDZF
AUG	3	42.3	50	17.2	28887	28827	1867	34779	45211	A	HDZF
SEP	3	42.6	50	17.2	28890	28829	1869	34782	45215	A	HDZF
OCT	3	42.9	50	17.2	28891	28830	1872	34784	45217	A	HDZF
NOV	999	99.0	999	99.0	99999	99999	99999	99999	99999	A	HDZF
DEC	3	44.7	50	18.7	28875	28813	1886	34795	45215	A	HDZF
2006	3	41.9	50	16.9	28889	28829	1864	34774	45208	A	HDZF
JAN	3	39.7	50	15.9	28892	28833	1846	34759	45199	Q	HDZF
FEB	999	99.0	999	99.0	99999	99999	99999	99999	99999	Q	HDZF
MAR	3	40.8	50	15.9	28894	28834	1854	34760	45200	Q	HDZF
APR	3	40.6	50	15.3	28907	28847	1854	34763	45211	Q	HDZF
MAY	3	41.2	50	16.2	28896	28836	1858	34768	45208	Q	HDZF
JUN	3	41.2	50	16.0	28901	28841	1858	34770	45212	Q	HDZF
JUL	3	41.5	50	16.1	28900	28840	1861	34772	45214	Q	HDZF
AUG	3	42.0	50	16.7	28894	28834	1865	34776	45214	Q	HDZF
SEP	3	42.2	50	16.6	28898	28838	1867	34780	45219	Q	HDZF
OCT	3	42.8	50	16.8	28897	28837	1872	34783	45220	Q	HDZF
NOV	999	99.0	999	99.0	99999	99999	99999	99999	99999	Q	HDZF
DEC	3	44.2	50	18.0	28886	28825	1882	34793	45222	Q	HDZF
2006	3	41.8	50	16.5	28896	28836	1863	34774	45213	Q	HDZF
JAN	3	40.0	50	16.6	28881	28822	1847	34759	45192	D	HDZF
FEB	3	40.6	50	17.1	28878	28818	1852	34765	45194	D	HDZF
MAR	3	41.5	50	16.9	28879	28819	1859	34762	45193	D	HDZF
APR	999	99.0	999	99.0	99999	99999	99999	99999	99999	D	HDZF
MAY	3	41.6	50	16.6	28892	28832	1861	34770	45207	D	HDZF
JUN	3	41.8	50	16.8	28889	28829	1862	34772	45207	D	HDZF
JUL	3	42.1	50	17.1	28886	28825	1865	34774	45206	D	HDZF
AUG	3	42.8	50	18.1	28874	28814	1870	34782	45205	D	HDZF
SEP	3	43.1	50	17.7	28882	28821	1873	34782	45210	D	HDZF
OCT	3	43.5	50	18.2	28876	28815	1876	34786	45210	D	HDZF
NOV	999	99.0	999	99.0	99999	99999	99999	99999	99999	D	HDZF
DEC	3	45.4	50	19.8	28857	28795	1891	34795	45204	D	HDZF
2006	3	42.4	50	17.5	28879	28818	1867	34775	45203	D	HDZF

A: Tous les jours/ All days
Q: Jours calmes/ Quiet days
D: Jours perturbés/ Disturbed days
ELE: Elements enregistrés/ Recorded elements

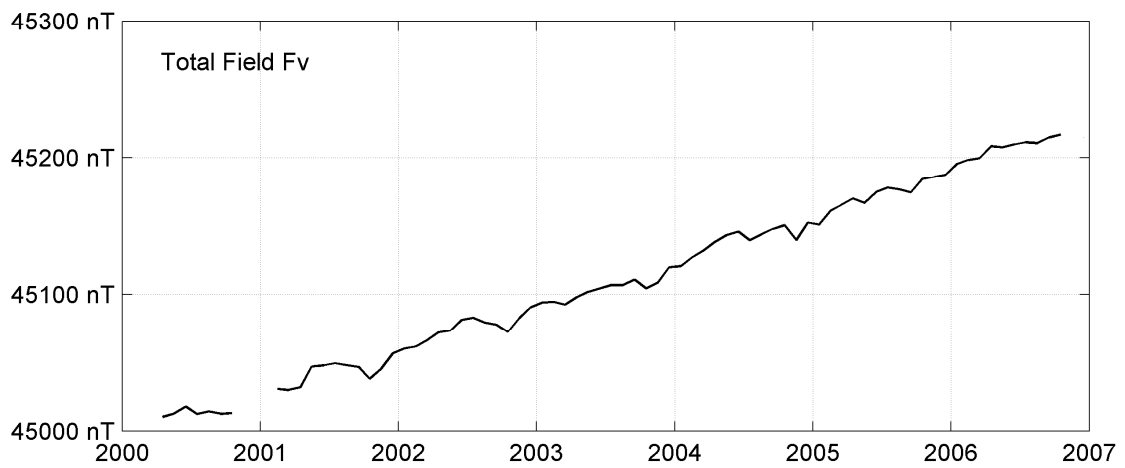
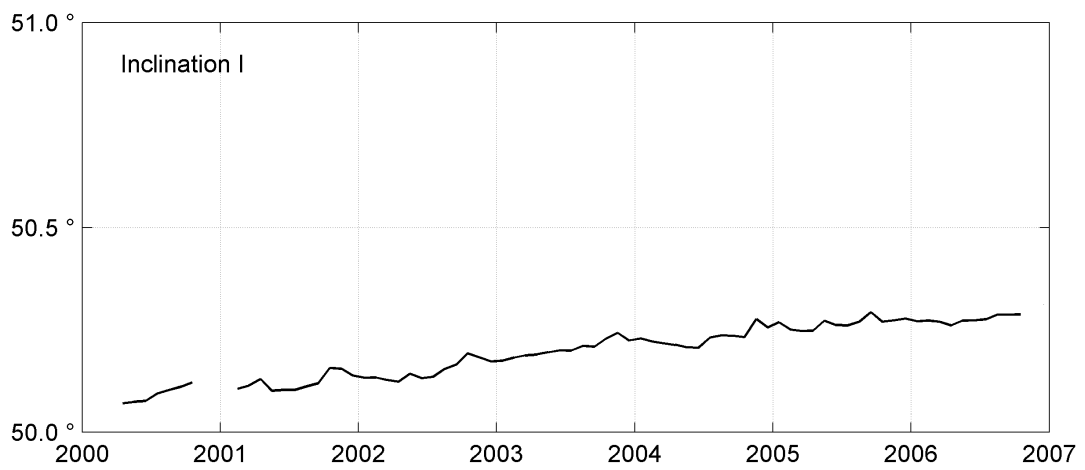
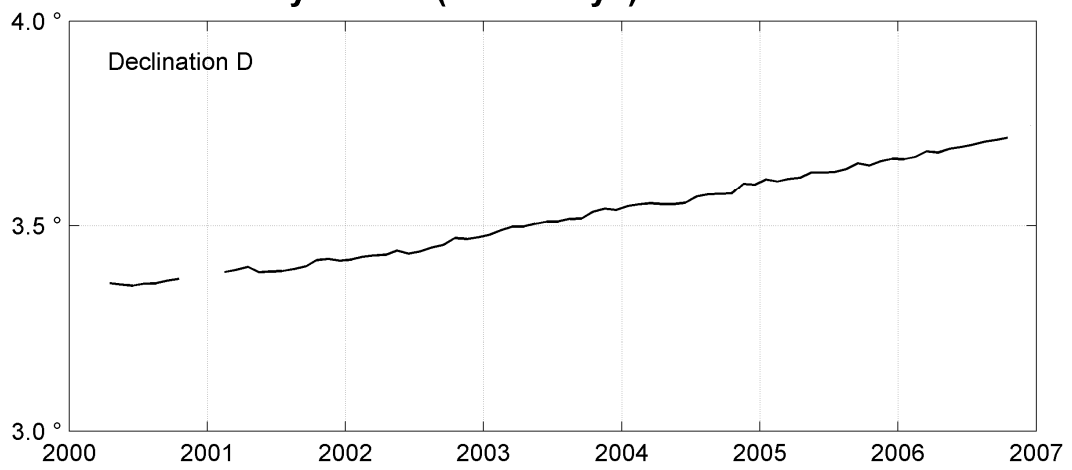
QSAYBEH (QSB)
Annual mean values, 2000 - 2006

Date	D	I	H	X	Y	Z	F	ELE	Note
	o ' .	o ' .	nT	nT	nT	nT	nT		
2000.5	3 21.7	50 05.7	28877	28827	1693	34530	45013	HDZF	1
2001.6	3 24.0	50 07.4	28880	28829	1712	34568	45044	HDZF	2
2002.5	3 26.7	50 09.1	28882	28830	1735	34607	45076	HDZF	
2003.5	3 30.6	50 12.2	28869	28815	1768	34654	45103	HDZF	
2004.5	3 34.1	50 13.8	28876	28820	1797	34696	45140	HDZF	
2005.5	3 38.0	50 15.9	28875	28817	1830	34738	45172	HDZF	
2006.5	3 41.9	50 16.9	28889	28829	1864	34774	45208	HDZF	3

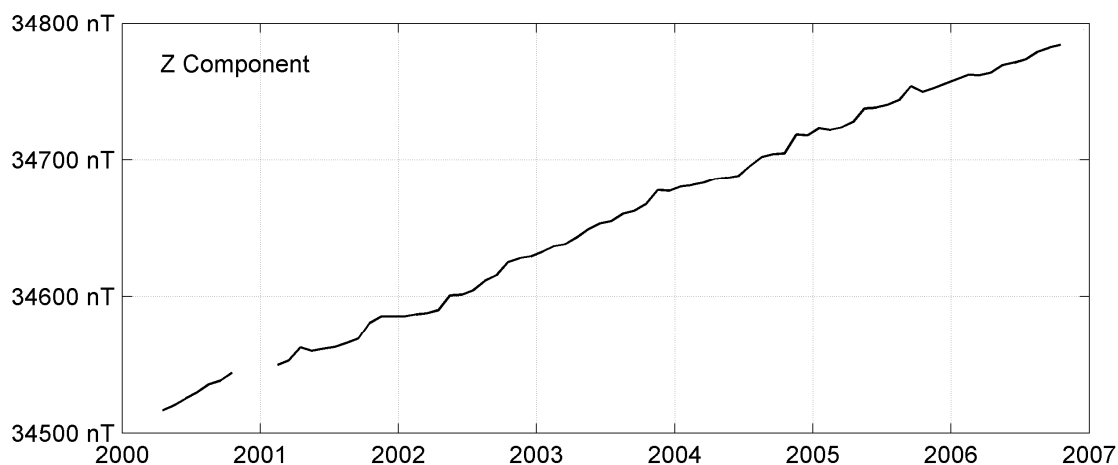
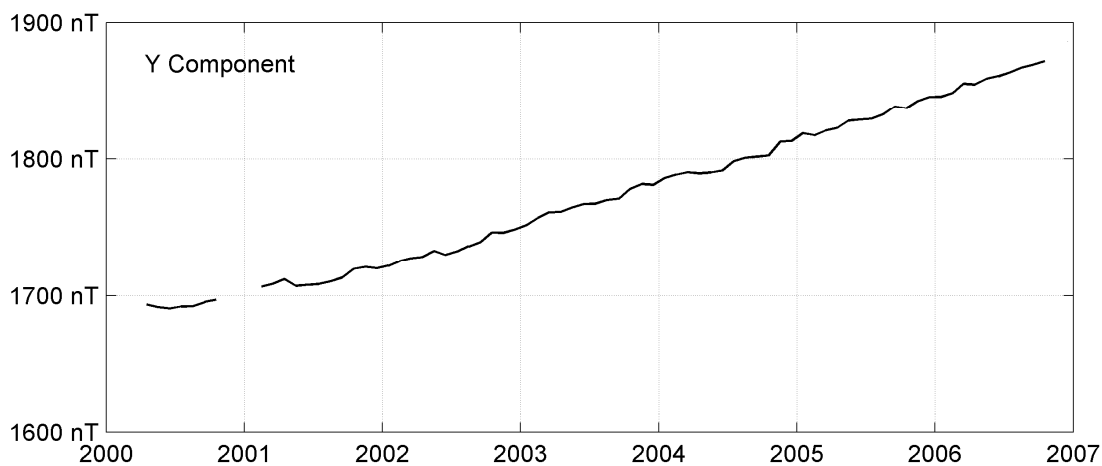
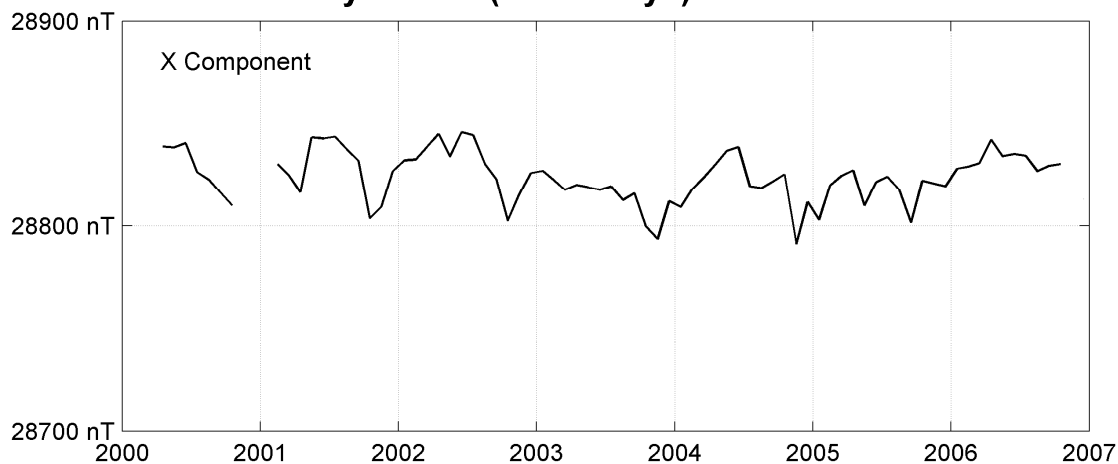
Notes :

- 1 Apr-Oct 2000
- 2 Feb-Dec 2001
- 3 Most gaps in Jan, Feb, Mar, Apr, Oct, Nov 2006

QSAYBEH (QSB)
Monthly means (for all days) from 2000 to 2006



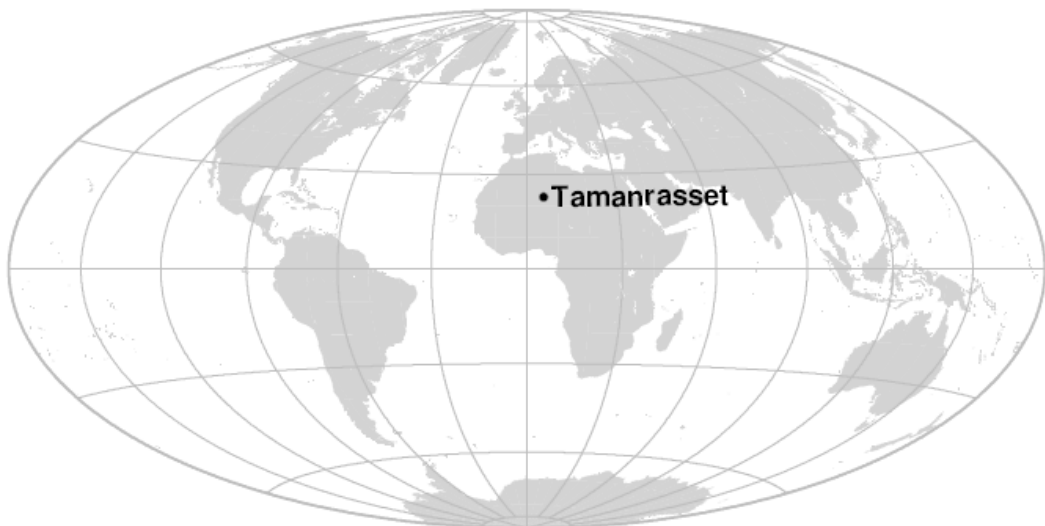
QSAYBEH (QSB)
Monthly means (for all days) from 2000 to 2006



OBSERVATOIRE DE TAMANRASSET (TAM)

TAMANRASSET OBSERVATORY (TAM)

ALGÉRIE / ALGERIA



PRÉSENTATION

L'observatoire magnétique de Tamanrasset a été inauguré en janvier 1932. Les mesures magnétiques continues ont démarré la même année avec les variomètres Mascart et La Cour.

En 1993, la coopération entre l'IPGP et le Centre de Recherche en Astronomie, Astrophysique et Géophysique (CRAAG) a permis d'installer de nouveaux équipements aux normes du réseau INTERMAGNET.

Le magnétomètre vectoriel a été remplacé en novembre 2004 par un IPGP VM391.

OBSERVATEURS

Nouredine AKACEM (Directeur de l'observatoire)
Abderrahmane HEMMI
Abdallah MANSOURI

INSTRUMENTATION

Les mesures absolues ont été faites à l'aide d'un DI-flux constitué d'un théodolite Zeiss 020B et d'un magnétomètre à vanne de flux. Les différences pilier ont été mesurées régulièrement à l'aide d'un magnétomètre à proton PPM EDA 105.

Les variations magnétiques ont été enregistrées en continu par les instruments suivants :

- 1 magnétomètre homocentrique triaxial à vanne de flux IPGP VM391
- 1 magnétomètre scalaire de type Overhauser Geomag SM90R

Les magnétomètres étaient installés dans une cave enterrée, thermiquement isolée.

Les données ont été enregistrées par une acquisition IPGP ENO2 de type PC et transmises au centre d'information géomagnétique d'INTERMAGNET à Paris par internet.

L'énergie était fournie par le réseau local d'électricité.

TRAITEMENT DES DONNÉES

Toutes les observations ont été ramenées au pilier absolu de référence installé à environ 105m des capteurs.

PRESENTATION

The Tamanrasset magnetic observatory was inaugurated in January 1932. Continuous magnetic observations started the same year with Mascart and La Cour variometers.

In 1993, the cooperation between IPGP and Centre de Recherche en Astronomie, Astrophysique et Géophysique (CRAAG) made it possible to install new magnetic equipments matching INTERMAGNET standards.

In November 2004, the vector magnetometer was replaced by an IPGP VM391.

OBSERVERS

Nouredine AKACEM (Head of the observatory)
Abderrahmane HEMMI
Abdallah MANSOURI.

INSTRUMENTATION

Absolute measurements were made with a DI-flux constituted of a theodolite Zeiss 020B and a fluxgate magnetometer. Pillar differences were regularly measured with a proton magnetometer PPM EDA 105.

Magnetic variations were continuously recorded by the following instruments:

- 1 triaxial homocentric fluxgate magnetometer IPGP VM391
- 1 Overhauser type scalar magnetometer Geomag SM90R

The magnetometers were installed in a thermally insulated, underground vault.

Data were acquired by a data logger IPGP ENO2, which is based on a PC system, and transmitted to the INTERMAGNET Geomagnetic Information Node in Paris via the internet.

The power was supplied by the local electric network.

DATA PROCESSING

All the observations were reduced to the absolute pillar, at a distance of about 105m from the sensors.

Les lignes de bases adoptées ont été obtenues en modélisant par une spline les écarts entre enregistrements continus et mesures absolues.

Les variations annuelles des lignes de base sont attribuées à la variation annuelle de la température dans la cave des magnétomètres, de l'ordre de 15°C. En revanche la variation diurne de la température dans la cave étant inférieure à 1°C, il n'y a pas d'effet visible de cette variation sur le résidu scalaire.

The adopted baseline values were obtained by spline modelling of the differences between continuous recordings and absolute measurements.

The annual baseline variations are attributed to the annual temperature variation in the magnetometer vault, of about 15°C. However, the diurnal temperature variation in the vault being less than 1°C, there is no visible effect of this variation on the scalar residual.

Valeurs moyennes horaires disponibles / *Hourly mean values available* [2006] : 99.7%

Nombre de mesures absolues utilisées / *Number of used absolute measurements* [2006] : 256

Amplitudes pic-à-pic des lignes de base / *peak-to-peak baseline amplitudes* [2006] :

$$|D_{o, \min} - D_{o, \max}| = 16''$$

$$|Z_{o, \min} - Z_{o, \max}| = 4.7 \text{ nT}$$

$$|H_{o, \min} - H_{o, \max}| = 1.9 \text{ nT}$$

Différences RMS entre valeurs de lignes de base mesurées et adoptées

Root mean square differences between measured and adopted baseline values [2006] :

$$(\Delta D_o)_{\text{rms}} = 4''$$

$$(\Delta Z_o)_{\text{rms}} = 0.4 \text{ nT}$$

$$(\Delta H_o)_{\text{rms}} = 0.2 \text{ nT}$$

Valeur RMS du résidu scalaire $F_v - F_s$ / *RMS value of scalar residual $F_v - F_s$* [2006] :

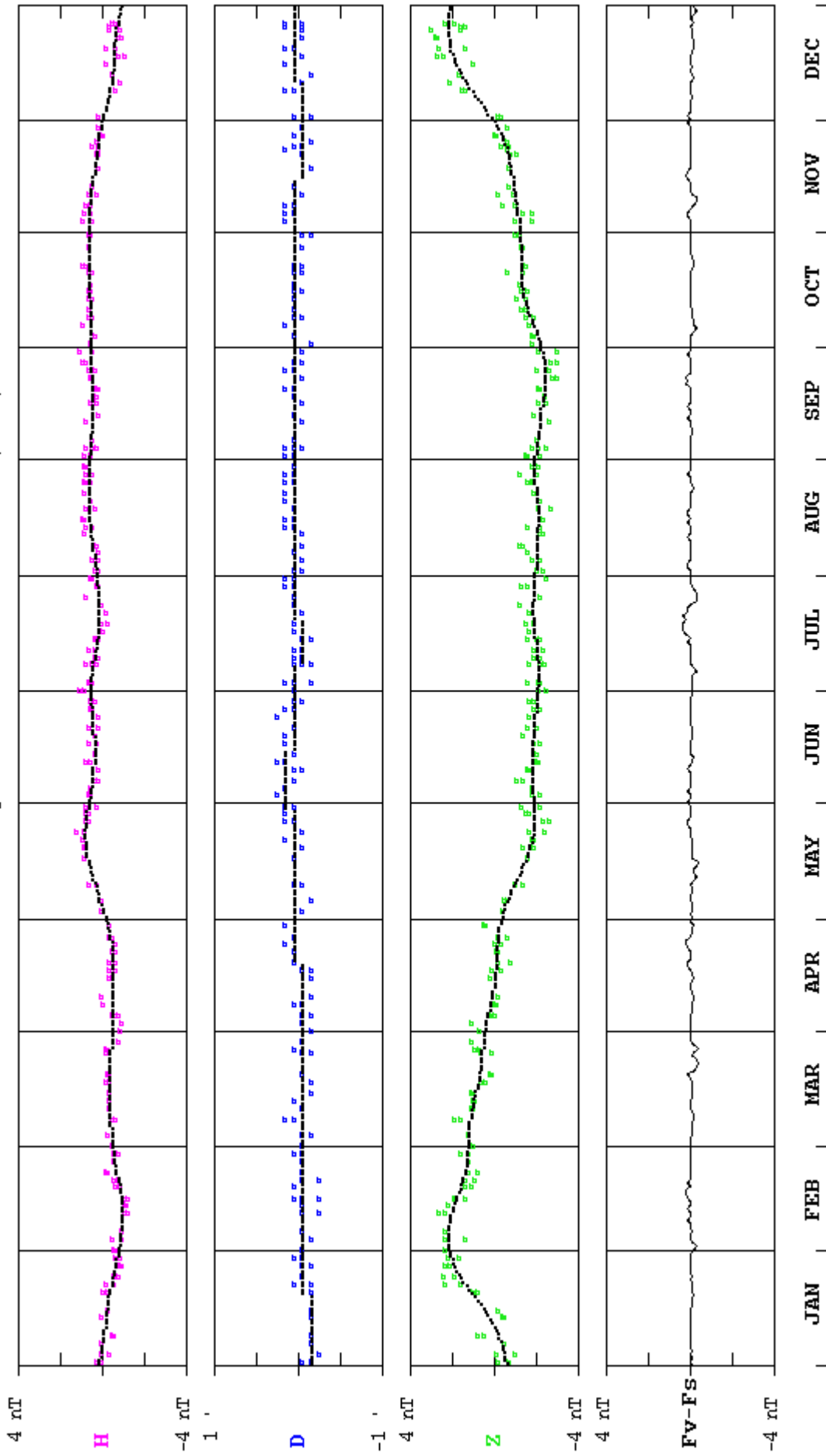
$$[\Delta(F_s - F_v)]_{\text{rms}} = 0.4 \text{ nT}$$

**OBSERVATOIRE DE TAMANRASSET
BP 32
11000 Tamanrasset - ALGERIA**

Tél. : +213 29 34 41 23

TAMANRASSET (TAM) 2006

Observed and adopted baseline values (H,D,Z)
Daily values of the scalar residual (Fv-Fs)

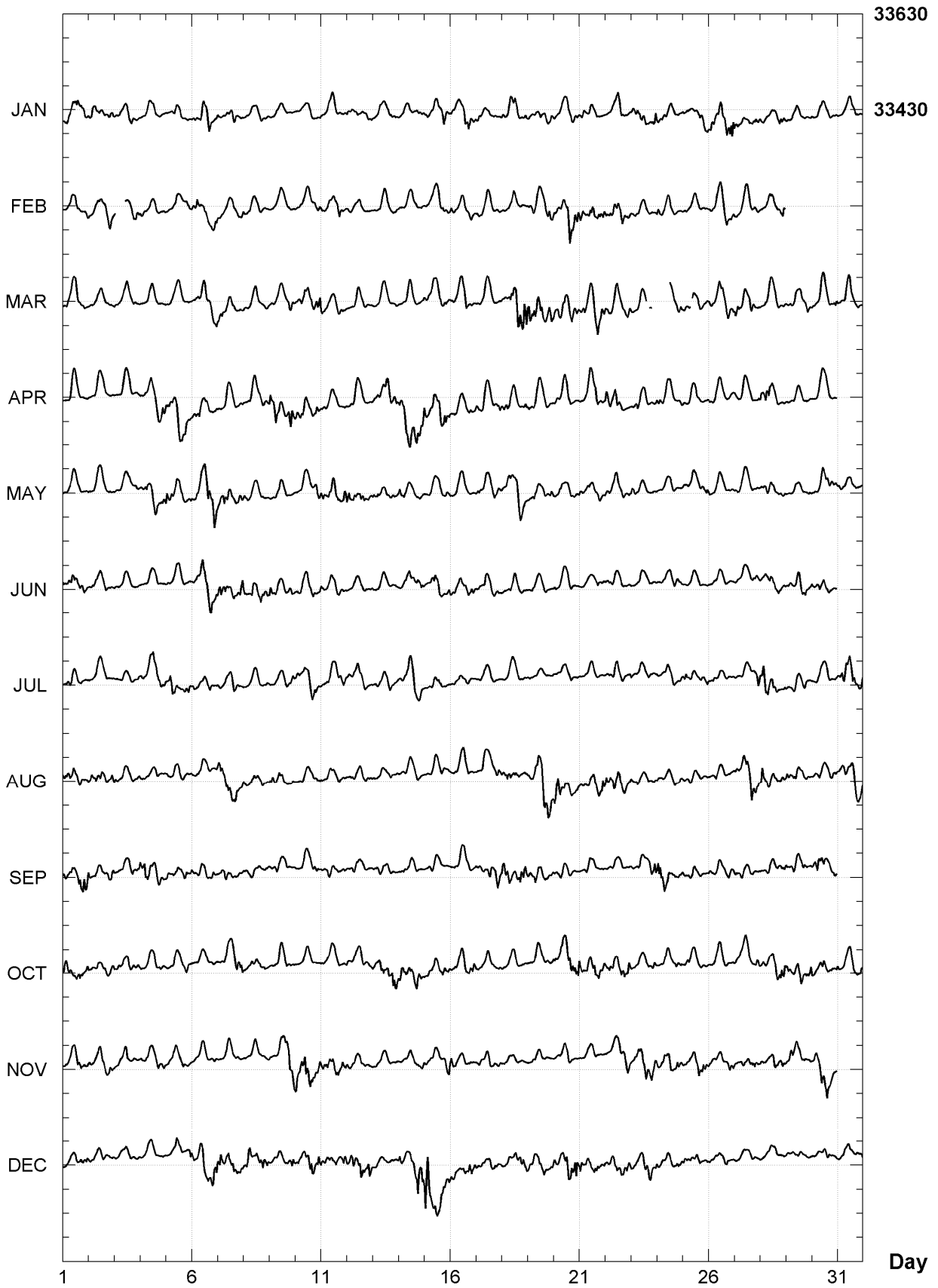


TAMANRASSET (TAM)

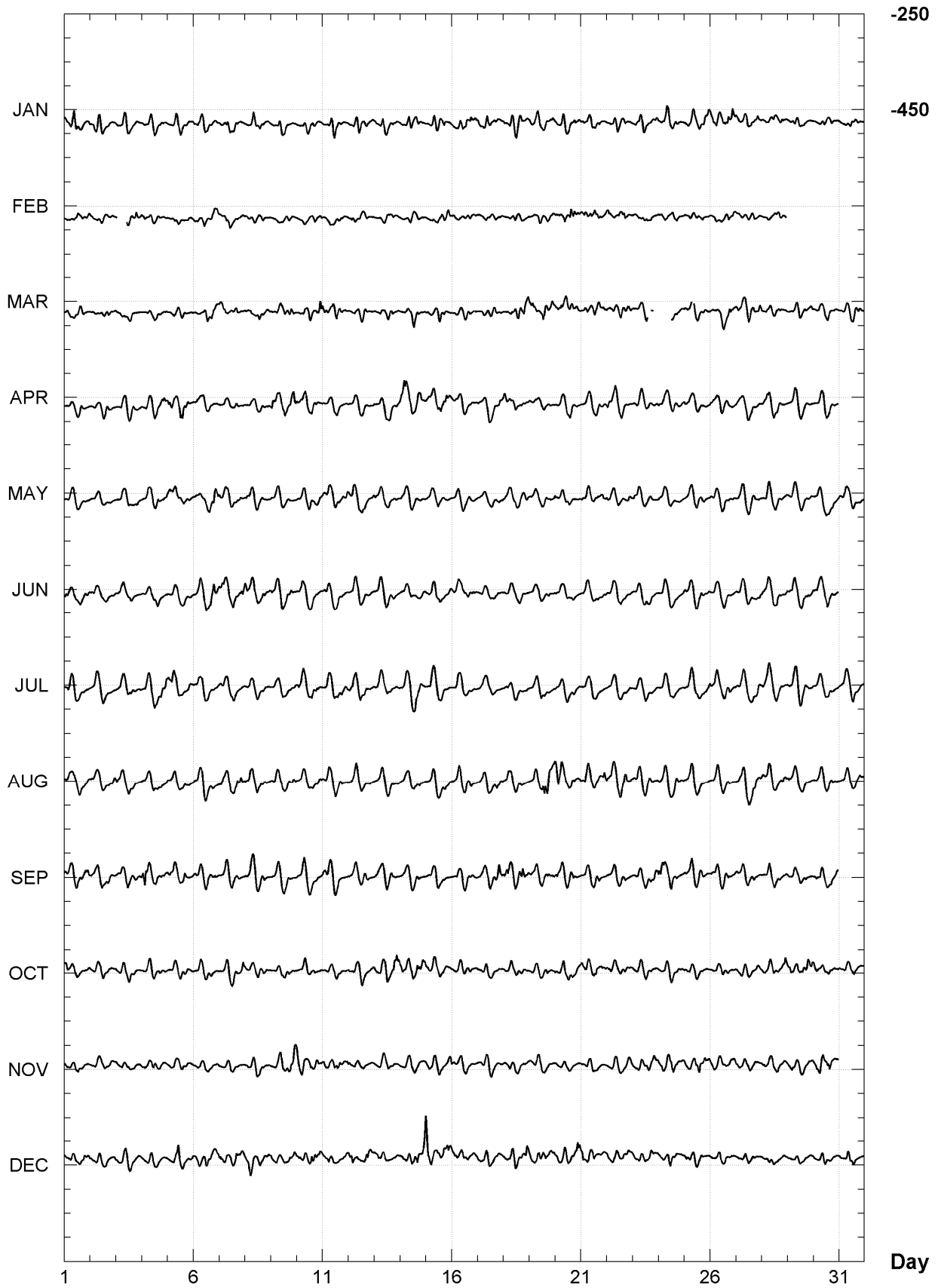
K indices, 2006 (K=9 for 270 nT)

DATE	JANUARY	FEBRUARY	MARCH	APRIL	MAY	JUNE
01	3244 4322	0122 3113	3222 4321	0121 1211	0121 1101	2234 2332
02	3455 3223	2112 1233	1112 2221	1111 1111	2222 1112	2332 1322
03	2144 2221	---- 1233	2112 2221	0133 2212	1212 2122	2221 2111
04	1133 2121	3322 1111	1122 1102	2123 2234	2233 4333	1122 2111
05	0133 2111	1122 1132	1011 1101	3434 4342	4323 2212	1111 1111
06	2334 3322	3422 3234	1123 4344	2232 2222	2223 4555	2235 3453
07	2233 2321	2222 2122	3322 2222	2111 1212	3354 3233	4333 3335
08	1244 2211	2211 0111	2112 3222	2012 1223	3222 1221	4343 3433
09	1133 2100	0011 2121	1212 2232	5553 3355	1112 1112	4223 2232
10	0121 1101	1111 1123	2223 4335	3333 2333	0122 2123	2322 3232
11	1145 3111	3122 2422	4223 2232	2212 2112	3334 4234	2222 2222
12	3233 2222	2321 2100	1122 2221	1122 1111	4332 3332	2222 2112
13	1133 2222	1111 2222	1121 2211	2324 4544	3212 2233	2212 1112
14	1133 2222	1011 2111	1122 3212	4544 4544	3221 1222	2123 2233
15	2133 2343	1222 2343	3333 3231	4334 3454	1212 1122	3344 3333
16	2233 4444	3221 2222	2221 2322	3233 2222	1111 1111	3322 2233
17	3333 2222	2222 2112	1111 1222	3133 2223	2221 2222	2232 2221
18	2245 4323	1112 2121	1244 5556	3322 2213	3333 3543	1122 2112
19	2132 2224	3322 1343	6444 4344	2111 1111	2232 2223	2211 1120
20	2132 3232	3223 5554	3333 2454	1223 3211	2222 2222	3212 2211
21	3323 2210	3333 3334	2322 3434	2123 3422	3212 1232	0221 1212
22	0133 4312	3333 2433	3222 2334	4334 3211	3222 2223	2222 2122
23	3344 4325	2112 2112	2111 3---	2322 1212	3221 1111	1222 2111
24	3343 2212	3212 2110	---- 3233	3222 1112	1212 2111	1222 2222
25	3233 2343	2211 1101	22-4 2121	2122 2211	2222 2233	2212 2211
26	3434 4545	2212 2323	2213 3343	2112 1111	2111 2211	1112 1111
27	3223 2233	2111 2212	3323 3423	2122 1312	2121 1012	1222 1223
28	2212 2133	1122 2234	1211 1212	4343 2222	2323 2122	3333 3233
29	2222 1102		2223 2233	1221 1112	1111 1112	3323 3332
30	2112 1111		1112 2233	0233 2100	1213 4432	2232 3211
31	1122 2211		1222 2221		3222 2122	
DATE	JULY	AUGUST	SEPTEMBER	OCTOBER	NOVEMBER	DECEMBER
01	1322 2111	3333 3322	3232 2454	4433 2323	2212 3322	2122 2233
02	0222 2200	3233 2124	4122 2234	2222 2223	3123 3233	2211 1211
03	0211 2212	3222 2213	2222 2223	2223 3222	2213 3121	1133 1112
04	2222 4334	1111 1111	4533 2343	1122 2222	2222 2323	1022 1111
05	3432 2234	2211 1111	3223 2332	1221 2222	1122 2310	1136 2223
06	3232 2222	1123 2112	3222 2132	0122 1212	1022 2122	3345 4344
07	2222 2322	4454 3433	1232 2221	1121 3444	1101 1010	5433 4433
08	1211 0112	3332 2232	1234 2222	2122 2221	1133 2111	3554 4343
09	1111 1124	3323 3123	1221 1110	2233 2222	2123 2455	2221 1234
10	3322 3332	1211 2112	1221 1232	2222 1111	5335 5333	2323 4434
11	1322 3343	2222 2221	3333 2112	2122 2211	43-4 4343	3332 2135
12	3334 4222	2232 1121	2223 2221	2123 3212	3222 2111	3432 5454
13	2222 2222	1121 1221	1223 2210	2244 3454	1121 1101	3221 1122
14	2224 5432	1122 2110	1222 2211	4333 2434	0122 2223	3223 6567
15	0212 2211	1122 1322	1123 2110	2233 2332	3222 2123	7654 4444
16	1212 1111	2232 2222	1222 2221	2122 2234	4222 2121	3323 2354
17	1112 2120	1243 2223	2123 4344	1223 2112	2223 3212	3233 2231
18	1112 1121	3333 2333	4443 3455	1232 1121	1111 2111	1234 3444
19	1112 2111	2235 6555	3333 2222	1212 1211	1222 1112	3333 3322
20	1112 2221	5532 2222	2221 1211	3243 4444	1122 2110	3334 5555
21	1112 2110	2322 2335	1122 2211	5322 4443	2022 2111	4333 3332
22	2222 1223	4355 4332	0122 1221	3332 3434	0123 3344	3334 2344
23	3122 1212	2321 1111	1222 2245	2221 1223	1233 4444	3332 3443
24	2222 2212	2112 1223	5533 3223	0133 2132	3333 3243	2223 2333
25	3321 2123	1021 1111	3233 2212	2222 1110	3223 3443	3222 2212
26	3222 1221	1121 1121	2232 2223	1112 2111	2322 2233	1122 2121
27	1111 3334	2234 4543	2221 1211	2122 1133	2132 2232	1112 1111
28	6533 3312	5322 2333	2232 1213	2223 3334	2212 4333	1122 2121
29	2234 4222	3223 2321	3222 2331	3323 4344	2422 2222	2112 1121
30	1211 2212	2222 2333	2444 3333	4333 2222	2344 5322	2123 2211
31	2444 4234	1232 3433		2111 2223		1133 2112

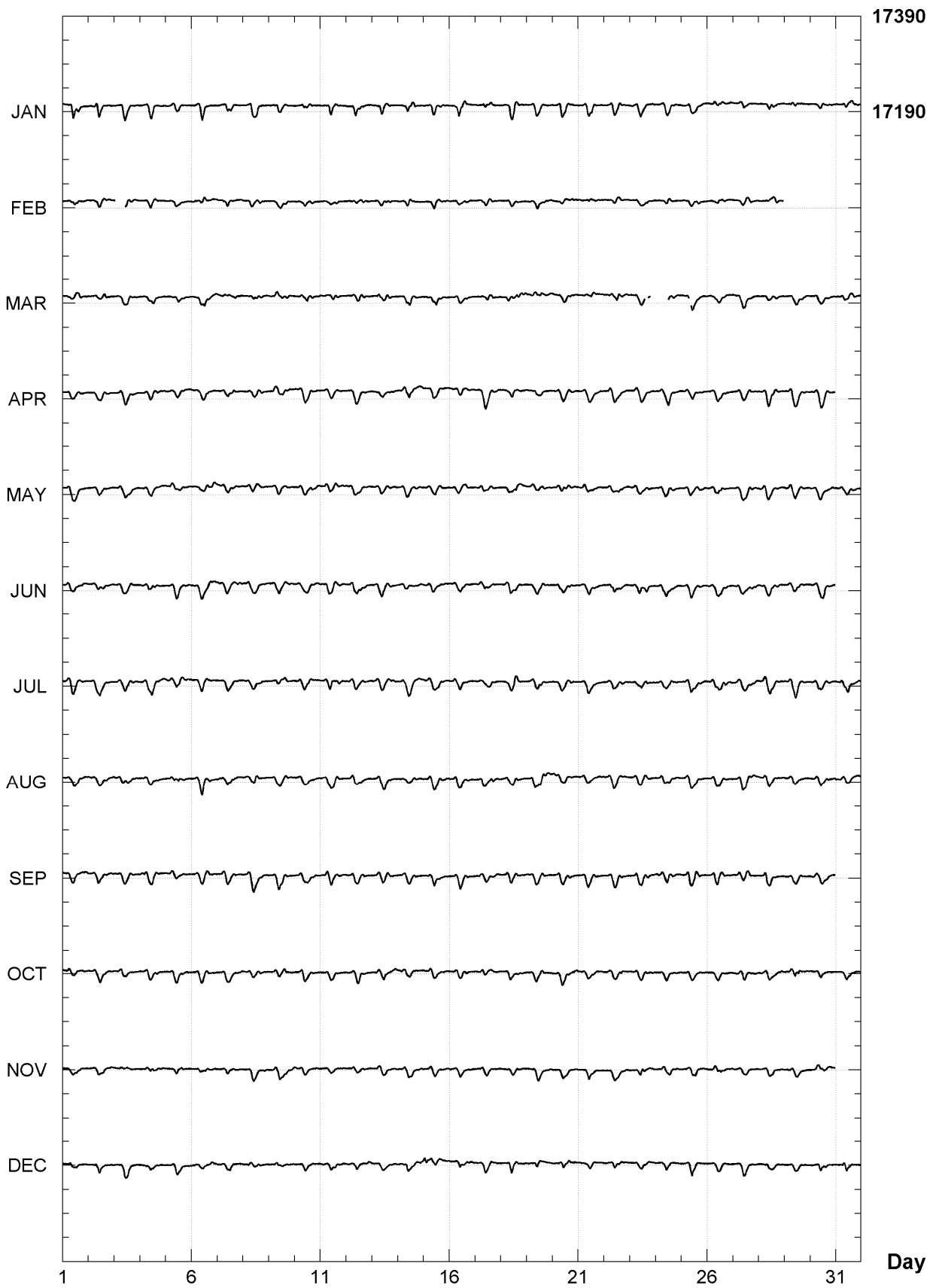
TAMANRASSET (TAM)
Hourly mean values: X component (nT), 2006



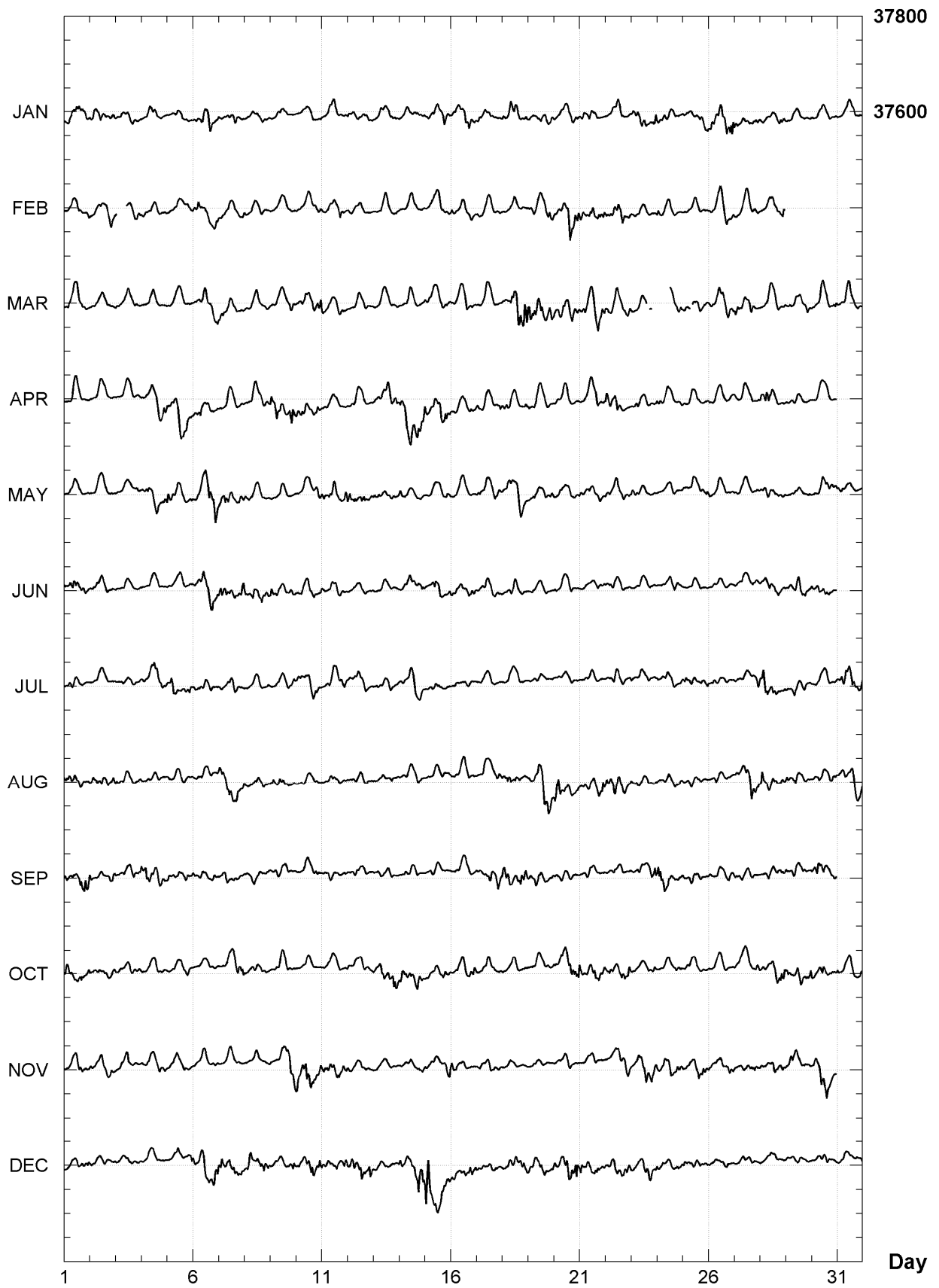
TAMANRASSET (TAM)
Hourly mean values: Y component (nT), 2006



TAMANRASSET (TAM)
Hourly mean values: Z component (nT), 2006



TAMANRASSET (TAM)
Hourly mean values: total field F (nT), 2006



TAMANRASSET (TAM)
Monthly and annual mean values, 2006

Date	D		I		H	X	Y	Z	F	J	ELE
	°	'	°	'	nT	nT	nT	nT	nT		
JAN	359	10.8	27	13.9	33424	33421	-478	17201	37591	A	HDZF
FEB	359	11.3	27	13.9	33430	33426	-474	17203	37596	A	HDZF
MAR	359	11.6	27	13.7	33433	33430	-471	17203	37599	A	HDZF
APR	359	12.3	27	13.9	33427	33424	-464	17203	37594	A	HDZF
MAY	359	12.6	27	13.3	33440	33437	-462	17202	37605	A	HDZF
JUN	359	12.8	27	12.9	33444	33441	-459	17198	37607	A	HDZF
JUL	359	13.1	27	12.6	33448	33444	-456	17197	37609	A	HDZF
AUG	359	13.7	27	12.7	33443	33440	-450	17196	37605	A	HDZF
SEP	359	14.0	27	12.2	33449	33446	-448	17193	37609	A	HDZF
OCT	359	14.4	27	11.9	33452	33449	-444	17191	37610	A	HDZF
NOV	359	14.8	27	11.8	33452	33449	-440	17189	37610	A	HDZF
DEC	359	15.3	27	12.4	33440	33437	-434	17191	37600	A	HDZF
2006	359	13.1	27	12.9	33440	33437	-457	17197	37603	A	HDZF
JAN	359	10.6	27	13.8	33429	33426	-480	17202	37596	Q	HDZF
FEB	359	11.2	27	13.5	33436	33433	-474	17202	37602	Q	HDZF
MAR	359	11.2	27	13.3	33439	33436	-475	17202	37604	Q	HDZF
APR	359	11.8	27	12.9	33446	33443	-469	17200	37609	Q	HDZF
MAY	359	12.5	27	13.0	33443	33440	-462	17200	37607	Q	HDZF
JUN	359	12.6	27	12.5	33450	33447	-461	17197	37612	Q	HDZF
JUL	359	12.9	27	12.2	33454	33451	-458	17195	37615	Q	HDZF
AUG	359	13.6	27	12.2	33451	33448	-452	17194	37612	Q	HDZF
SEP	359	13.8	27	11.6	33459	33456	-450	17190	37616	Q	HDZF
OCT	359	14.3	27	11.3	33463	33460	-445	17189	37619	Q	HDZF
NOV	359	14.5	27	11.2	33462	33459	-443	17188	37618	Q	HDZF
DEC	359	15.0	27	11.6	33455	33452	-438	17189	37613	Q	HDZF
2006	359	12.8	27	12.4	33449	33446	-459	17196	37610	Q	HDZF
JAN	359	11.1	27	14.3	33417	33414	-475	17203	37585	D	HDZF
FEB	359	11.5	27	14.3	33421	33418	-471	17205	37590	D	HDZF
MAR	359	12.1	27	14.4	33421	33418	-466	17206	37590	D	HDZF
APR	359	12.8	27	15.4	33400	33396	-459	17206	37571	D	HDZF
MAY	359	12.6	27	14.0	33429	33426	-461	17205	37597	D	HDZF
JUN	359	13.0	27	13.2	33437	33434	-457	17199	37601	D	HDZF
JUL	359	13.4	27	12.9	33441	33438	-453	17197	37604	D	HDZF
AUG	359	13.9	27	13.4	33429	33426	-449	17197	37593	D	HDZF
SEP	359	14.3	27	12.8	33439	33436	-445	17195	37601	D	HDZF
OCT	359	14.7	27	12.8	33435	33432	-440	17193	37597	D	HDZF
NOV	359	15.0	27	12.6	33436	33433	-438	17191	37596	D	HDZF
DEC	359	15.7	27	13.4	33420	33417	-431	17193	37583	D	HDZF
2006	359	13.3	27	13.6	33427	33424	-454	17199	37592	D	HDZF

A: Tous les jours/ All days
Q: Jours calmes/ Quiet days
D: Jours perturbés/ Disturbed days
ELE: Elements enregistrés/ Recorded elements

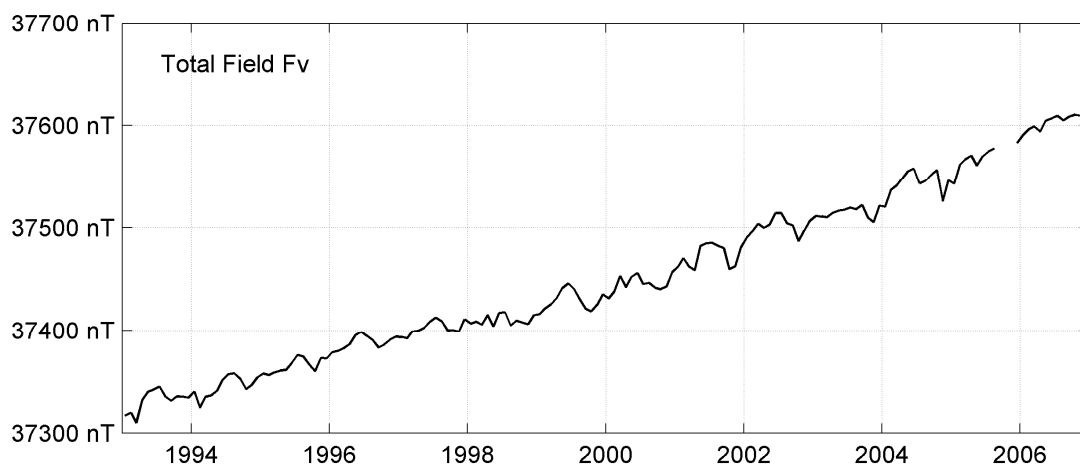
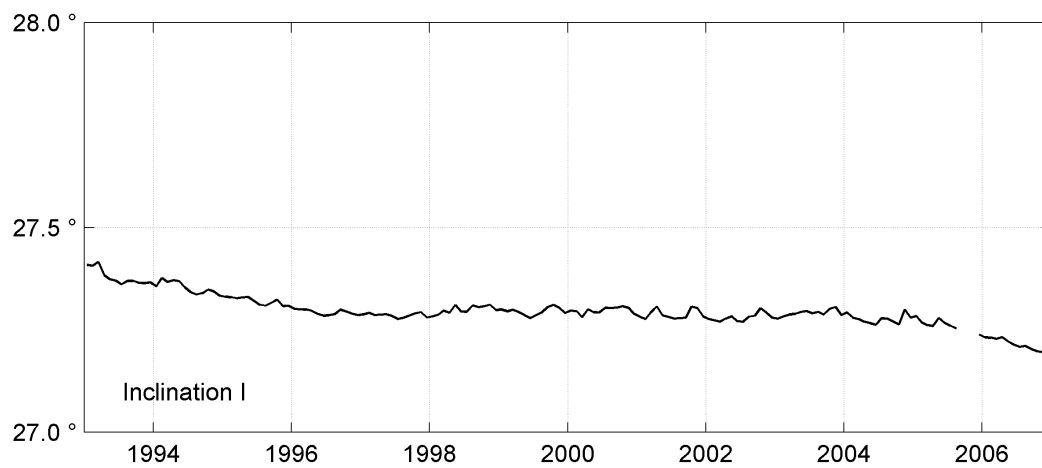
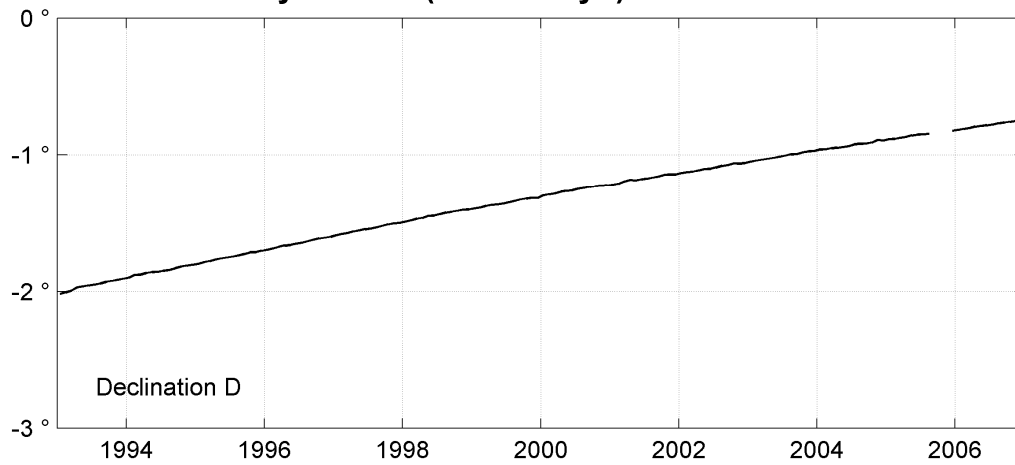
TAMANRASSET (TAM)
Annual mean values, 1993 - 2006

Date	D		I		H	X	Y	Z	F	ELE	Note
	°	'	°	'	nT	nT	nT	nT	nT		
1993.5	358	02.6	27	22.7	33150	33131	-1132	17167	37331	HDZF	
1994.5	358	09.0	27	21.1	33170	33153	-1071	17158	37345	HDZF	
1995.5	358	15.0	27	19.2	33198	33182	-1014	17149	37365	HDZF	
1996.5	358	21.1	27	17.6	33226	33212	-956	17144	37388	HDZF	
1997.5	358	27.3	27	17.1	33241	33229	-896	17146	37402	HDZF	
1998.5	358	33.4	27	17.9	33243	33233	-838	17157	37410	HDZF	
1999.5	358	38.7	27	17.7	33262	33253	-786	17164	37429	HDZF	
2000.5	358	44.4	27	17.8	33275	33267	-731	17173	37445	HDZF	
2001.5	358	49.4	27	17.2	33303	33296	-684	17180	37473	HDZF	
2002.5	358	54.3	27	16.8	33331	33325	-637	17188	37502	HDZF	
2003.5	358	59.4	27	17.4	33339	33334	-588	17201	37515	HDZF	
2004.5	359	04.1	27	16.5	33370	33365	-542	17206	37544	HDZF	
é005.4	359	08.1	27	15.9	33392	33388	-504	17209	37566	HDZF	1
2006.5	359	13.1	27	12.9	33440	33437	-457	17197	37603	HDZF	

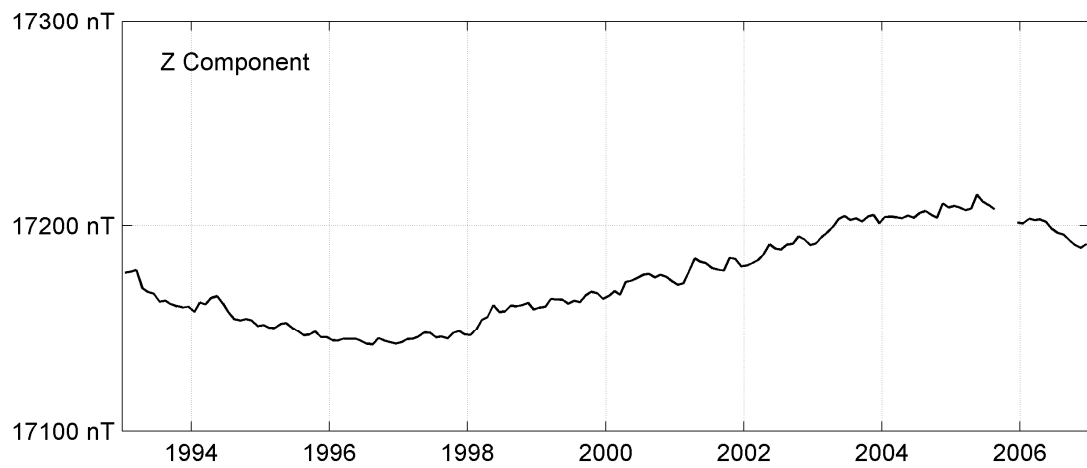
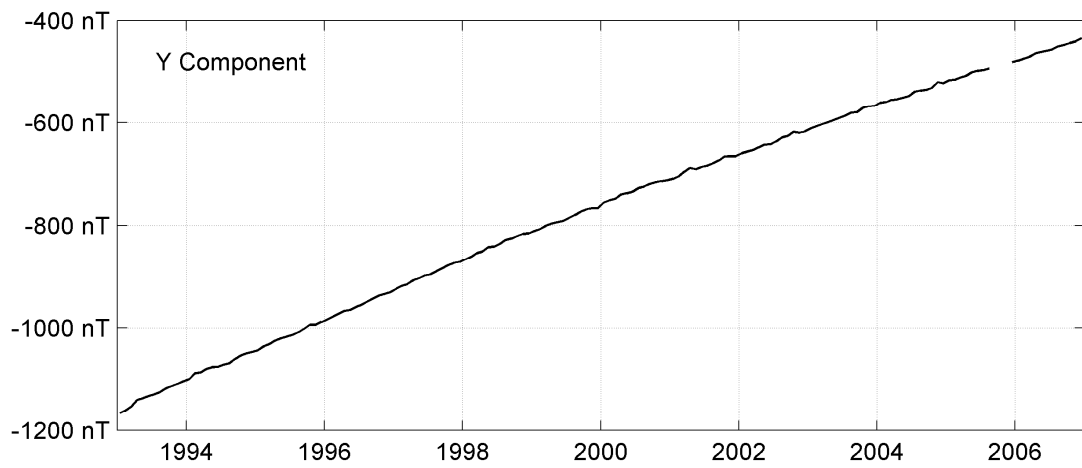
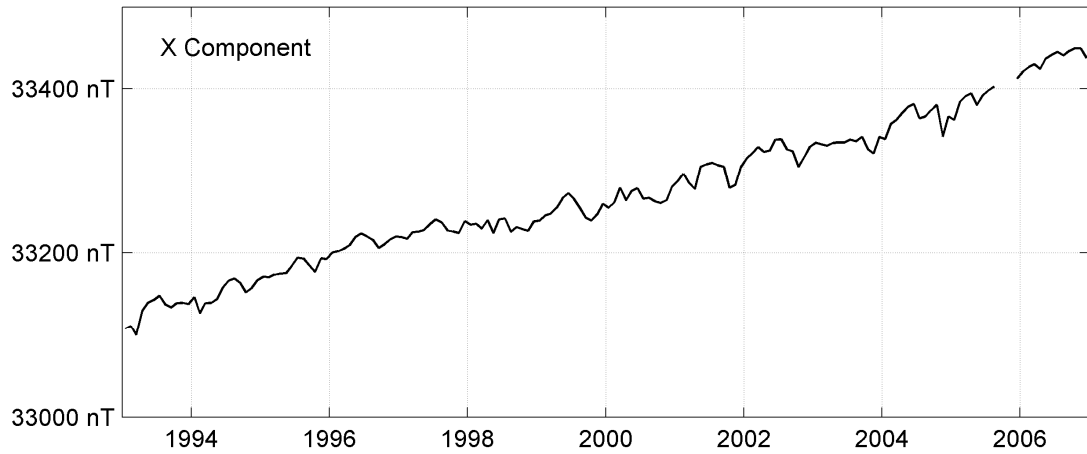
Notes :

1 Jan-Aug, Dec 2005

TAMANRASSET (TAM)
Monthly means (for all days) from 1993 to 2006



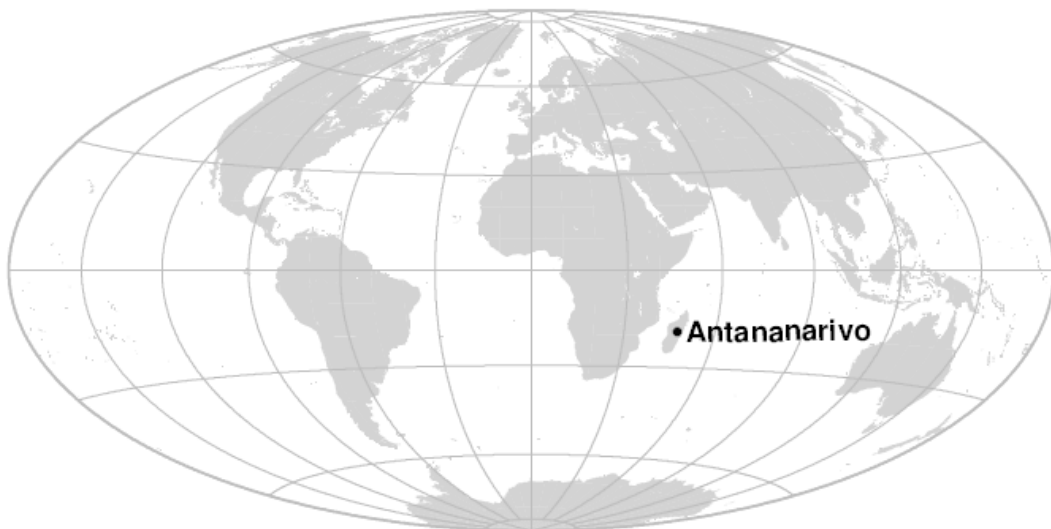
TAMANRASSET (TAM)
Monthly means (for all days) from 1993 to 2006



OBSERVATOIRE D'ANTANANARIVO (TAN)

ANTANANARIVO OBSERVATORY (TAN)

MADAGASCAR / MADAGASCAR



PRÉSENTATION

L'observatoire magnétique d'Antananarivo fait partie du département de géomagnétisme de l'Institut et observatoire géophysique d'Antananarivo (I.O.G.A.), anciennement Observatoire de Tananarive créé en 1889. Les détails de cette première installation sont donnés dans le volume IV de l'Histoire Physique, Naturelle et Politique de Madagascar (Colin, 1932). L'observatoire est installé sur la colline d'Ambohidempona près du campus universitaire de l'Université d'Antananarivo. On peut trouver les principales informations concernant le site de l'observatoire actuel dans la publication de mai 1957 éditée par le Comité des observatoires géomagnétiques de l'Association internationale de géomagnétisme (A.I.G.A. Description des Observatoires Géomagnétiques, Fascicule 1). De 1929 à 1956 les données de l'observatoire de Tananarive ont été publiées dans les Annales de L'Institut de Physique du Globe de l'Université de Paris et du Bureau Central du Magnétisme Terrestre (Poisson, 1931 ; Coze, 1958). De 1957 à 1976 les données ont été publiées dans les bulletins annuels de l'observatoire d'Antananarivo.

A partir de 1983 et avec les concours de l'Institut de Physique du globe de Paris (IPGP) puis de l'École et Observatoire des Sciences de la Terre de Strasbourg (EOST), on a entrepris progressivement la rénovation et la mise aux normes internationales des équipements de l'observatoire:

- remplacement des appareils classiques utilisés pour les mesures absolues (déclinomètre à aimant, Q.H.M., B.M.Z.) par un Déclinomètre-Inclinomètre du type DI-flux
- enregistrement du champ total F avec un magnétomètre à protons
- remplacement du magnétographe La Cour par un variomètre tri-directionnel à vanne de flux VFO31
- mise en place, en 1992, d'une chaîne d'acquisition numérique sur P.C.
- remise à niveau de l'électronique du variomètre en décembre 1995 et remplacement du magnétomètre à protons par un magnétomètre à effet

PRESENTATION

The magnetic observatory of Antananarivo is operated by the geomagnetic department of the Institut et observatoire géophysique d'Antananarivo (I.O.G.A.), formerly Tananarive observatory, opened in 1889. Details of this early layout are to be found in vol. IV of « Histoire Physique, Naturelle et Politique de Madagascar » (Colin, 1932). The observatory is located on the Ambohidempona hill, close to the university campus. The main information about the site is given in the issue of May 1957 edited by the geomagnetic observatory committee of IAGA (Description of the magnetic observatories, vol. 1). From 1929 to 1956, data were published in the « Annales de L'Institut de Physique du Globe de l'Université de Paris et du Bureau Central de Magnétisme Terrestre » (Poisson, 1931 ; Coze, 1958). From 1958 to 1976 they were published in the annual reports of the observatory of Antananarivo.

Since 1983, an upgrade of the observatory has been undertaken, with the support of Institut de Physique du Globe de Paris (IPGP) and later on of Ecole et Observatoire des Sciences de la Terre from Strasbourg (EOST):

- *replacement of the traditional instruments for absolute measurements (magnet declinometer, Q.H.M., B.M.Z.) by a DI flux magnetometer.*
- *total field intensity recording with a proton magnetometer.*
- *replacement of the La Cour magnetometer by a triaxial fluxgate VFO31 magnetometer.*
- *data logger based upon a PC architecture (since 1992).*
- *upgrade of the electronics of the triaxial magnetometer and of the protons magnetometer, the latter replaced by an Overhauser SM90R magnetometer.*
- *upgrade of the acquisition system and processing PC, replacement of the proton magnetometer for absolute measurements by an Overhauser magnetometer (July 2003). At that time, the acquisition device was moved into the variometer house. This layout avoids the use of long conducting wires, in order to minimize the damages provoked by lightning strikes. The digital signal is*

Overhauser de type SM90R
- jouvence de l'acquisition et
remplacement du magnétomètre à
protons des mesures absolues et du PC
de traitement en juillet 2003.
L'acquisition a été déplacée dans l'abri
du variomètre de sorte que seul le signal
numérique est transmis au bâtiment
principal, par l'intermédiaire d'une fibre
optique. Cette transformation a été
réalisée pour limiter les dégâts causés
par la foudre.

Depuis décembre 1993, l'observatoire
d'Antananarivo a rejoint le réseau
INTERMAGNET; les données sont
transmises via le satellite METEOSAT au
GIN de Paris.

OBSERVATEURS

Les mesures absolues, la routine
journalière, la maintenance et l'entretien
des installations sont assurés par le
personnel de l'observatoire
d'Antananarivo. Les données recueillies
en 2005 ont été exploitées conjointement
par les personnels de l'I.O.G.A. et de
l'EOST.

INSTRUMENTATION

MESURES ABSOLUES

L'équipement est le même que celui qui
a été précédemment décrit pour
l'observatoire d'Amsterdam, sauf le
magnétomètre à protons, en panne
durant la majeure partie de l'année. La
différence de champ total entre le pilier
des mesures absolues et le
magnétomètre scalaire enregistrant F en
continu a été estimée d'après les valeurs
des années antérieures.

VARIOMETRES

L'enregistrement continu des variations
du champ magnétique (H, D, Z) est
effectué à l'aide du variomètre VFO31 et
d'un magnétomètre à protons à effet
Overhauser (SM90R), à raison d'une
valeur par minute. L'enregistrement des
données est effectué simultanément sur
disque dur et sur disquette.

*transmitted to the main building by a fiber
glass cable.*

*In December 1993, the observatory
gained official INTERMAGNET magnetic
observatory status (IMO); the
observatory was equipped with a DCP
transmitting real time data via
METEOSAT to the INTERMAGNET
GIN's of Paris.*

OBSERVERS

*The absolute measurements, daily
routine, observatory maintenance are
performed by the observatory team. The
data for the year 2005 were processed
together by IOAGA and EOST.*

INSTRUMENTATION

ABSOLUTE MEASUREMENTS

*The instruments are the same as in
Amsterdam observatory, except for the
scalar magnetometer, out of use for
almost the whole year. The field
difference between the absolute pier and
the magnetometer recording F
continuously was estimated using the
values measured during previous years.*

VARIOMETERS

*The components H, D, Z of the field are
recorded with the triaxial variometer
VFO31 and F with an Overhauser
magnetometer SM90R. The sampling
rate is 1 minute for both instruments.
Data are saved up simultaneously on a
hard disk and on floppy diskettes.*

PROTOCOLE DES MESURES, TRAITEMENT DES DONNÉES ET PRECISION

En 2006, les mesures absolues de D et I ont été effectuées trois fois par semaine. La méthode de calcul des valeurs de base adoptées H0, D0, Z0, F0 est la même que pour l'observatoire d'Amsterdam. Les incertitudes estimées sont de ± 3 nT d'après les valeurs de dF (F mesuré – F calculé) Toutes les valeurs calculées sont ramenées au pilier absolu de l'observatoire, inchangé depuis 1983.

INCIDENTS

Après les dommages importants causés par l'orage du 9 décembre 2005, le système d'acquisition ne put être réparé avant la fin du mois d'août 2006. Et même après sa réparation, plusieurs périodes sans données sont survenues à cause de panne des convertisseurs A/D. La période sans donnée la plus longue est pour la composante Z, du 3 au 10 novembre.

Le remplacement des cartes électroniques défectueuses se traduit par plusieurs sauts dans les lignes de base dans toutes les composantes sauf D.

H:

4 novembre: 133.4 nT;

22 novembre: -6.2 nT;

7 décembre: 8.6nT.

Z:

6 septembre: 29.2 nT;

26 septembre: -4.3 nT;

24 octobre: 48.8 nT;

4 novembre: 294.2 nT;

22 novembre: 16.1 nT.

F:

26 septembre: 12.6 nT;

22 novembre: -23.3 nT;

7 décembre: 23.5 nT.

Ces sauts sont seulement partiellement reportés dans le fichier tan06.blv pour des raisons de convenances graphiques.

MEASUREMENT PROTOCOL, DATA PROCESSING AND ACCURACY

In 2006, absolute measurements of D and I were performed on average every 3 days. The adopted base lines H0, D0, Z0, F0 are computed in the same way as in the observatory of Amsterdam. The accuracy is estimated less than ± 3 nT for every component, based upon the total field differences (recorded minus computed). The field values refer to the absolute pillar, unchanged since 1983.

FAILURES

After the severe damage caused to the data logger by the thunderstroke from December 9, 2005, the system could not be restored before the end of August 2006. And still after its repair, several gaps are present, which occurrence and length depends on the component recorded, due to various failures of the A/D converters. The longest gap is for the Z component, from November 3 to 10.

The replacement of the defective electronic boards resulted in several jumps in the base lines, in every component but D.

H:

4 November: 133.4 nT;

22 November: -6.2 nT;

7 December: 8.6nT.

Z:

6 September: 29.2 nT;

26 September: -4.3 nT;

24 October: 48.8 nT;

4 November: 294.2 nT;

22 November: 16.1 nT.

F:

26 September: 12.6 nT;

22 November: -23.3 nT;

7 December: 23.5 nT.

These jumps are only partly reported in the tan06.blv file for drawing convenience.

Valeurs moyennes horaires disponibles / *Hourly mean values available* [2006] : 29.4%

Nombre de mesures absolues utilisées / *Number of used absolute measurements* [2006] : 74

Amplitudes pic-à-pic des lignes de base / *peak-to-peak baseline amplitudes* [2006] :

$$|D_{o, \min} - D_{o, \max}| = 18'' \quad |Z_{o, \min} - Z_{o, \max}| = 5.1 \text{ nT}$$

$$|H_{o, \min} - H_{o, \max}| = 5.4 \text{ nT}$$

Différences RMS entre valeurs de lignes de base mesurées et adoptées

Root mean square differences between measured and adopted baseline values [2006] :

$$(\Delta D_o)_{\text{rms}} = 28'' \quad (\Delta Z_o)_{\text{rms}} = 1.6 \text{ nT}$$

$$(\Delta H_o)_{\text{rms}} = 1.7 \text{ nT}$$

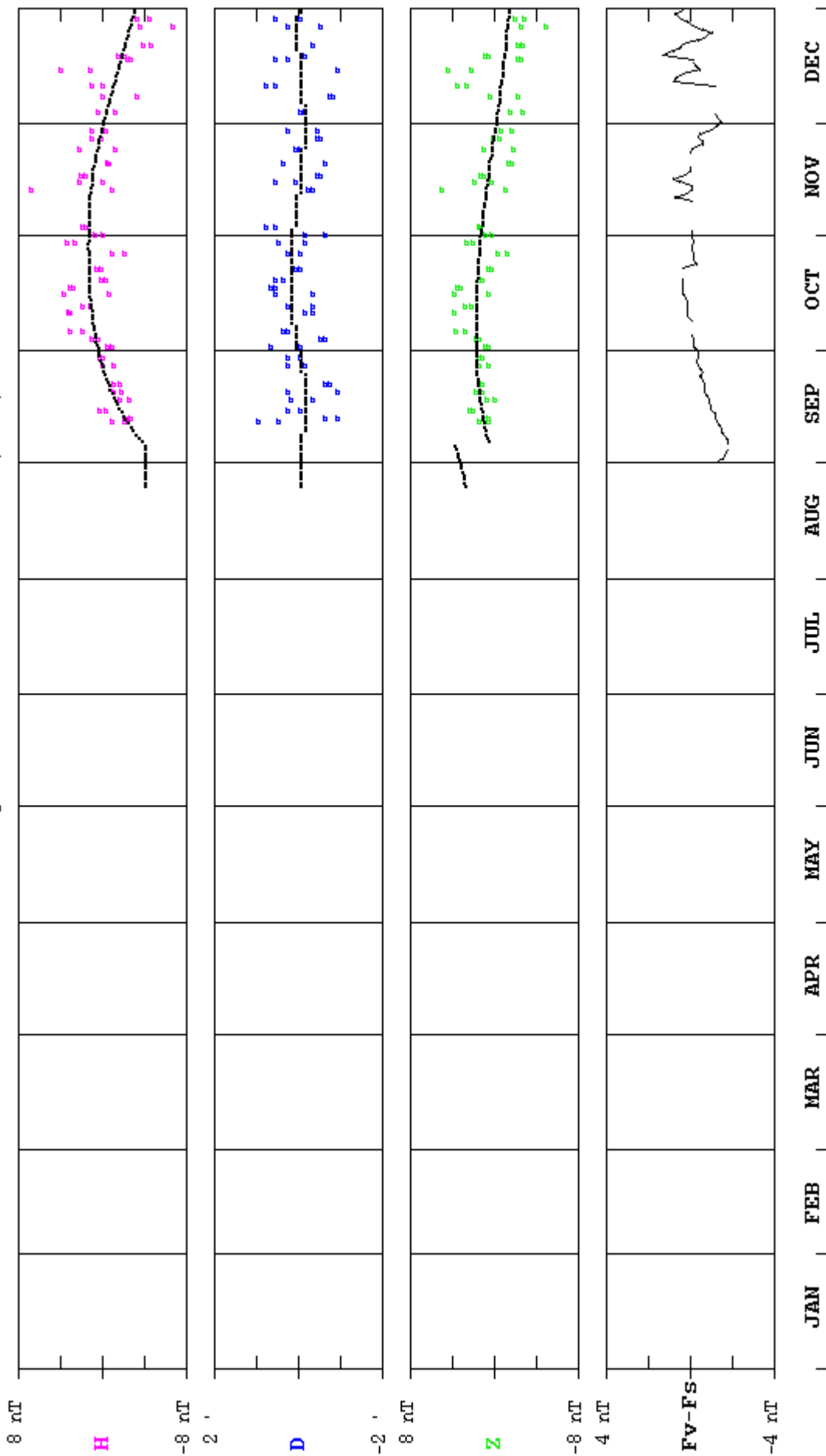
Valeur RMS du résidu scalaire Fv-Fs / *RMS value of scalar residual Fv-Fs* [2006] :

$$[\Delta(F_s - F_v)]_{\text{rms}} = 0.5 \text{ nT}$$

OBSERVATOIRE MAGNÉTIQUE D'ANTANANARIVO
c/o Institut et Observatoire Géophysique d'Antananarivo
B.P. 3843 ANTANANARIVO (101) - MADAGASCAR
Téléphone / Télécopie : (261 2) 253 53
E-mail : ffranai@univ-antananarivo.mg

ANTANANARIVO (TAN) 2006

Observed and adopted baseline values (H,D,Z)
 Daily values of the scalar residual (Fv-Fs)

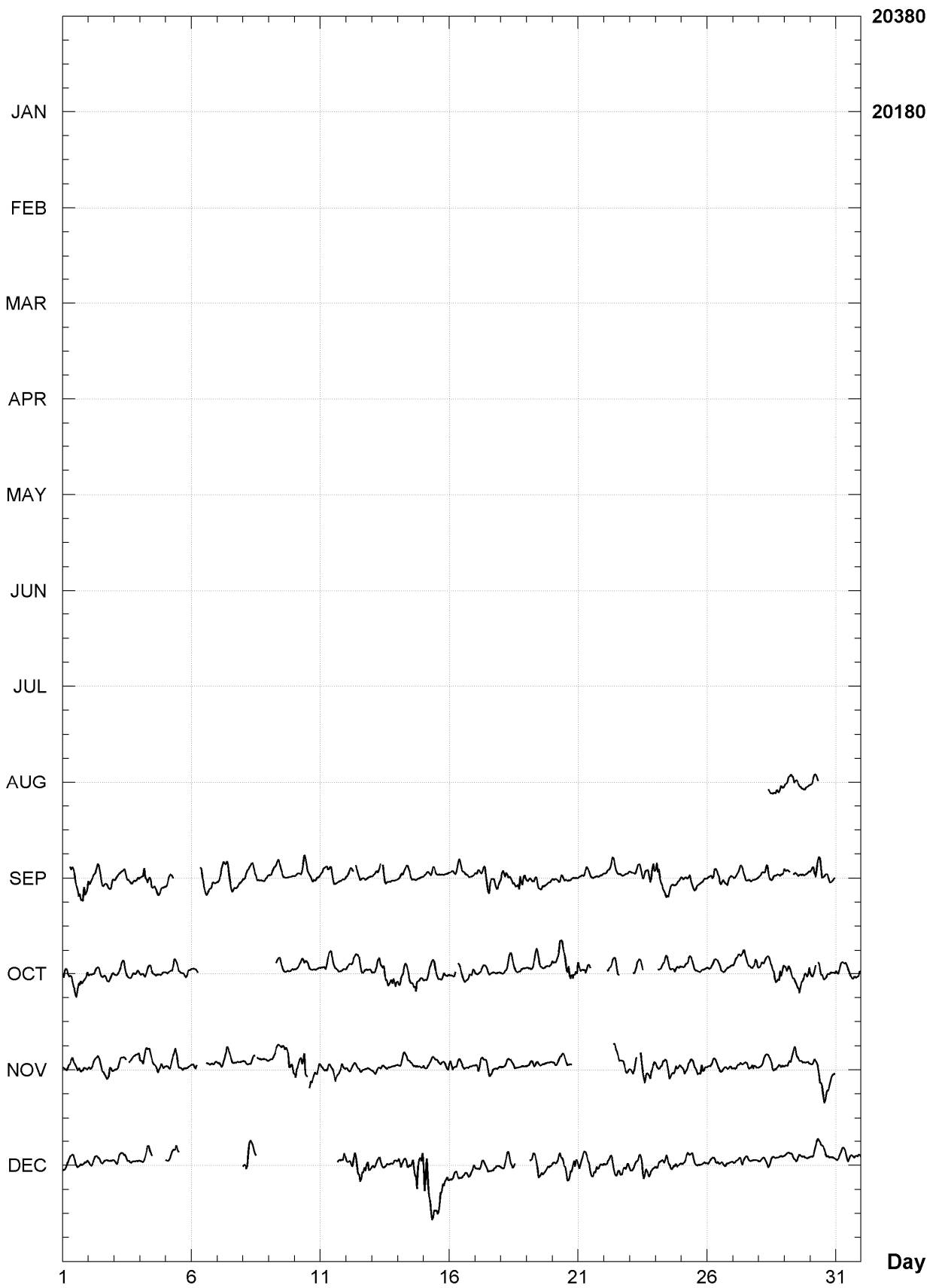


ANTANANARIVO (TAN)

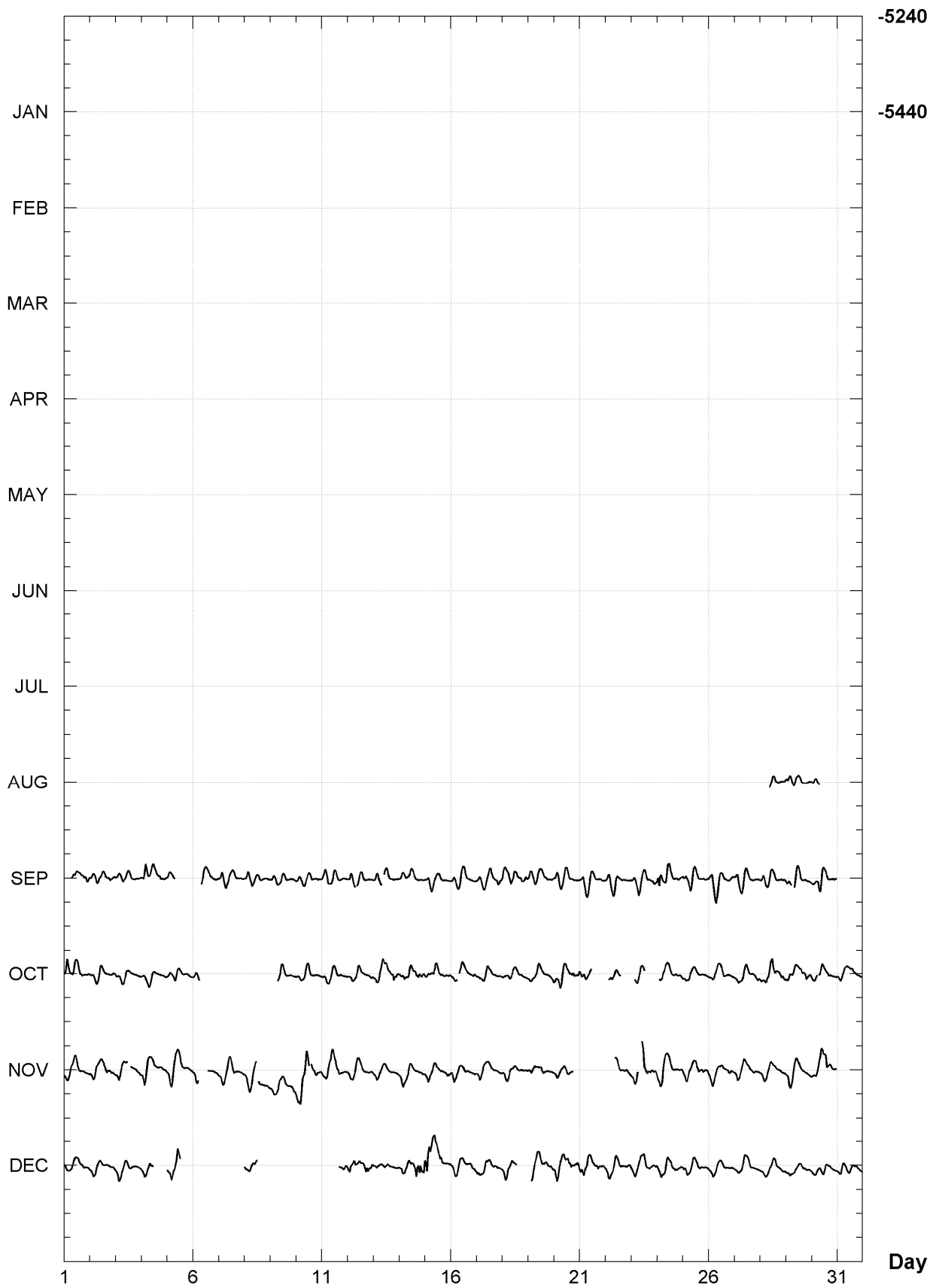
K indices, 2006 (K=9 for 270 nT)

DATE	JANUARY	FEBRUARY	MARCH	APRIL	MAY	JUNE		
01	----	----	----	----	----	----	----	----
02	----	----	----	----	----	----	----	----
03	----	----	----	----	----	----	----	----
04	----	----	----	----	----	----	----	----
05	----	----	----	----	----	----	----	----
06	----	----	----	----	----	----	----	----
07	----	----	----	----	----	----	----	----
08	----	----	----	----	----	----	----	----
09	----	----	----	----	----	----	----	----
10	----	----	----	----	----	----	----	----
11	----	----	----	----	----	----	----	----
12	----	----	----	----	----	----	----	----
13	----	----	----	----	----	----	----	----
14	----	----	----	----	----	----	----	----
15	----	----	----	----	----	----	----	----
16	----	----	----	----	----	----	----	----
17	----	----	----	----	----	----	----	----
18	----	----	----	----	----	----	----	----
19	----	----	----	----	----	----	----	----
20	----	----	----	----	----	----	----	----
21	----	----	----	----	----	----	----	----
22	----	----	----	----	----	----	----	----
23	----	----	----	----	----	----	----	----
24	----	----	----	----	----	----	----	----
25	----	----	----	----	----	----	----	----
26	----	----	----	----	----	----	----	----
27	----	----	----	----	----	----	----	----
28	----	----	----	----	----	----	----	----
29	----	----	----	----	----	----	----	----
30	----	----	----	----	----	----	----	----
31	----	----	----	----	----	----	----	----
DATE	JULY	AUGUST	SEPTEMBER	OCTOBER	NOVEMBER	DECEMBER		
01	----	----	---2 2453	4433 3323	1222 2332	1112 1222	1112	1222
02	----	----	3112 2223	2221 1212	3221 2243	1111 1111	1111	1111
03	----	----	2122 2123	1112 1222	122- -222	1212 1211	1212	1211
04	----	----	2533 2332	2212 -311	3332 2332	123- ----	123-	----
05	----	----	21-- ----	12-2 2122	1223 2211	35-5 ----	35-5	----
06	----	----	---2 2131	23-- ----	23-- -112	---- ----	----	----
07	----	----	1322 1221	---- ----	2222 1010	---- ----	----	----
08	----	----	2212 2112	---- ----	21-3 -001	45-5 ----	45-5	----
09	----	----	2122 1100	---2 1121	1112 2444	---- ----	----	----
10	----	----	1122 1222	1222 1111	3445 -333	---- ----	----	----
11	----	----	32-- 2111	2222 1111	3333 3342	---- --24	----	--24
12	----	----	32-3 1121	1222 2212	2222 2111	3444 4343	3444	4343
13	----	----	13-- 2110	22-3 3454	1111 1001	2221 1112	2221	1112
14	----	----	2212 1111	4333 2444	12-2 2222	2223 5667	2223	5667
15	----	----	1112 1110	2233 1231	2222 2213	6655 4443	6655	4443
16	----	----	1222 2211	12-1 2233	33-1 1111	2232 2233	2232	2233
17	----	----	2123 4233	12-2 1011	2311 2222	2222 2221	2222	2221
18	----	----	4333 3454	1122 1121	1121 1000	2223 ----	2223	----
19	----	----	3333 2211	1212 2101	1222 1112	--23 3222	--23	3222
20	----	----	2222 2010	3233 4433	1122 11--	3433 4454	3433	4454
21	----	----	1211 1011	433- ----	---- ----	3323 3332	3323	3332
22	----	----	1122 1121	-322 ----	---- 3233	3233 2343	3233	2343
23	----	----	1222 2245	-2-2 ----	23-- 4333	2222 3331	2222	3331
24	----	----	4433 3222	-121 1122	2332 3233	2233 2332	2233	2332
25	----	----	32-3 2103	2222 1110	2222 2443	2322 2212	2322	2212
26	----	----	3332 2332	1111 1100	2212 2232	2222 2120	2222	2120
27	----	----	2212 1101	2212 0134	2222 2232	1122 2101	1122	2101
28	----	---- 2333	2232 2123	2223 3344	1212 2222	0001 1121	0001	1121
29	----	3223 2211	32-2 2221	4322 3334	2323 2122	1121 1121	1121	1121
30	----	22-- ----	2455 4323	2--3 1222	2334 4432	2212 2210	2212	2210
31	----	----	----	21-2 1223	----	2211 1112	2211	1112

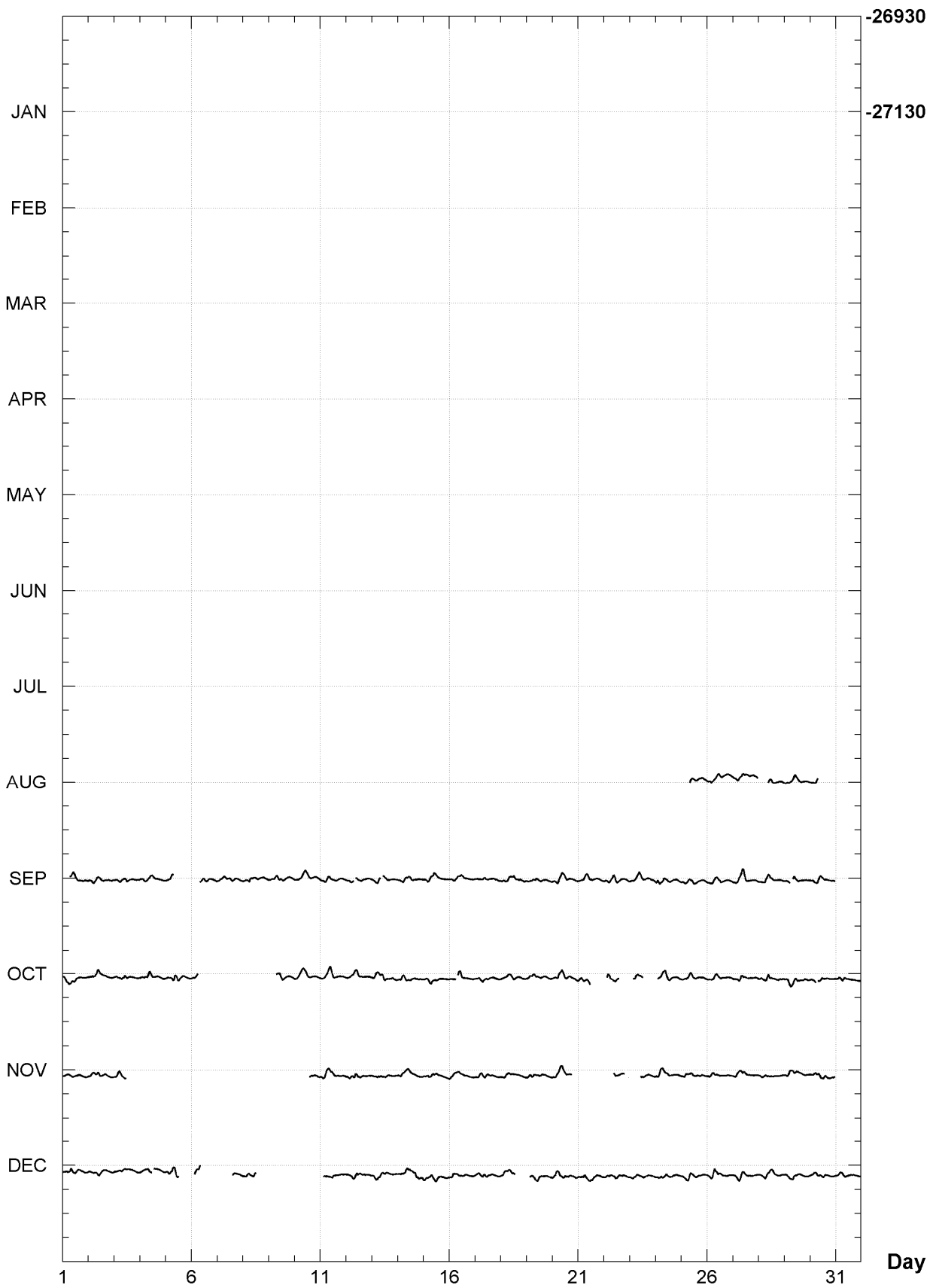
ANTATANARIVO (TAN)
Hourly mean values: X component (nT), 2006



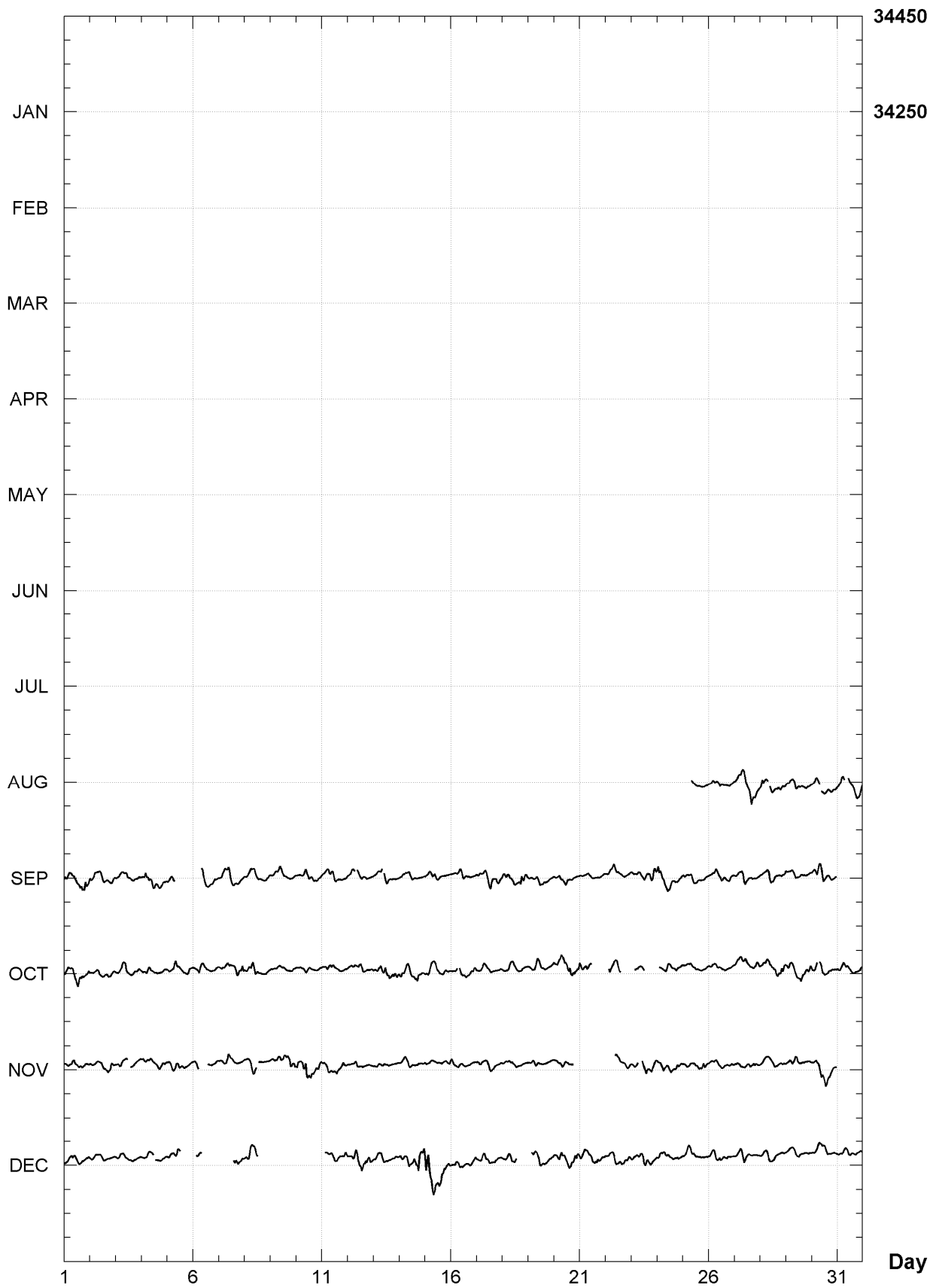
ANTATANARIVO (TAN) Hourly mean values: Y component (nT), 2006



ANTATANARIVO (TAN)
Hourly mean values: Z component (nT), 2006



ANTATANARIVO (TAN)
Hourly mean values: total field F (nT), 2006



ANTANANARIVO (TAN)

Monthly and annual mean values, 2006

Date	D		I		H	X	Y	Z	F	J	ELE
	o	'	o	'	nT	nT	nT	nT	nT		
JAN	999	99.0	999	99.0	99999	99999	99999	99999	99999	A	HDZF
FEB	999	99.0	999	99.0	99999	99999	99999	99999	99999	A	HDZF
MAR	999	99.0	999	99.0	99999	99999	99999	99999	99999	A	HDZF
APR	999	99.0	999	99.0	99999	99999	99999	99999	99999	A	HDZF
MAY	999	99.0	999	99.0	99999	99999	99999	99999	99999	A	HDZF
JUN	999	99.0	999	99.0	99999	99999	99999	99999	99999	A	HDZF
JUL	999	99.0	999	99.0	99999	99999	99999	99999	99999	A	HDZF
AUG	344	54.9	-52	23.5	20894	20174	-5438	-27123	34238	A	HDZF
SEP	344	54.7	-52	23.4	20903	20182	-5441	-27133	34251	A	HDZF
OCT	344	54.8	-52	23.3	20908	20187	-5442	-27139	34259	A	HDZF
NOV	344	54.6	-52	23.3	20911	20190	-5444	-27141	34263	A	HDZF
DEC	344	54.5	-52	24.3	20904	20183	-5443	-27150	34265	A	HDZF
2006	344	54.7	-52	23.5	20906	20185	-5442	-27140	34258	A	HDZF
JAN	999	99.0	999	99.0	99999	99999	99999	99999	99999	Q	HDZF
FEB	999	99.0	999	99.0	99999	99999	99999	99999	99999	Q	HDZF
MAR	999	99.0	999	99.0	99999	99999	99999	99999	99999	Q	HDZF
APR	999	99.0	999	99.0	99999	99999	99999	99999	99999	Q	HDZF
MAY	999	99.0	999	99.0	99999	99999	99999	99999	99999	Q	HDZF
JUN	999	99.0	999	99.0	99999	99999	99999	99999	99999	Q	HDZF
JUL	999	99.0	999	99.0	99999	99999	99999	99999	99999	Q	HDZF
AUG	999	99.0	999	99.0	99999	99999	99999	-27123	99999	Q	HDZF
SEP	344	54.5	-52	22.6	20912	20191	-5445	-27132	34256	Q	HDZF
OCT	344	55.1	-52	22.5	20917	20196	-5442	-27136	34262	Q	HDZF
NOV	344	54.1	-52	22.5	20919	20197	-5449	-27140	34266	Q	HDZF
DEC	344	54.5	-52	23.2	20917	20195	-5446	-27148	34271	Q	HDZF
2006	344	54.6	-52	22.7	20916	20194	-5445	-27138	34263	Q	HDZF
JAN	999	99.0	999	99.0	99999	99999	99999	99999	99999	D	HDZF
FEB	999	99.0	999	99.0	99999	99999	99999	99999	99999	D	HDZF
MAR	999	99.0	999	99.0	99999	99999	99999	99999	99999	D	HDZF
APR	999	99.0	999	99.0	99999	99999	99999	99999	99999	D	HDZF
MAY	999	99.0	999	99.0	99999	99999	99999	99999	99999	D	HDZF
JUN	999	99.0	999	99.0	99999	99999	99999	99999	99999	D	HDZF
JUL	999	99.0	999	99.0	99999	99999	99999	99999	99999	D	HDZF
AUG	999	99.0	999	99.0	99999	99999	99999	-27118	99999	D	HDZF
SEP	344	54.9	-52	24.3	20892	20172	-5437	-27133	34245	D	HDZF
OCT	344	54.7	-52	24.7	20893	20173	-5439	-27142	34252	D	HDZF
NOV	344	54.7	-52	24.2	20898	20178	-5440	-27141	34254	D	HDZF
DEC	344	54.7	-52	26.3	20880	20160	-5435	-27150	34250	D	HDZF
2006	344	54.7	-52	24.6	20892	20172	-5438	-27139	34249	D	HDZF

A: Tous les jours/ All days

Q: Jours calmes/ Quiet days

D: Jours perturbés/ Disturbed days

ELE: Elements enregistrés/ Recorded elements

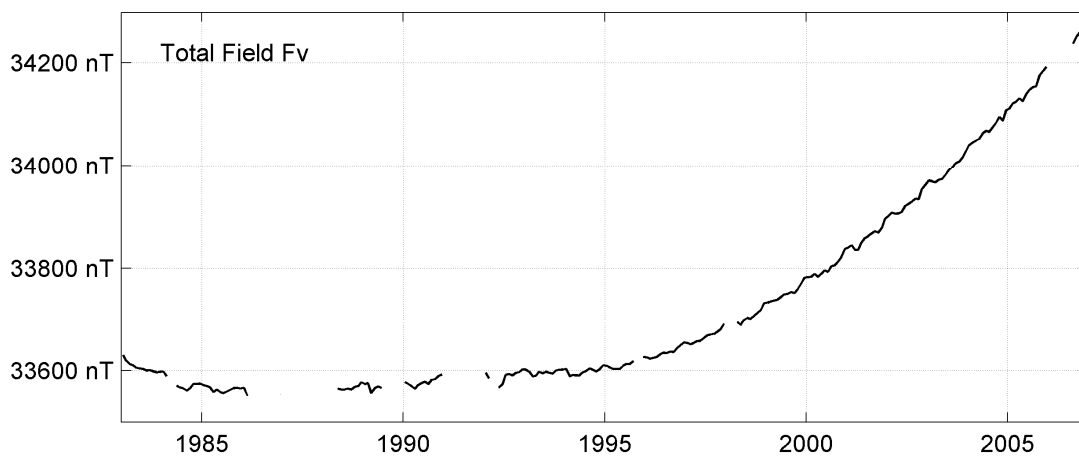
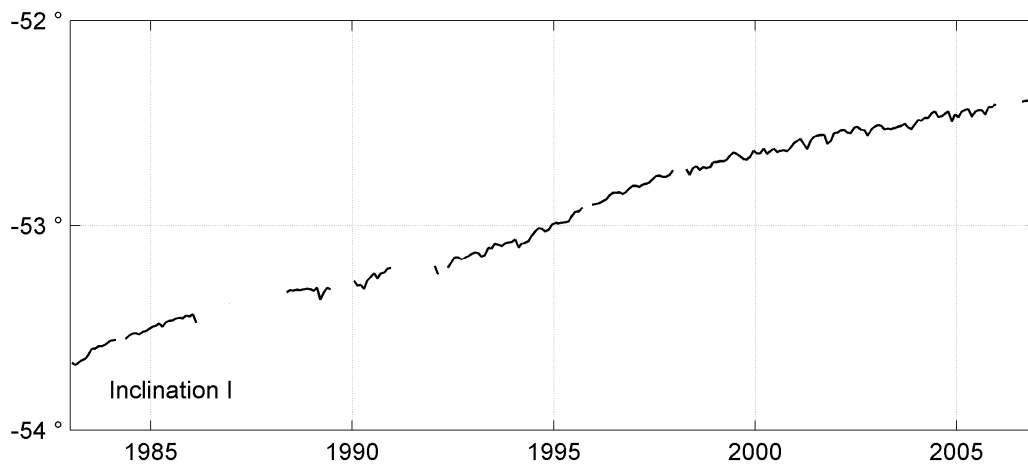
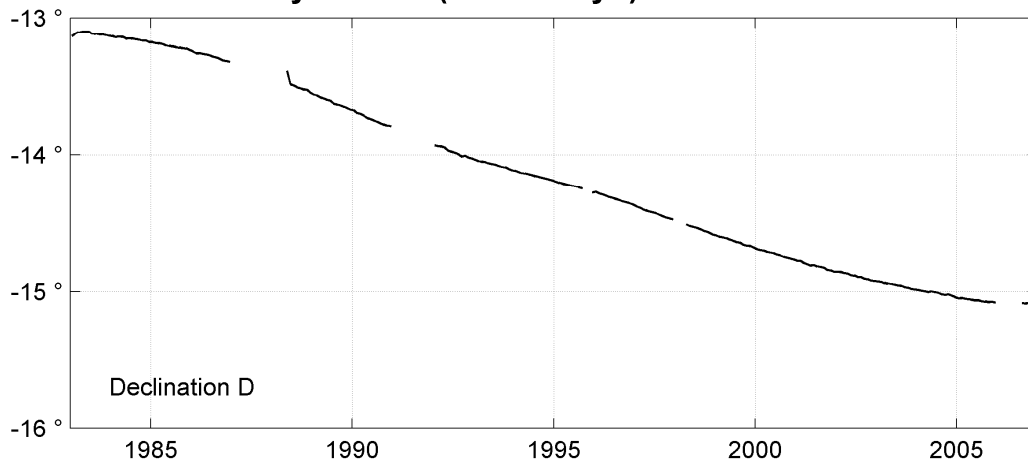
ANTANANARIVO (TAN)
Annual mean values, 1983 - 2006

Date	D		I		H	X	Y	Z	F	ELE	Note
	°	'	°	'	nT	nT	nT	nT	nT		
1983.5	346	52.9	-53	37.4	19931	19411	-4523	-27058	33606	HDZF	
1984.5	346	50.7	-53	32.3	19952	19428	-4541	-27001	33572	HDZF	1
1985.5	346	47.4	-53	28.0	19980	19451	-4566	-26968	33563	HDZF	
1986.5	346	42.7	-53	25.4	19998	19463	-4597	-26950	33560	HDZF	2
1987.5	-	-	-	-	-	-	-	-	-		
1988.7	346	29.5	-53	19.0	20053	19498	-4684	-26919	33567	HDZF	3
1989.5	346	23.0	-53	18.6	20059	19496	-4723	-26922	33573	HDZF	4
1990.5	346	15.4	-53	15.5	20085	19510	-4772	-26906	33576	HDZF	
1991.5	-	-	-	-	-	-	-	-	-		
1992.5	346	01.2	-53	10.5	20133	19536	-4864	-26888	33590	HDZF	5
1993.5	345	55.5	-53	06.4	20169	19563	-4905	-26869	33597	HDZF	
1994.5	345	50.8	-53	02.8	20197	19584	-4939	-26849	33598	HDZF	
1995.4	345	46.5	-52	57.7	20244	19623	-4974	-26827	33608	HDZF	6
1996.6	345	40.3	-52	50.8	20314	19682	-5028	-26809	33636	HDZF	
1997.5	345	34.1	-52	46.5	20366	19723	-5076	-26807	33666	HDZF	
1998.6	345	27.0	-52	43.3	20416	19761	-5129	-26820	33706	HDZF	7
1999.5	345	21.7	-52	40.1	20467	19803	-5172	-26837	33751	HDZF	
2000.5	345	16.1	-52	38.1	20513	19839	-5216	-26864	33800	HDZF	
2001.5	345	11.0	-52	34.9	20574	19890	-5261	-26892	33859	HDZF	
2002.5	345	06.4	-52	32.3	20634	19941	-5303	-26928	33925	HDZF	
2003.5	345	02.6	-52	31.5	20680	19980	-5337	-26975	33990	HDZF	
2004.5	344	59.2	-52	28.0	20756	20048	-5377	-27018	34071	HDZF	
2005.5	344	56.1	-52	26.7	20812	20097	-5409	-27069	34145	HDZF	
2006.8	344	54.7	-52	23.5	20906	20185	-5442	-27140	34258	HDZF	8

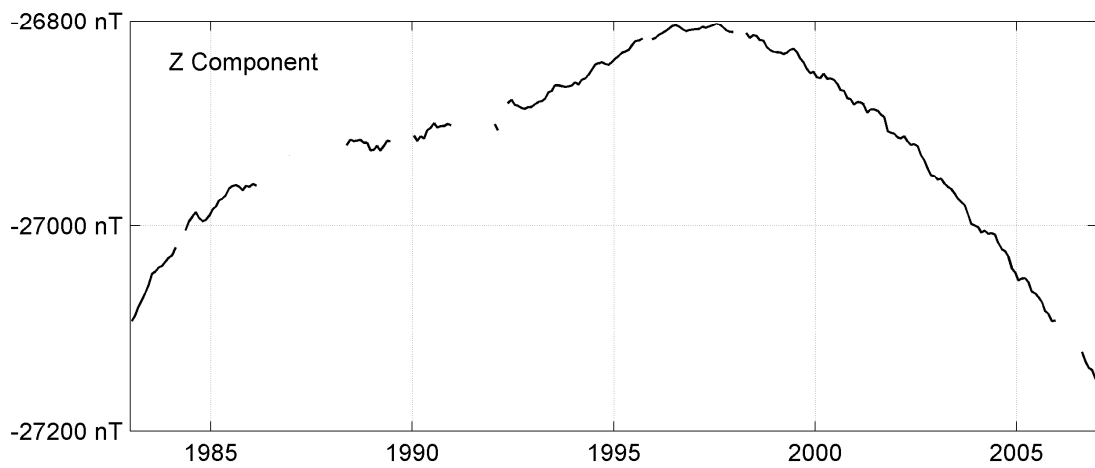
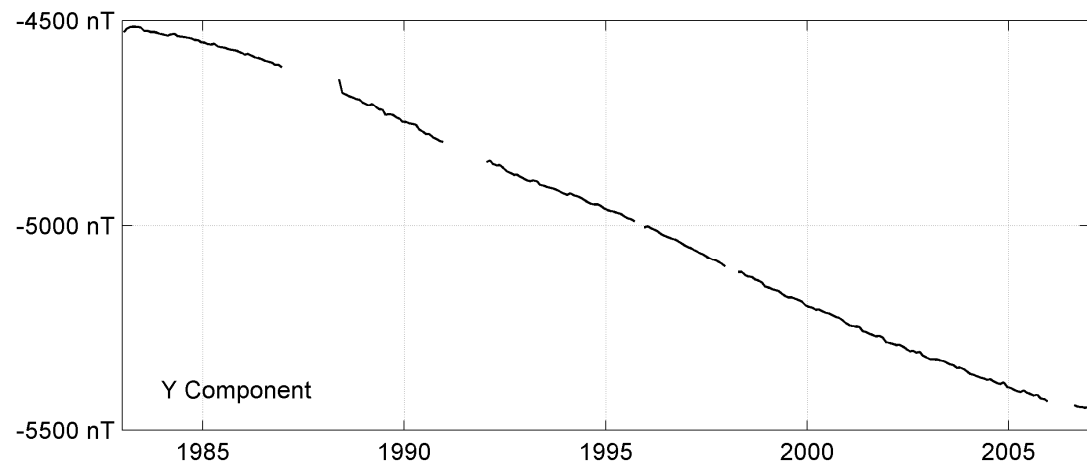
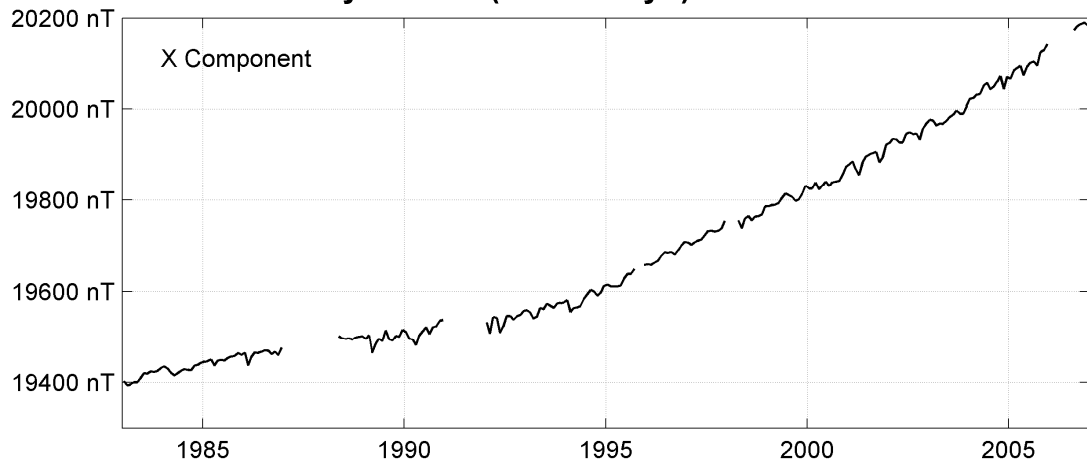
Notes :

- 1 No data in Mar-Apr 1984 for Z
- 2 No data in Mar-Nov 1986 for Z
- 3 May-Dec 1988
- 4 No data in Jan-Jun 1989 for Z
- 5 No data in Mar-Apr 1992 for Z
- 6 Jan-Sep and Dec 1995
- 7 Apr-Dec 1998
- 8 Aug-Dec 2006

ANTANANARIVO (TAN)
Monthly means (for all days) from 1983 to 2006



ANTANANARIVO (TAN)
Monthly means (for all days) from 1983 to 2006



TROISIÈME PARTIE / *THIRD PART*

**RÉFÉRENCES BIBLIOGRAPHIQUES ET DIFFUSION DES
DONNÉES**

BIBLIOGRAPHICAL REFERENCES AND DATA AVAILABILITY

RÉFÉRENCES BIBLIOGRAPHIQUES

BIBLIOGRAPHICAL REFERENCES

Berloty, R.P.S.J., Notice historique sur l'observatoire fondé en Syrie par les Pères de la Compagnie de Jésus, *Annales de l'observatoire de Ksara (Liban), Mémoires Tome I*, premier fascicule, chapitre I, Ksara, 1-67, Beyrouth, 1921.

Bitterly, J., J. Folques, R. Schlich, J.D. Tissot, J.M. Cantin & J. Bonnet, Observations magnétiques faites à l'observatoire de Martin de Viviès (île Amsterdam) 1981, *Fascicule Institut de physique du globe de Strasbourg*, 1-51, 1983.

Bitterly, J., D. Gilbert, J.M. Cantin, J. Burdin, & A. Pérès, Développement des magnétomètres à vanne de flux dans les observatoires magnétiques français 1975-1995, *Observations magnétiques, Bureau Central de Magnétisme Terrestre*, Paris, n° 8, 99-129, 1996.

Bitterly, M., A. Chulliat, D. Fouassier, J.-L. Le Mouël, M. Manda, & J.J. Schott, Analyse des séries de données obtenues dans les observatoires du BCMT depuis leur création, *Observations magnétiques, Bureau Central de Magnétisme Terrestre*, Paris, n° 22, 9-19, 2005.

Bitterly M., A. Chulliat, D. Fouassier, J.-L. Le Mouël, M. Manda, & J.J. Schott, Analysis of data series obtained in BCMT observatories since their installation, *Magnetic results, Bureau Central de Magnétisme Terrestre*, Paris, n° 24, 265-275, 2008 [English translation of Bitterly et al., 2005].

Cantin, J.M., J. Bitterly, J. Burdin, J. Folques, R. Pillet, M. Bitterly, D. Gilbert, M. Menvielle & G. Clerc, Recent development of the instrumentation, *French antarctic magnetic observatories. Geophysical Transactions*, vol.36, n° 3-4, 239-259, 1991.

Cantin, J.M., Acquisition de signaux en sismologie large bande, acquisition de signaux lents (magnétisme et MT). Du capteur aux banques de données : techniques d'instrumentation en géophysique, *Séminaire ORSTOM - Université de Savoie, Aussois, 10-12 juin 1991. Colloques et séminaires, éditions ORSTOM*, 87-98, 1993.

Chevrier, J., Déclinaison magnétique pendant l'année 1934 à l'observatoire de KSARA, Liban, *Annales de l'Institut de Physique du Globe de l'université de Paris et du Bureau Central de Magnétisme Terrestre*, tome XIV, 42-43, Paris, 1936.

Colin, E., R.P.S.J., Histoire physique, naturelle et politique de Madagascar, *Magnétisme de Madagascar, Société d'éditions géographiques, maritimes et coloniales*, Volume IV, 1-330, Paris, 1932.

Coze, J., Observations magnétiques faites à l'observatoire de Tananarive en 1953 et 1954, *Annales de l'Institut de Physique du Globe de l'Université de Paris et du Bureau Central de Magnétisme Terrestre*, tome XXIX, 33-40, Paris, 1958.

Delpout, R.P.J., Observations magnétiques faites à l'observatoire de KSARA en 1962, 1963 et 1964, *Annales de l'Institut de Physique du Globe de Paris et du Bureau Central de Magnétisme Terrestre*, tome XXXV, 63-68, Paris, 1969.

Duclaux, F. & A. Cecchini, Observations magnétiques faites à l'observatoire de Mbour en 1952, *Annales de l'Institut de Physique du Globe de Paris et du Bureau Central de Magnétisme Terrestre*, tome XXVII, 60-75, Paris, 1954.

Eblé, L., Observations magnétiques faites à Chambon la Forêt pendant l'année 1936, *Annales de l'Institut de Physique du Globe de Paris et du Bureau Central de Magnétisme Terrestre*, Les Presses Universitaires de France, tome XVI, 29-56, Paris, 1938.

Lebeau, A. & R. Schlich, Étude des observations réalisées à la station Dumont d'Urville (Terre Adélie), avril 1957 à décembre 1958, *Publication française de l'A.G.I.*, CNRS, série III, fascicule 3, 1962.

Legeley-Padovani, A. & M. Gosselin, Observations magnétiques 1968, observatoire de Pamatai, *Cahier de l'ORSTOM*, 1-55, 1993.

Le Mouël, J.L., B. Leprêtre, R. Scheib, B. Clavé de Otaola & L. Parmentier, Observations magnétiques faites à l'observatoire de Chambon la Forêt en 1979, *Fascicule Observations magnétiques*, Institut de Physique du Globe de Paris, 46, 1-56, Paris, 1980.

Le Mouël, J.L. & B. Leprêtre, Observations magnétiques faites à l'observatoire de Chambon la Forêt en 1980, *Fascicule Observations magnétiques*, Institut de Physique du Globe de Paris, 46, 1-55, Paris, 1982.

Poisson P. Ch., Observations magnétiques à l'observatoire de Tananarive (Madagascar) pendant l'année 1929, *Annales de l'Institut de Physique du Globe de Paris et du Bureau Central de Magnétisme Terrestre*, tome IX, 167-169, Paris, 1931.

Schlich, R., Étude des observations réalisées à la station de Port-aux-Français (Kerguelen), septembre 1957 à décembre 1958, *Publication française de l'A.G.I.*, CNRS, série III, fascicule 4, 1962.

Schlich, R., J. Bitterly, J.C. Blond & J.C. Kriniki, Observations magnétiques faites à l'observatoire de Port Alfred (Crozet) 1974, *Fascicule Institut de physique du globe de Paris*, 1-53, 1976.

DIFFUSION DES DONNÉES

DATA DISTRIBUTION

DONNEES PRELIMINAIRES

Les données préliminaires des observatoires du BCMT sont disponibles en temps quasi-réel (entre quelques minutes et quelques jours) sur :

- le site web du BCMT
<http://www.bcmt.info>
- le site web d'INTERMAGNET
<http://www.intermagnet.org>

DONNEES DEFINITIVES

Les données définitives des observatoires du BCMT sont disponibles sur :

- le site web du BCMT
<http://www.bcmt.info>
- le DVD et le site web d'INTERMAGNET
<http://www.intermagnet.org>
- les centres mondiaux des données géomagnétiques d'Edimbourg (RU), de Boulder (Colorado, USA), et de Kyoto (Japon)

BULLETINS ANNUELS

Les données des observatoires magnétiques français ont été publiées dans les Annales de l'Institut de Physique du Globe de Paris jusqu'en 1964. Les observations effectuées entre 1965 et 1986 ont été publiées dans les fascicules «Observations magnétiques» édités par l'IPGP, l'EOPG de Strasbourg (aujourd'hui l'EOST) et l'ORSTOM (aujourd'hui l'IRD). Depuis 1987 les données sont publiées dans leur présentation actuelle dans les bulletins «Observations magnétiques» édités par le BCMT.

Les bulletins peuvent être obtenus sur demande auprès du BCMT, et les plus récents sont disponibles sur le site web du BCMT <http://www.bcmt.info>.

PRELIMINARY DATA

Preliminary data from BCMT magnetic observatories are available in quasi-real time (between a few minutes and a few days) from:

- BCMT's website
<http://www.bcmt.info>
- INTERMAGNET's website
<http://www.intermagnet.org>

DEFINITIVE DATA

Definitive data from BCMT magnetic observatories are available from:

- BCMT's website
<http://www.bcmt.info>
- INTERMAGNET's DVD and website
<http://www.intermagnet.org>
- the world data centers for Geomagnetism in Edinburgh (UK), Boulder (Colorado, USA) and Kyoto (Japan)

YEARBOOKS

The magnetic data of the French observatories were published in the « Annales de l'Institut de Physique du Globe de Paris », until 1964. Between 1965 and 1986, the magnetic results were published by IPGP, EOPG (now EOST) and ORSTOM (now IRD) into the yearbooks « Observations magnétiques ». Since 1987, magnetic results are published by BCMT in the bulletin « Observations magnétiques / Magnetic Results » in their present form.

The yearbooks are available on demand from BCMT and the most recent ones are available on the website <http://www.bcmt.info>.

BUREAU CENTRAL DE MAGNÉTISME TERRESTRE
INSTITUT DE PHYSIQUE DU GLOBE DE PARIS, Case 89
4 place Jussieu, 75252 PARIS CEDEX 05, France

E-Mail : bcmt@ipgp.jussieu.fr
<http://www.bcmt.info>